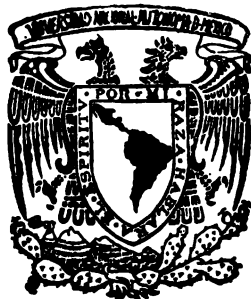


UNIVERSIDAD NACIONAL AUTONOMA DE MEXICO  
FACULTAD DE QUIMICA



ANALISIS DE LA HEROINA CAFE CON EL  
FIN DE TRATAR DE CONOCER SU ORIGEN



DEPTO. DE ENSANTES Y  
EXAMENES PROFESIONALES  
FAC. DE QUIMICA

TESIS PROFESIONAL  
QUE PARA OBTENER EL TITULO DE  
QUIMICO FARMACEUTICO BIOLOGO  
P R E S E N T A

YOLANDA SOTO GUTIERREZ

1981



**UNAM – Dirección General de Bibliotecas**

**Tesis Digitales**  
**Restricciones de uso**

**DERECHOS RESERVADOS ©**  
**PROHIBIDA SU REPRODUCCIÓN TOTAL O PARCIAL**

Todo el material contenido en esta tesis está protegido por la Ley Federal del Derecho de Autor (LFDA) de los Estados Unidos Mexicanos (Méjico).

El uso de imágenes, fragmentos de videos, y demás material que sea objeto de protección de los derechos de autor, será exclusivamente para fines educativos e informativos y deberá citar la fuente donde la obtuvo mencionando el autor o autores. Cualquier uso distinto como el lucro, reproducción, edición o modificación, será perseguido y sancionado por el respectivo titular de los Derechos de Autor.

# **TESIS CON FALLA DE ORIGEN**

JURADO ASIGNADO ORIGINALMENTE

Presidente

Prof.: Ignacio Díez de Urdanivia

Vocal

Prof.: Etelvina Medrano de Jaimes

Secretario

Prof.: Ana María Méndez Chávez

1er Suplente

Prof.: Cesar A. Domínguez Camacho

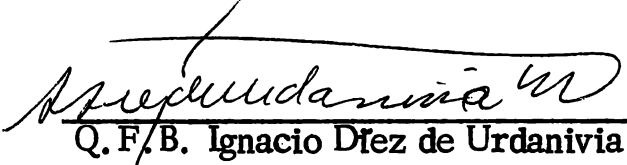
2o Suplente

Prof.: Teresa Coppola Fernández

Sustentante:

  
Yolanda Soto Gutiérrez.

Asesor:

  
Q.F.B. Ignacio Díez de Urdanivia

Supervisor Técnico:

  
Q.F.B. Ana María Méndez Chávez

*Con cariño para:*

*Ma. de Jesús Gutiérrez Bazza*

*A mis hermanos:*

*Juan José*

*Giuseppe Leana*

*Jorge*

*Marco Antonio*

*José Eduardo*

## ÍNDICE

I.- Introducción

II.- Que se entiende por Heroina Café'

III.- Pruebas efectuadas a la Heroina Café

3. A).- Sistema No. 1

3. B).- Sistema No. 2

3. C).- Sistema No. 3

3. D).- Sistema No. 4

3. E).- Sistema No. 5

3. F).- Sistema No. 6

IV.- Análisis de Resultados

V.- Conclusiones

VI.- Bibliografía

## Introducción

La morfina es el alcaloide principal del opio, entre otras razones por sus propiedades farmacodinámicas.

El porcentaje de morfina en el opio varía según el lugar de cultivo de la adormidera y algunos otros factores como son: el uso de fertilizantes, clima, etc.

Medicos alemanes y franceses se atribuyen el descubrimiento de la morfina, Ludwig desde 1688, la señalaba con el nombre de magisterio del opio Louis-Charles Derosme la aisló en 1803 con el nombre de sal del opio, pero creyó que se trataba de la narcotina hecha alcaloide por el carbonato de potasa empleado en su preparación.

En 1804, los miembros de la Academia de Ciencias en Francia, oyeron la lectura de una memoria presentada por un químico de los ejércitos de Napoleón, Seguin, que descubrió y describió la morfina aislada en forma de cristales incoloros. Desgraciadamente Seguin no publicó el resultado de sus investigaciones hasta 1814 y entretanto, un químico alemán Friedrich Sertürner, hizo pública su reconocimiento del ácido meconico del que había extraído la morfina identificada como álcali vegetal.

La heroína se asemeja mucho a la morfina en sus efectos, pero:

- a).- Es más analgésica (cinco veces)
- b).- Es más depresora sobre el centro respiratorio y de la tos (cinco veces)
- c).- Más tóxica
- d).- Provoca menos vómitos
- e).- Provoca dependencia con mucha más facilidad, debido a la intensa euforia que provoca.

La morfina se usó en esa época como medicamento y pronto causó el abuso de ella por la dependencia que provocaba. Posteriormente se preparó la diacetil morfina a la que se le llamo heroína, de efectos más peligrosos sobre el ser humano.

En Francia Morel-Lavalée, dio a conocer los peligros de la heroína, Sollier la combatió en 1705, y hubo que desilusionarse más que aprisa; si era cierto que los intoxicados, no la usaban, pues se entregaban a la heroína, droga de acción más energica, más tóxica, más prolongada, y también a la que costaba poco acostumbrarse. Su éxito eclipsó pronto el de la morfina, la Cuenca Mediterránea y Asia, en donde apenas había penetrado la morfina, fueron conquistados por la heroína.

Desafortunadamente en el mundo, continúan las operaciones ilícitas con la morfina y la heroína, lo que motiva el que casi en todos los Países, los técnicos de Policía se enfrenten al grave problema de identificarlas y diferenciarlas, operación que reviste dificultades, entre otras razones porque se comercian mezcladas entre sí y con muy variados adulterantes.

Por estas razones es que decidí efectuar el presente trabajo como una ayuda a la Química Legal y a la toxicología.

## ¿QUE ES LA HEROINA CAFE ?

La Heroina pura es un polvo de color blanco cuando es bien obtenida así como cualquiera de sus sales; soluble en agua ; pero en el tráfico ilícito, se venden diferentes heroínas que reciben nombres diversos, dependiendo, entre otros, del lugar de donde provienen, o de las características macroscópicas que presentan. Así, existe en el mercado ilícito una heroína en la que predomina el color oscuro y de aquí, que recibe el nombre de Heroína Café.

Paradojicamente, el control y la prohibición de los estupefacientes son la causa del tráfico clandestino, que entrega a los toxicomanos en manos de proveedores que no se detienen en escrupulos. Los traficante, para sus fines emplean todos los medios y artilugios necesarios y posibles: maletas de doble fondo, objetos añadidos (en 1938 el Gran Rabino de Brooklyn transportaba bolsitas de heroína ocultas en talmuds vacíos); escondrijos en trenes, barcos, o en los aviones; camiones trucados, etc.

La Heroína del comercio clandestino es mezclada con muy variadas sustancias para aumentar el peso y disminuir la cantidad de estupefaciente, esto es, sufre adulteraciones varias veces, generalmente el mismo número que de personas que la distribuyen.

Entre las sustancias que generalmente se usan se encuentran: lactosa, Borax, colorante, azúcar, Novocaina, etc. lo que hace que el consumidor realmente reciba, para su consumo, heroína con muy baja concentración, la que varía muchísimo, pudiendo ser de 5 a 10 % de pureza en muchas ocasiones.

///

Pruebas efectuadas a la Heroína Café

### III.- PRUEBAS EFECTUADAS A LA HEROINA CAFE

En el desarrollo de éste trabajo, se probaron cinco diferentes sistemas de separación por cromatografía en capa fina de 20 muestras, sin lograr resultados satisfactorios que cumplieran con los resultados citados en la literatura (1). Hasta que se llegó al sistema N°. 6, en el cual se realizó una extracción previa de la muestra para separar por cromatografía en capa fina.

Los cinco diferentes sistemas son los siguientes:

#### 3.A Sistema N°. 1

Placas usadas.- Cromatofolios hieselgel DC  $F_{254}$  Merck con medidas 20 x 20 cm. y con un espesor de sílica de 0.25 mm.

#### Desarrollo de las muestras

Las muestras se usaron, solubilizándolas en el solvente apropiado en una proporción de 1 mg de muestra en 9 ml del solvente; los solventes usados fueron : etanol, cloroformo y agua, ya, que, haciendo referencia a la literatura,(1), vemos - que la heroína es soluble en una proporción de 1 en 1700 de agua, 1 en 31 de etanol 1 en 1.5 de cloroformo. La morfina es soluble en agua fría 1 en 1500, 1 en 1400 - en agua caliente, 1 en 250 en etanol y 1 en 1500 en cloroformo. Una vez hecha la solución de la muestra en cada uno de los solventes, se injectó en los cromatofolios de sílica gel  $F_{254}$  una cantidad de muestra equivalente a:

10 g de la solución en agua

5 g de la solución en etanol

5 g de la solución en cloroformo

Preparación de la cámara de Saturación

Los solventes empleados para formar un sistema de 100ml son:

83.0 ml Acetato de etilo

16.5 ml Alcohol metílico

0.5 ml Hidróxido de amonio

100.0 ml

Tiempo de Saturación: 60 minutos

Dimensiones de la cámara empleada

26 x 29 x 9 x 1 cms.

Tiempo de separación de las muestras 25 minutos

Las placas se secan a temperatura ambiente y se observan las separaciones de las muestras con luz ultravioleta ( 254 m $\mu$  ).

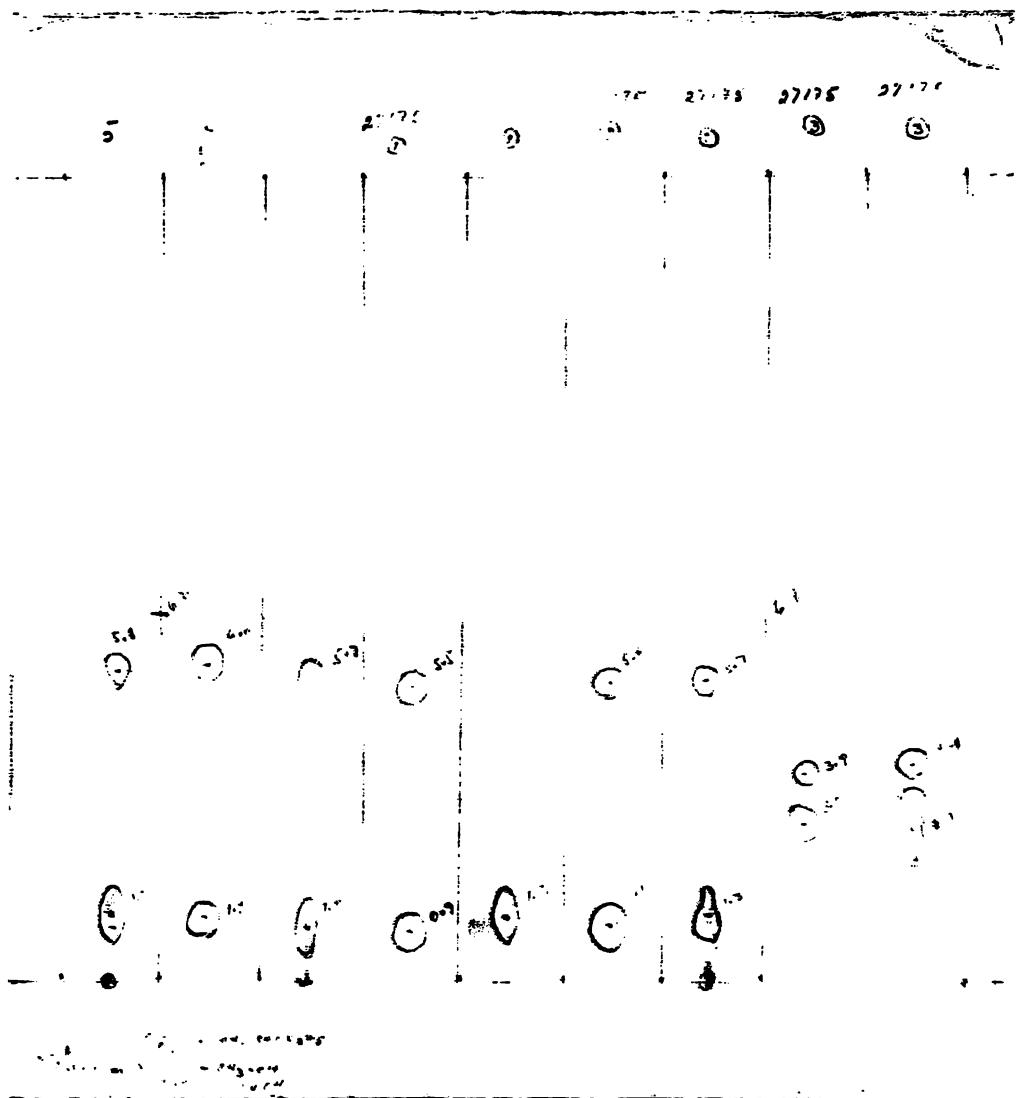
Las distancias recorridas por las muestras fueron las siguientes:

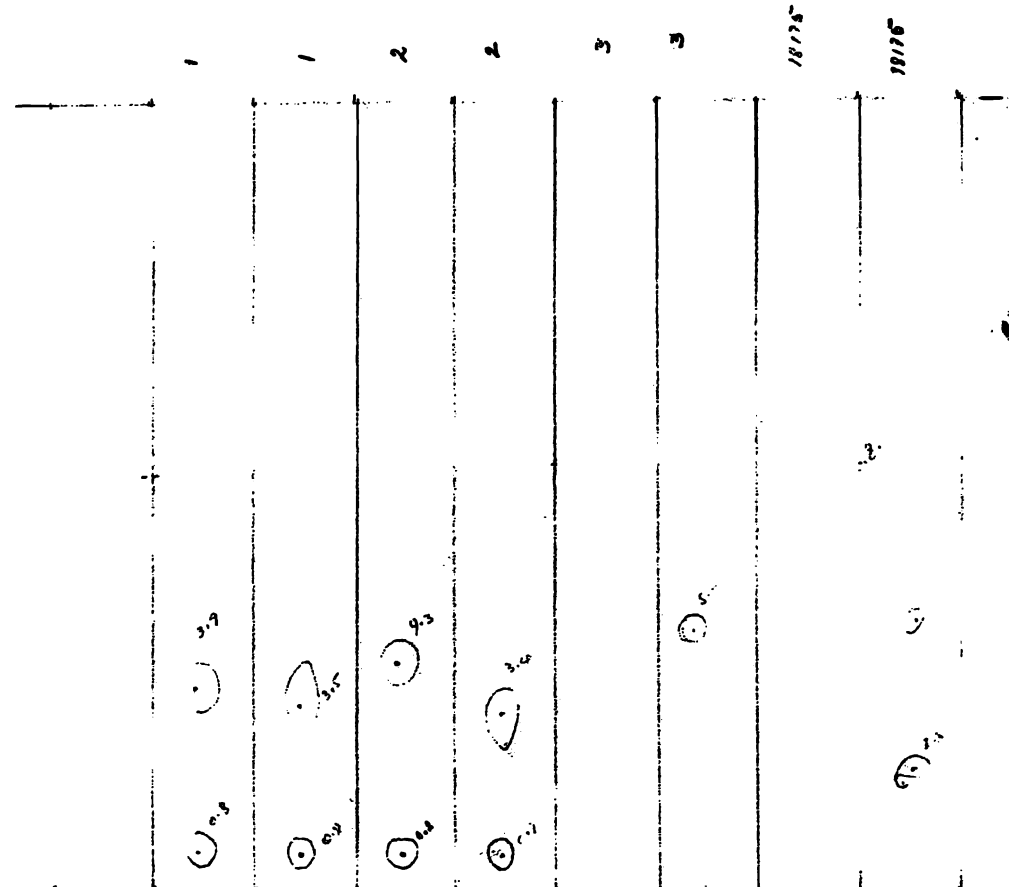
<u>Muestra No.</u>	<u>Solvente</u>	<u>D. Recorrida muestra</u>	<u>D. Recorrida solvente</u>	<u>Rf</u>
1	etanol	3.5	7.0	0.5
		5.7	7.0	0.81
	agua	3.5	7.0	0.50
2		5.5	7.0	0.78

Muestra No.	Solvente	D. recorrida muestra	D. recorrida solvente	Rf
2/	etanol	3.5	7.0	0.23
	aqua	2.2	7.0	0.31
3	etanol	1.8	7.0	0.23
		3.5	7.0	0.50
	aqua	1.8	7.0	0.23
		3.5	7.0	0.50
4		5.5	7.0	0.78
	etanol	2.0	7.0	0.28
		3.5	7.0	0.50
		5.5	7.0	0.78
5	aqua	3.9	7.0	0.56
	etanol	1.6	7.5	0.21
		3.6	7.5	0.48
		5.5	7.5	0.78
6	etanol	1.6	7.5	0.21
		3.0	7.5	0.43
	aqua	1.9	7.5	0.25
		3.1	7.5	0.41
7	etanol	0.9	6.8	0.13
		5.5	6.8	0.81
	aqua	1.2	6.8	0.18
8	etanol	1.1	6.8	0.16
		5.6	6.8	0.82

8	<i>aqua</i>	1.3	6.8	0.19
		5.7	6.8	0.84
9	<i>etanol</i>	3.0	6.8	0.44
		3.9	6.8	0.57
	<i>aqua</i>	2.9	6.8	0.43
		4.1	6.8	0.60
10	<i>etanol</i>	—	8.0	0.00
	<i>aqua</i>	2.3	8.0	0.29
		5.1	8.0	0.64
11	<i>etanol</i>	0.8	8.0	0.10
		3.9	8.0	0.49
12	<i>etanol</i>	0.8	8.0	0.10
		4.3	8.0	0.54
	<i>aqua</i>	0.7	8.0	0.09
		3.4	8.0	0.42
13	<i>etanol</i>	—	—	—
	<i>aqua</i>	5.0	8.0	0.62
14	<i>etanol</i>	1.2	6.8	0.18
		6.0	6.8	0.88
	<i>aqua</i>	5.7	6.8	0.84
		1.0	6.8	0.15
15	<i>etanol</i>	1.0	8.4	0.12
		2.9	8.4	0.34
	<i>aqua</i>	1.0	8.4	0.12
		2.7	8.4	0.34

16	<i>etanol</i>	1.0	8.4	0.12
		2.5	8.4	0.30
	<i>aqua</i>	1.0	8.4	0.12
		2.5	8.4	0.30
17	<i>etanol</i>	3.0	8.9	0.34
	<i>aqua</i>	3.0	8.9	0.34
18	<i>etanol</i>	0.9	8.9	0.10
		3.0	8.9	0.34
	<i>aqua</i>	0.9	8.9	0.10
		3.0	8.9	0.34
19	<i>etanol</i>	1.5	8.5	0.18
		3.0	8.5	0.35
	<i>aqua</i>	1.5	8.5	0.18
		3.0	8.5	0.35
20	<i>etanol</i>	1.1	8.5	0.13
		2.5	8.5	0.29
	<i>aqua</i>	1.1	8.5	0.13
		2.5	8.5	0.29





16-10-15

Absorción en el espectro ultravioleta máxima y mínima de las muestras separadas por cromatografía en capa fina. El espectrofotómetro usada fue un modelo Beckman . A C.T.A . C III

Muestra No.	$\lambda$ máxima ( nm )	$\lambda$ mínima ( nm )
1 en		
etanol	255	250
	258	240
aqua	270	250
	258	240
2 en		
etanol	258	240
	262	245
aqua	258	240
	270	250
3 en		
etanol	257	250
	255	249
aqua	257	250
	255	249
4 en		
etanol	263	256
	258	240
	270	250
aqua	258	240

4	<i>en</i>		
<i>etanol</i>		260	243
5	<i>en:</i>		
<i>etanol</i>		256	245
		255	240
<i>aqua</i>		256	245
		255	240
6	<i>en</i>		
<i>etanol</i>		263	257
		262	245
<i>aqua</i>		264	255
7	<i>en</i>		
<i>etanol</i>		264	255
		262	245
<i>aqua</i>		264	255
		262	245
8	<i>en</i>		
<i>etanol</i>		263	245
		259	243
<i>aqua</i>		263	245
		259	243
9	<i>en</i>		
<i>etanol</i>		—	—
<i>aqua</i>		255	249
		261	248

<i>aqua</i>	255	249
	261	248
<i>10 en:</i>		
<i>etanol</i>	262	257
	259	243
<i>aqua</i>	—	—
<i>11 en</i>		
<i>etanol</i>	262	257
	258	240
<i>aqua</i>	262	257
	263	245
<i>12 en</i>		
<i>etanol</i>	—	—
<i>aqua</i>	259	243
<i>13 en:</i>		
<i>etanol</i>	264	255
	262	245
<i>aqua</i>	264	255
	262	245
<i>14 en</i>		
<i>etanol</i>	262	257
	255	249
<i>aqua</i>	262	257
	255	249

15 en:

<i>etanol</i>	263	257
	255	249
<i>aqua</i>	263	257
	255	249

16 en:

<i>etanol</i>	262	253
---------------	-----	-----

17 en:

<i>etanol</i>	262	257
	262	253
<i>aqua</i>	262	257
	262	253

18 en:

<i>etanol</i>	264	255
	262	253
<i>aqua</i>	264	255
	262	253

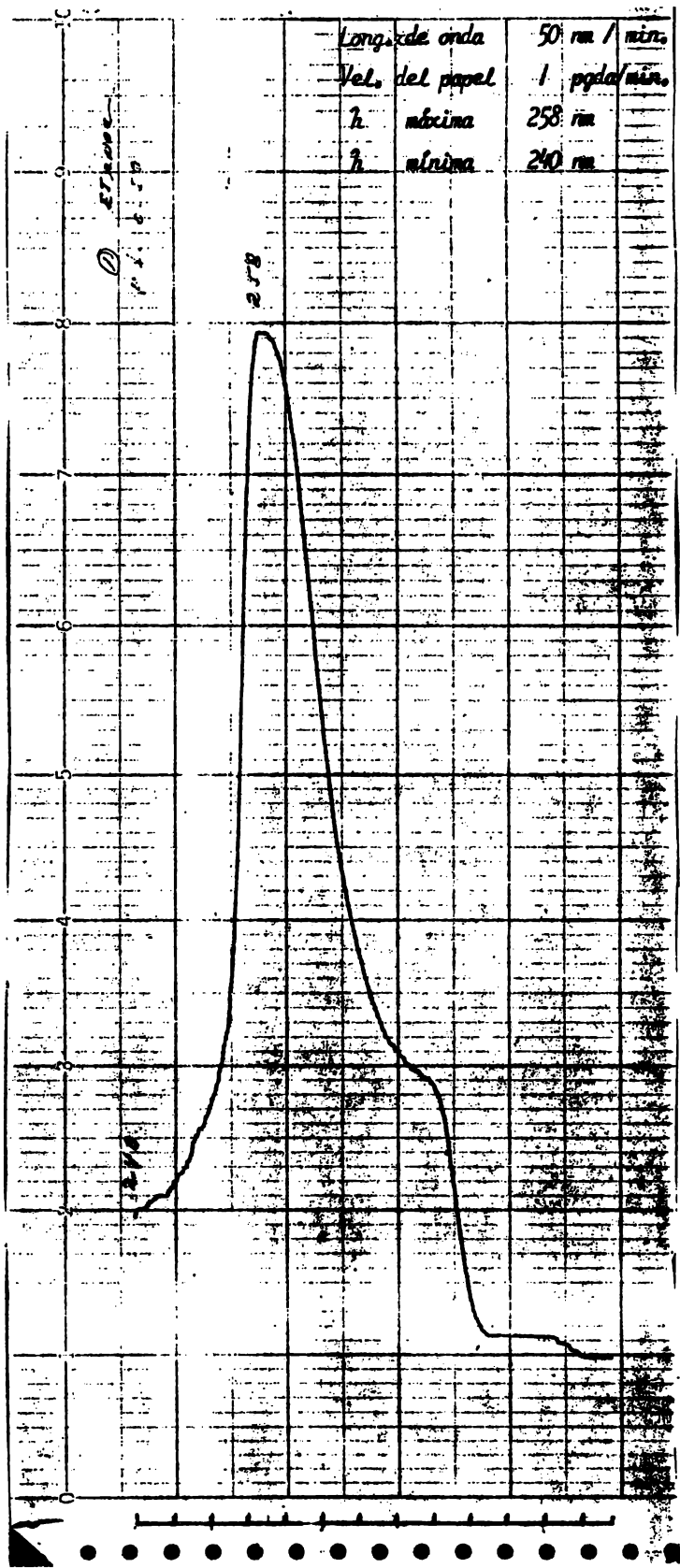
19 en:

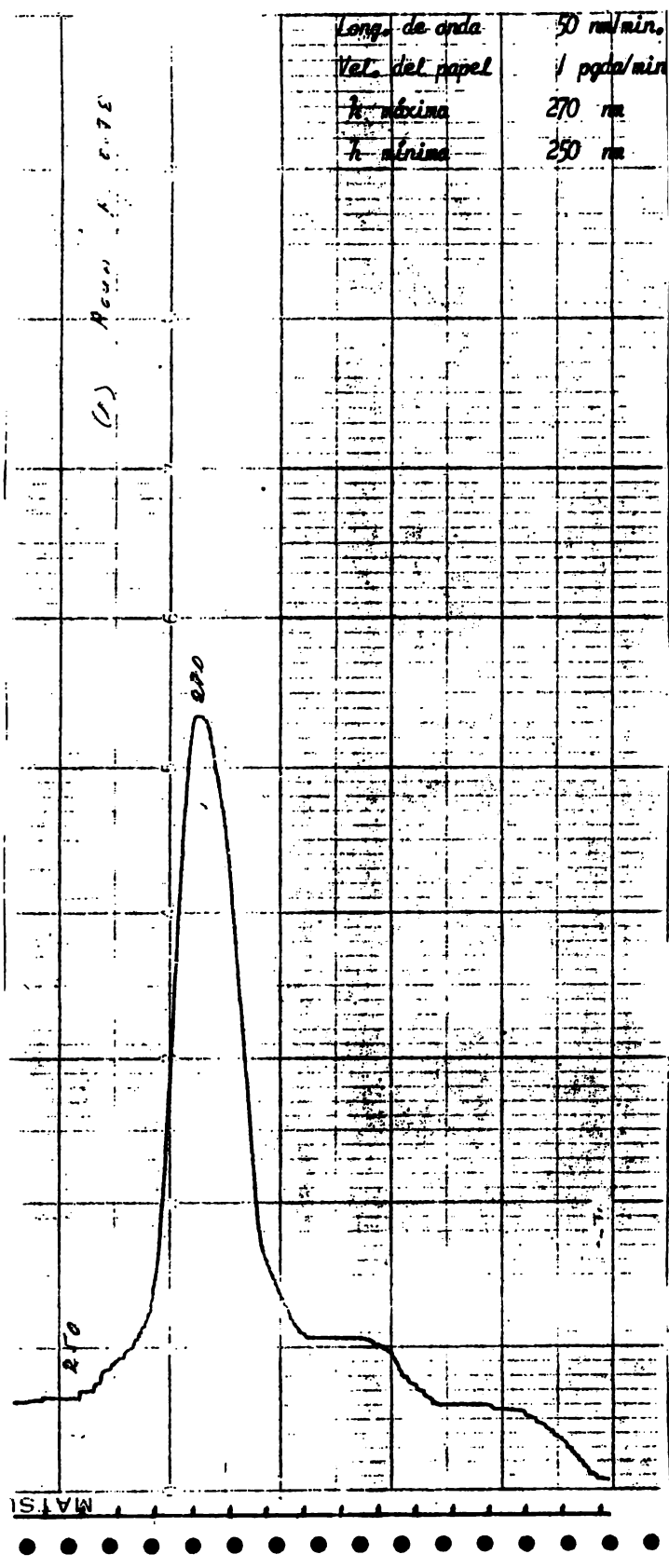
<i>etanol</i>	—	—
<i>aqua</i>	263	257
	255	249

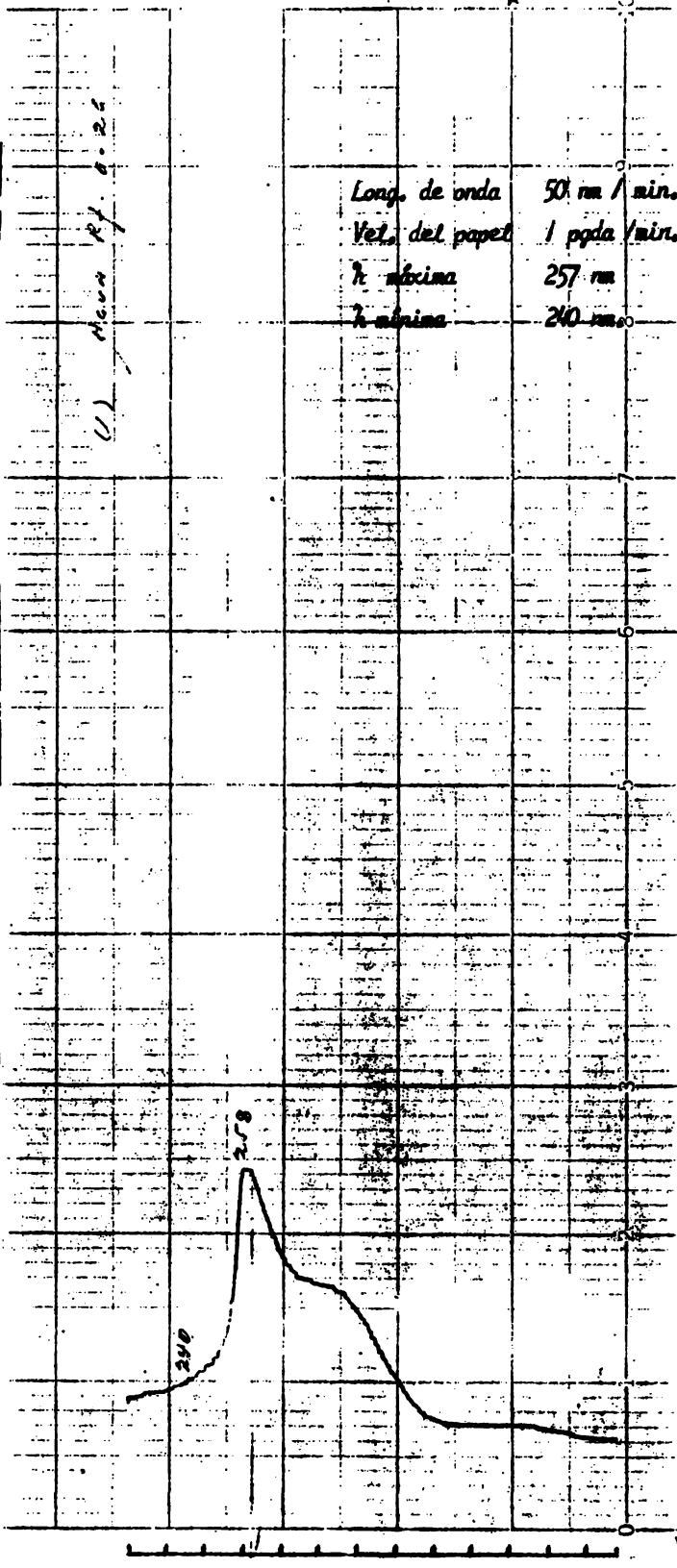
Long. de onda \_\_\_\_\_ 50 nm/min.  
Vel. del papel \_\_\_\_\_ 1 Pgda/min.  
λ máxima \_\_\_\_\_ 255 nm  
λ mínima \_\_\_\_\_ 250 nm

0.5 mm/cm 0.50



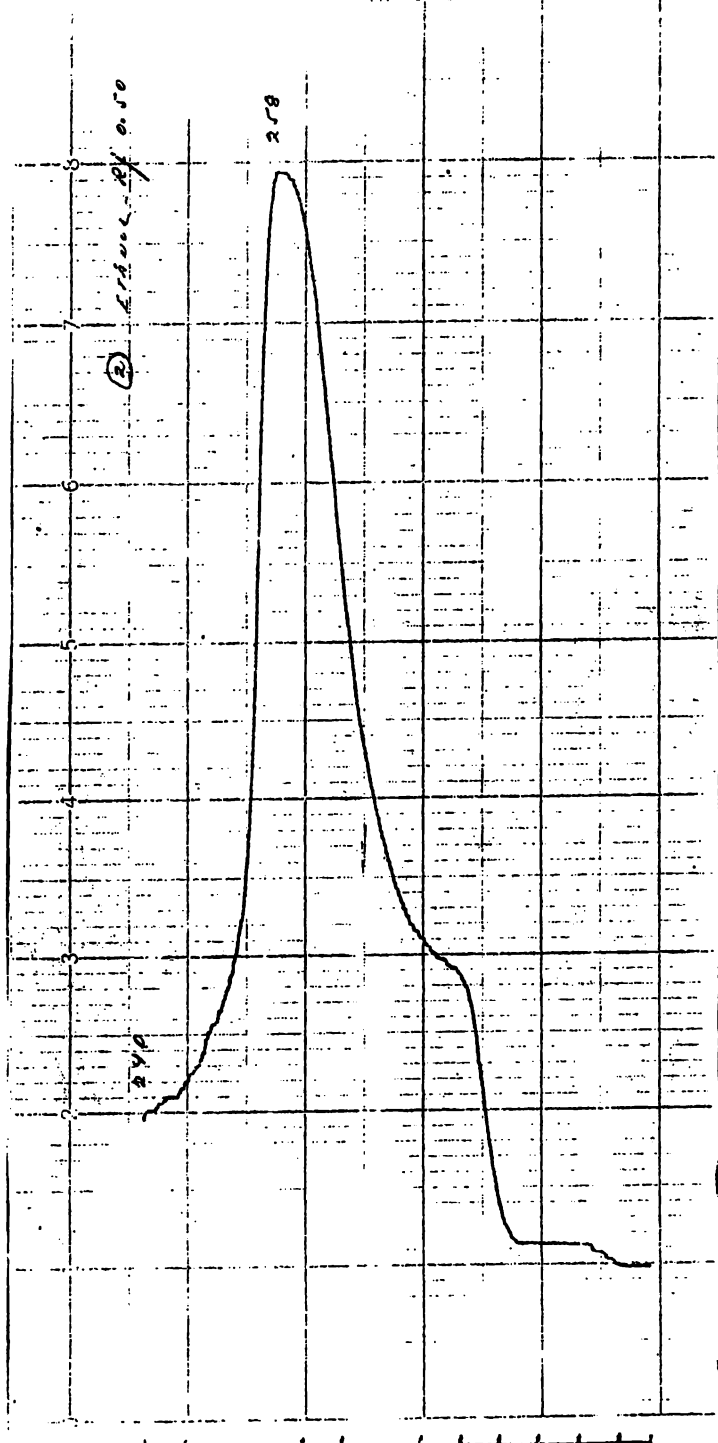




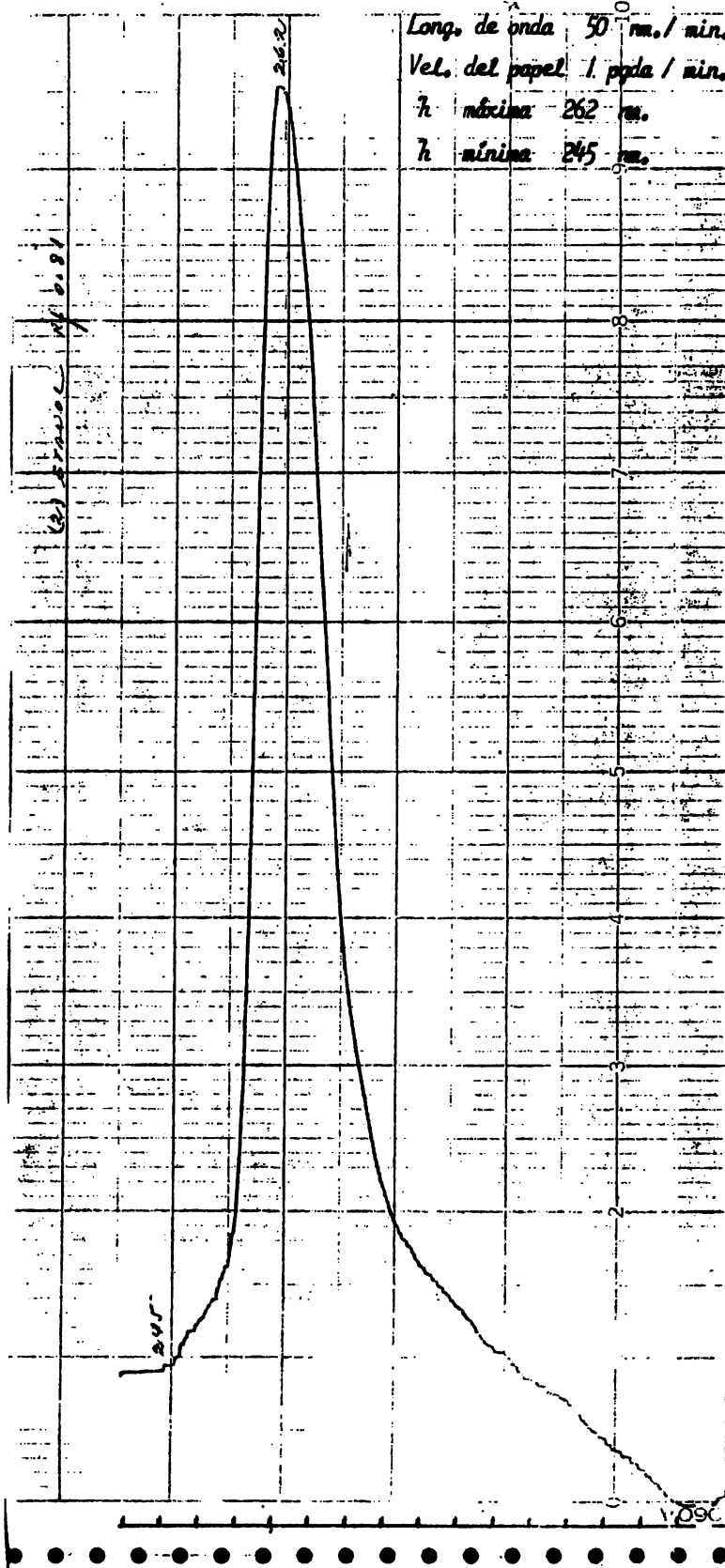


• • • • • • • • • • • •

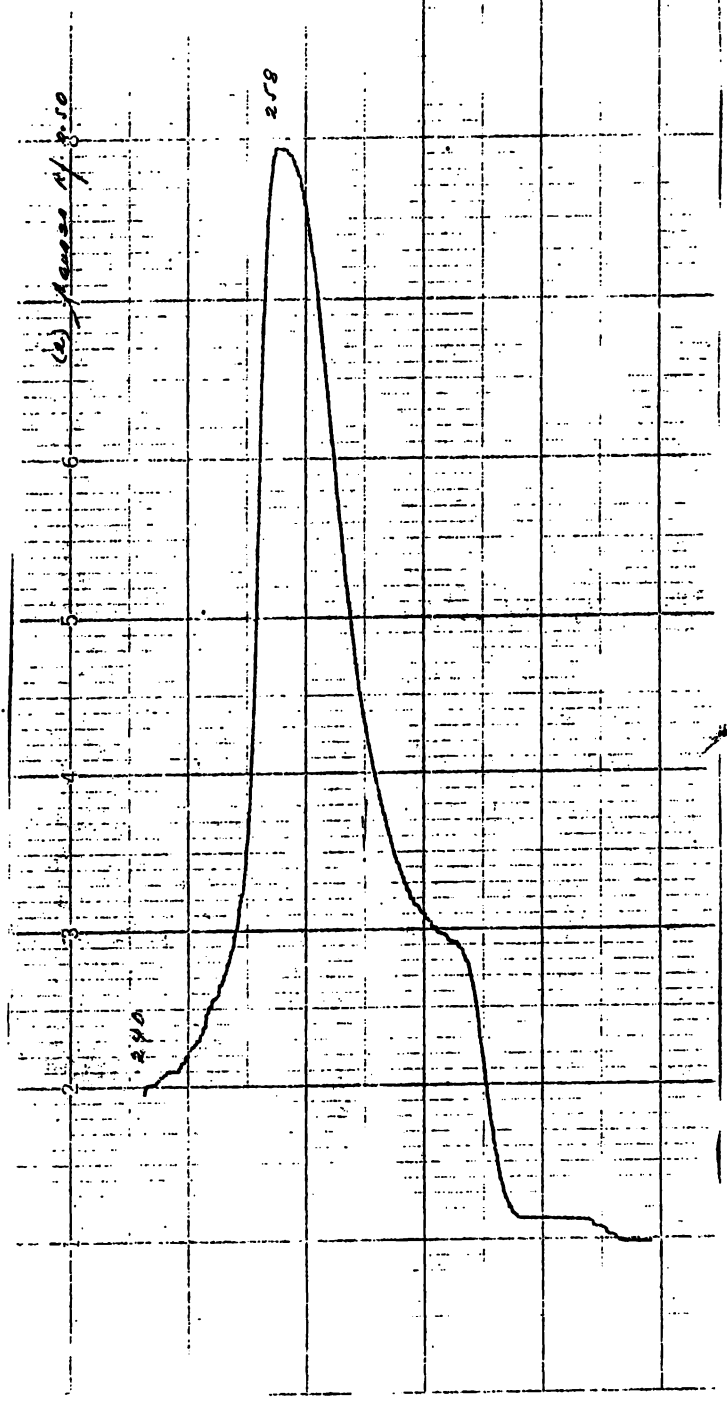
Long. de onda 50 nm / min.  
Vel. del papel 1 pgdal min.  
h maxima 258 nm.  
h minima 240 nm.



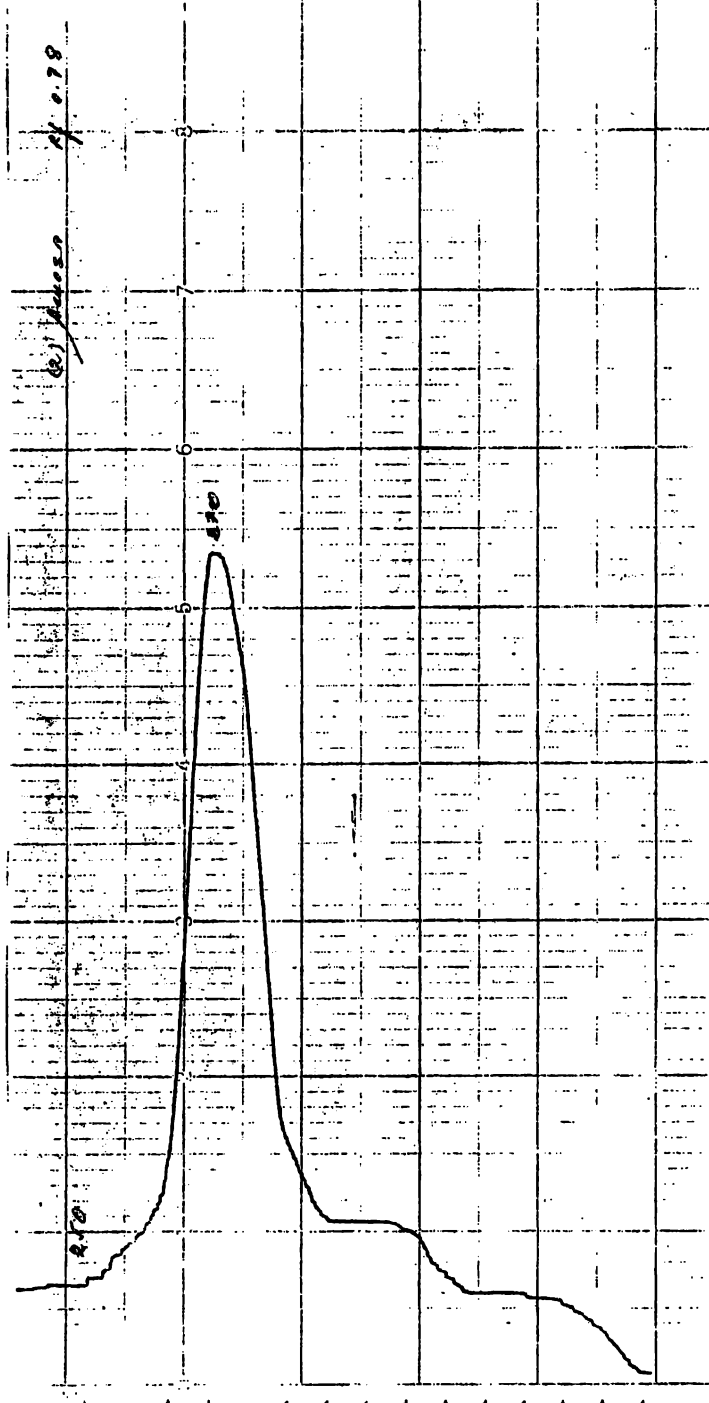
Long. de onda 50 nm./min.  
Vel. del papel 1 paga / min.  
h máxima 262 nm.  
h mínima 245 nm.



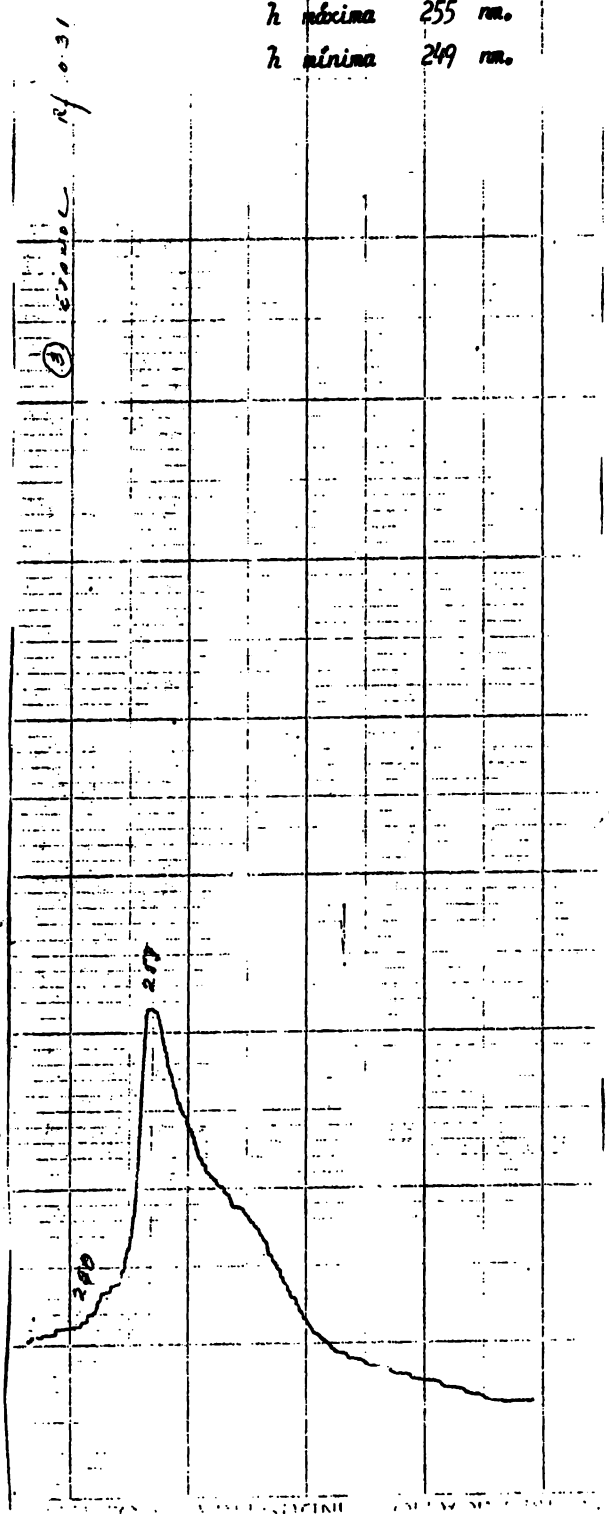
Long. de onda 50 nm / min.  
Vel. del papel 1 pgda / min.  
h máxima 258 nm  
h mínima 240 nm



Long. de onda 50 nm / min.  
Vel. del papel 1 pgsde/min.  
h máxima 270 nm.  
h mínima 250 nm.

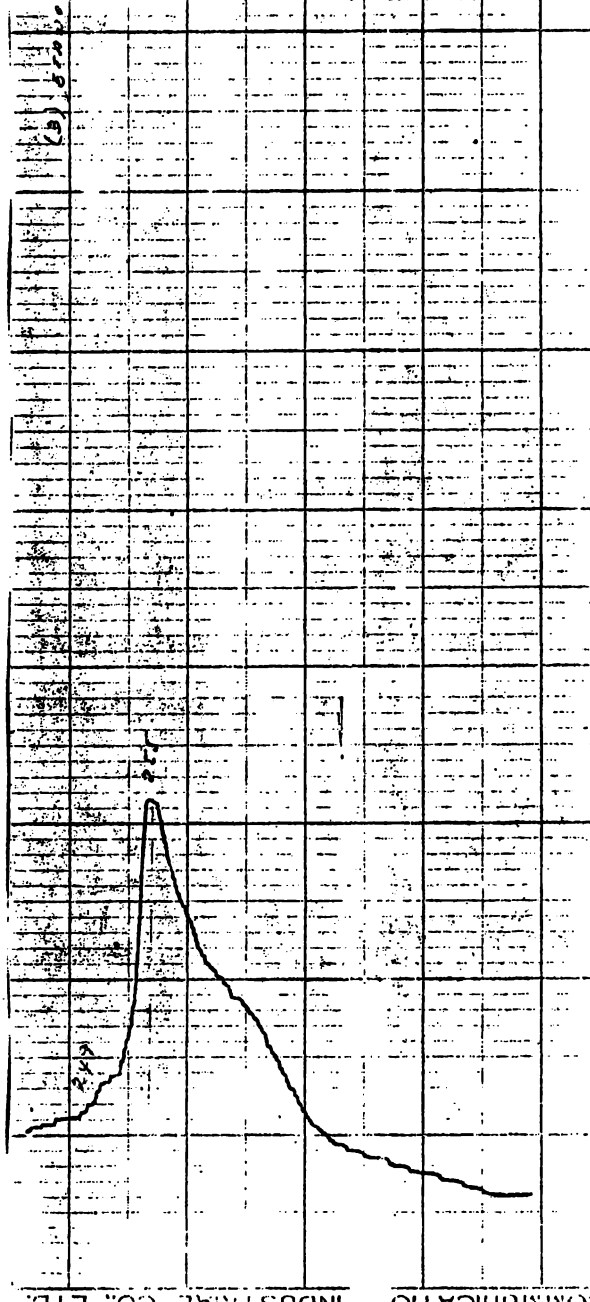


Long. de onda 50 nm / min.  
Vel. del papel 1 pgda / min.  
λ máxima 255 nm.  
λ mínima 249 nm.



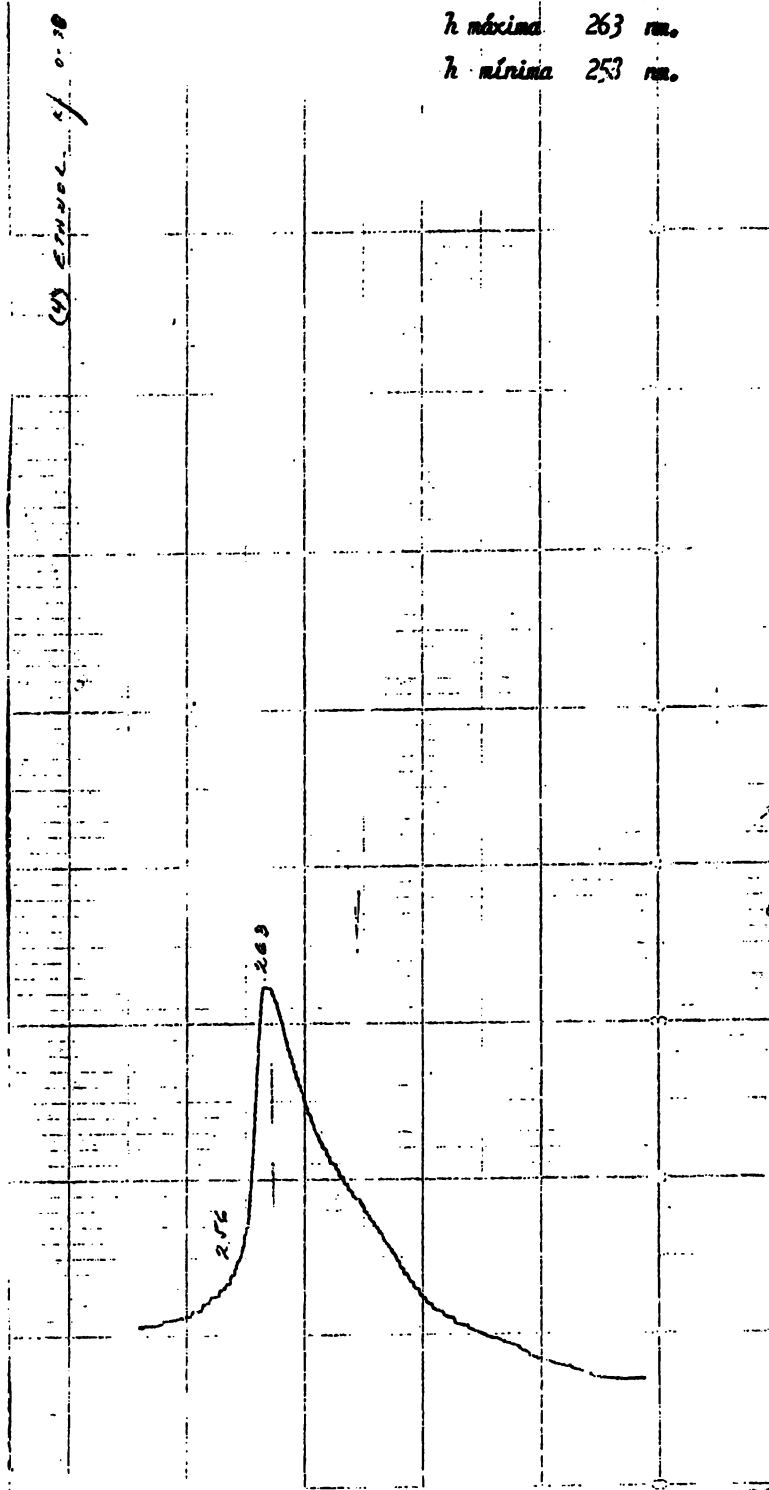
Long. de onda 50 nm / min.  
Vel. del papel 1 ppda / min.  
h máxima 255 nm.  
h mínima 249 nm.

100  
200  
300

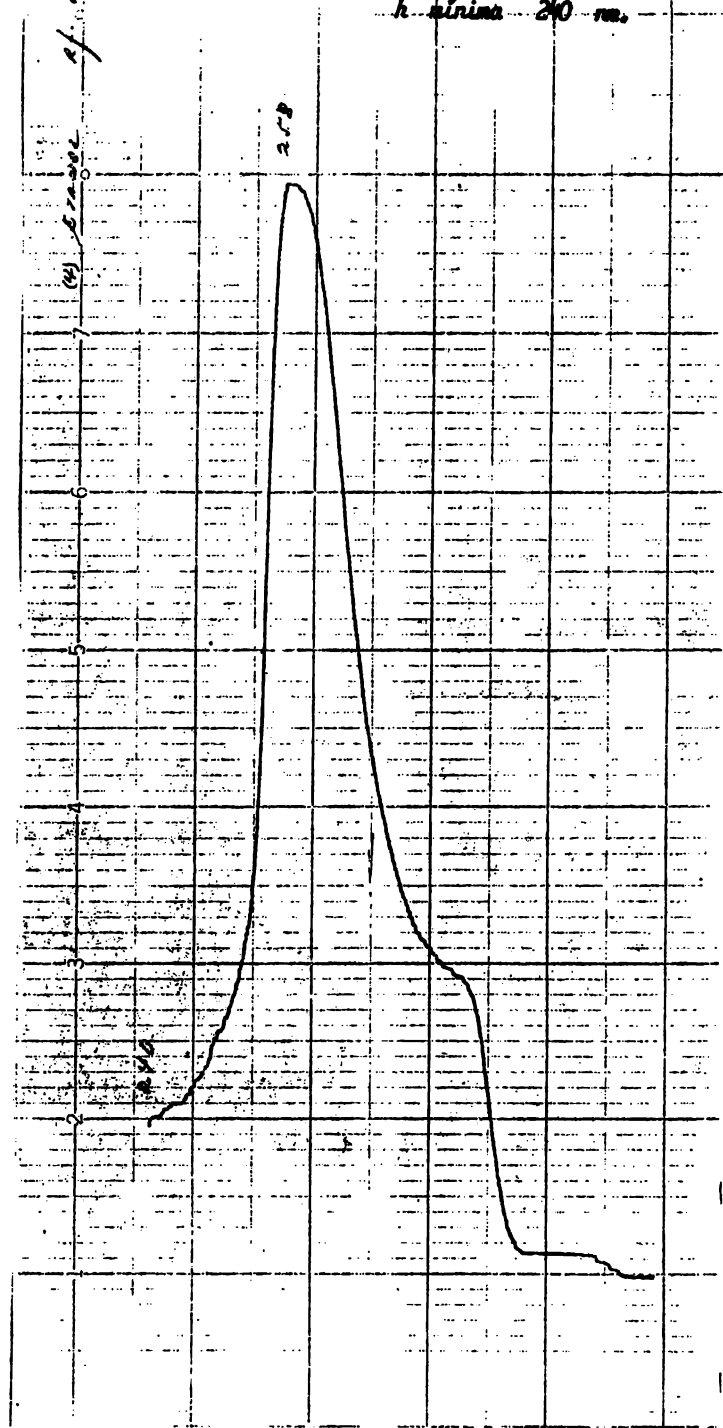


OMMULICATIO INDUSTRIAL CO., LTD.

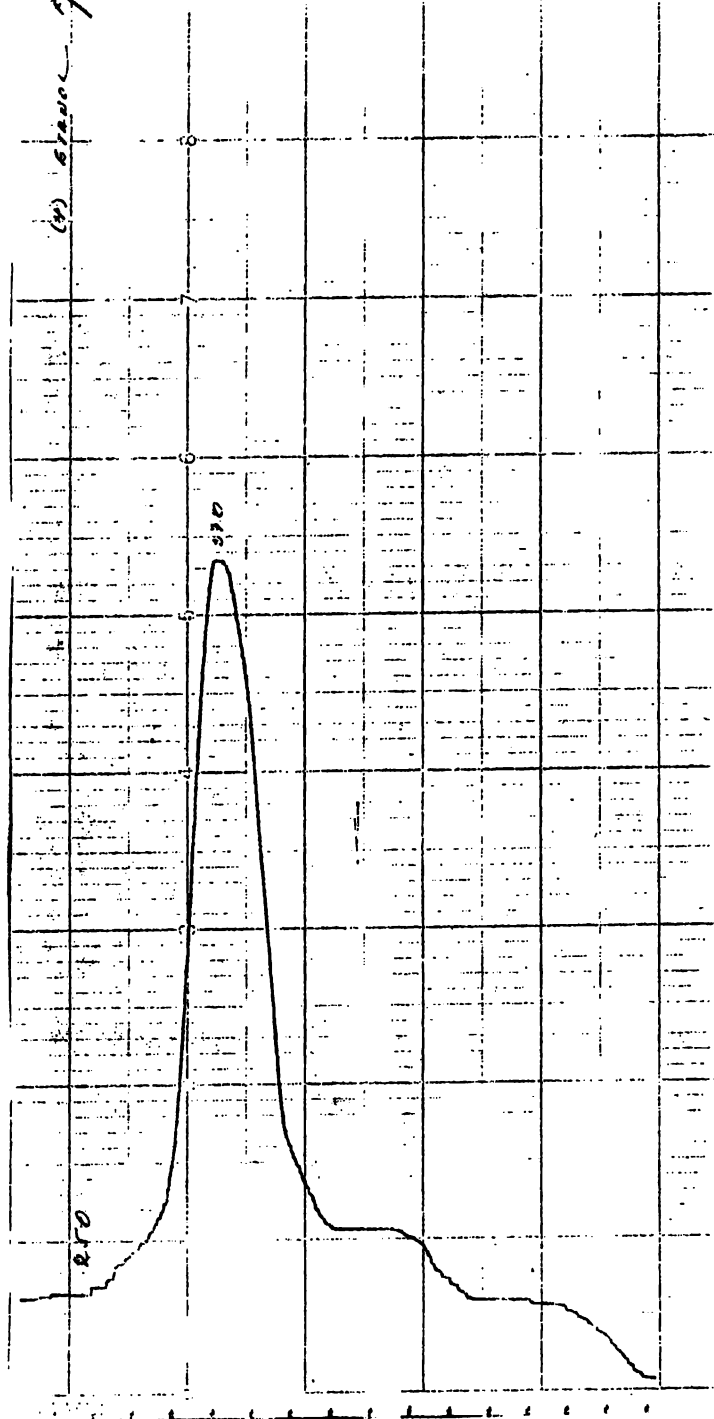
Long. de onda 50 nm / min.  
Vel. del papel 1 pgda / min.  
h máxima 263 nm.  
h mínima 253 nm.



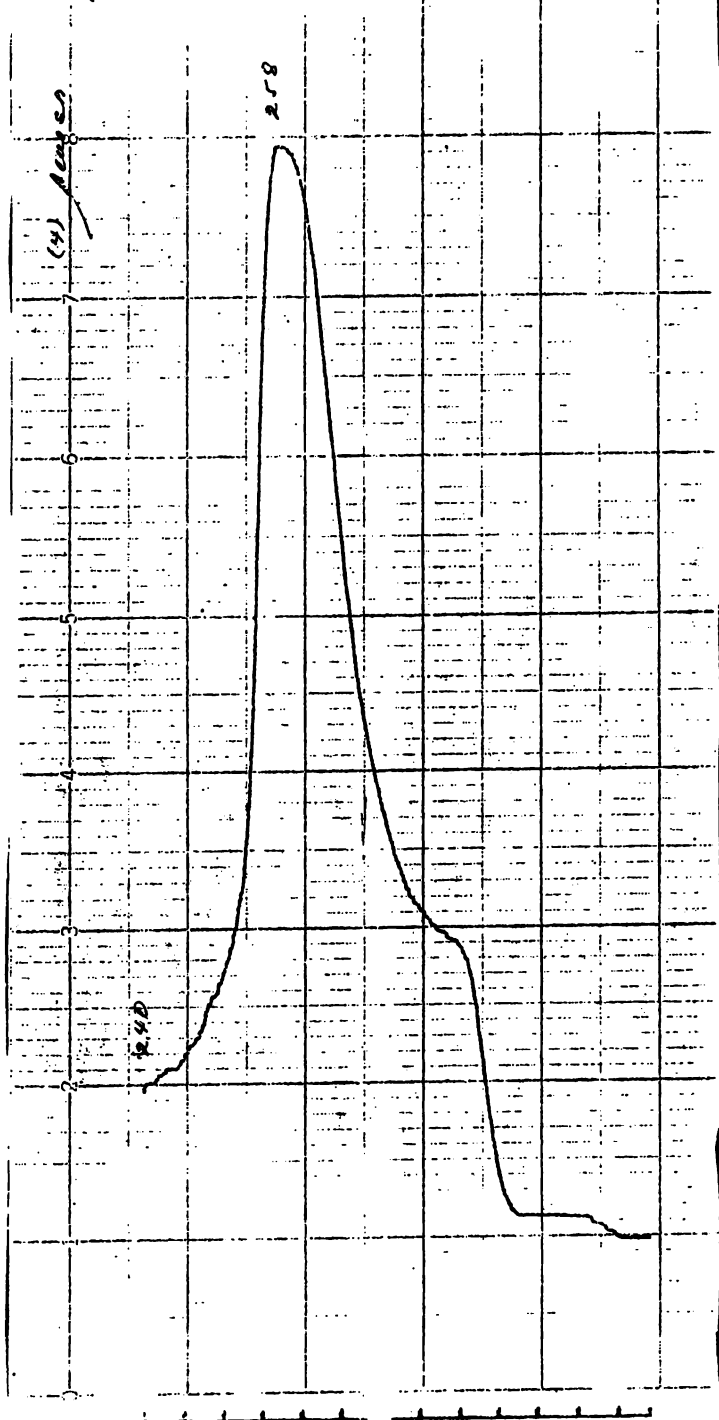
Longs de onda 50 nm / min.  
Vel. del papel 1 pgda / min.  
h máxima 258 nm.  
h mínima 240 nm.

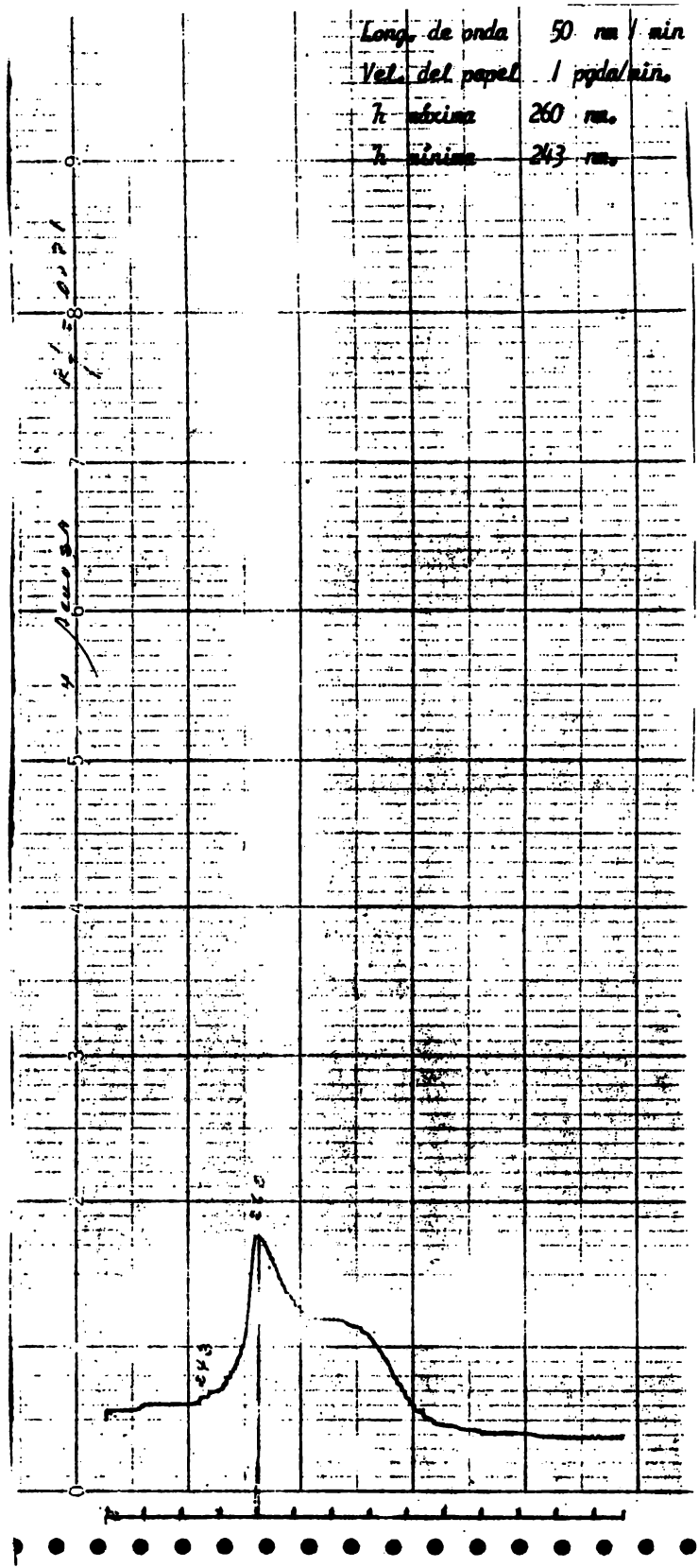


Long. de onda 50 nm / min.  
Vel. del papel 1 pgda / min.  
h máxima 270 nm.  
h mínima 250 nm.

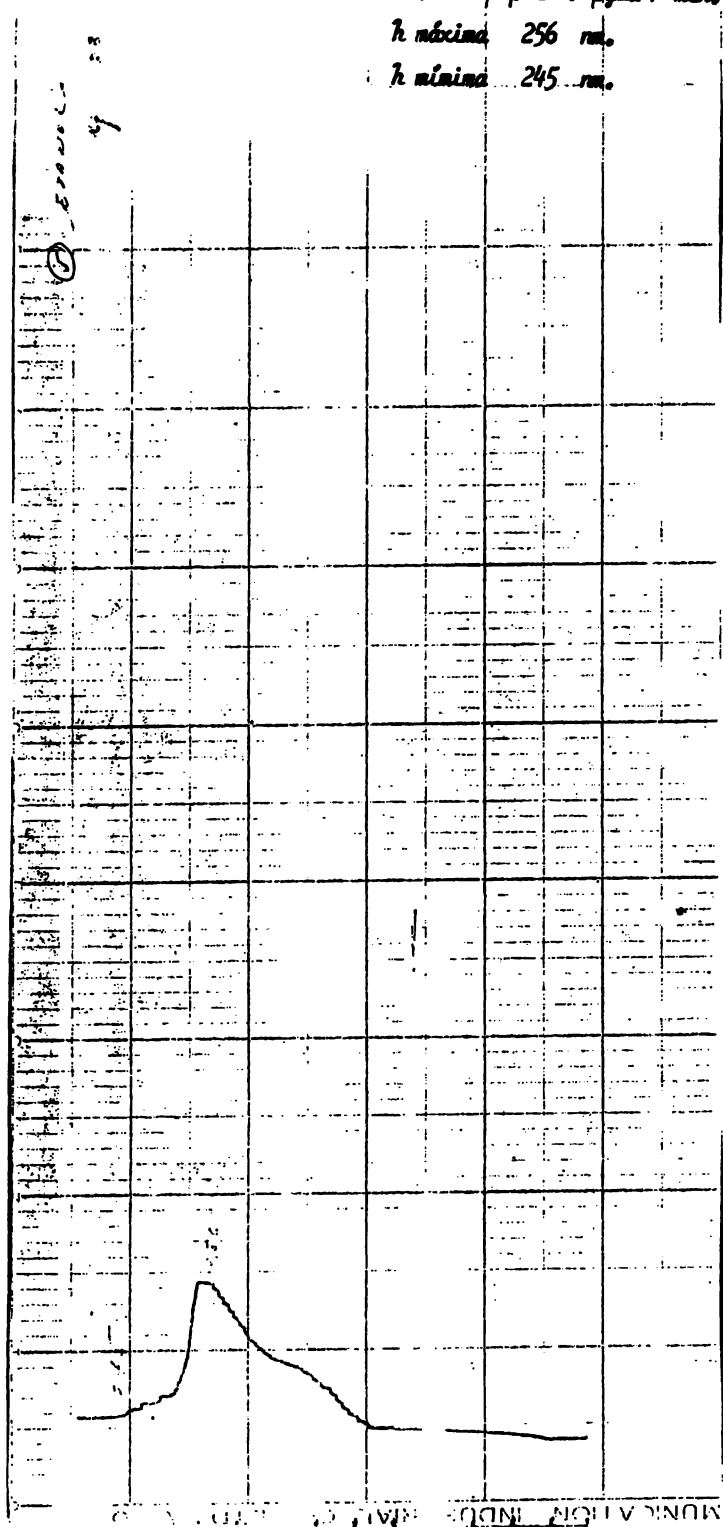


Long. de onda 50 nm./min.  
Vel. del papel 1 pgda/min.  
h máxima 258 nm.  
h mínima 240 nm.

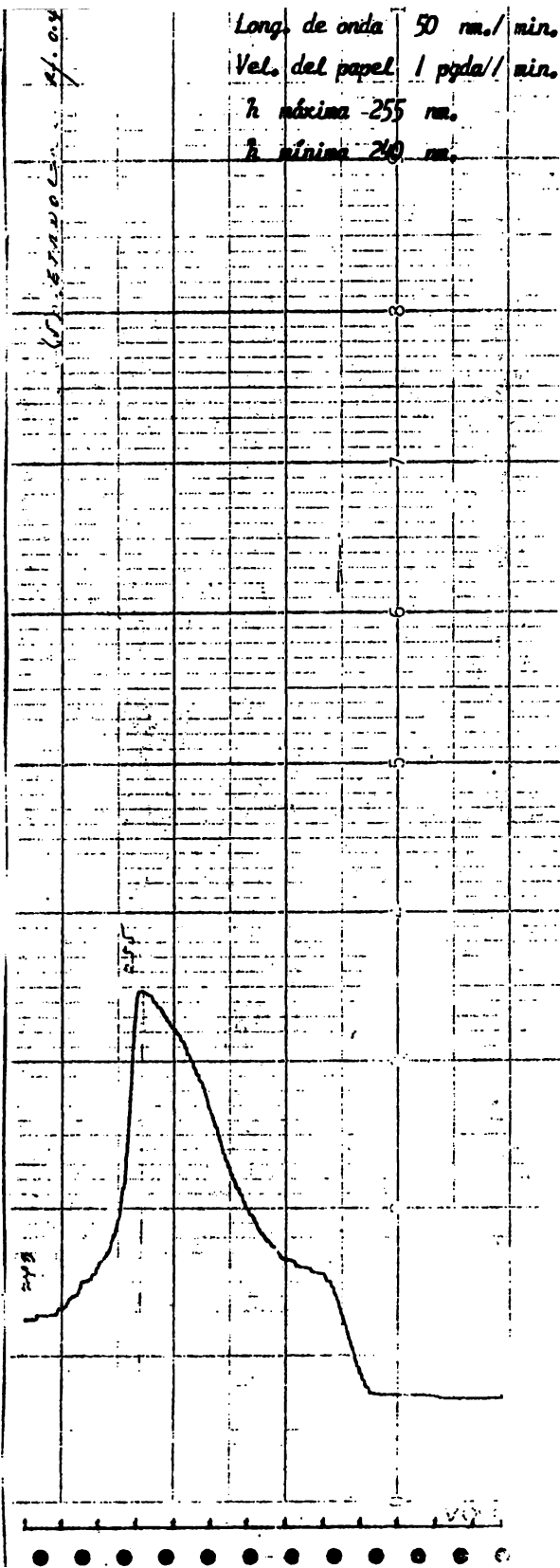




Long. de onda 50 nm./min.  
Vel. del papel 1 paga/min.  
h máxima 256 nm.  
h mínima 245 nm.

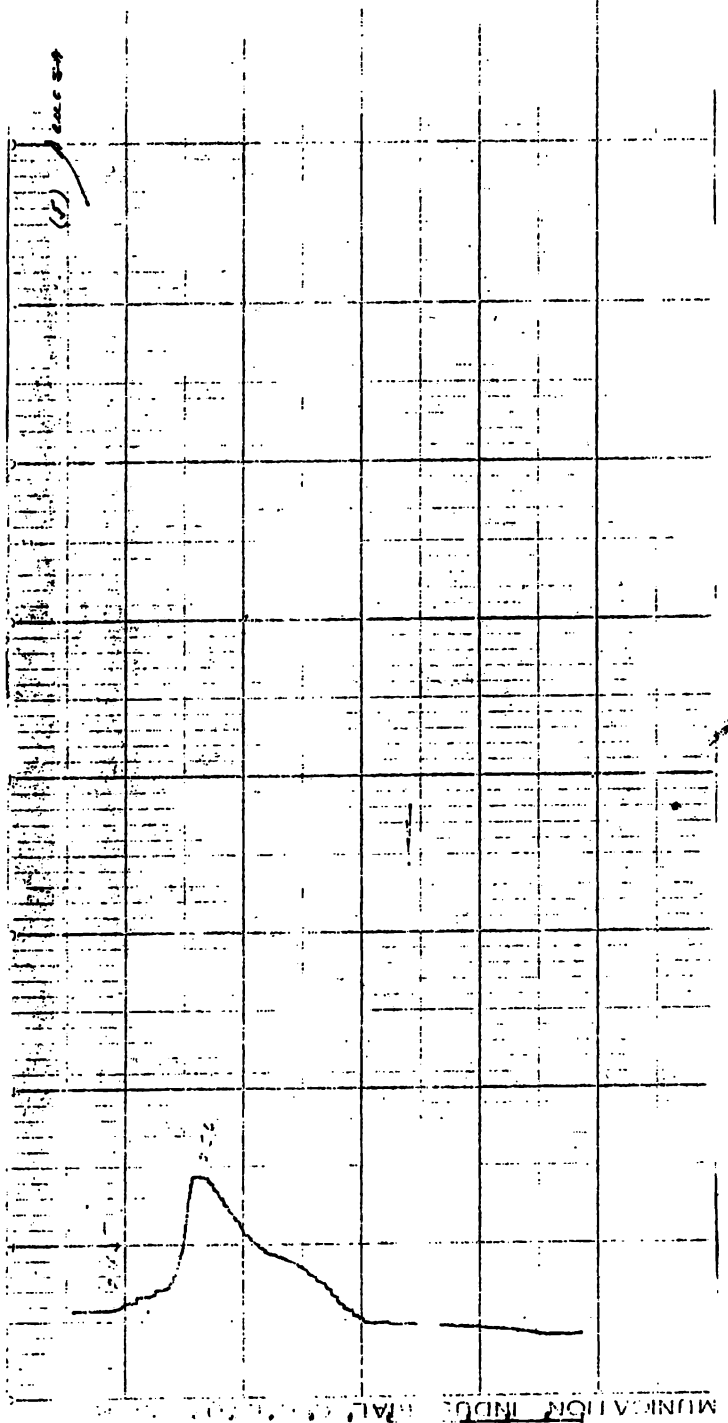


Long. de onda 50 nm./min.  
Vel. del papel 1 pgda/min.  
h máxima 255 nm.  
h mínima 240 nm.

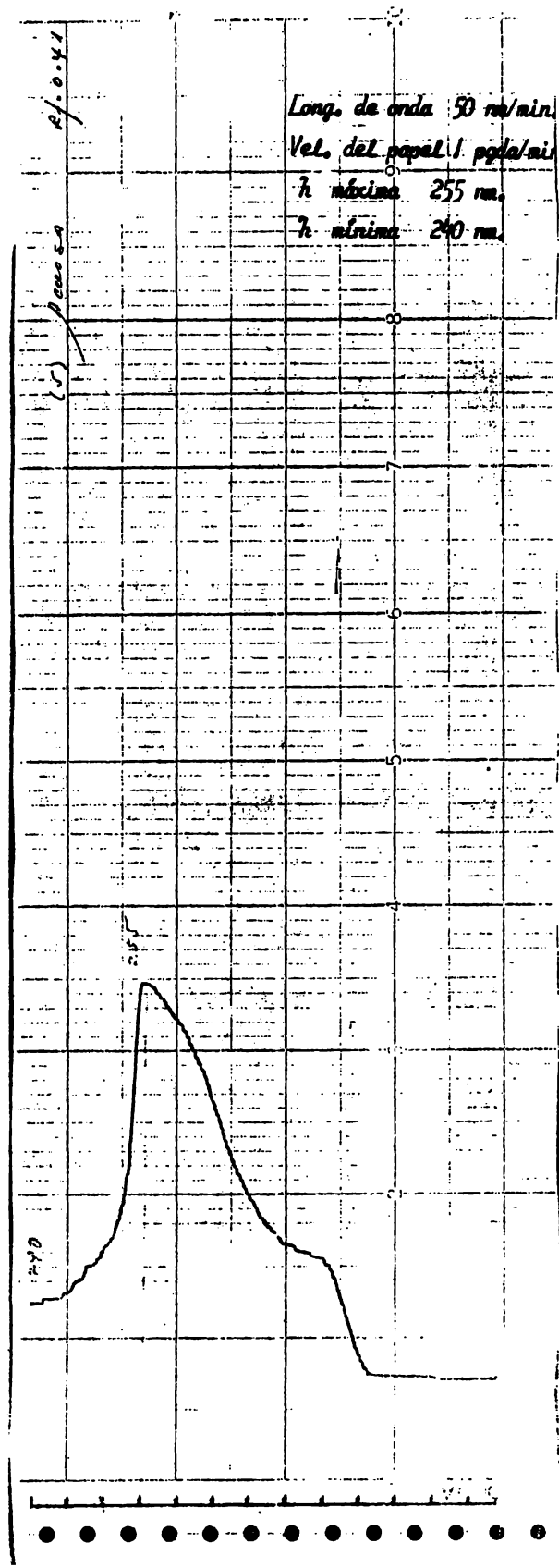


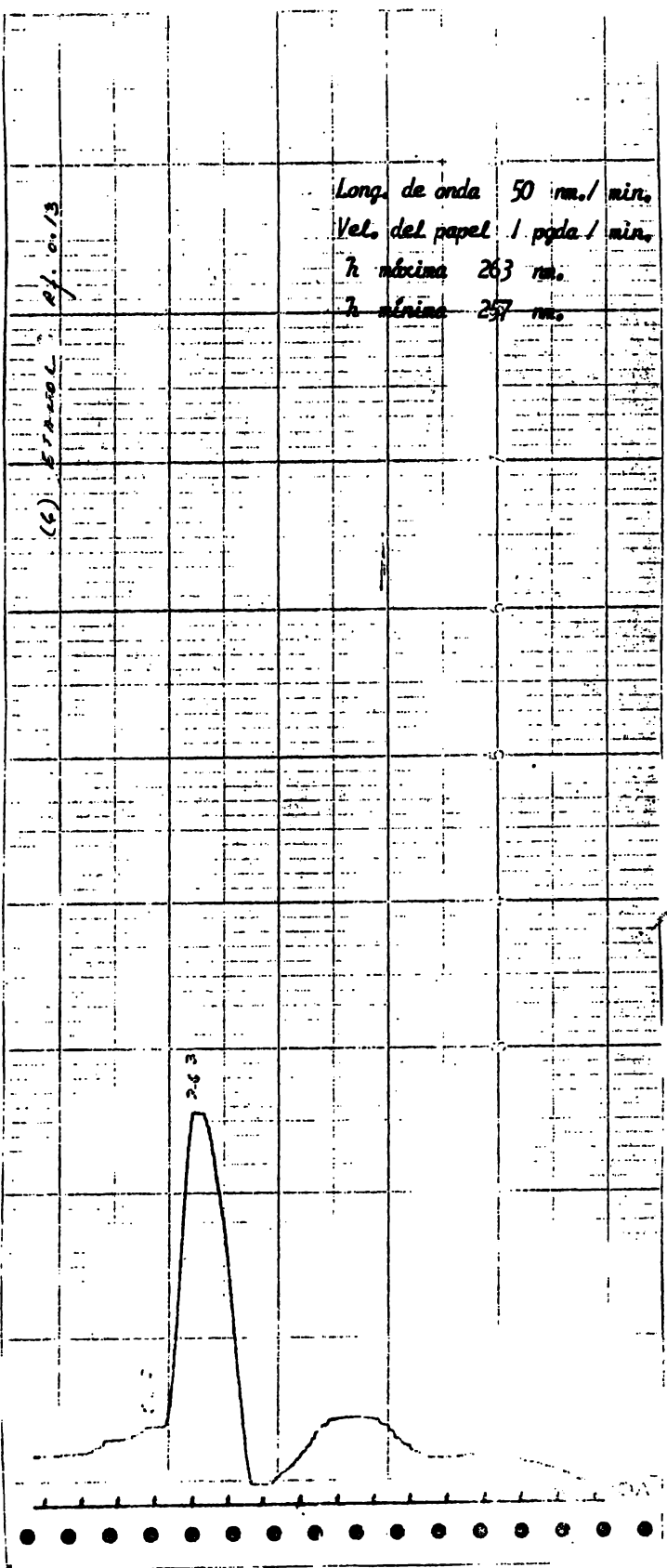
9/0.25

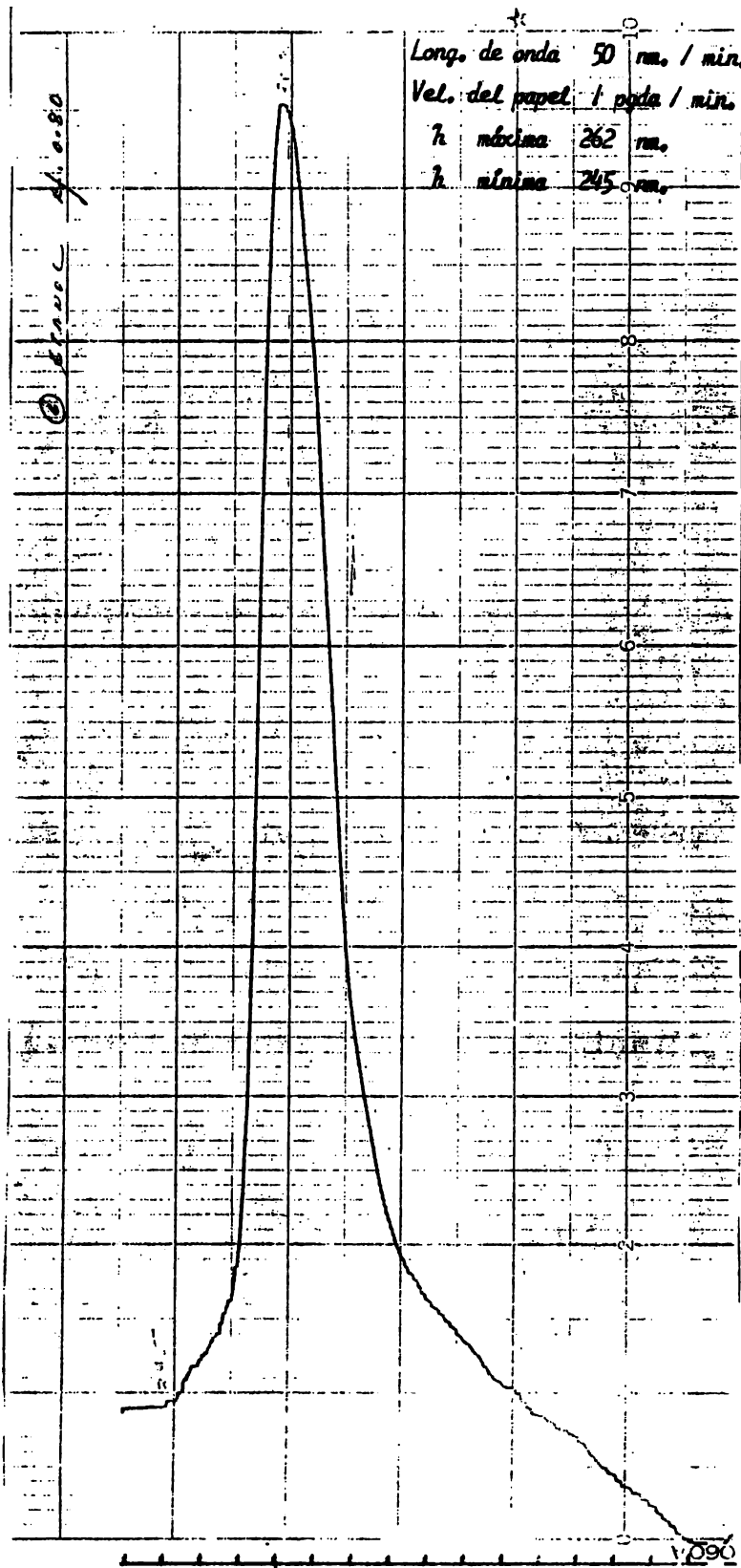
Long. de onda 50 nm./min.  
Vel. del papel 1 pgda/min.  
 $\lambda_{\text{máxima}}$  256 nm.  
 $\lambda_{\text{mínima}}$  245 nm.

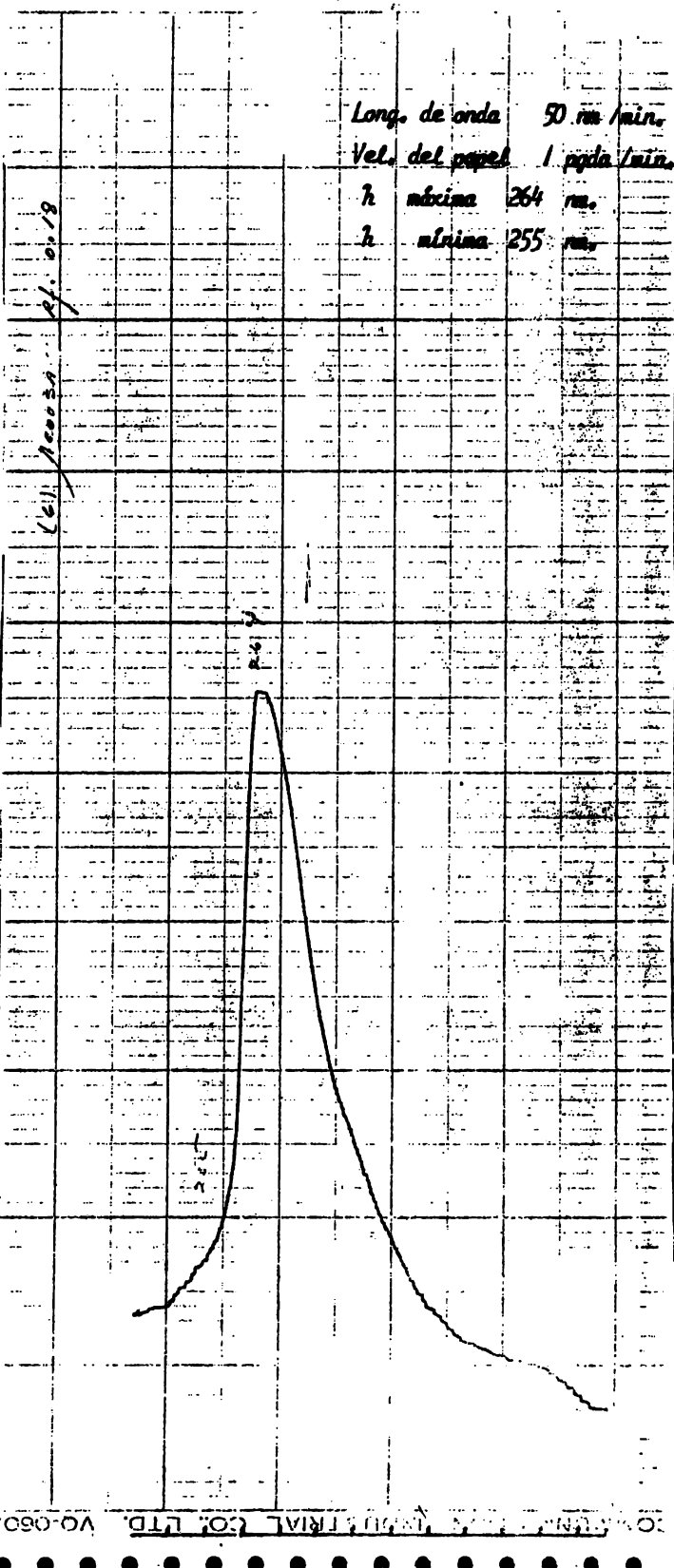


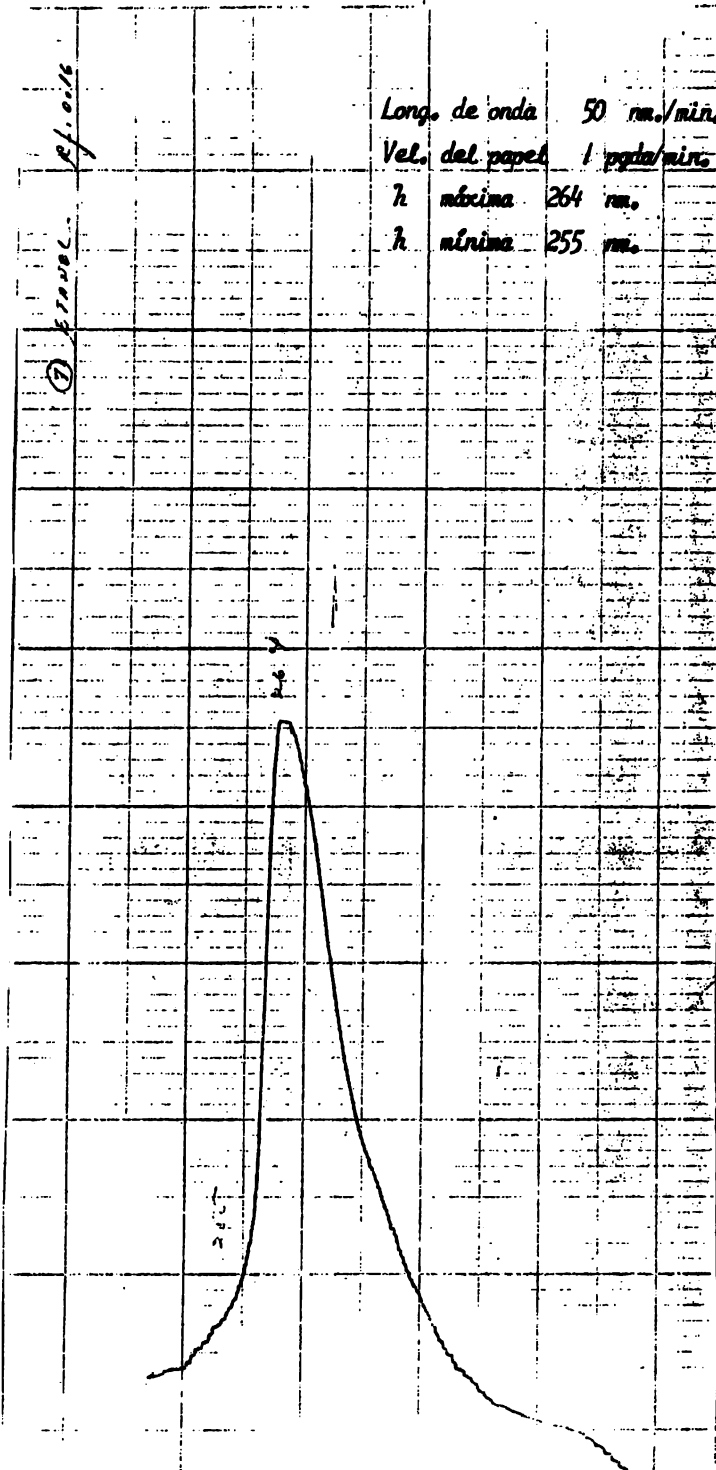
MUNICIPALIDAD INDUSTRIAL DE LA PLATA





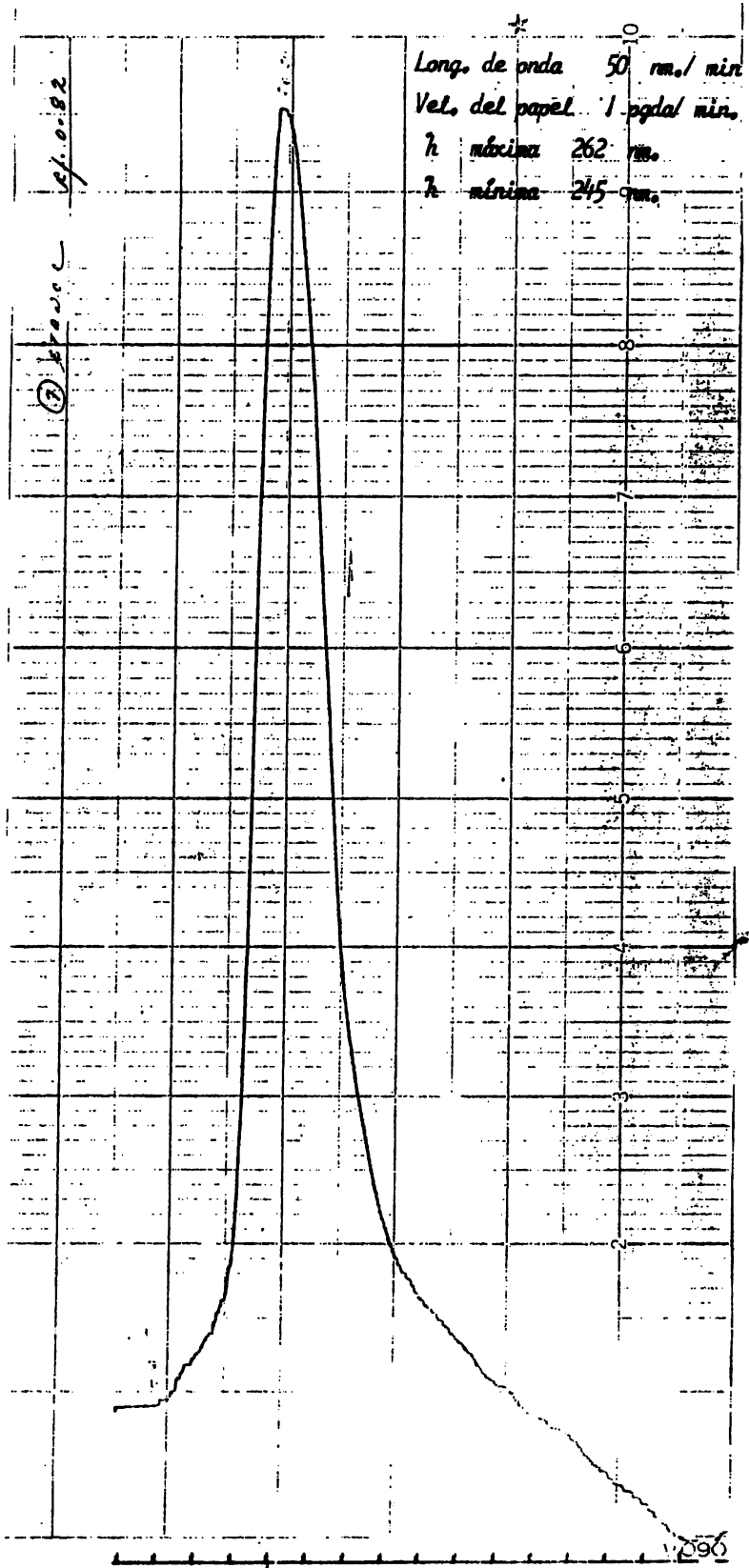


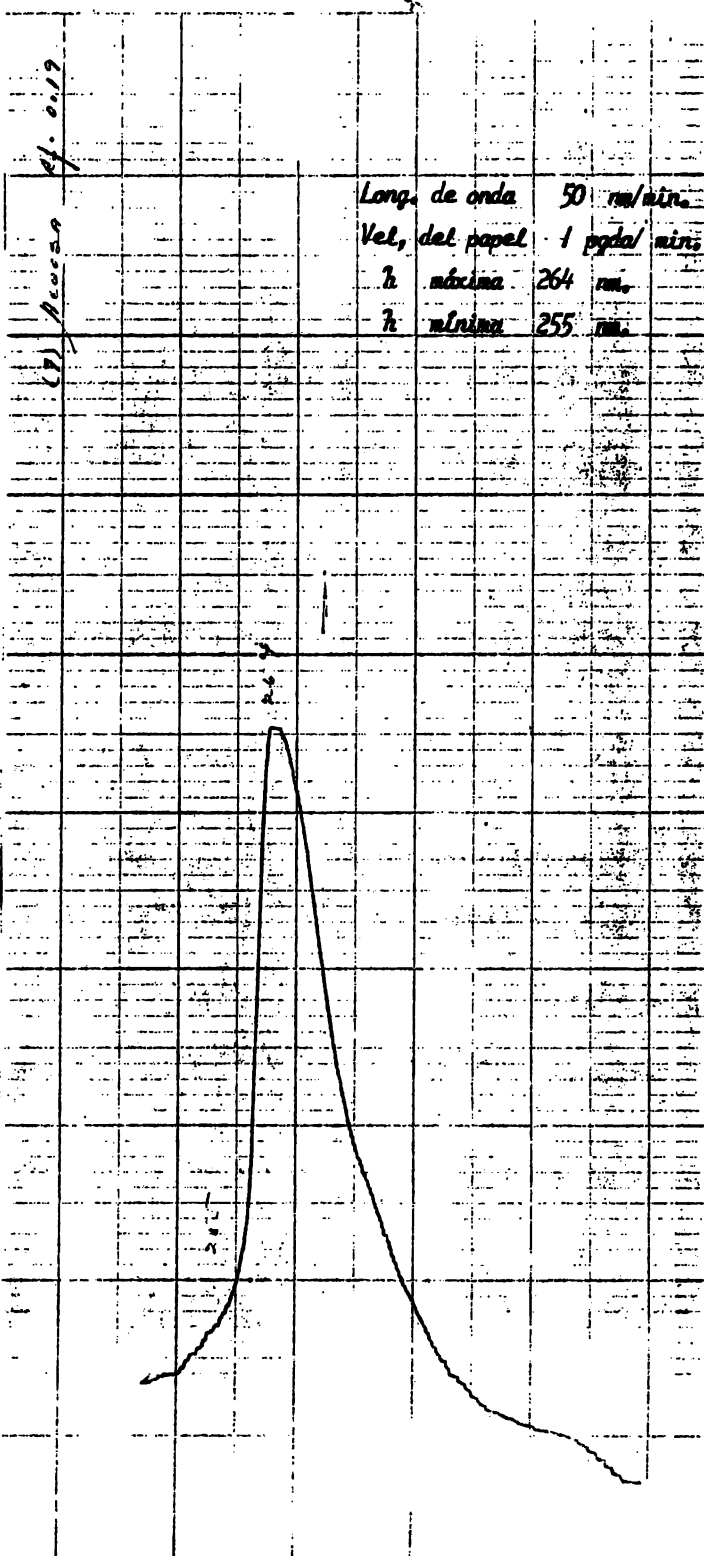


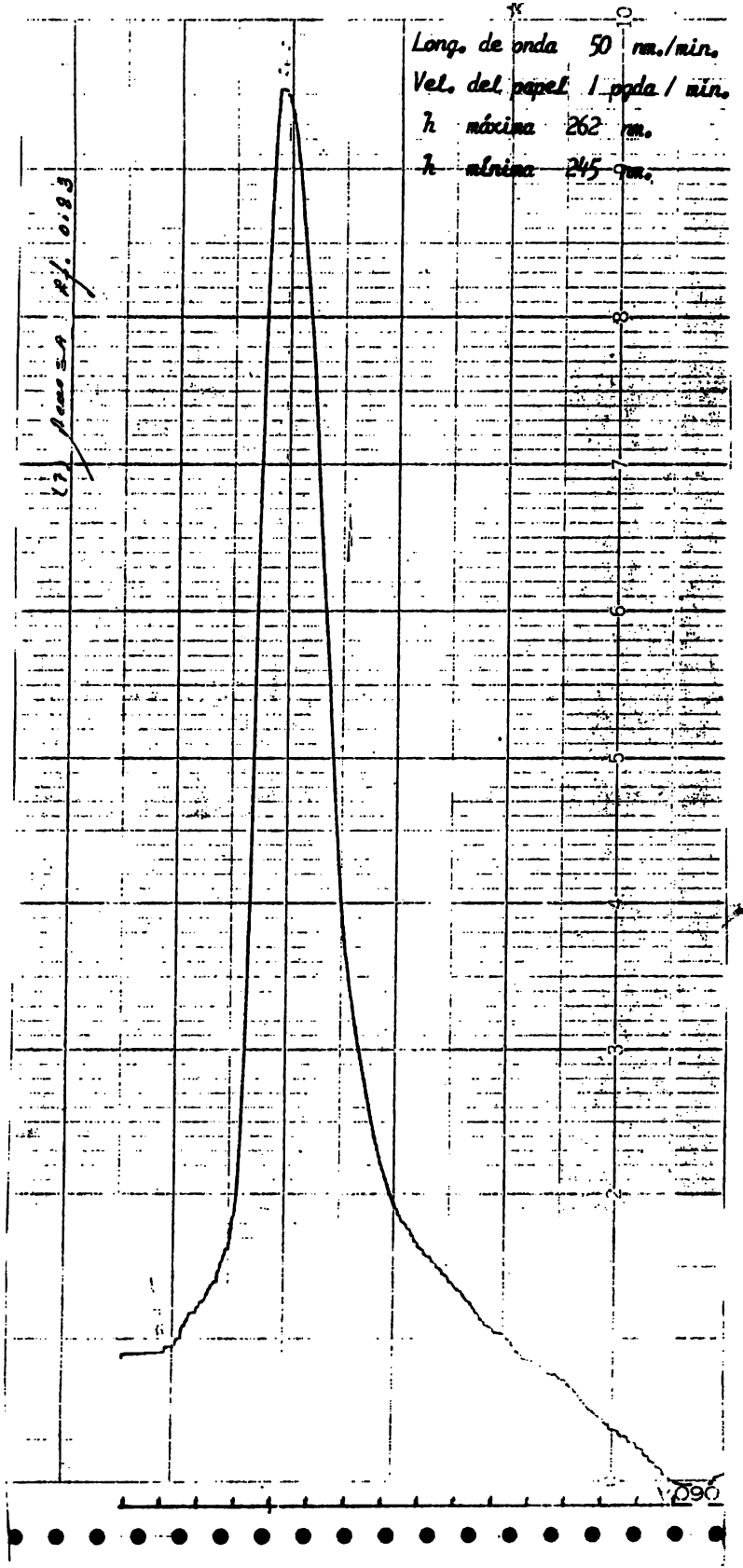


OC 1000 THERMOCOUPLE 1000 TRIAL 500 UTD VC-050

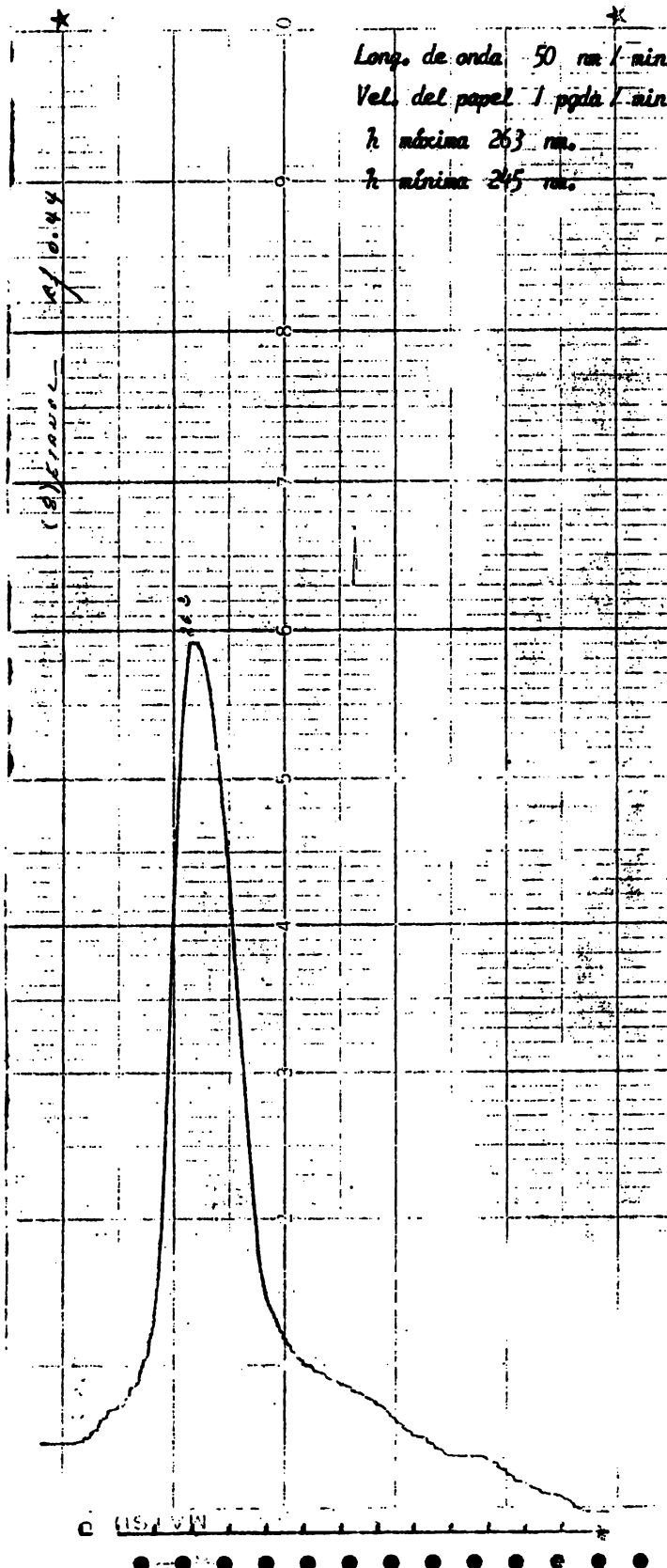
● ● ● ● ● ● ● ● ● ● ● ● ●



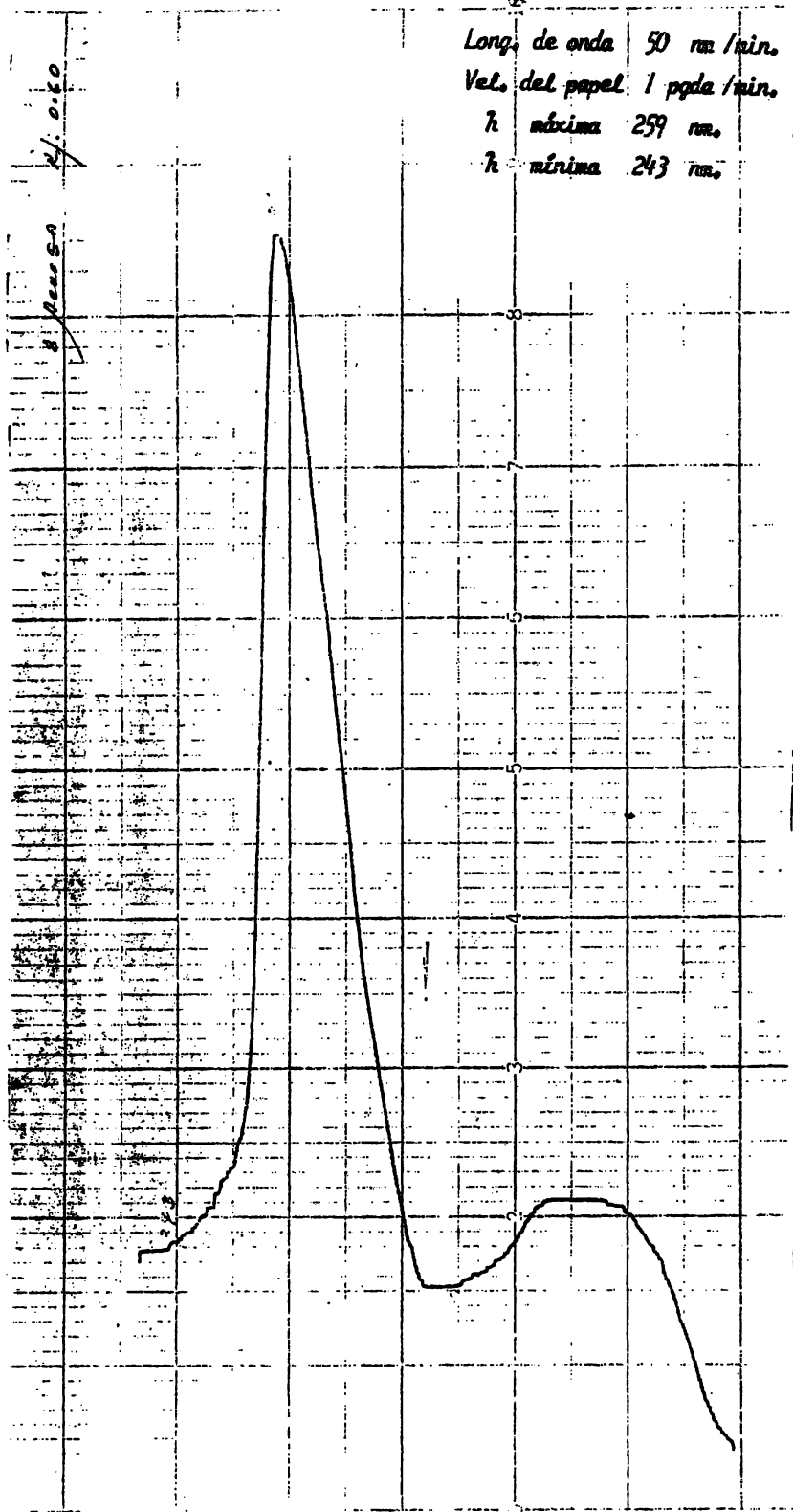




Long. de onda 50 nm / min.  
Vel. del papel 1 pgda / min  
 $h_{\text{atrima}} = 263 \text{ nm}$   
 $h_{\text{atrima}} = 265 \text{ nm}$



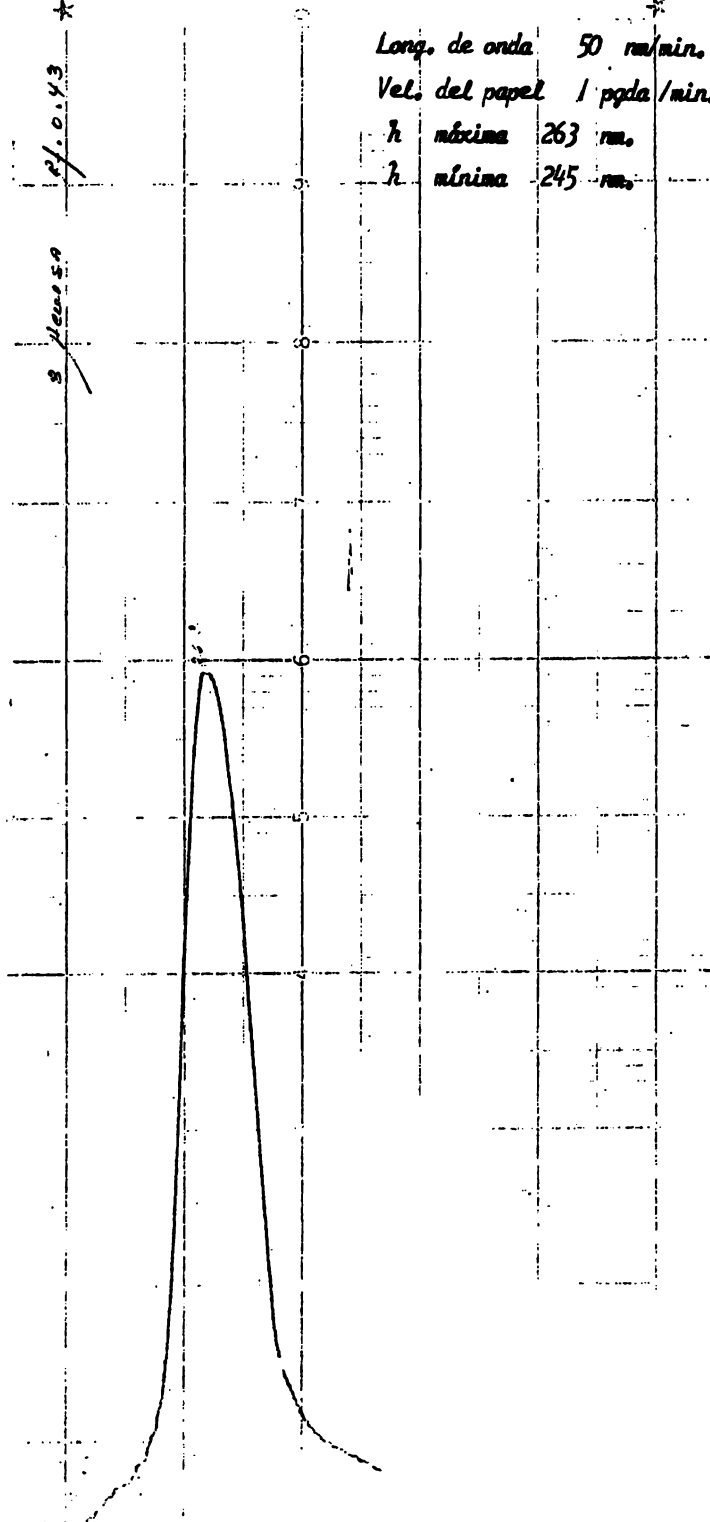
Long. de onda 50 nm/min.  
Vel. del papel 1 paga/min.  
h máxima 259 nm.  
h mínima 243 nm.



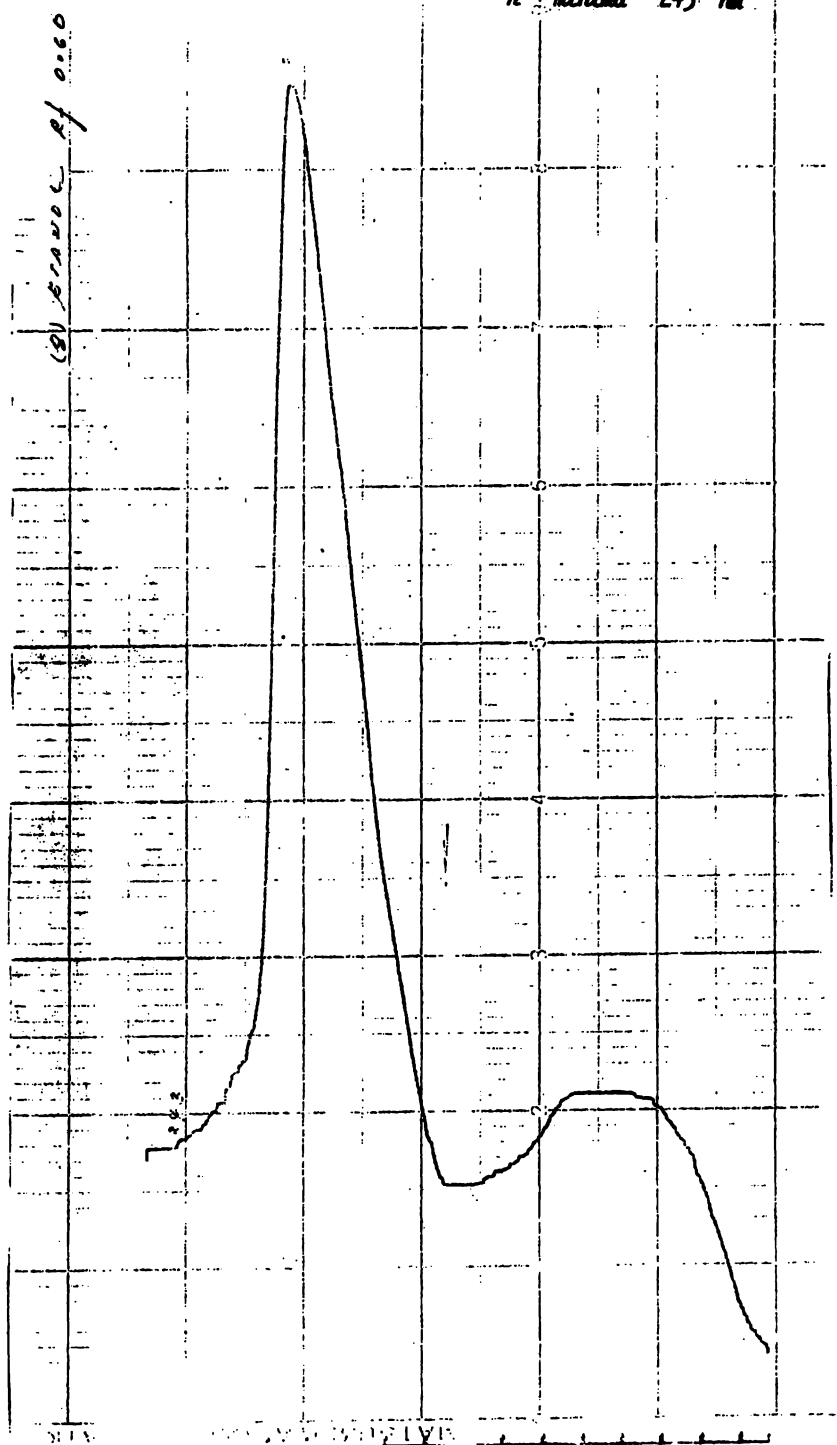
Long. de onda 27.0.43 \*

3 Dec 5.0

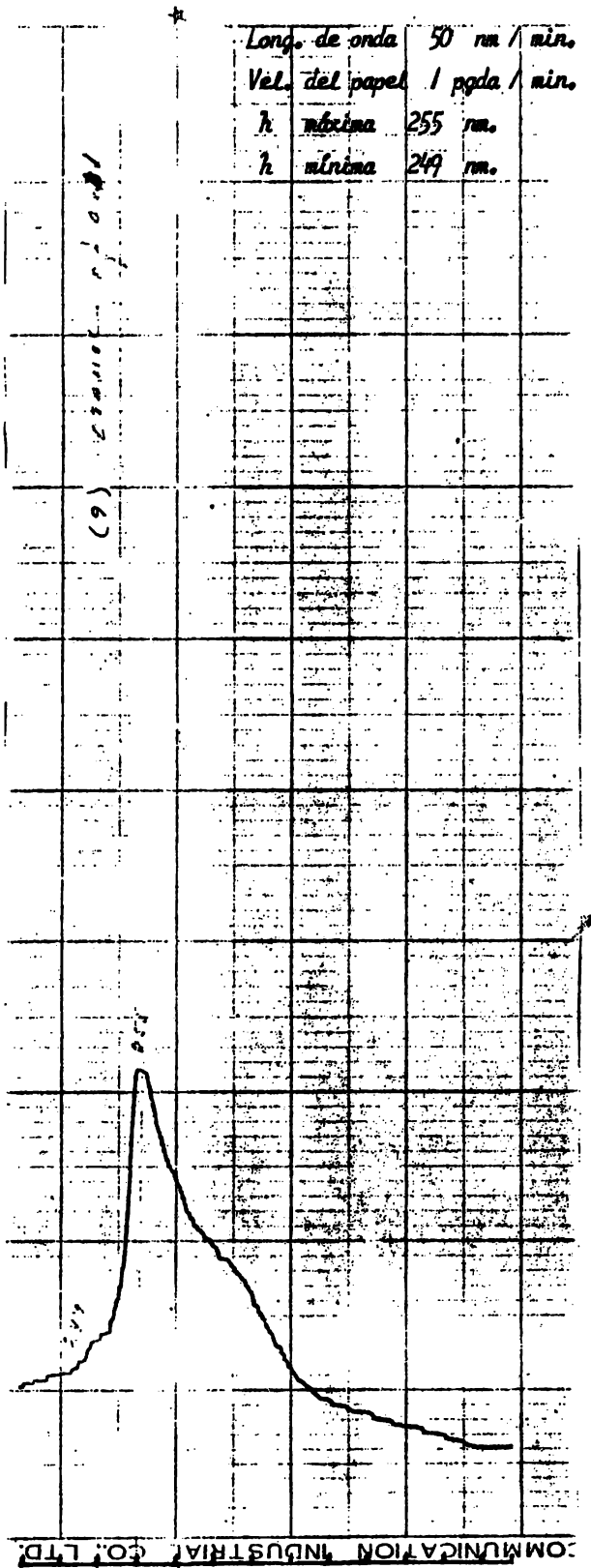
Long. de onda 50 nm/min.  
Vel. del papel 1 pgda/min.  
h máxima 263 nm.  
h mínima 245 nm.



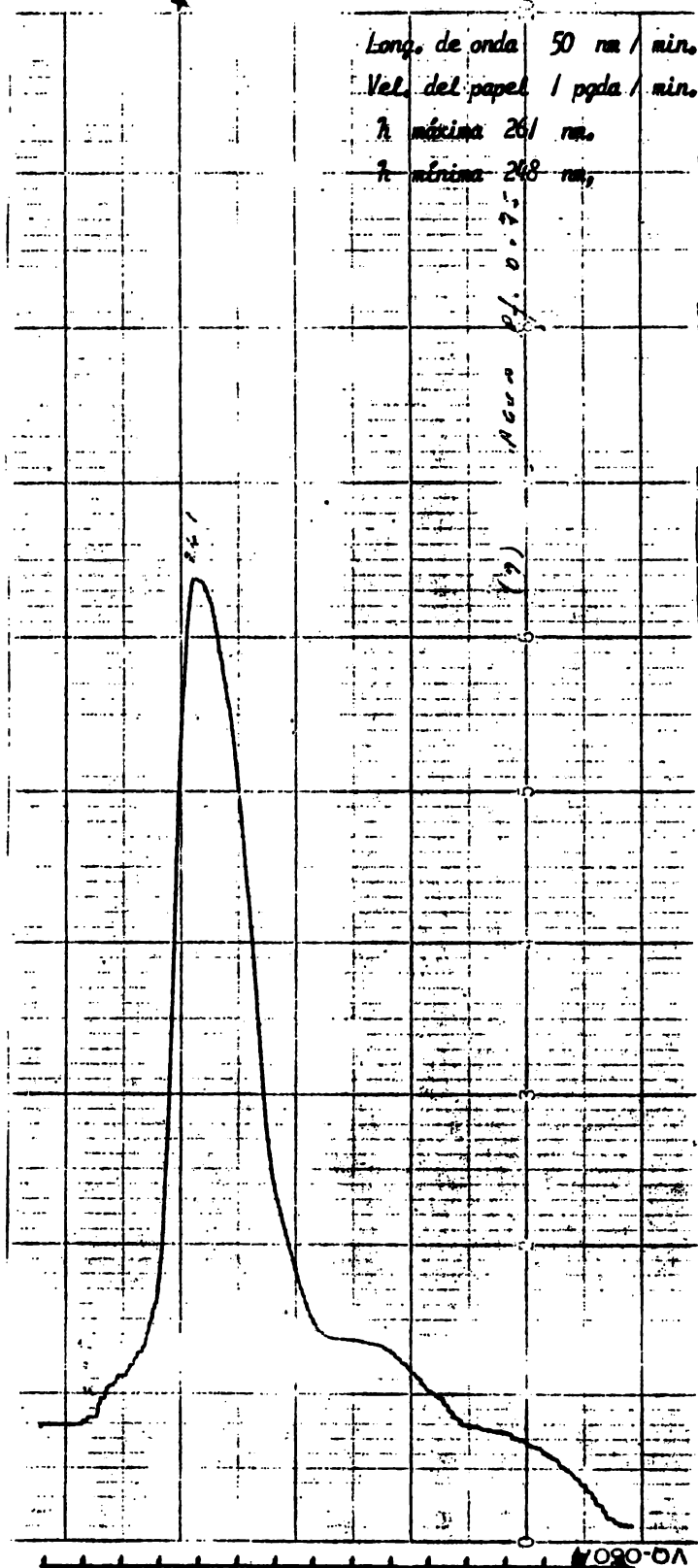
Long. de onda 50 nm / min.  
Vel. del papel 1 pgda / min.  
h máxima 259 nm  
h mínima 243 nm



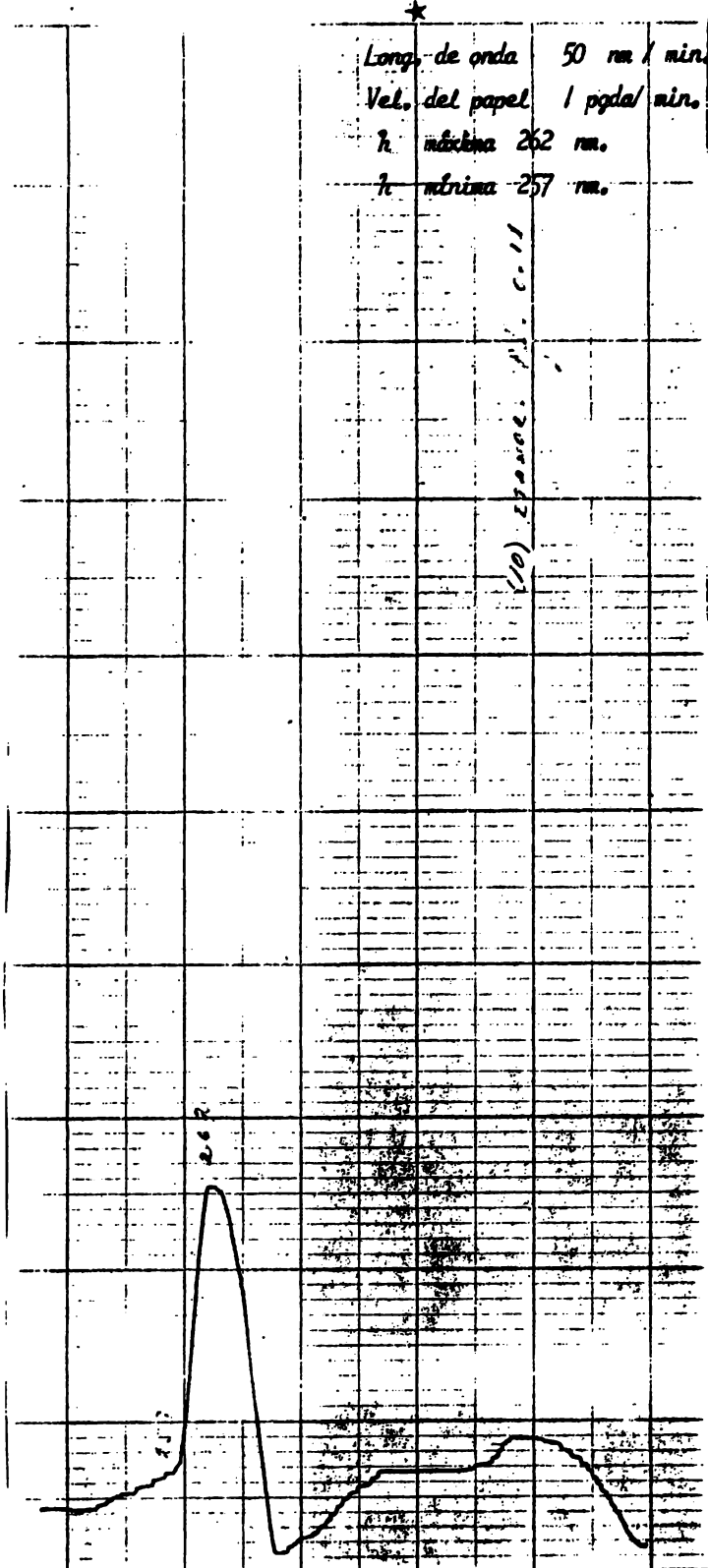
Long. de onda	50 nm / min.
Vel. del papel	1 pgsd / min.
λ <sub>máxima</sub>	255 nm.
λ <sub>mínima</sub>	249 nm.



COMMUNICATION INDUSTRIAL CO., LTD.

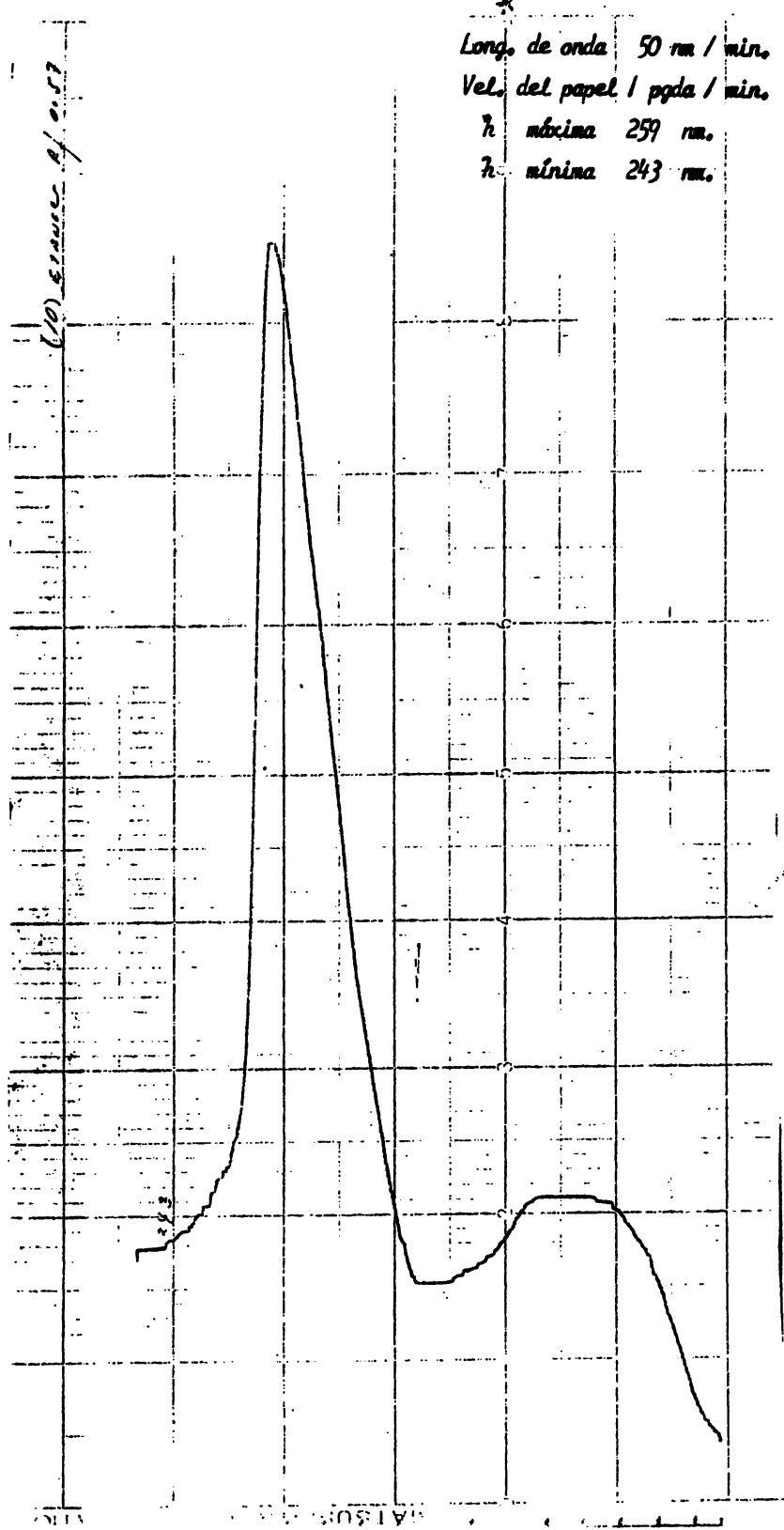


Long. de onda 50 nm / min.  
Vel. del papel 1 pgda/ min.  
h. máxima 262 nm.  
h. mínima 257 nm.

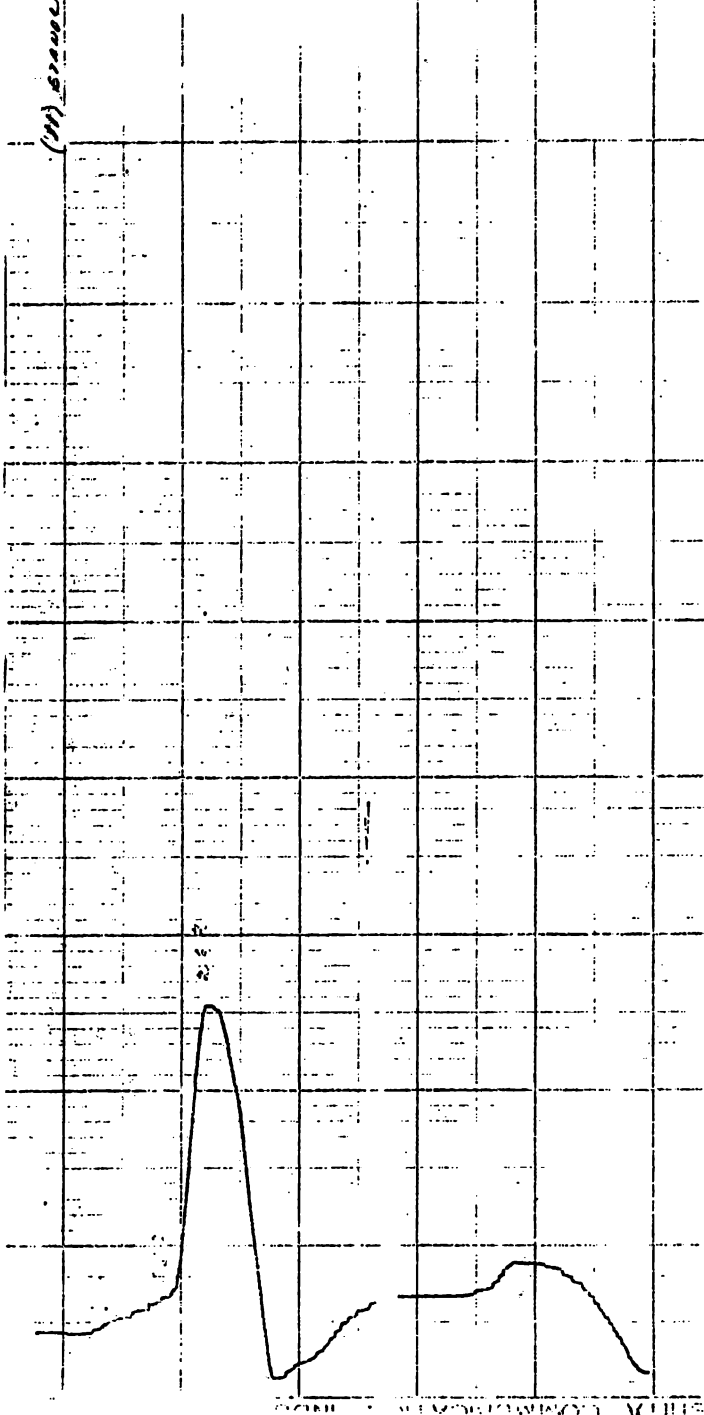


SHITA COMMUNICATION INDUSTRIAL CO., LTD.

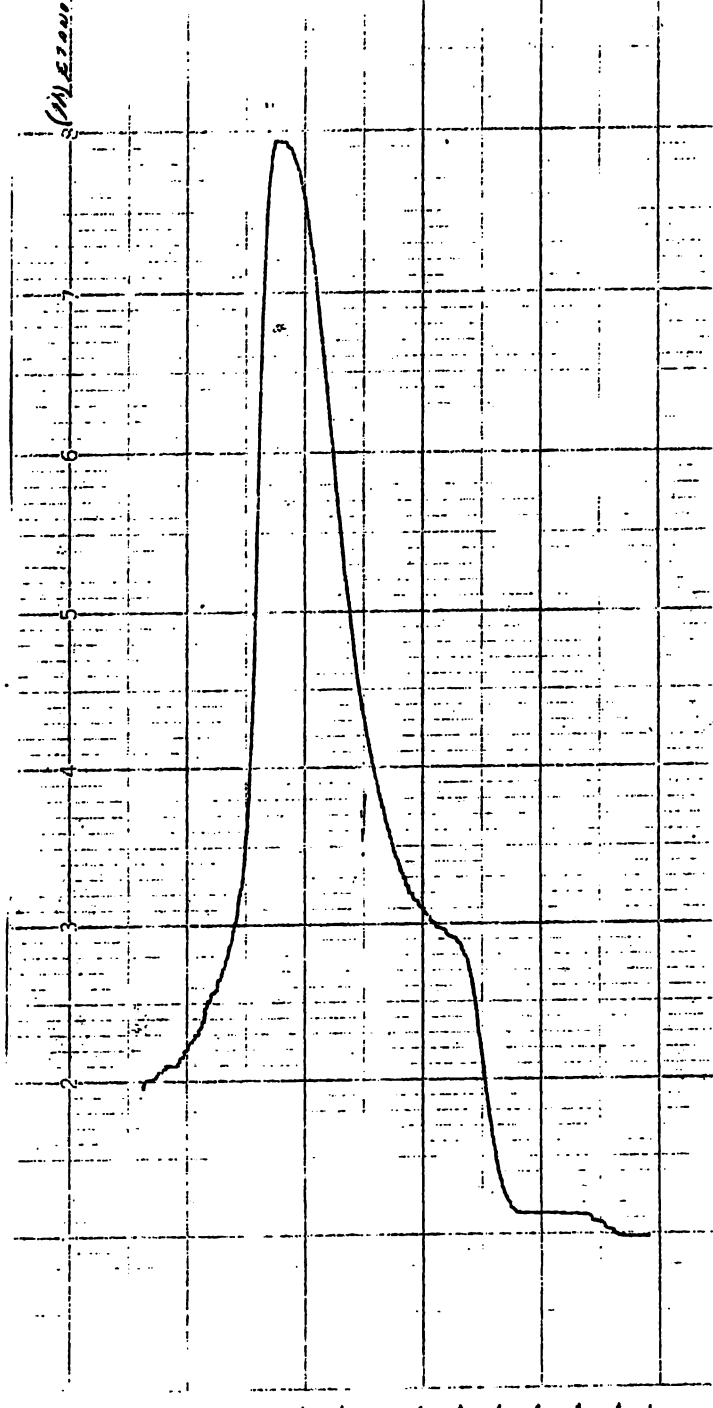




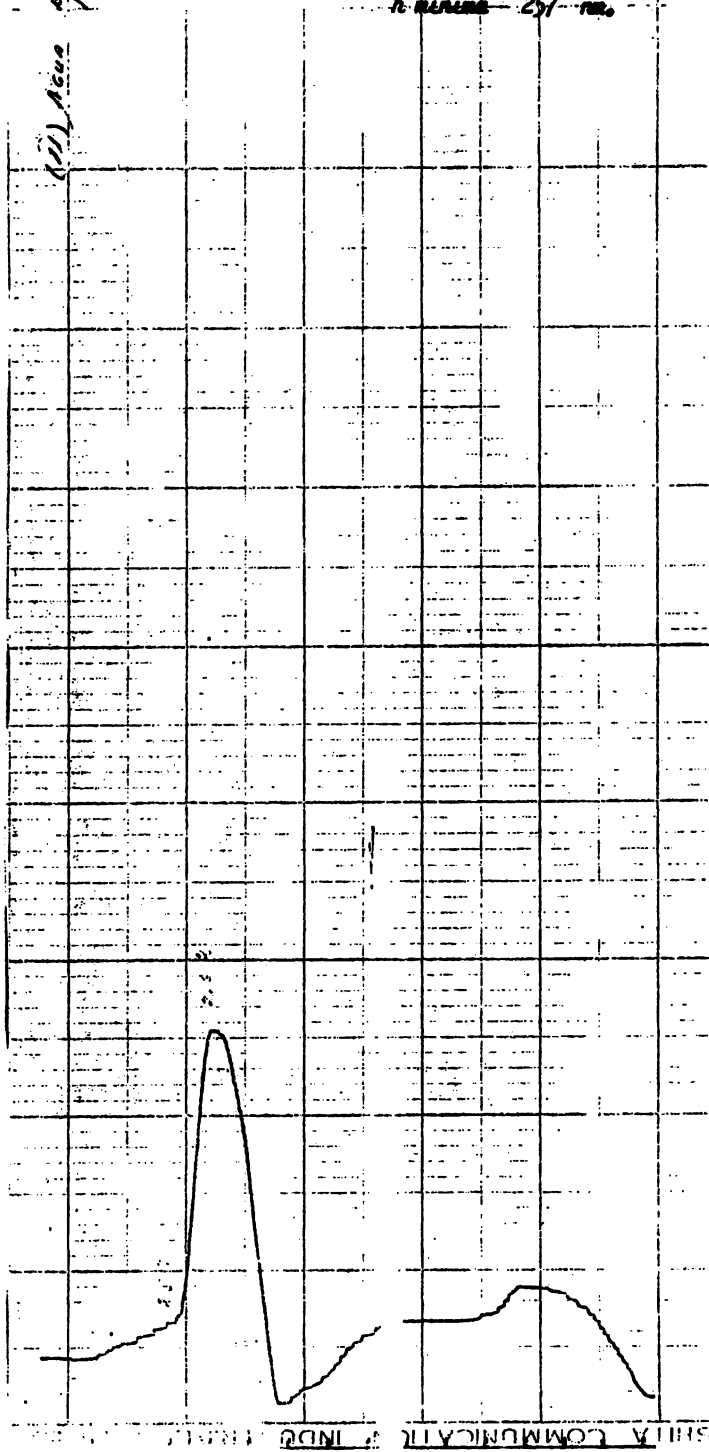
Long. de onda 50 nm./min.  
Vel. del papel 1 pgda/min.  
h máxima 262 nm.  
h mínima 257 nm.



Long. de onda 50 nm / min.  
Vel. del papel 1 pgda / min.  
h máxima 258 nm.  
h mínima 240 nm.

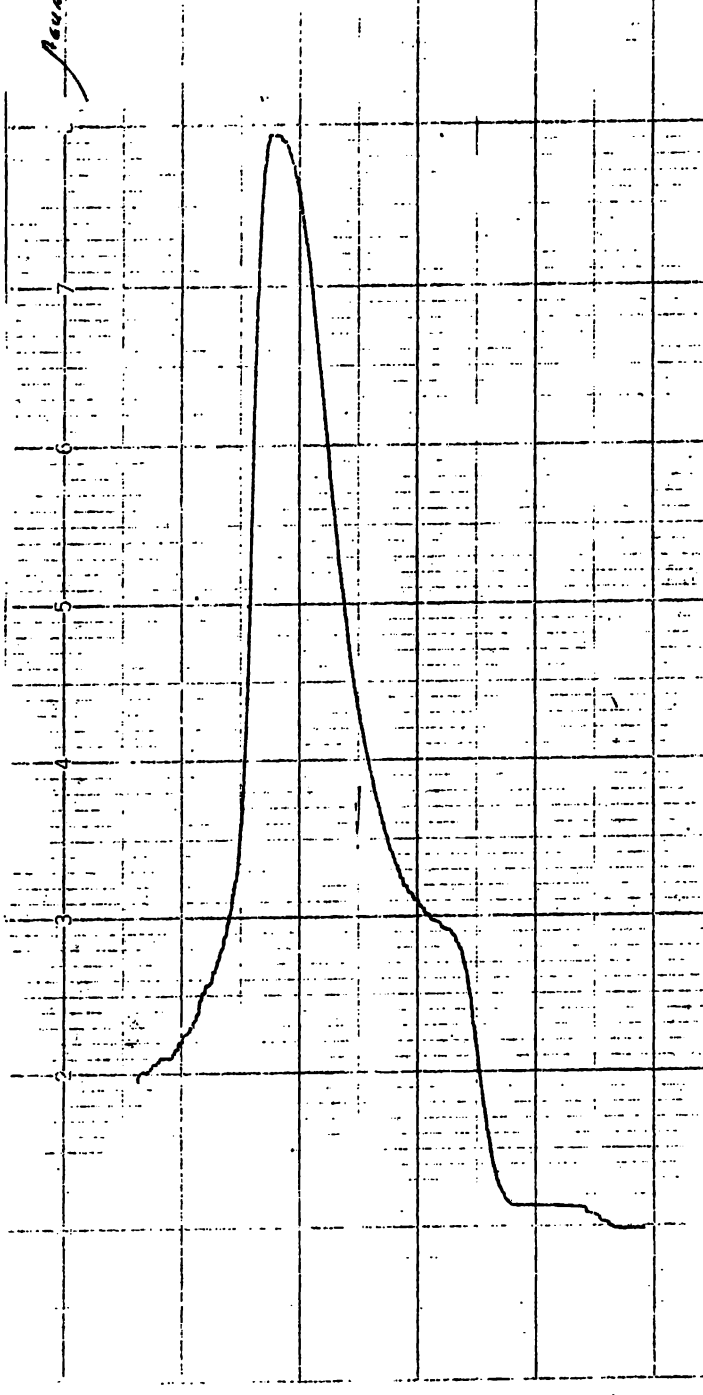


X  
Long. de onda 50 nm / min.  
Vel. del papel 1 pgda/min.  
h máxima 262 nm.  
h mínima 257 nm.



Long. de onda 50 nm / min.  
Vel. del papel 1 pgda / min.  
 $\lambda$  máxima 259 nm.  
 $\lambda$  mínima 243 nm.

Recor. cf. 0.022

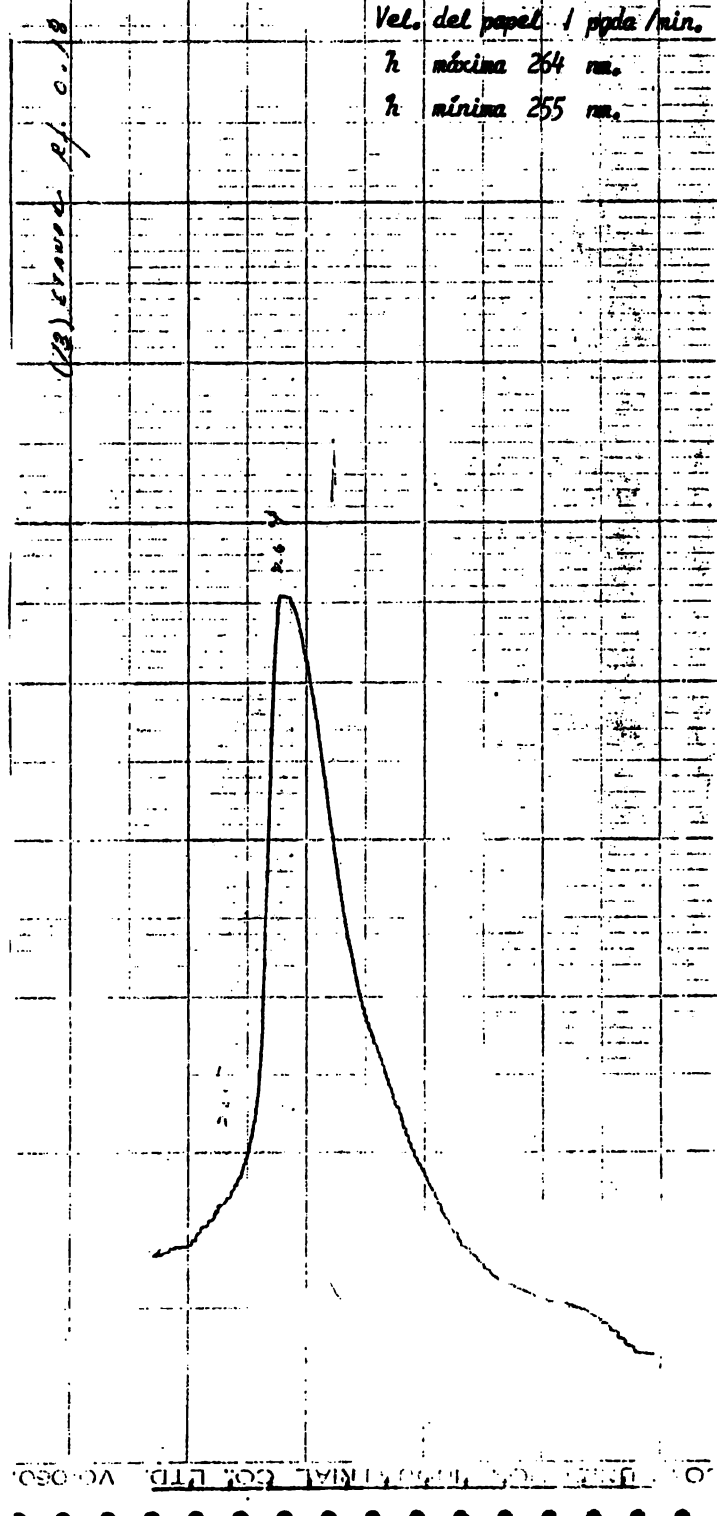


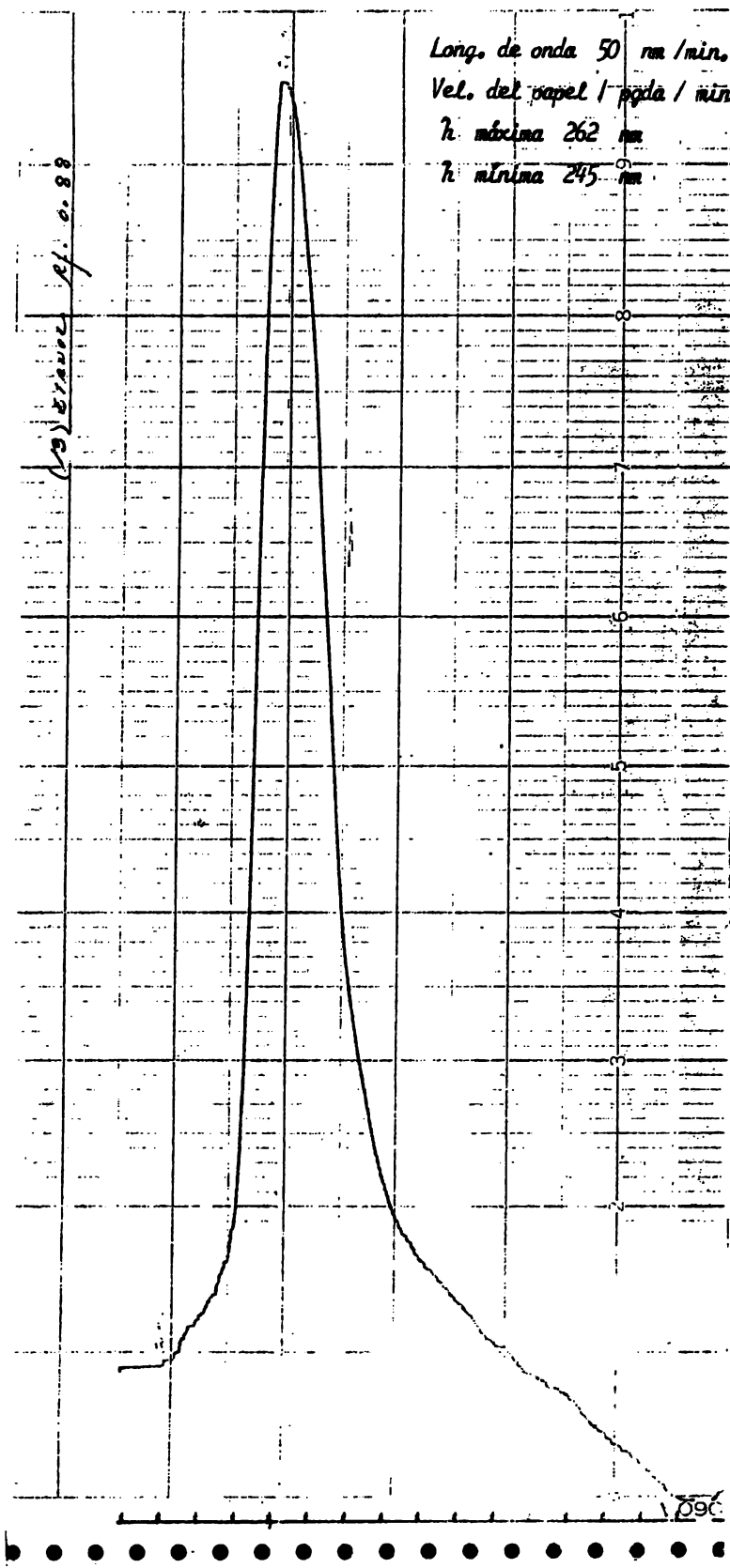
Long. de onda 50. min.

Vel. del papel / pda/min.

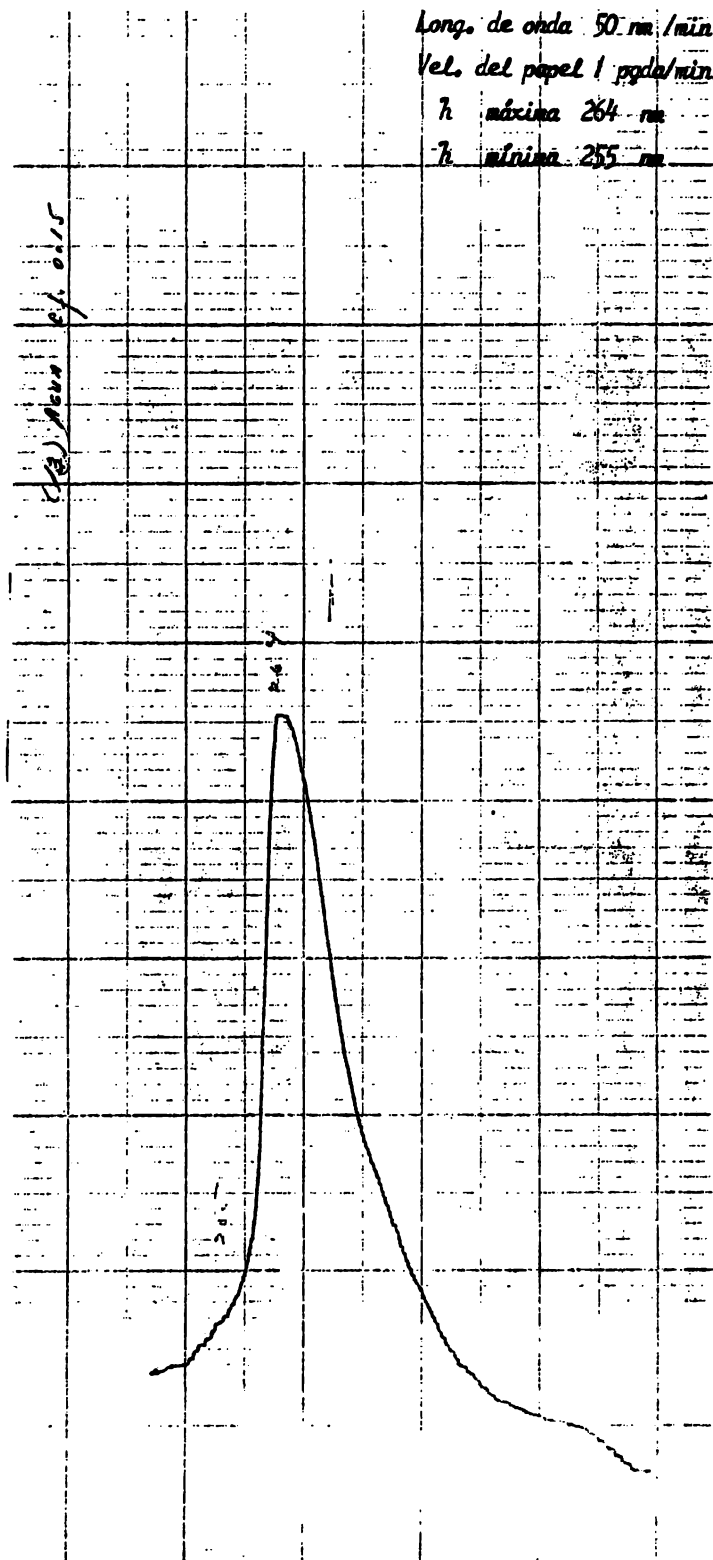
*h* máxima 264 m.

*minima* 255 mm.



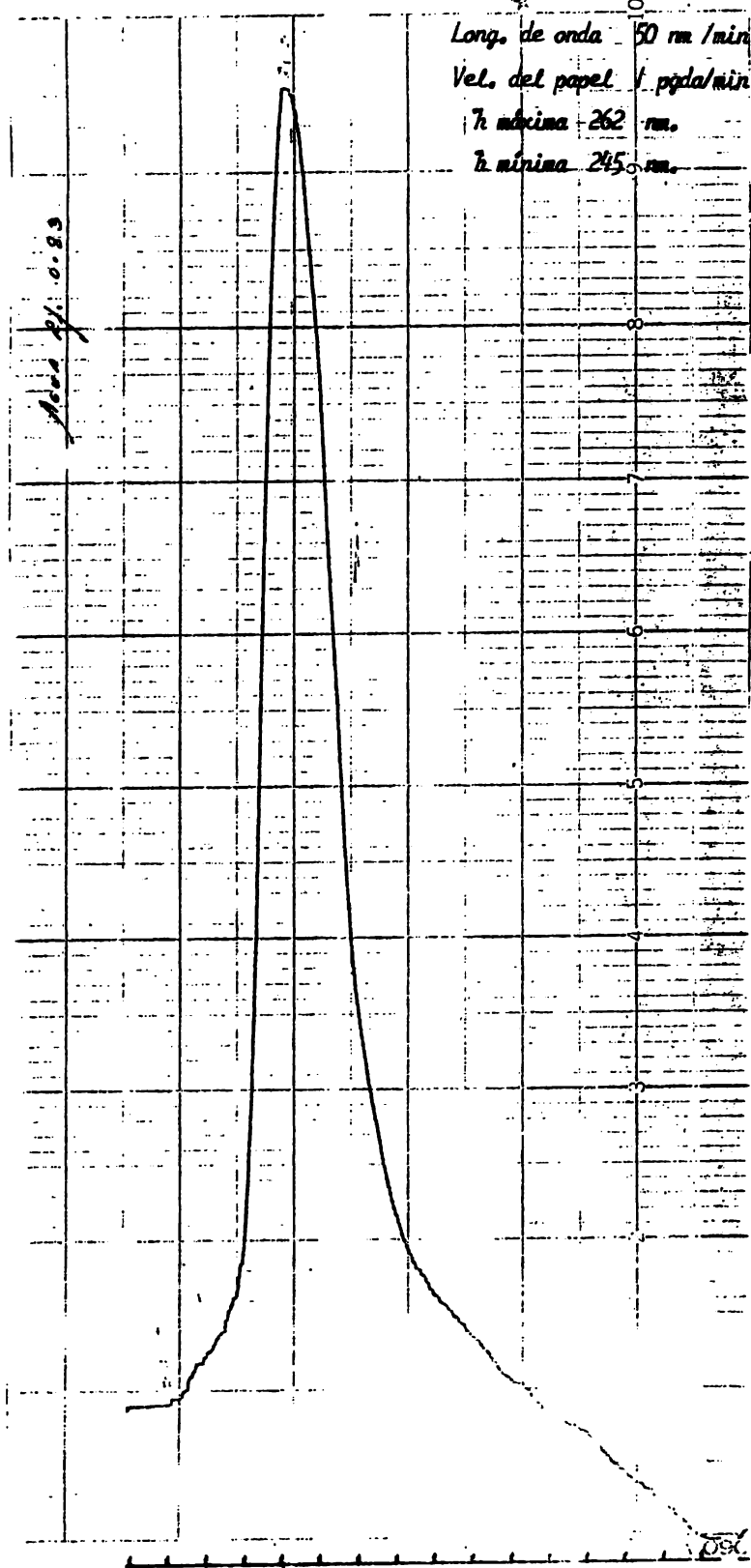


Long. de onda 50 nm/min.  
Vel. del papel 1 mm/min.  
h máxima 264 nm  
h mínima 255 nm

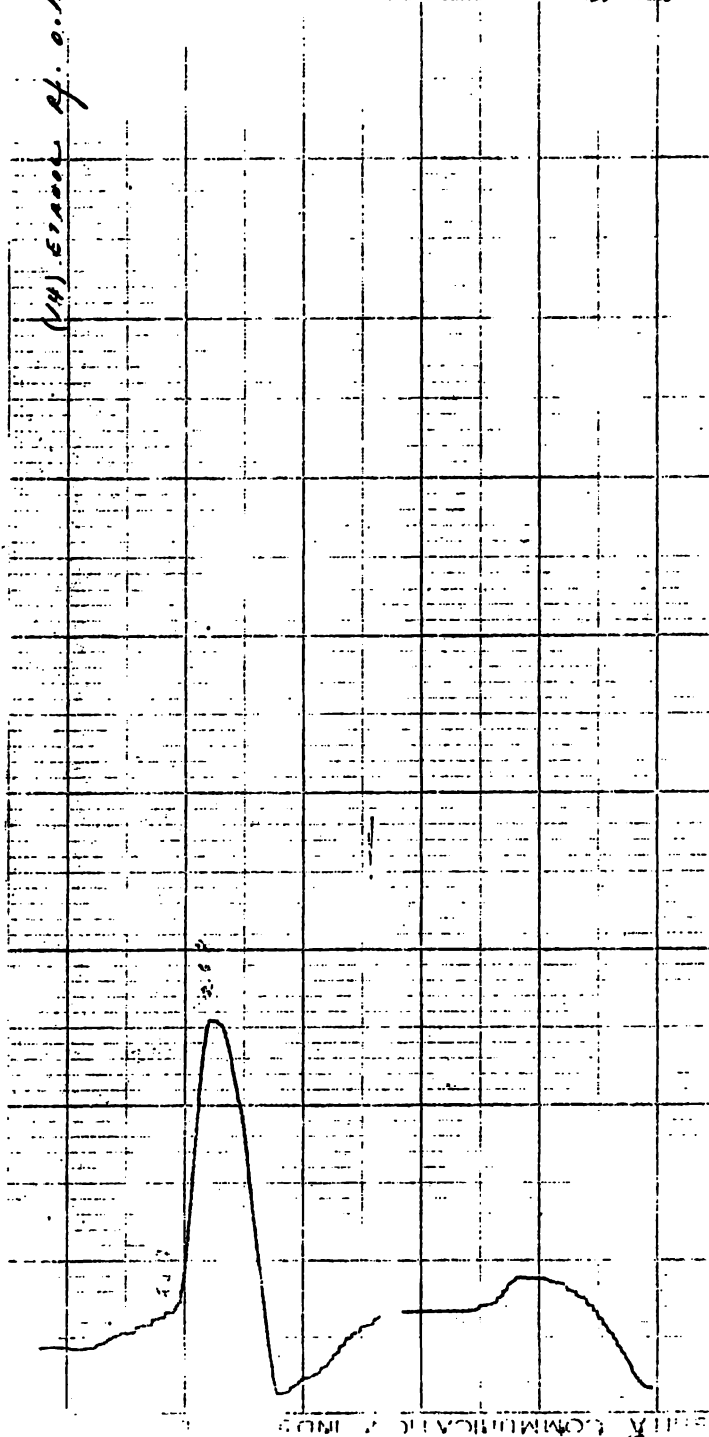


UNIVERSIDAD NACIONAL DE TIRALAGO GO. LTD. V.O. C60.

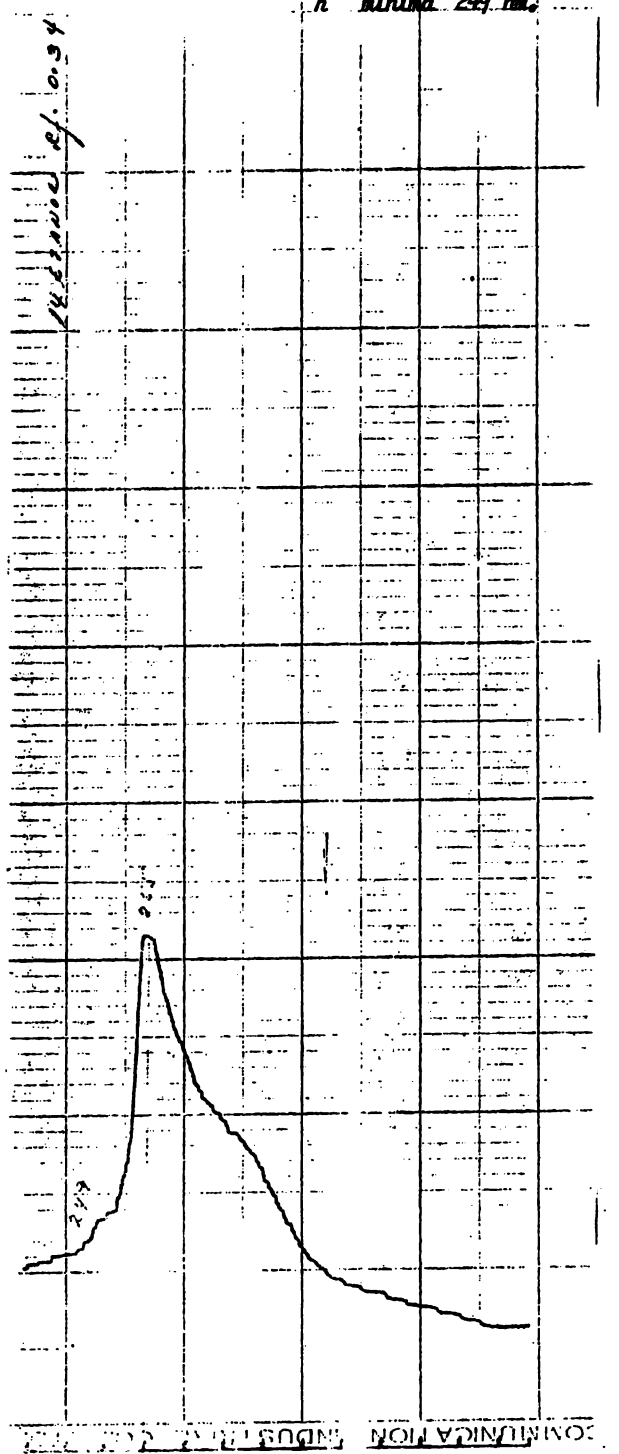




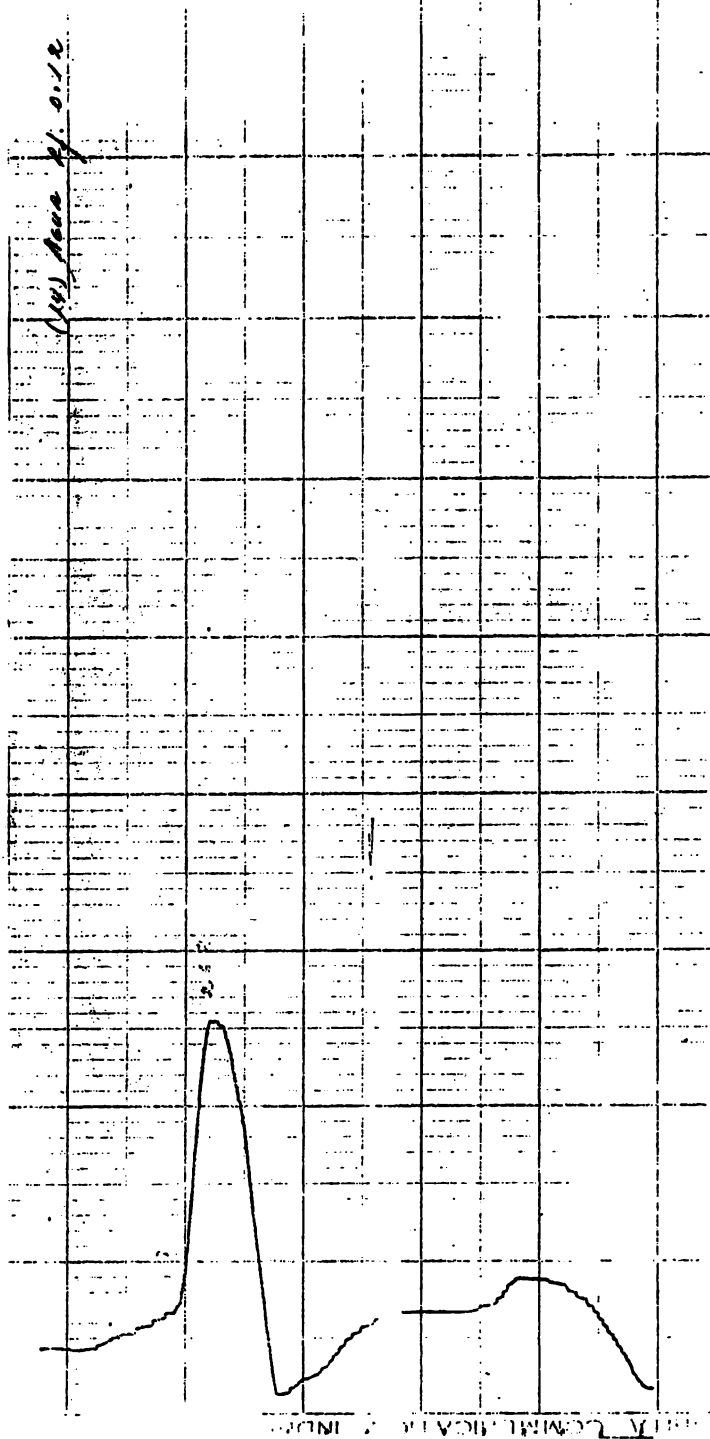
Long. de onda 50 nm/min  
Vel. del papel 1 pgda/min  
h máxima 262 nm.  
h mínima 257 nm.



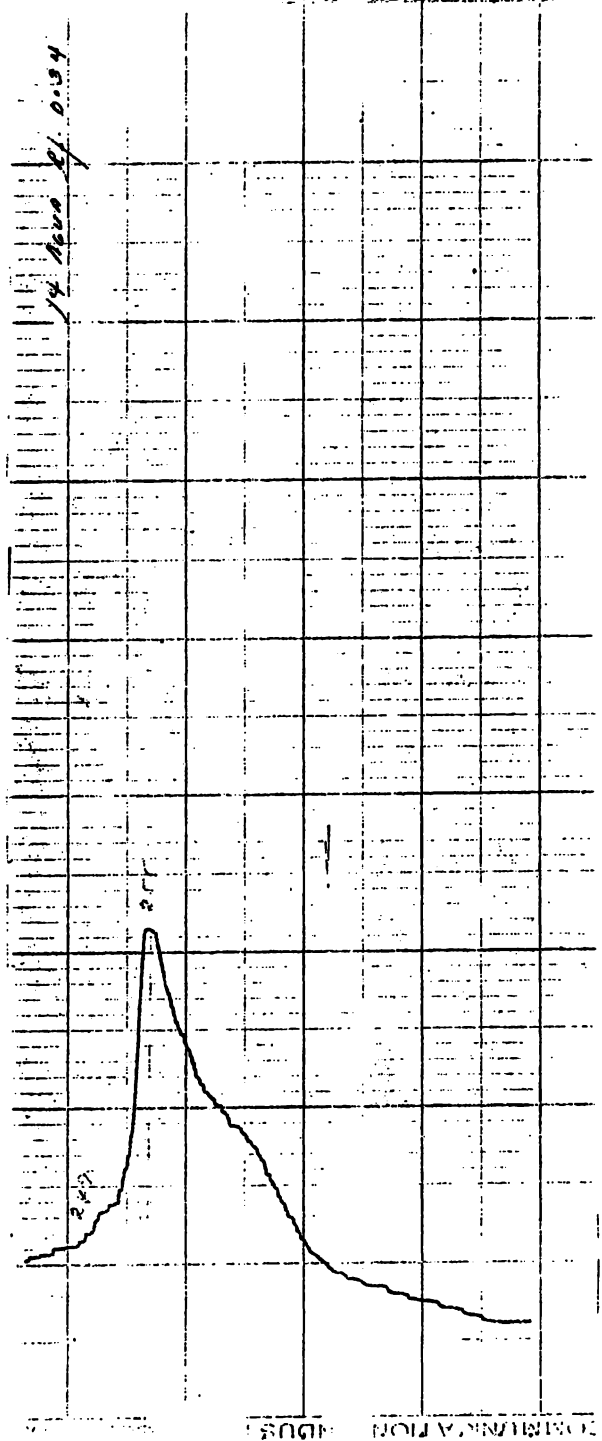
Long. de onda 50 nm/min.  
Vel. del papel 1 pgda/min  
h máxima 255 nm  
h mínima 249 nm



\*  
Long. de onda 50 nm/min.  
Vel. del papel 1 pgda/min  
h máxima 262 nm  
h mínima 257 nm



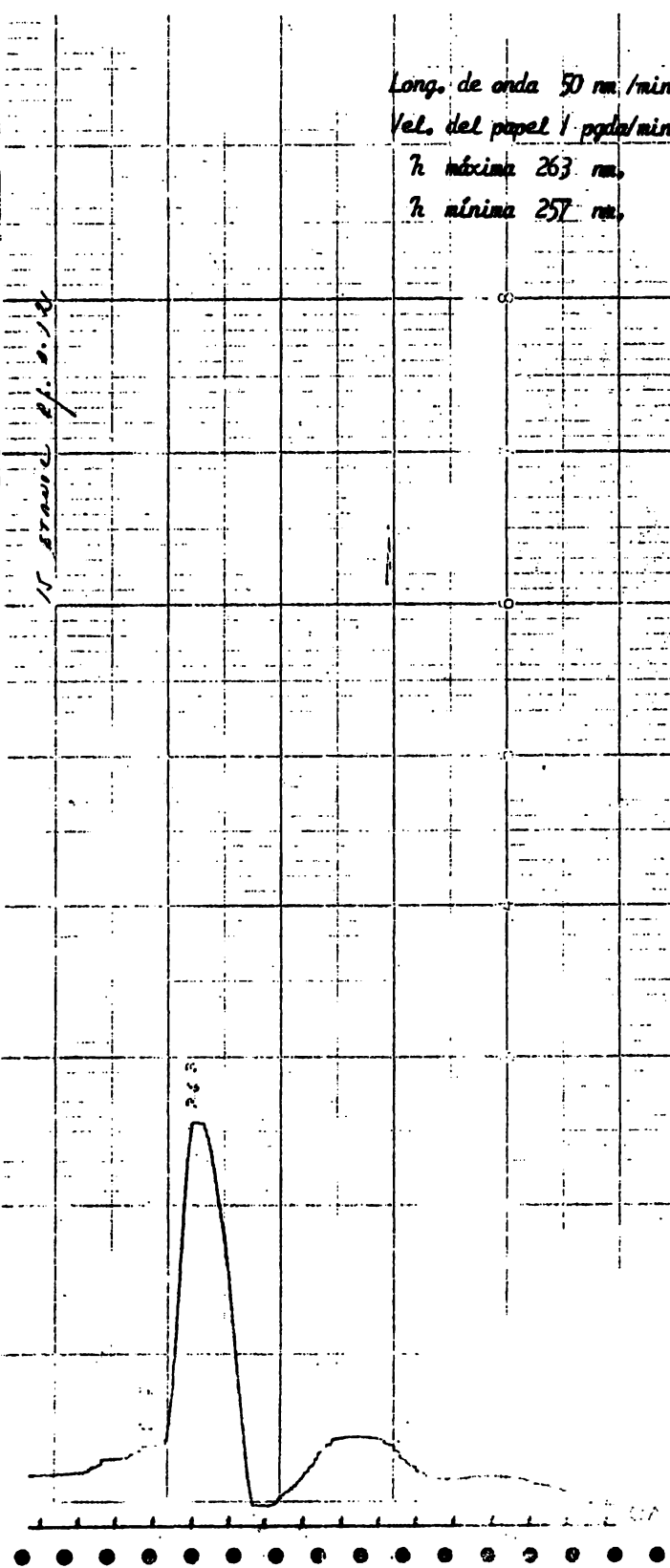
Long. de onda 50 nm/min.  
Vel. del papel 1 pgda/min  
h máxima 255 nm  
h mínima 249 nm



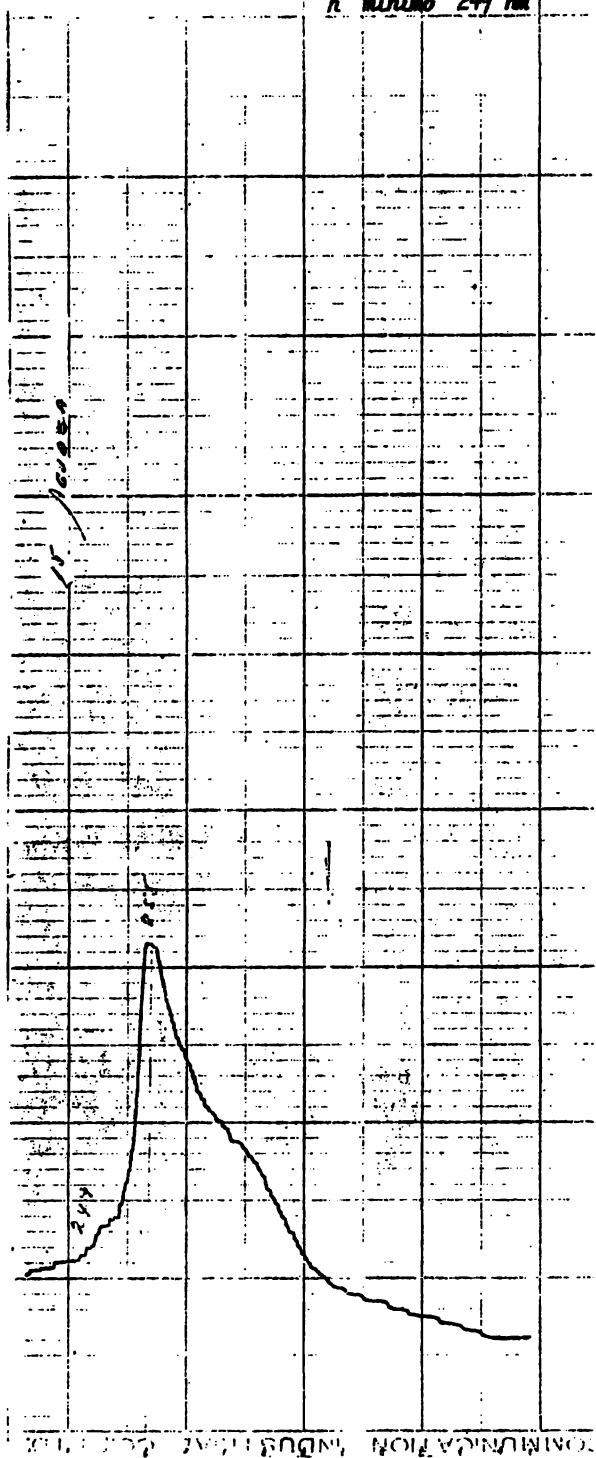
Long. de onda 50 nm./min  
Vel. del papel 1. paplo/min

$h_{\text{máxima}} = 263 \text{ nm.}$

$h_{\text{mínima}} = 257 \text{ nm.}$

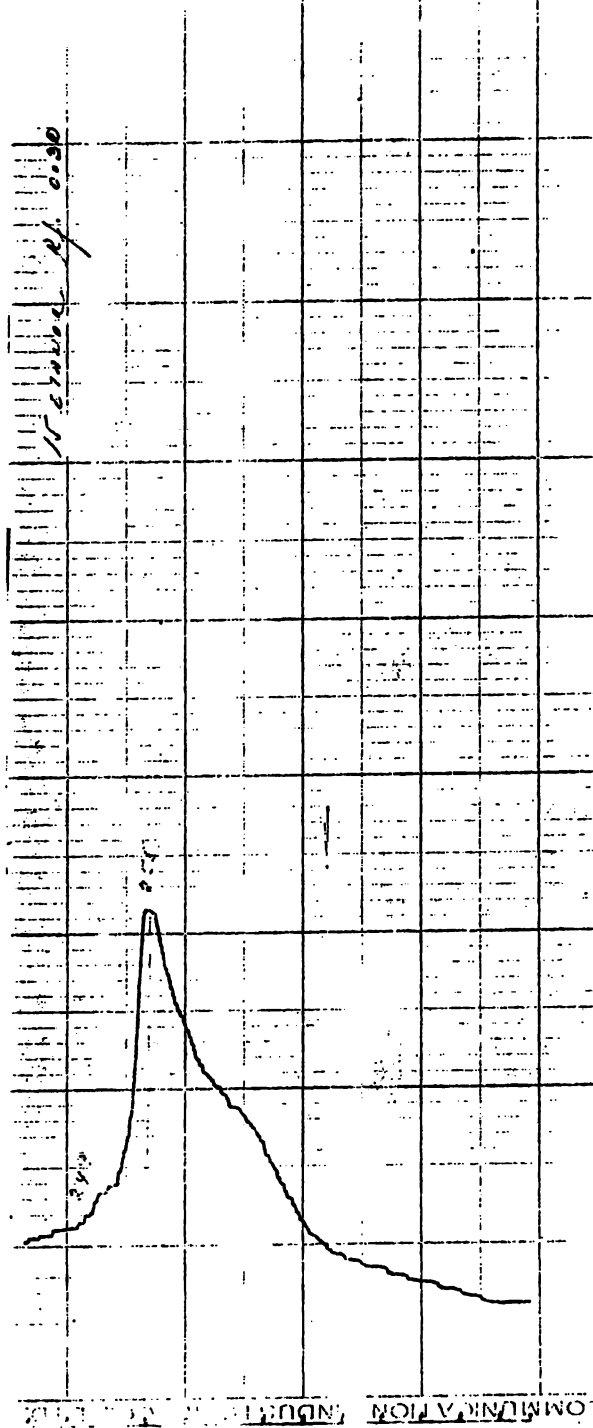


Long. de onda 50 nm/min.  
Vel. del papel 1 pgda/min  
h máxima 255 nm  
h mínimo 249 nm

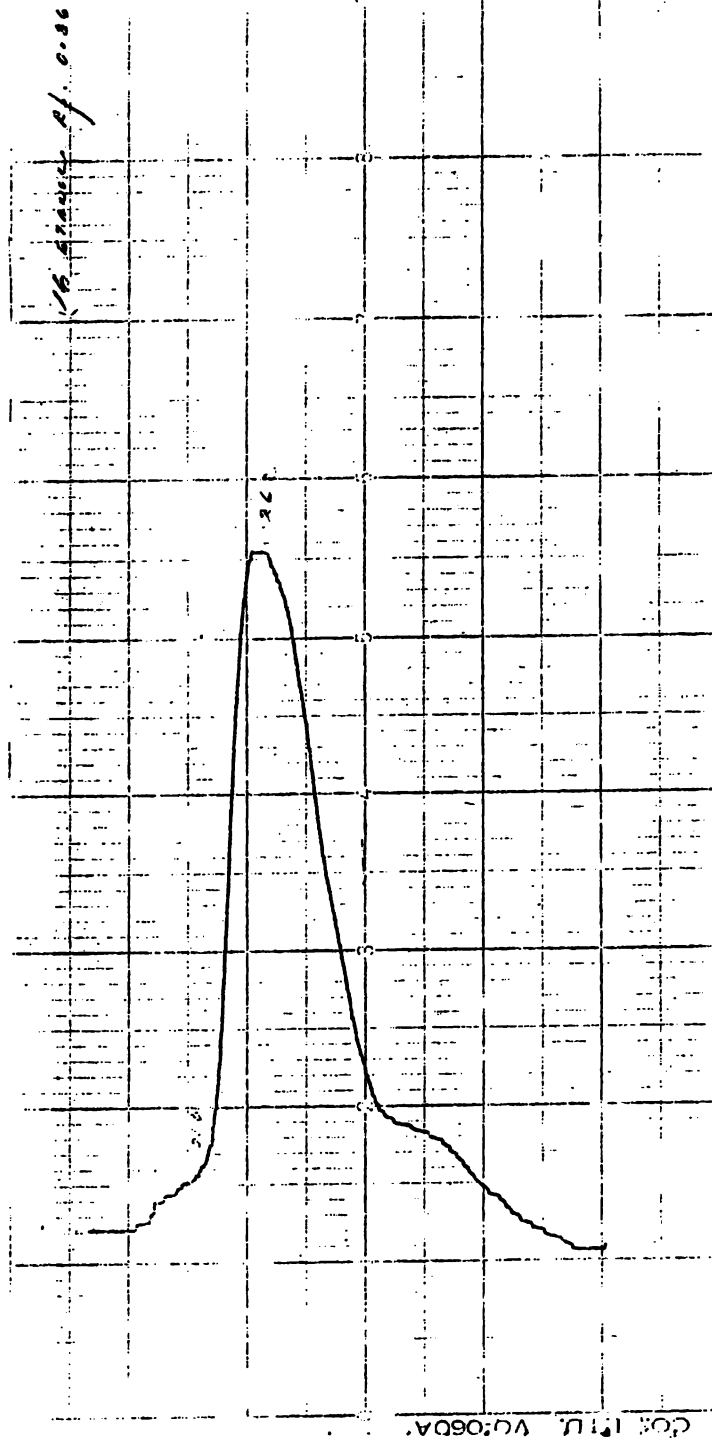


ONTOLOGÍA FÍSICA EN QUÍMICA

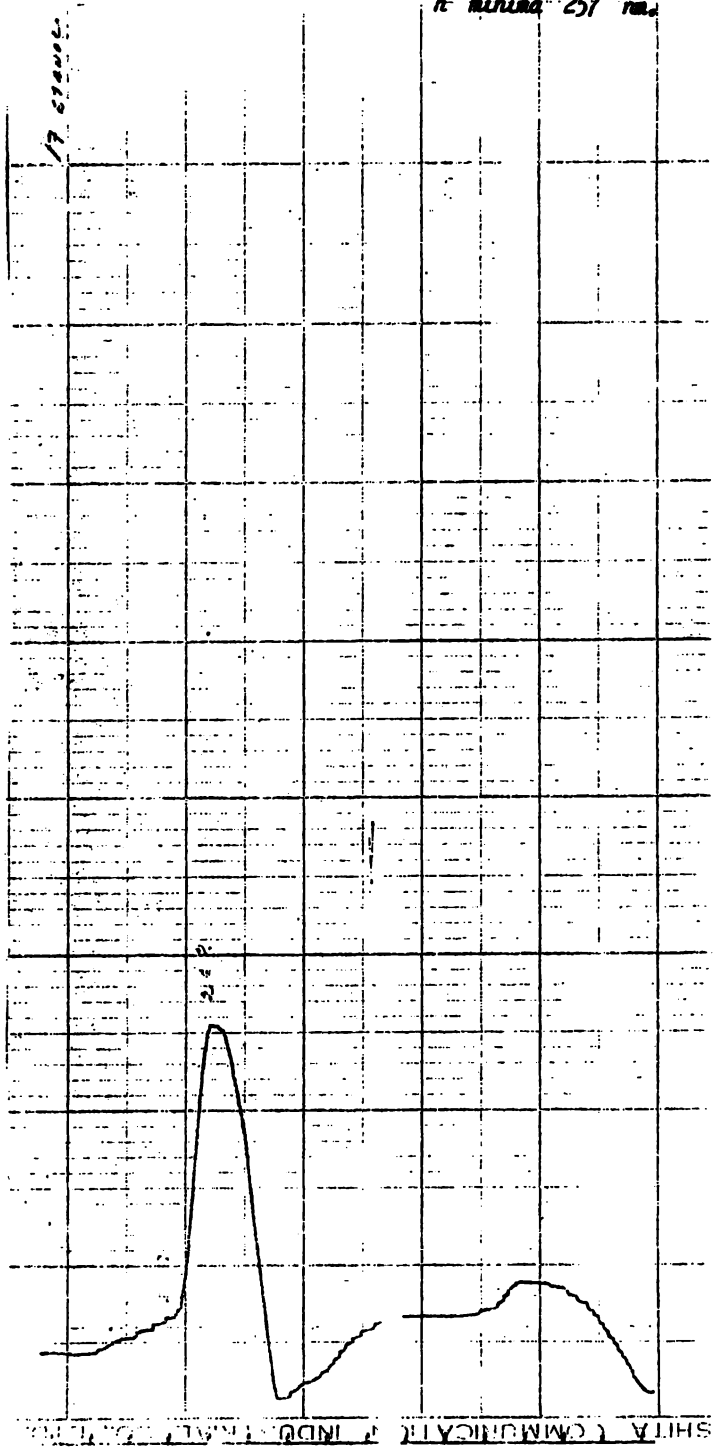
Long. de onda 50 nm/min  
Vel. del papel 1 pgda/min  
h máxima 255 nm  
h mínima 249 nm



Long. de onda 50 nm /m/s  
Vel. del papel 1 pgda/m/s  
h maxima 262 nm  
h minima 253 nm

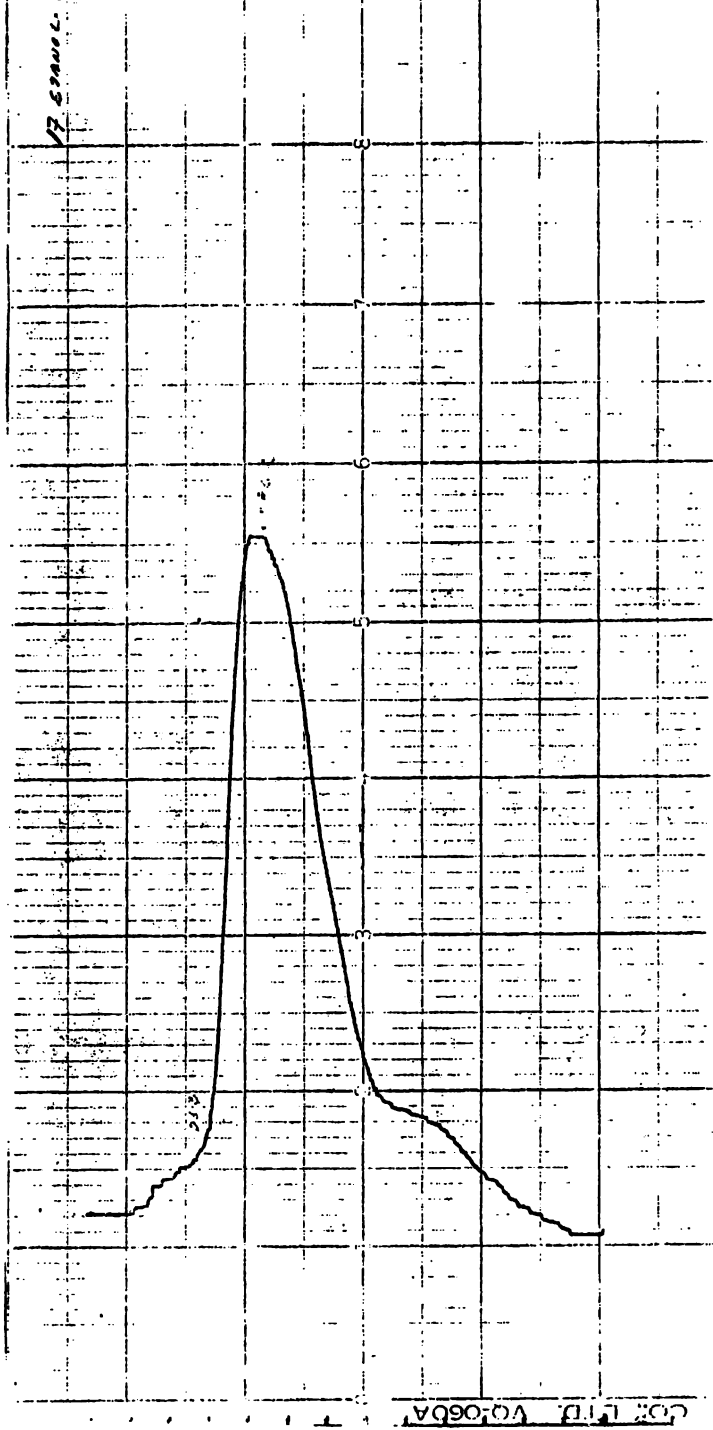


Long. de onda 50 nm/min.  
Vel. del papel 1 pgd/min.  
h máxima 262 nm.  
h mínima 257 nm.



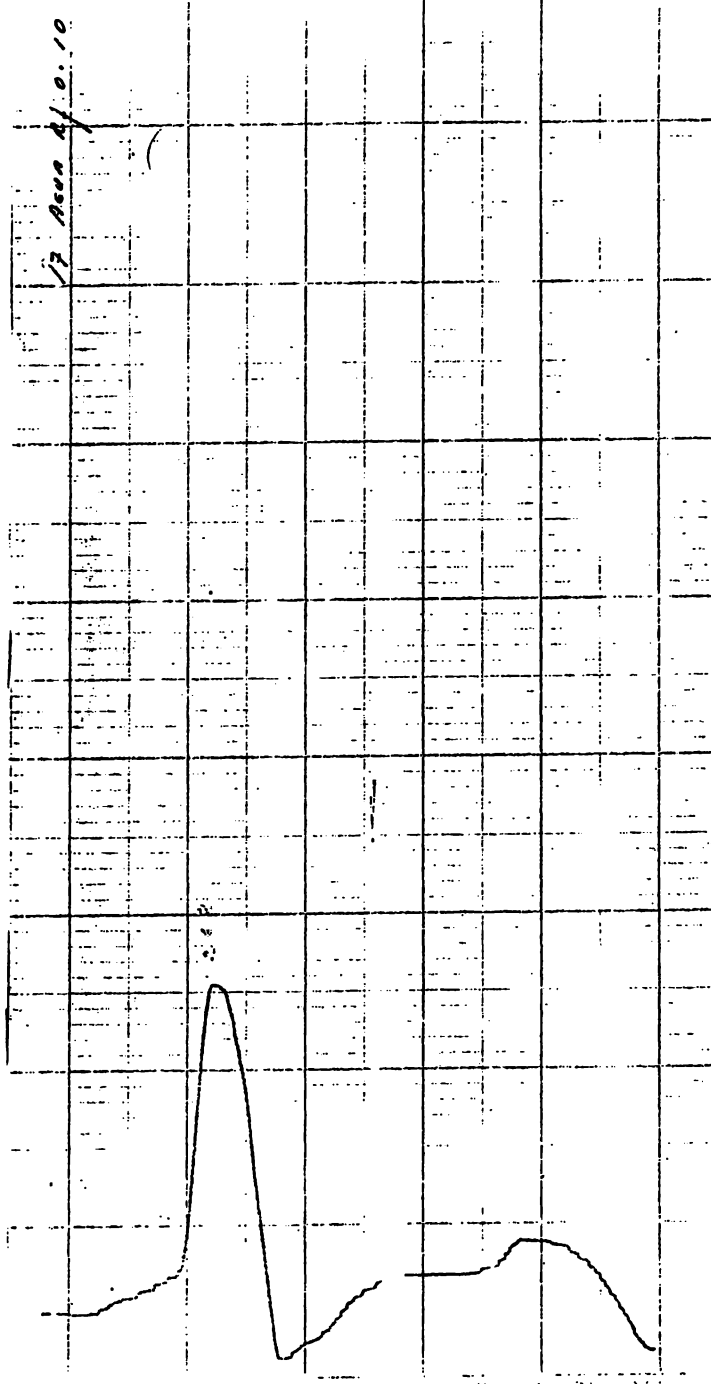
Long. de onda 50 nm /min.  
Vel. del papel 1 pgda/min.  
h máxima 262 mm.  
h mínima 253 mm.

13 enero 81. 0.94

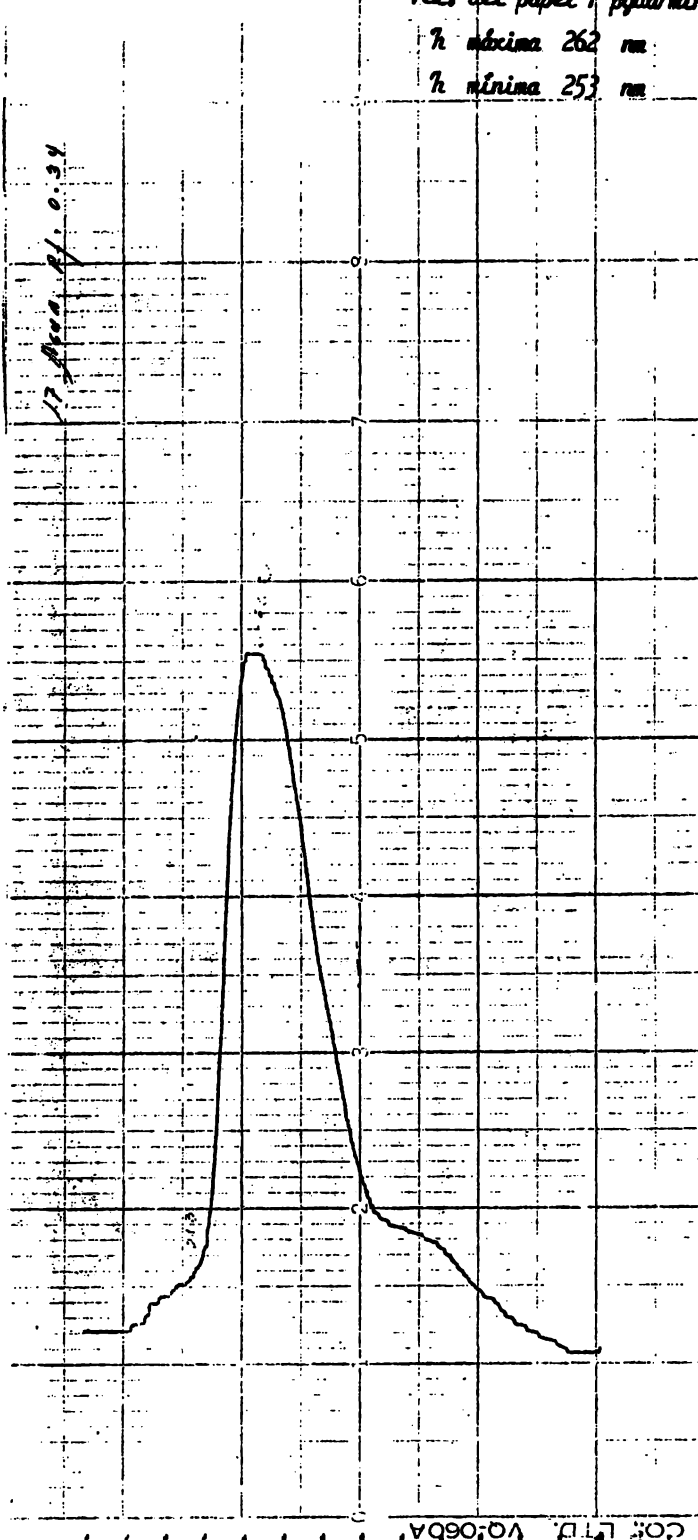


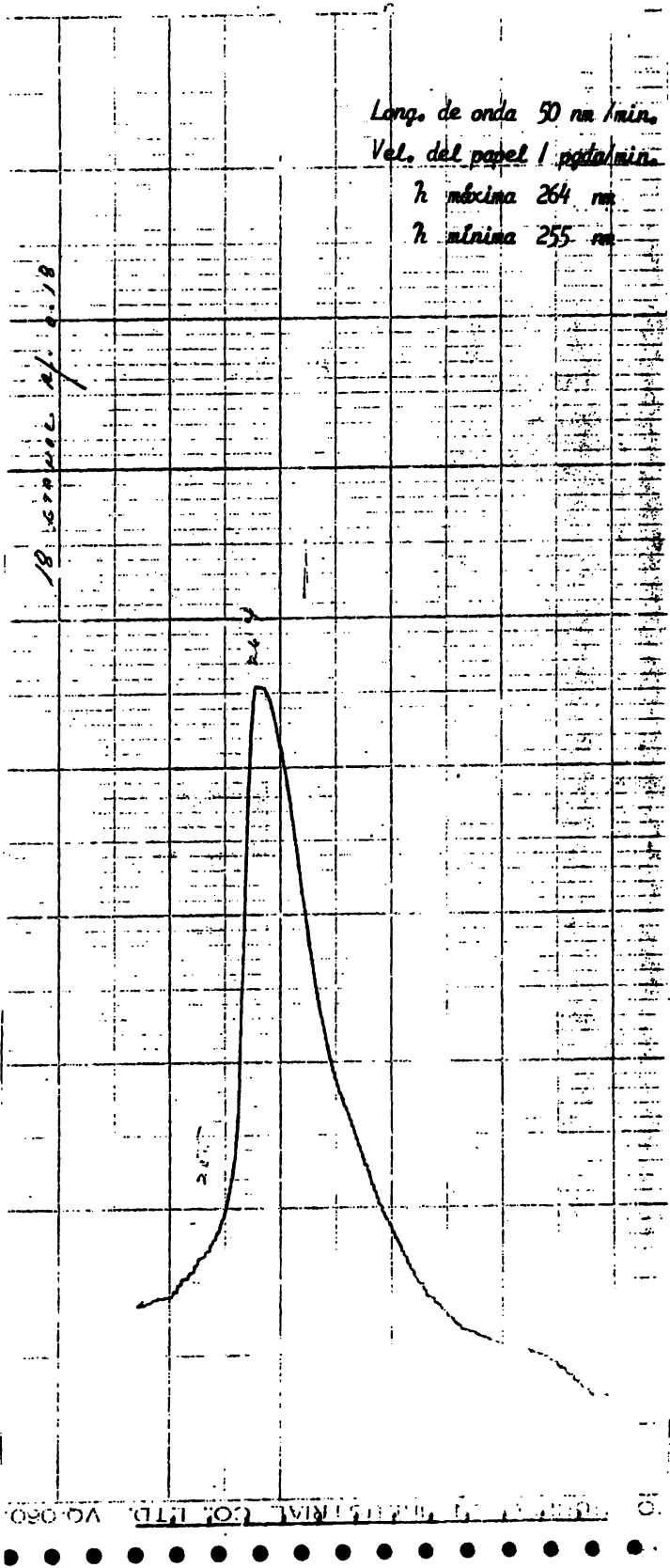
C.D. LTD. VQ-066A

\*  
Long. de onda 50 nm/min  
Vel. del papel 1 pgda/min.  
λ máxima 262 nm.  
λ mínima 257 nm.

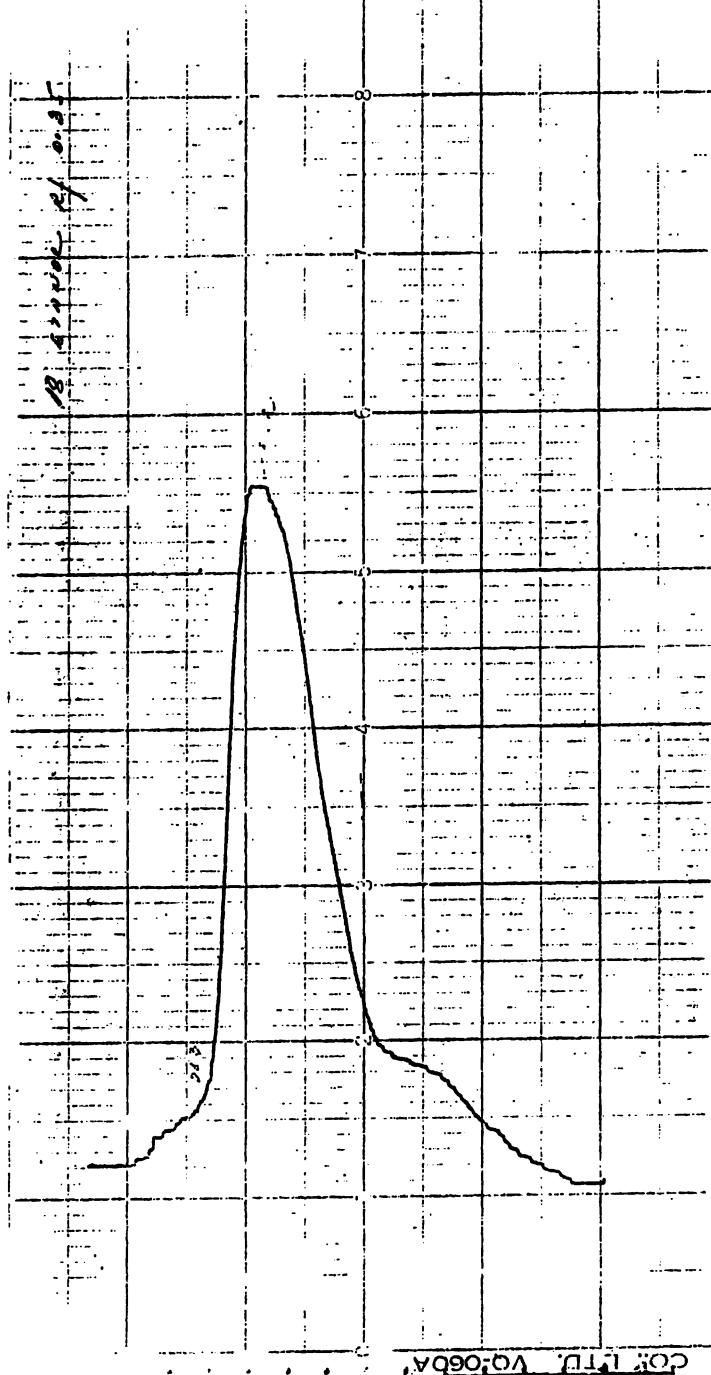


Long. de onda 50 nm/min.  
Vel. del papel 1 pgd/min.  
h máxima 262 nm  
h mínima 253 nm





Long. de onda 50 nm /min.  
Vel. del papel 1 pgda /min  
λ máxima 262 nm  
λ mínima 253 nm



Long. de onda 50 nm / min.  
Vel. del papel 1. pagina / min

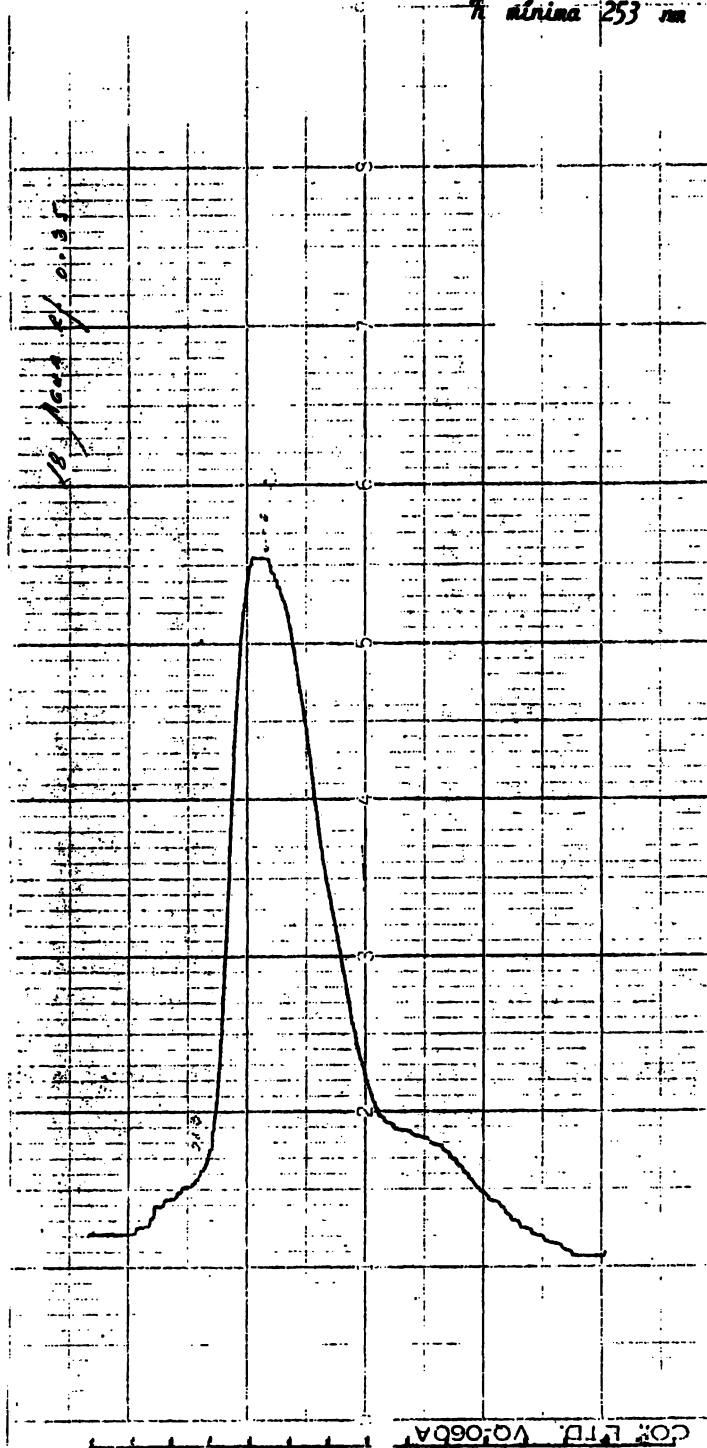
h máxima 264 nm  
h mínima 255 nm

8 decimales

CO<sub>2</sub> LTD. VQ-060.



Long. de onda 50 nm/min.  
Vel. del papel 1 pgda/min  
T<sub>m</sub> máxima 262 nm  
T<sub>m</sub> mínima 253 nm

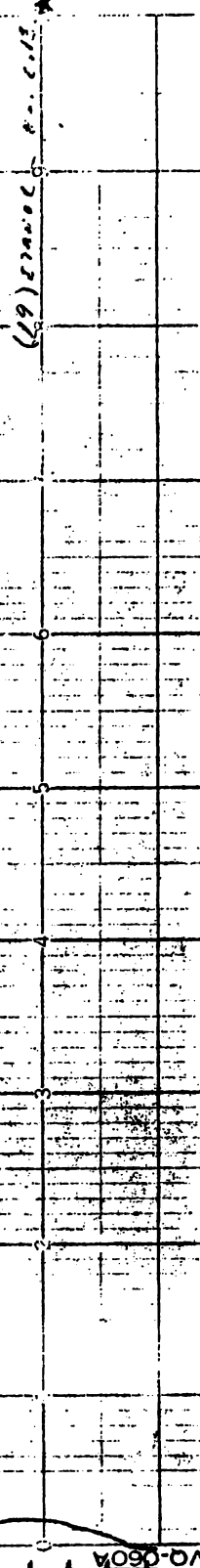


Largo de onda 50 nm/min.

Vel. del papel 1 pgda/min.

λ máxima 263 nm.

λ mínima 257 nm.



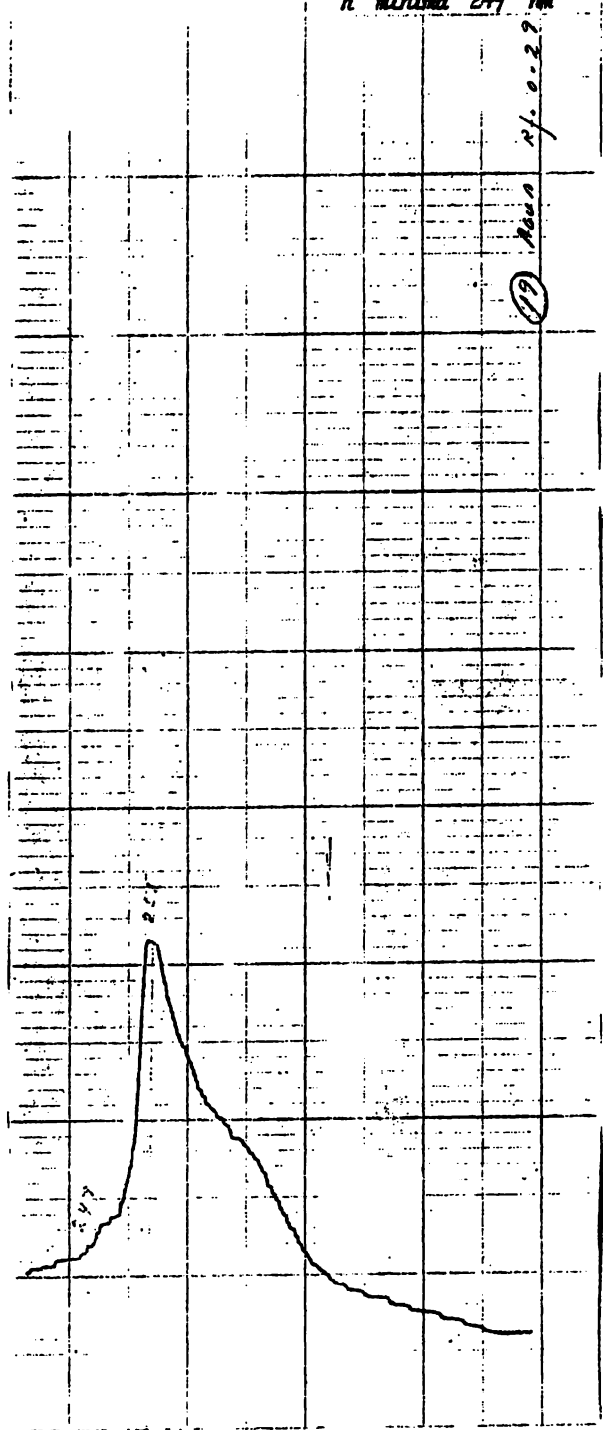
Long. de onda 50 nm /min.

Vel. del papel 1 pgda/min.

h. máxima 255 nm

h. mínima 249 nm

2f. 0.22



## § B.-Sistema N°. 2

Placas.- Cromatofilia hieselgel D-L F <sup>254</sup> Merch dimensiones 20 x 20 cm. con un espesor de silice gel de 0.25 mm.

### Preparación de la muestra

Las mismas muestras usadas en el sistema anterior, se usaron en éste, usando como disolventes etanol y agua en una proporción de 1 en 9 (1mg en 9 ml de disolvente).

### Cantidad Aplicada

10  $\mu$ g de la solución en agua

5  $\mu$ g de la solución en etanol

### Preparación de la Camara de Saturación

Se forma un sistema de saturación de 104 ml

70 ml de Acetato de etilo

30 ml de Eter de petroleo

4 ml de Hidroxido de amonio

104 ml

Tiempo de Saturación 60 minutos

Tiempo de separación de las muestras 25 minutos

Las placas se secan a temperatura ambiente.

Se observaron las separaciones de las muestras a traves de luz ultravioleta - (254 m $\mu$ ).

Muestra No.	Solvente	D. recorrida muestra	D. recorrida solvente	Rf
1	etanol	1.7	8.5	0.12
	agua	No corrio		
2	etanol	4.9	8.5	0.58
	agua	4.1	8.5	0.48
3	etanol	3.1	8.5	0.36
	agua	5.1	8.5	0.60
4	etanol	3.3	8.5	0.39
	agua	No corrio	8.5	0.00
5	etanol	2.0	8.5	0.23
		3.4	8.5	0.40
6	etanol	3.3	8.5	0.39
		5.3	8.5	0.62
7	etanol	1.7	8.5	0.20
		3.3	8.5	0.39
		5.2	8.5	0.61
	agua	No corrio		

8	<i>etanol</i>	4.4	8.5	0.51
	<i>aqua</i>	No corrio	8.5	
9	<i>etanol</i>	1.4	8.5	0.16
		5.1	8.5	0.60
	<i>aqua</i>	No corrio		
10	<i>etanol</i>	1.4	8.5	0.16
		5.0	8.5	0.59
	<i>aqua</i>	No corrio		
11	<i>etanol</i>	1.4	8.5	0.16
		5.0	8.5	0.59
	<i>aqua</i>	No corrio		
12	<i>etanol</i>	1.2	8.5	0.14
		5.2	8.5	0.61
	<i>aqua</i>	No corrio		
13	<i>etanol</i>	5.2	8.5	0.61
	<i>aqua</i>	No corrio		
14	<i>etanol</i>	1.3	8.5	0.15
		5.2	8.5	0.61
	<i>aqua</i>	No corrio		
15	<i>etanol</i>	3.2	8.5	0.38
		5.2	8.5	0.61
	<i>aqua</i>	No corrio		
16	<i>etanol</i>	5.2	8.5	0.61
	<i>aqua</i>	No corrio		

17	<i>etanol</i>	<i>No corrio</i>		
	<i>agua</i>	<i>No corrio</i>		
18	<i>etanol.</i>	5.2	8.5	0.61
19	<i>etanol</i>	1.5	8.5	0.18
		3.1	8.5	0.36
	<i>agua</i>		<i>No corrio</i>	
20	<i>etanol</i>	4.8	8.5	0.56
	<i>agua</i>		<i>No corrio</i>	



Absorción en el espectro ultravioleta (  $\lambda$  máxima y  $\lambda$  mínima ) de las muestras separadas por cromatografía en capa fina. El espectrofotómetro usado, fue un modelo Beckman acta. c III.

Muestra N°.	$\lambda$ máxima ( nm )	$\lambda$ mínima ( nm )
1 en:		
etanol	259	247
	262	245
agua	—	—
2 en :		
etanol	263	245
agua	—	—
3 en:		
etanol	262	253
	262	245
agua	—	—
4 en		
etanol	255	240
agua	—	—
5 en:		
etanol	256	245
	255	240
	259	243

6	en:		
<i>etanol</i>		255	240
		259	243
<i>Aqua</i>		—	—
7	en		
<i>etanol</i>		262	255
		255	240
		257	247
8	en:		
<i>etanol</i>		255	238
<i>aqua</i>		—	—
9	en:		
<i>etanol</i>		264	255
		257	247
10	en:		
<i>etanol</i>		264	255
11	en:		
<i>etanol</i>		264	255
		257	247
12	en:		
<i>etanol</i>		264	255
		257	247

13 en:

etanol 259 243

14 en:

etanol 259 250  
257 247

15 en:

etanol 259 240  
257 247

16 en:

etanol 257 247

17 en:

etanol 257 247

18 en:

etanol 264 255  
279 261

19 en:

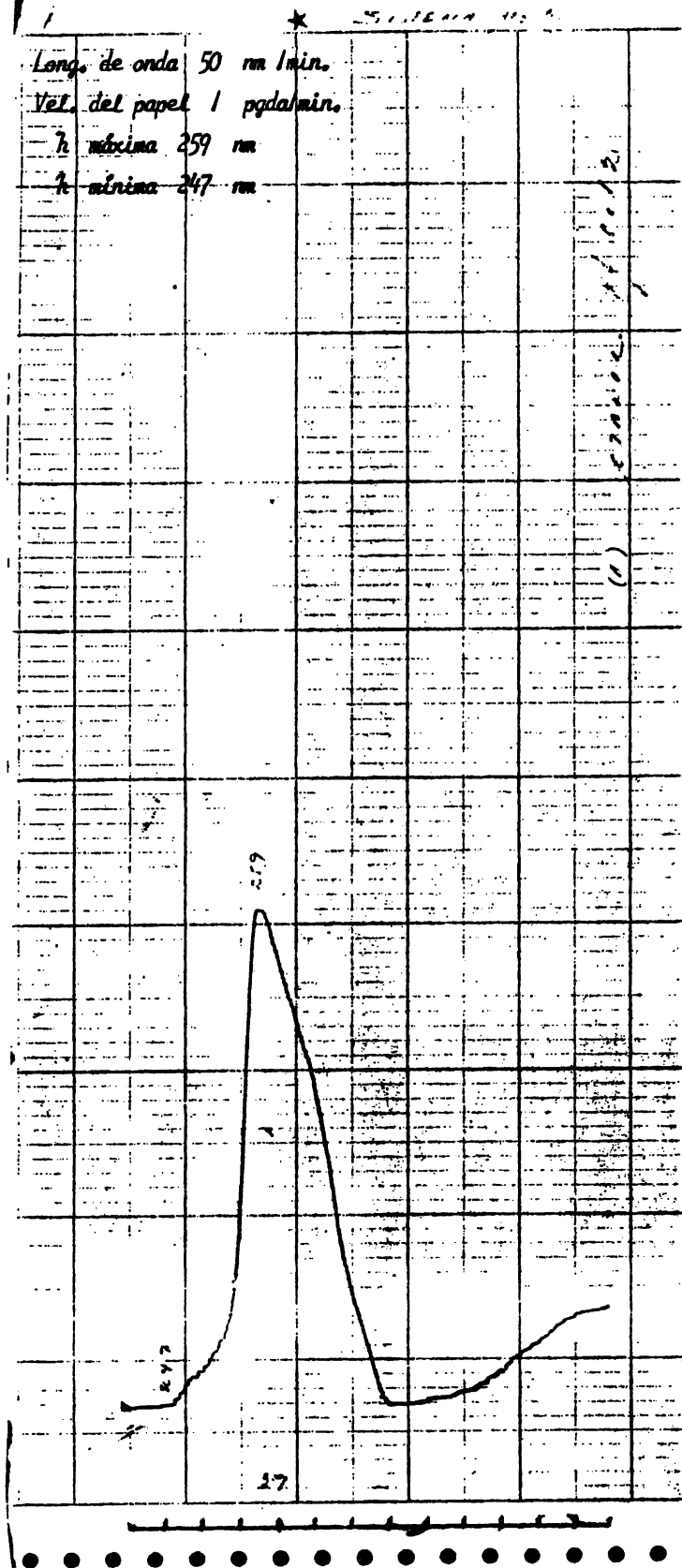
etanol 262 245

Long. de onda 50 nm /min.

Vel. del papel 1 pgd/min.

h máxima 259 nm

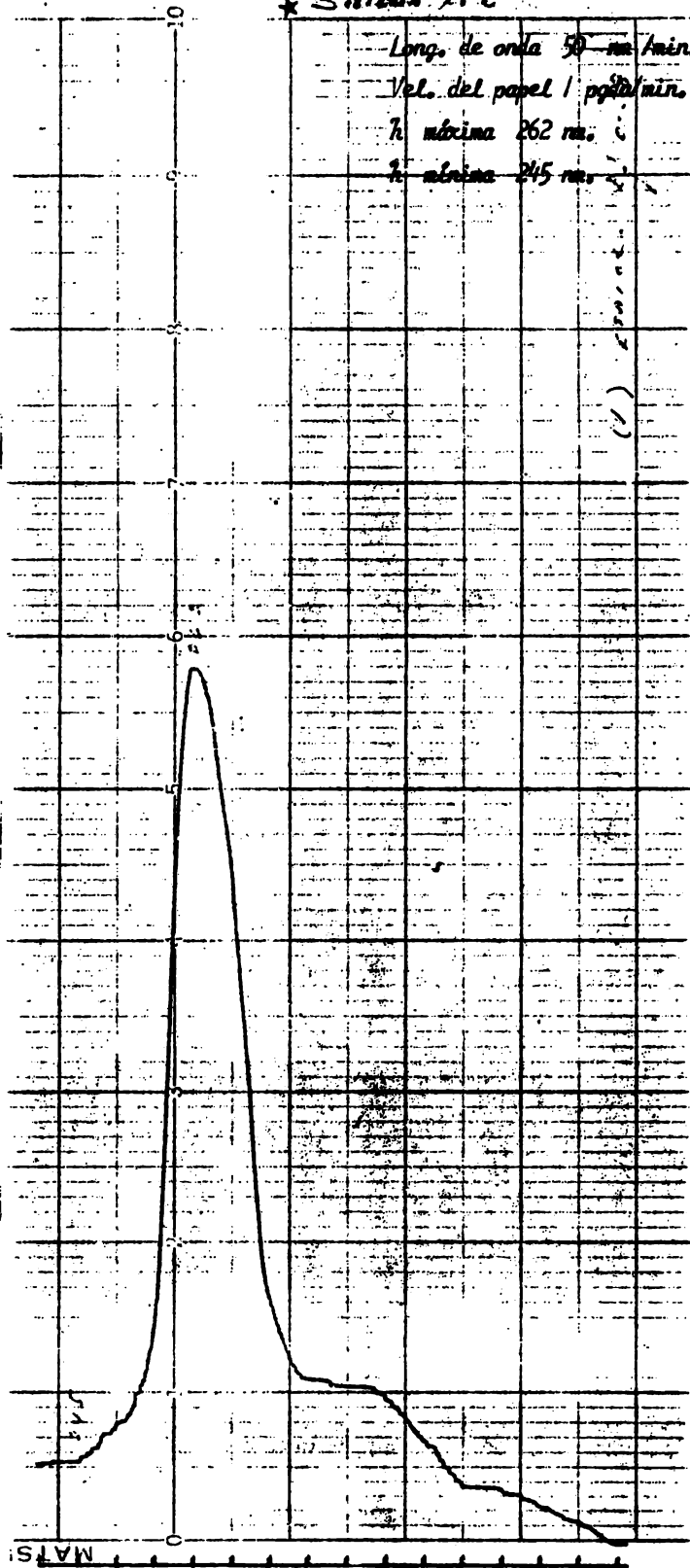
h mínima 247 nm



\* 581600, A.G.

Long. de onda 50 m Ámico.  
Vel. del papel 1 pgd/min.  
T<sub>m</sub> máxima 262 ms.  
T<sub>m</sub> mínima 245 ms.

(1)



MATS

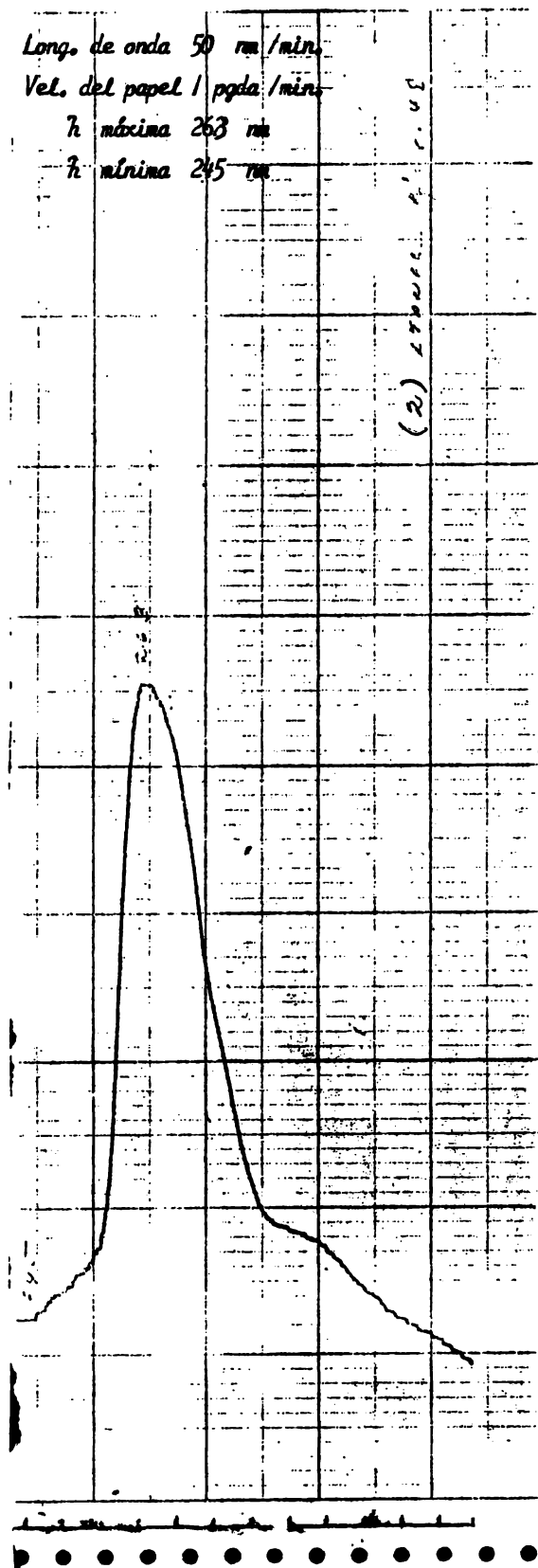
• • • • • • • • • • • •

Long. de onda 50 nm/min.

Vel. del papel 1 pgda/min.

h máxima 263 nm

h mínima 245 nm



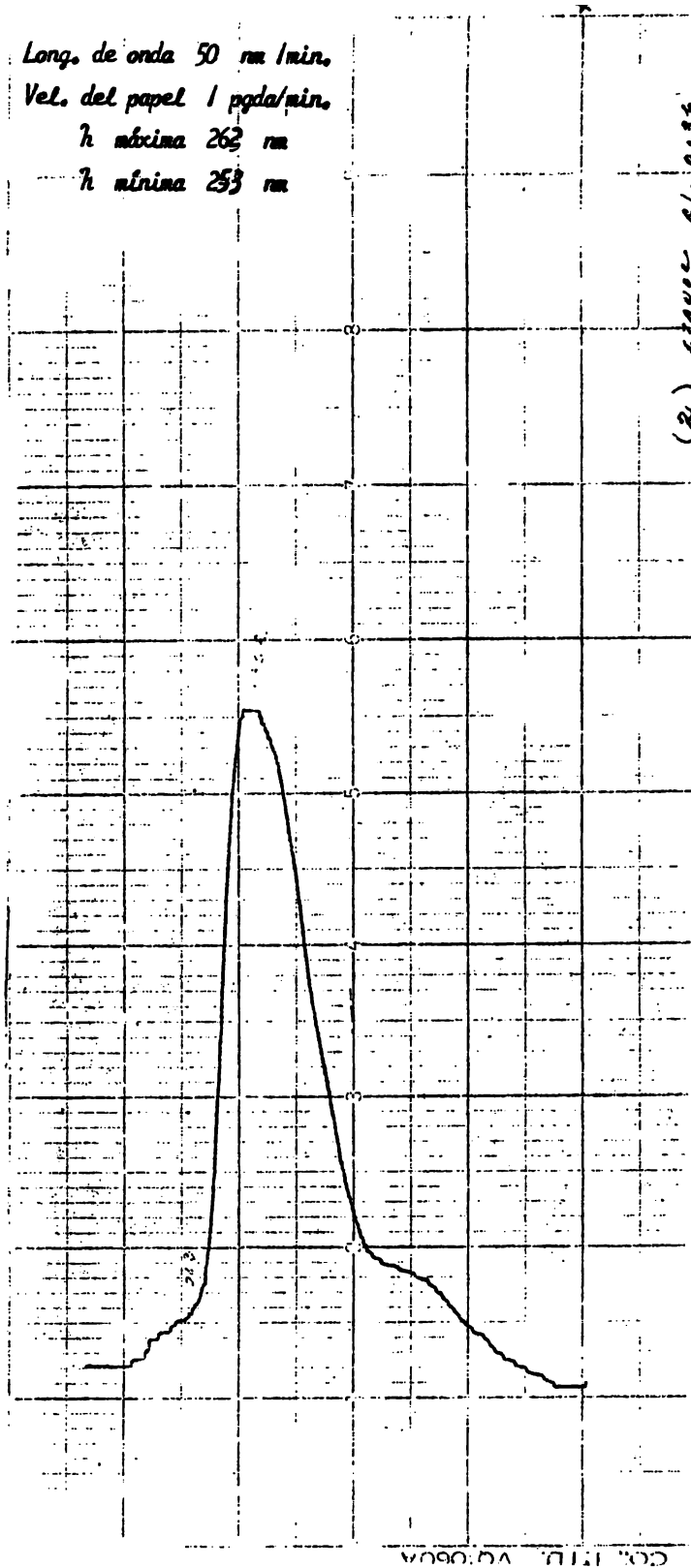
Long. de onda 50 nm /min.

Vel. del papel 1 pppda/min.

$\lambda$  máxima 262 nm

$\lambda$  mínima 253 nm

(2)  $\text{Eduardo et al. 1981}$

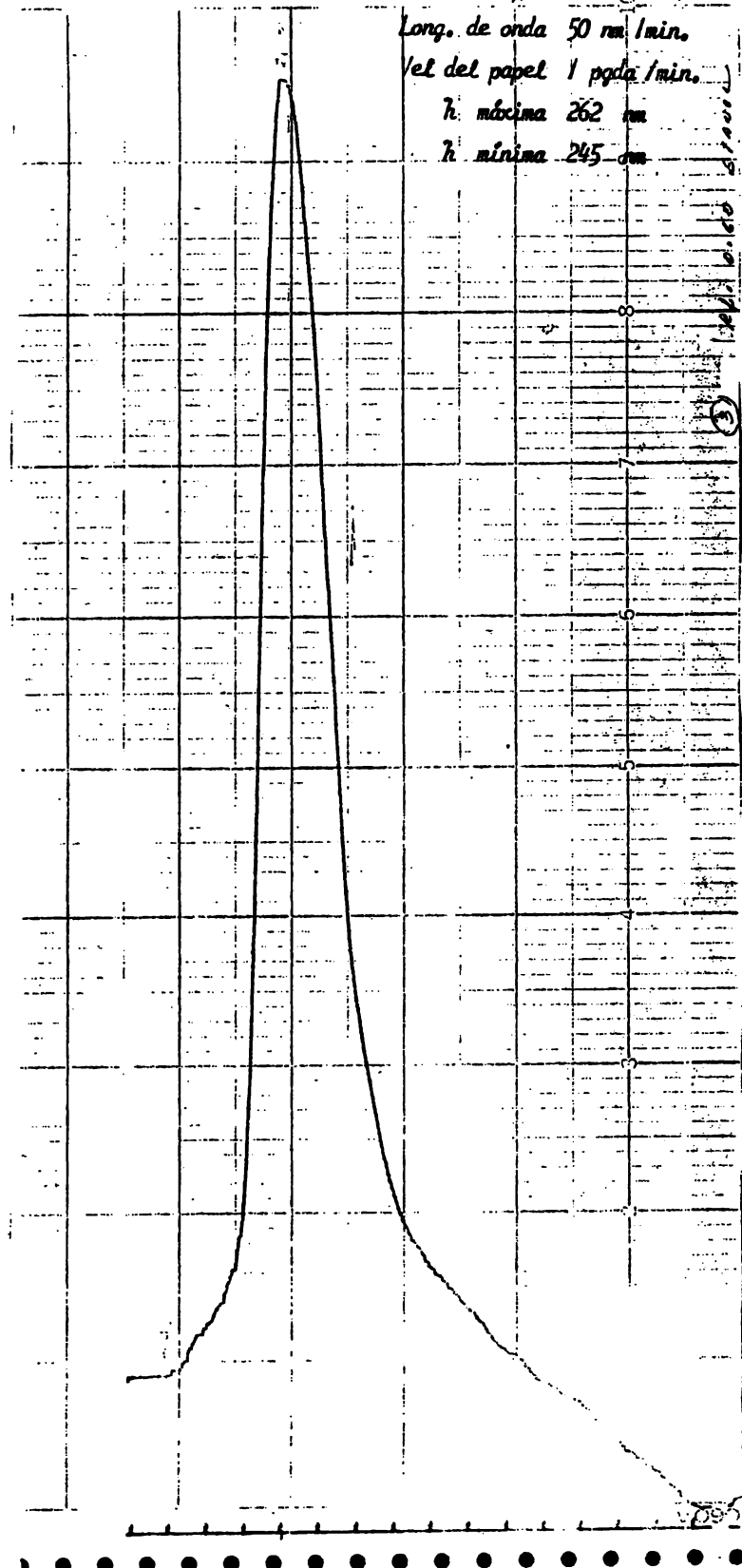


Long. de onda 50 nm /min.

Vel del papel 1 pgsa/min.

h. máxima 262 cm

h. mínima 245 cm

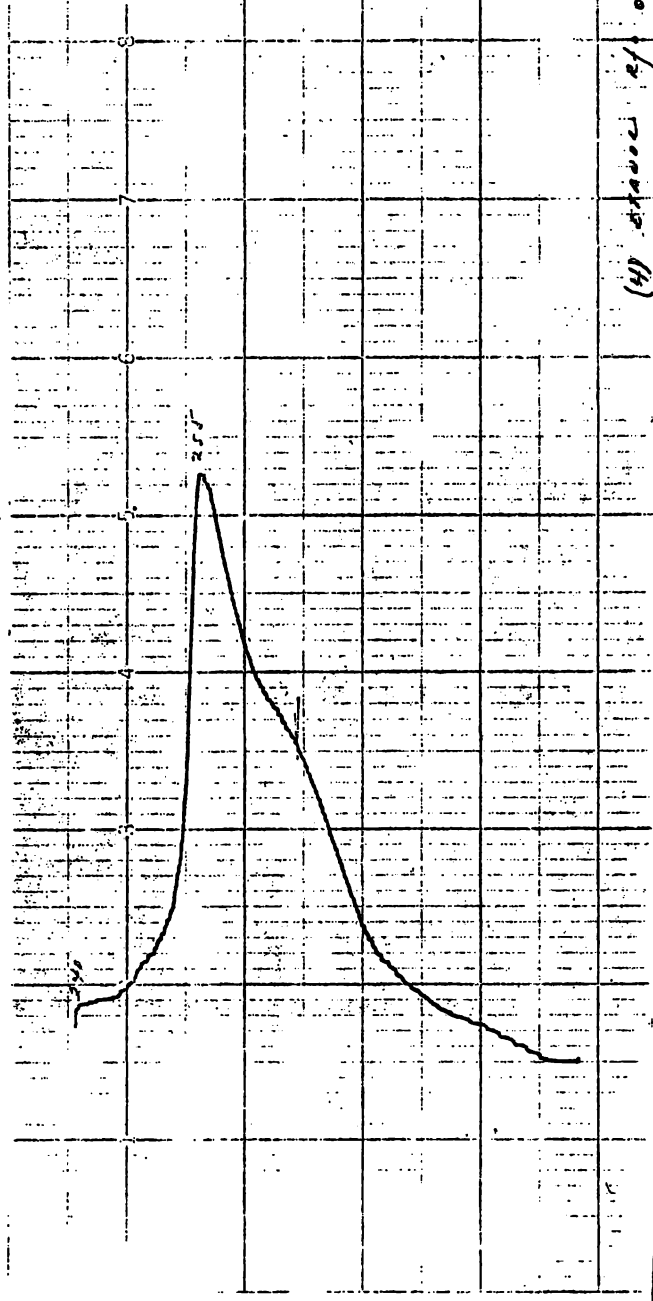


Long. de onda 50 nm/min.

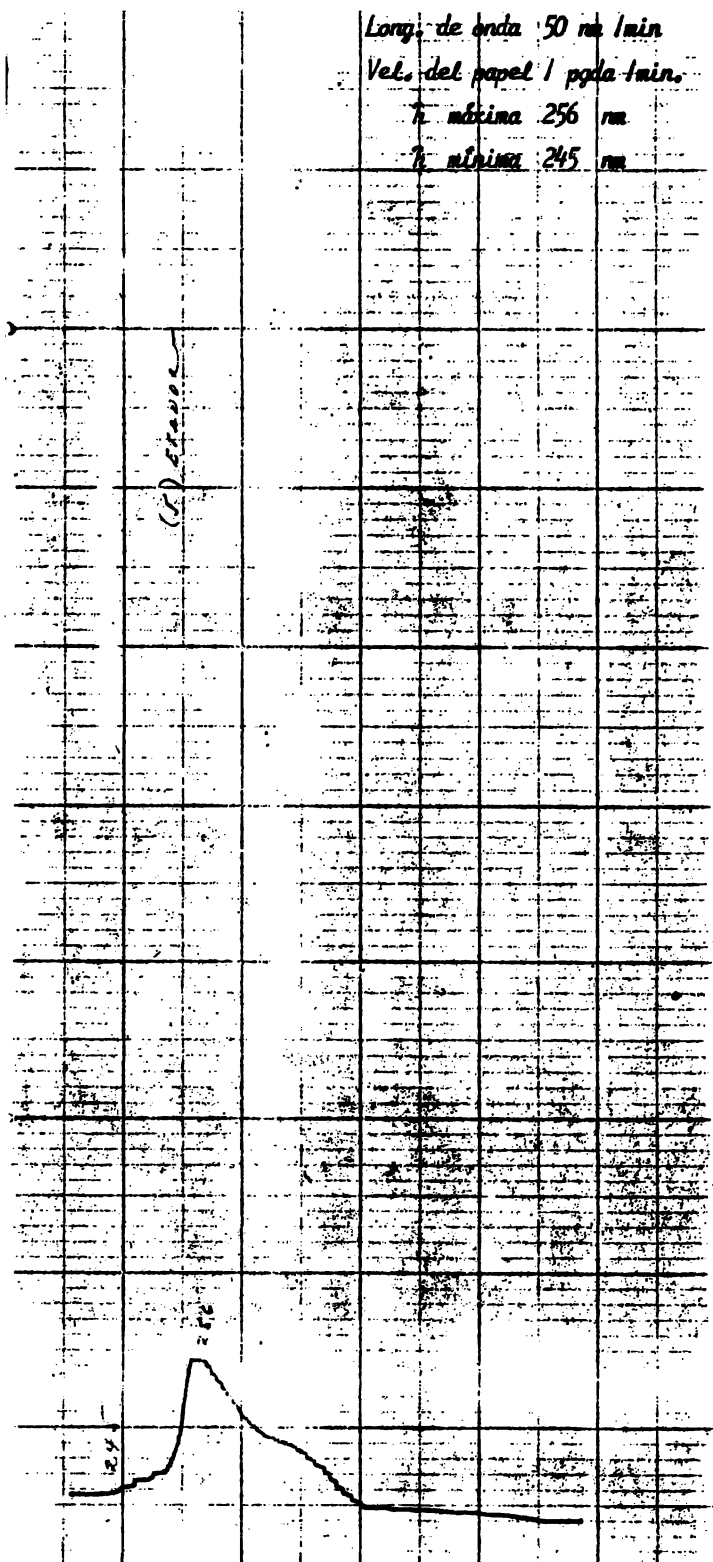
Velo del papel 1 pgda/min.

T<sub>m</sub> máxima 255 nm

T<sub>m</sub> mínima 240 nm

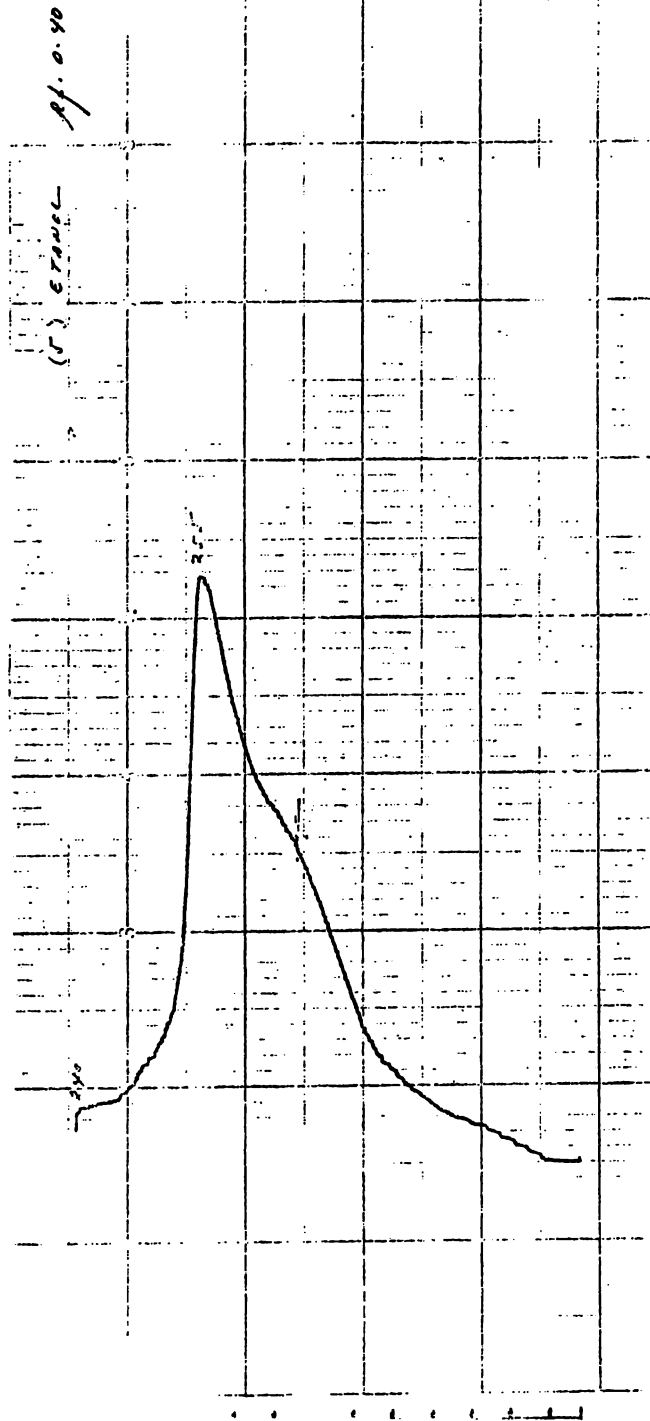


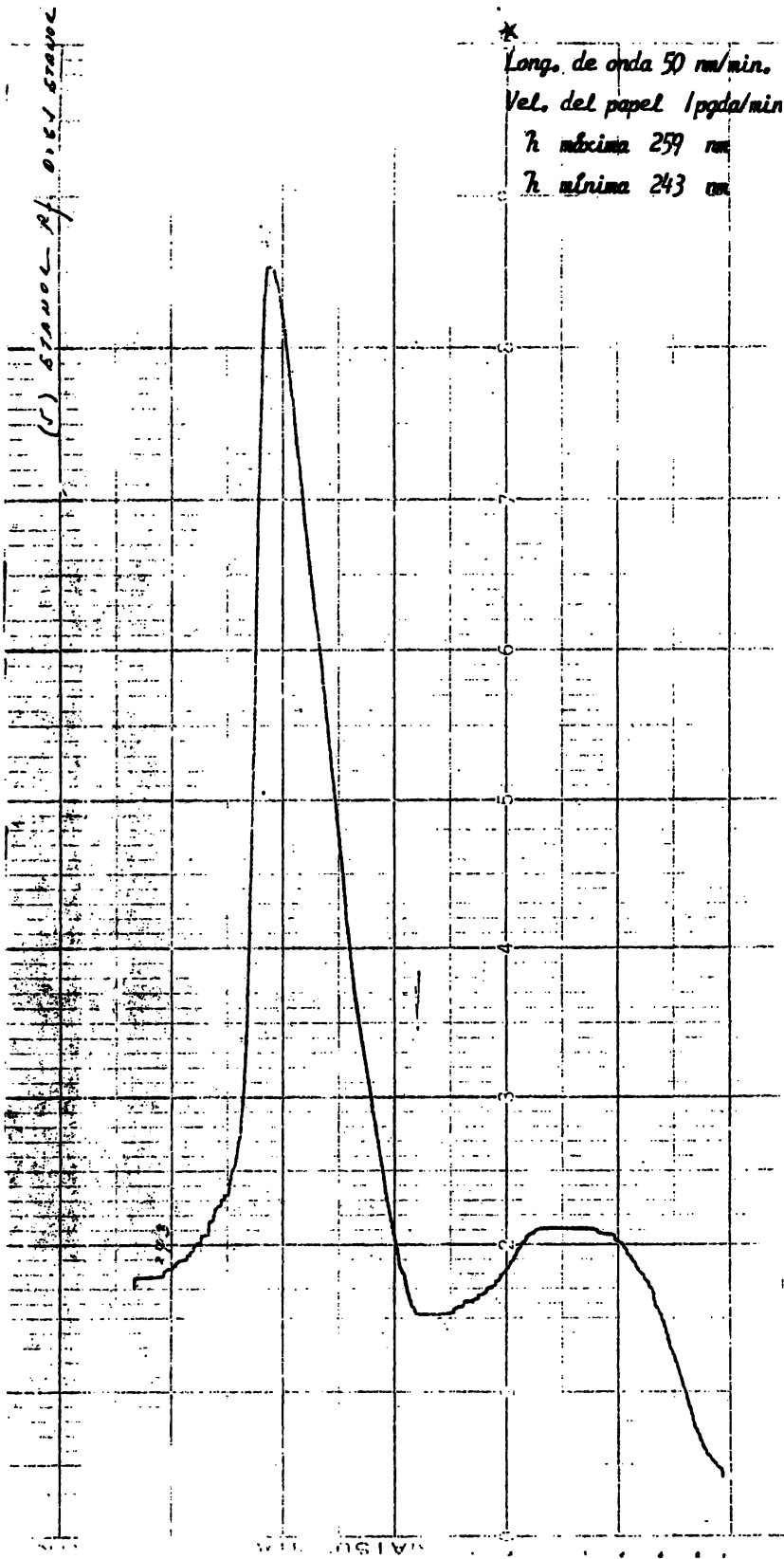
Long. de onda 50 nm /min  
Vel. del papel 1 pgda /min.  
n máxima 256 nm  
n mínima 245 nm



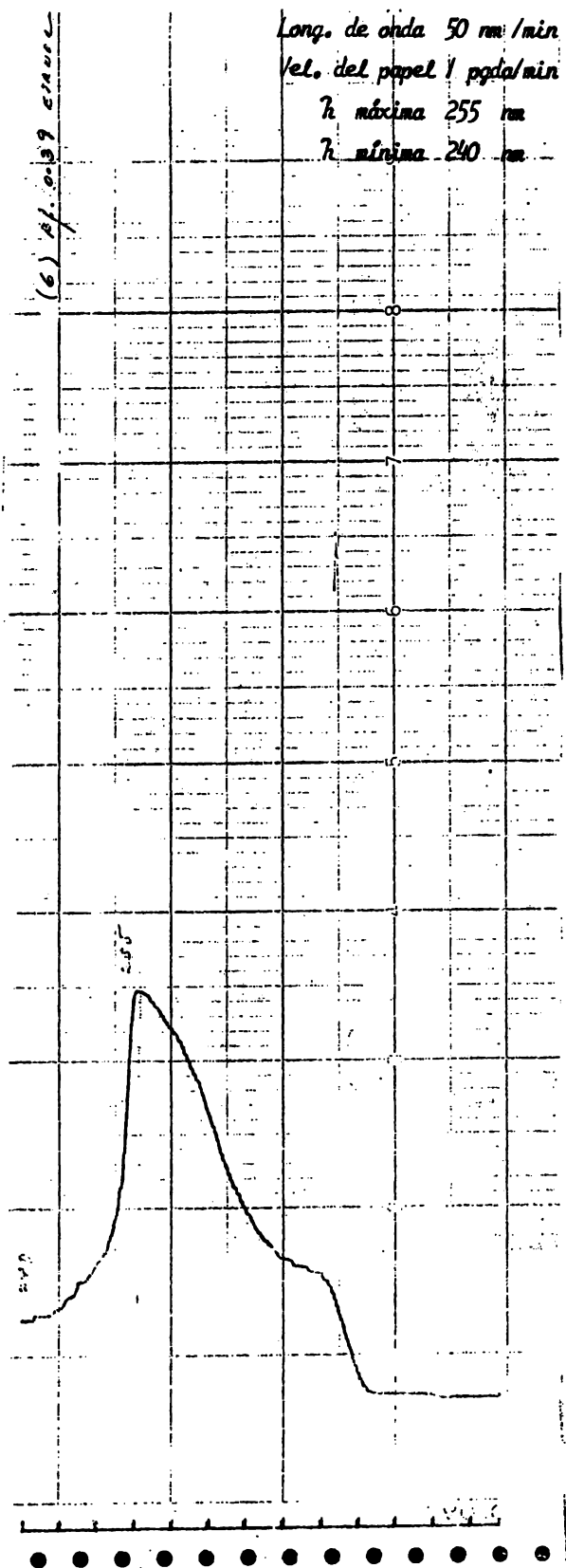
Long. de onda 50 nm/min.  
Vel. del papel 1 pgda/min  
R. nitrina 255 nm  
R. altrina 240 nm

(r) erogida pf. 0.10 cm<sup>-2</sup>



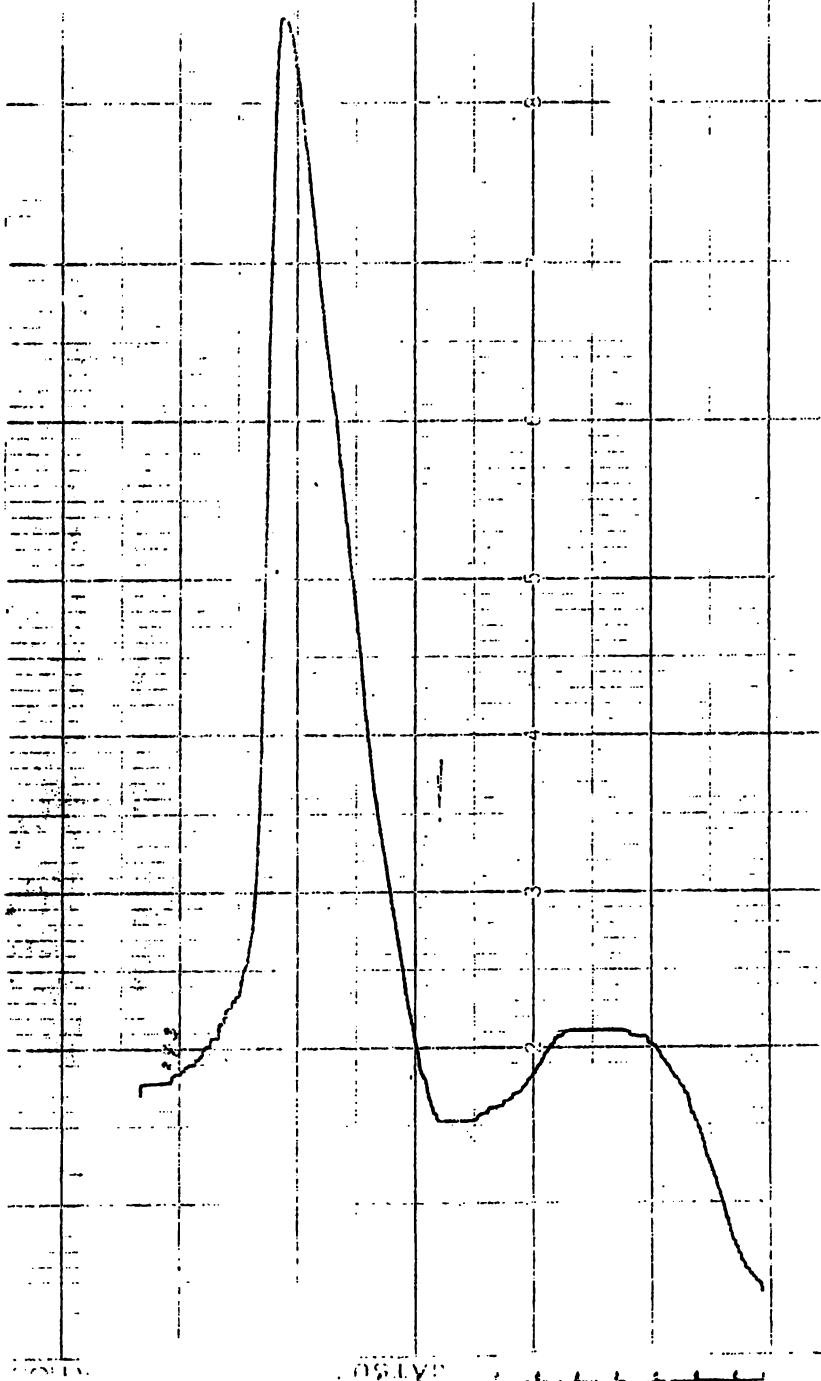


Long. de onda 50 nm/min  
Vel. del papel 1 pgda/min  
h máxima 255 nm  
h mínima 240 nm

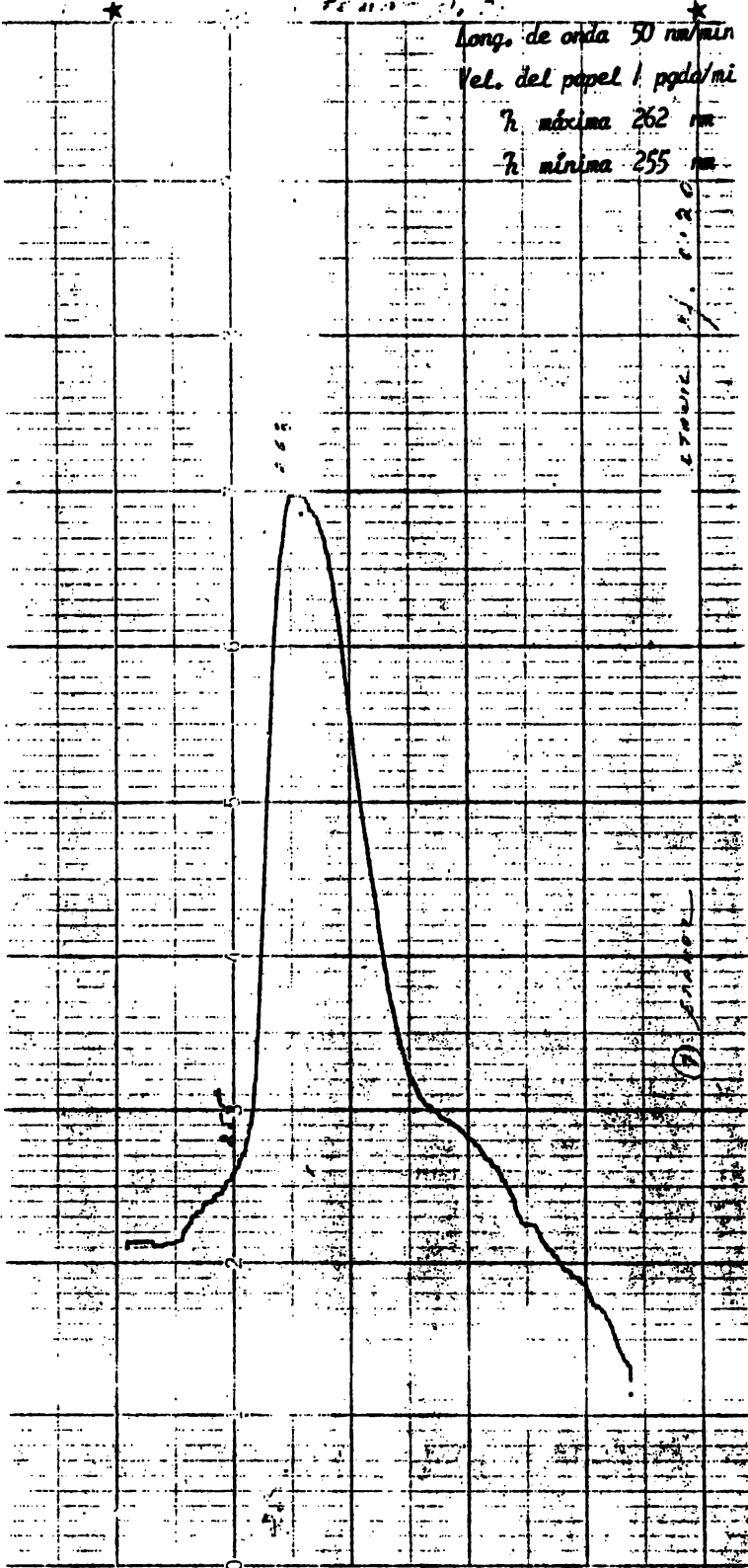


(5) 9/10/62

\*  
Long. de onda 50 nm/min  
Vel. del papel 1 pgda/min.  
 $\lambda$  máxima 259 nm  
 $\lambda$  mínima 243 nm

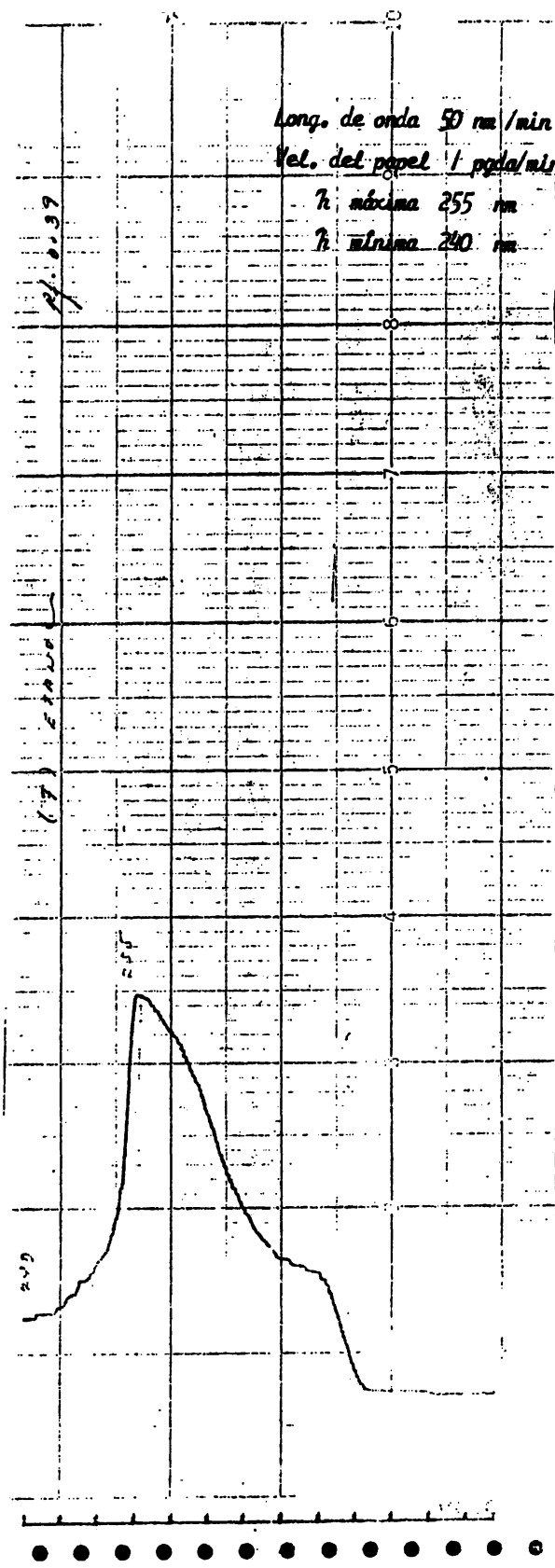


Long. de onda 50 nm/min  
Vel. del papel 1 pgd/min  
z máxina 262 mm  
z minima 255 mm

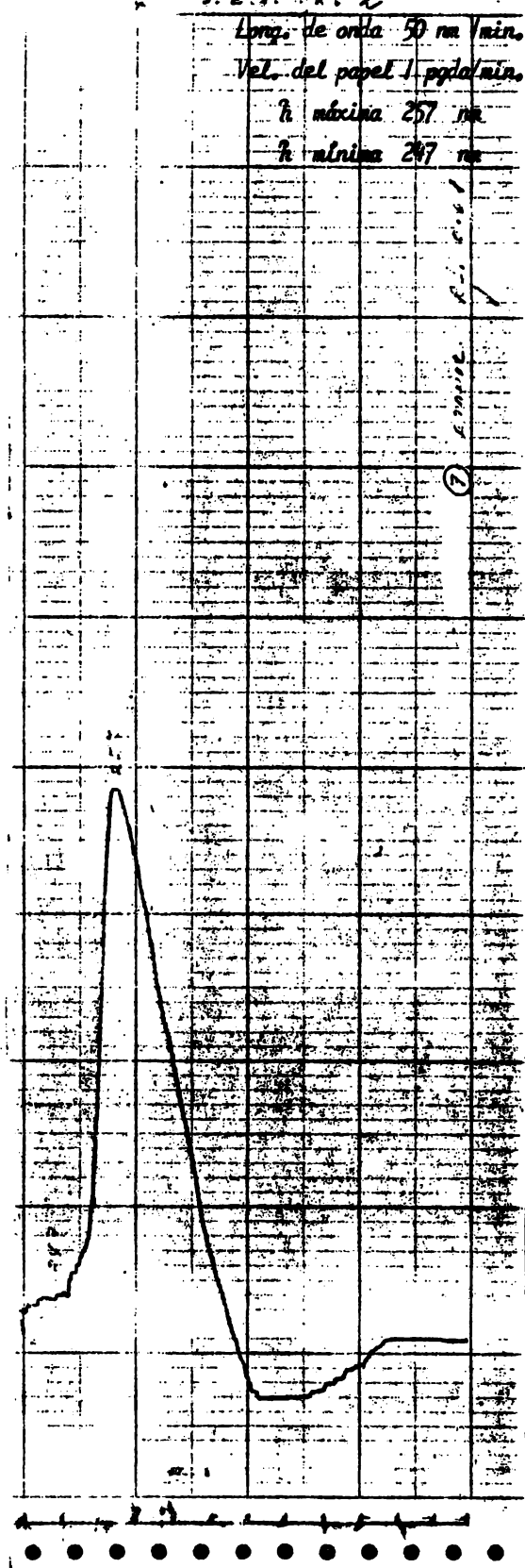


INDUSTRIAL CC. LTD. VG-060A

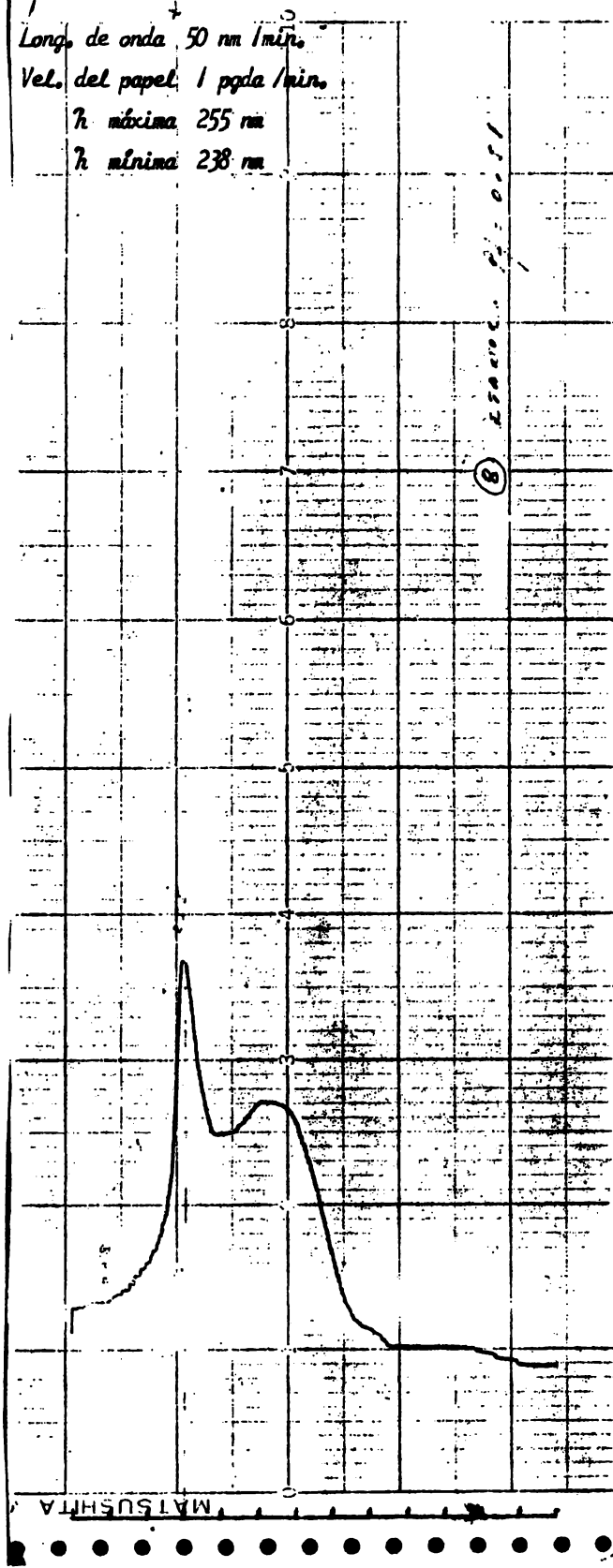
• • • • • • • • • • •



Long. de onda 50 nm/min.  
Vel. del papel 1 ppm/min.  
h máxima 257 nm  
h mínima 247 nm



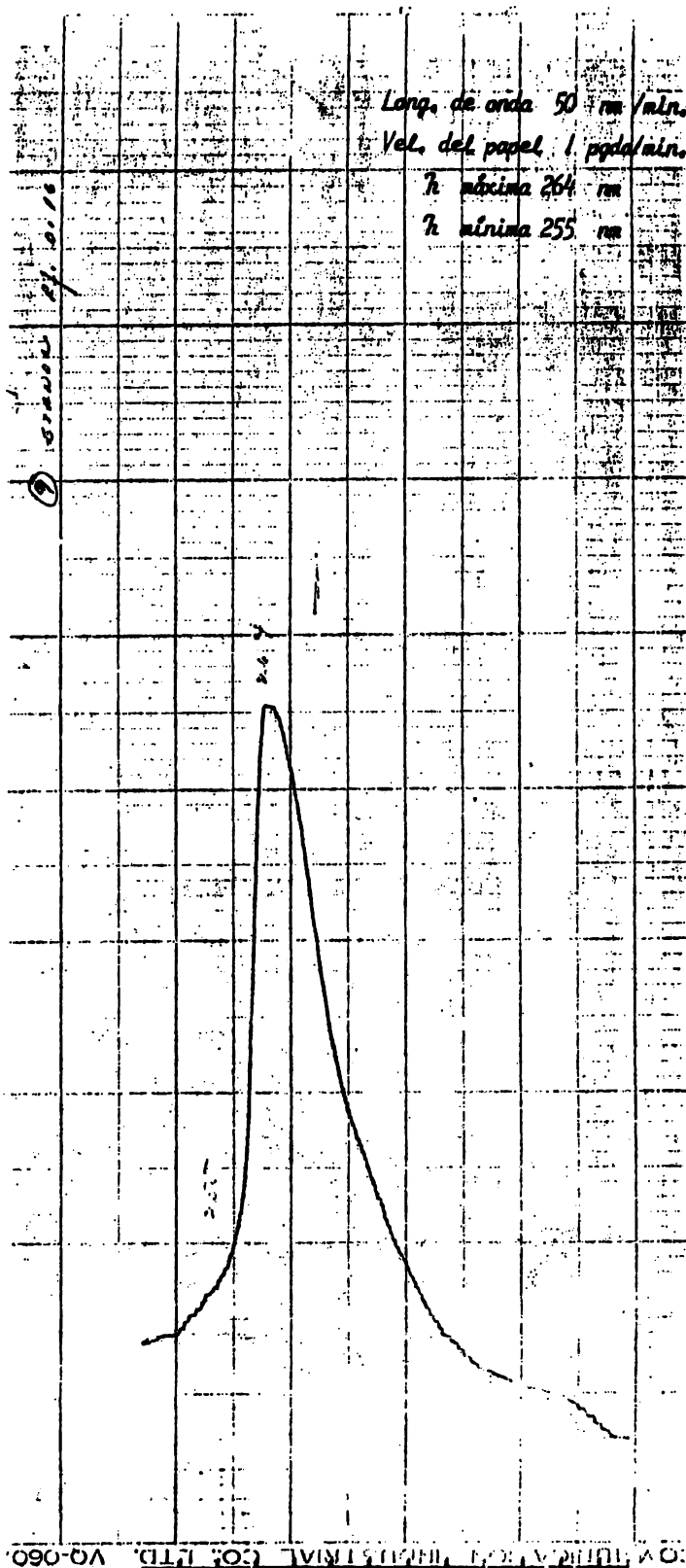
Long. de onda  $50 \text{ nm/min.}$   
Vel. del papel  $1 \text{ pgda/min.}$   
 $\lambda_{\text{máxima}} 255 \text{ nm}$   
 $\lambda_{\text{mínima}} 238 \text{ nm}$



Long. de onda 50 nm Valr.  
Vel. del papel 1 ppgd/min.

$\lambda$  máxima 264 nm

$\lambda$  mínima 255 nm

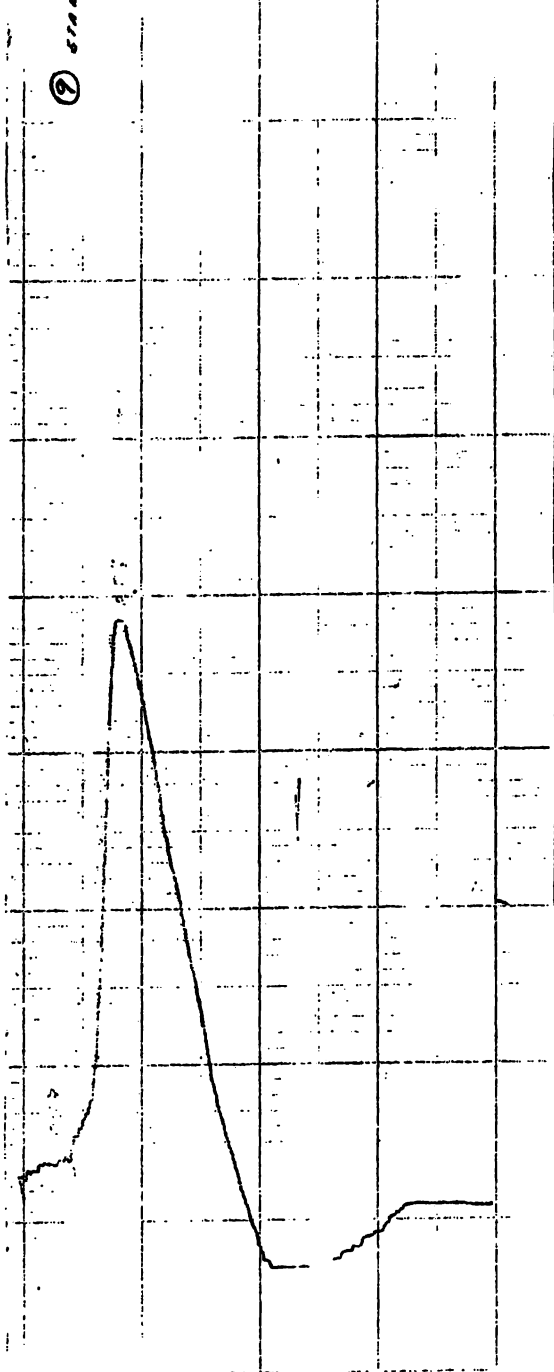


O.V. TUBO A VACIO, FABRICACION LEO LTD. VO-060.

• • • • • • • • • • •

Long. de onda 50 nm / min.  
Vel. del papel 1 pgda / min.  
h máxima 257 nm  
h mínima 247 nm

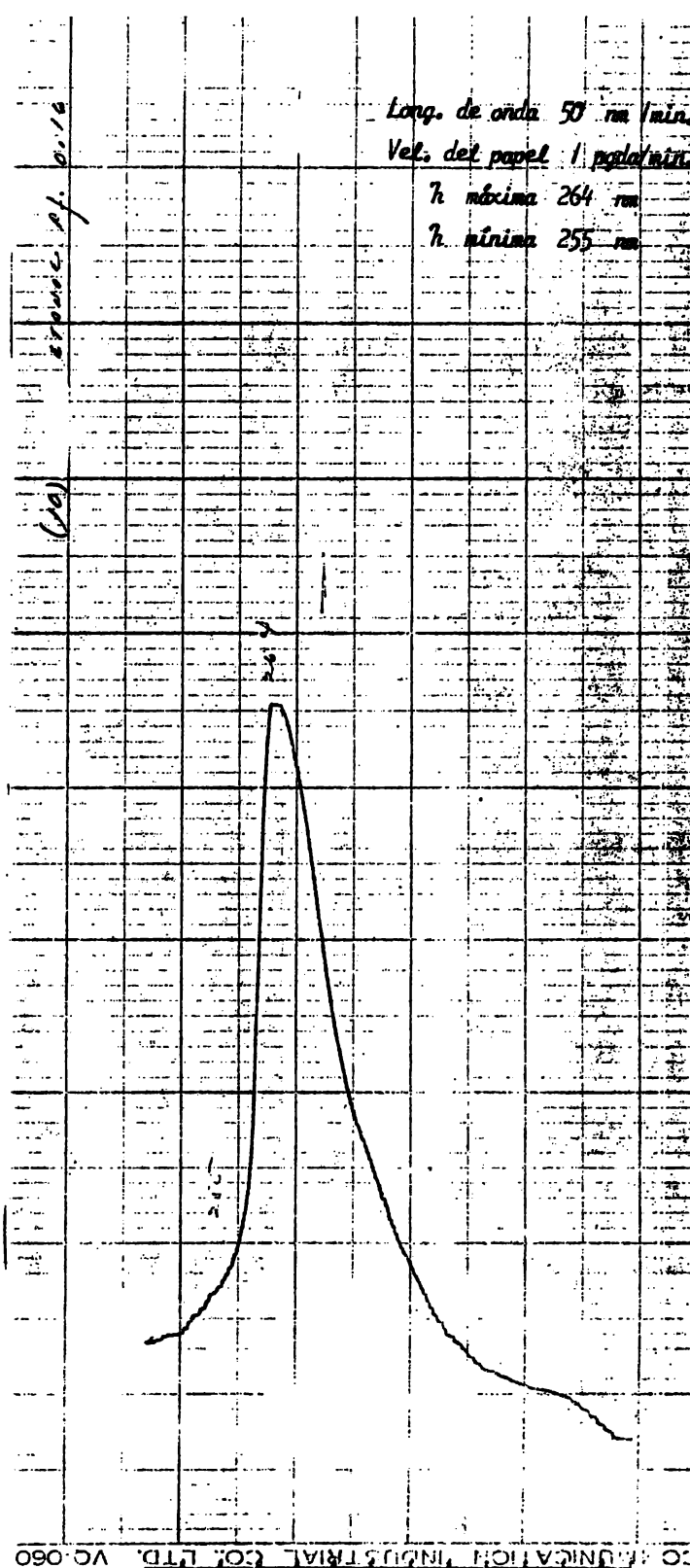
② onda sf. 0.060



Long. de onda 50 nm/min.  
Vel. del papel 1 m/min.

h máxima 264 nm

h mínima 255 nm

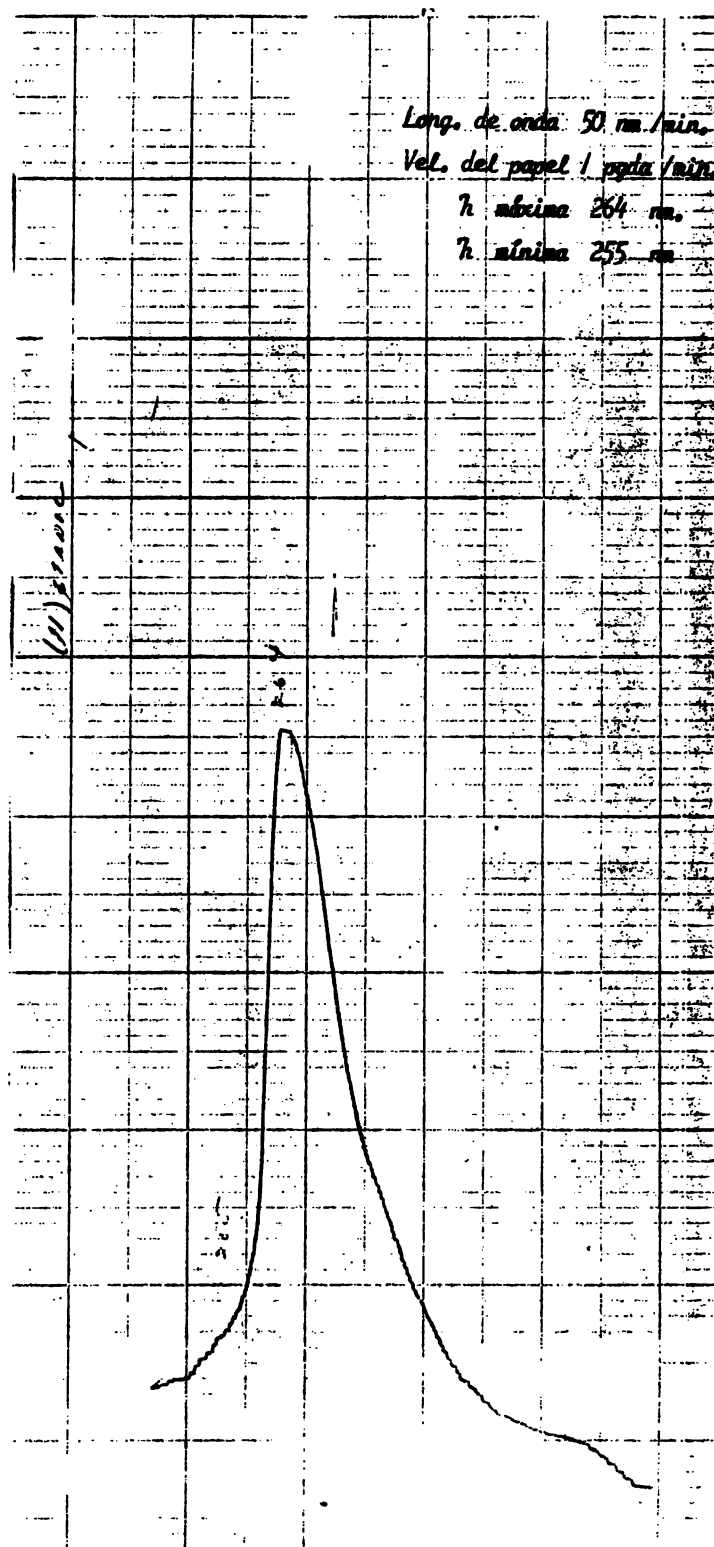


Long. de onda 50 nm/min.

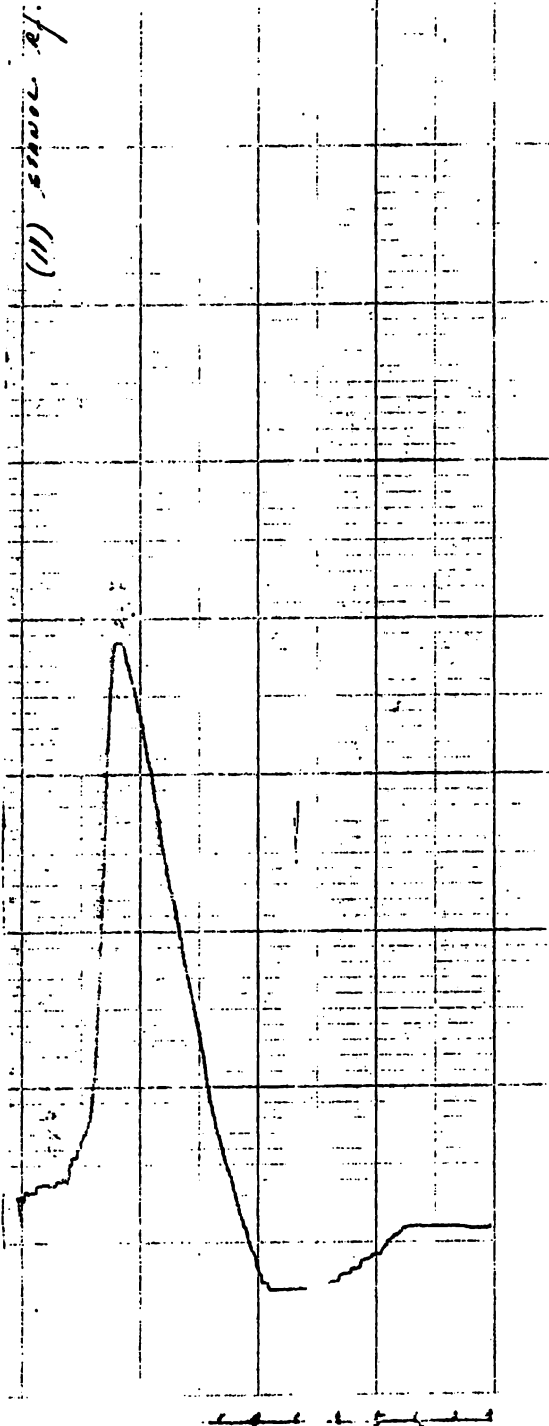
Vel. del papel 1 yarda/min.

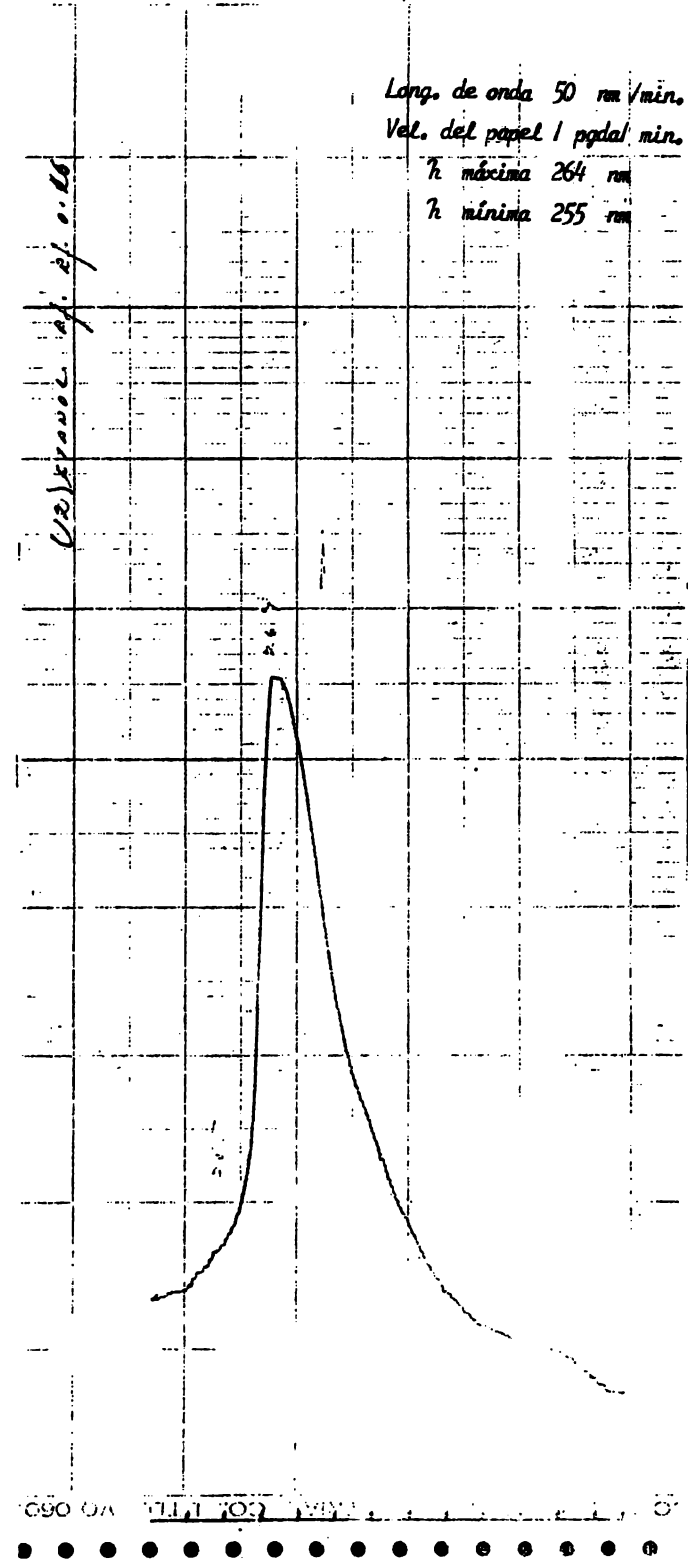
h máxima 264 nm.

h mínima 255 nm

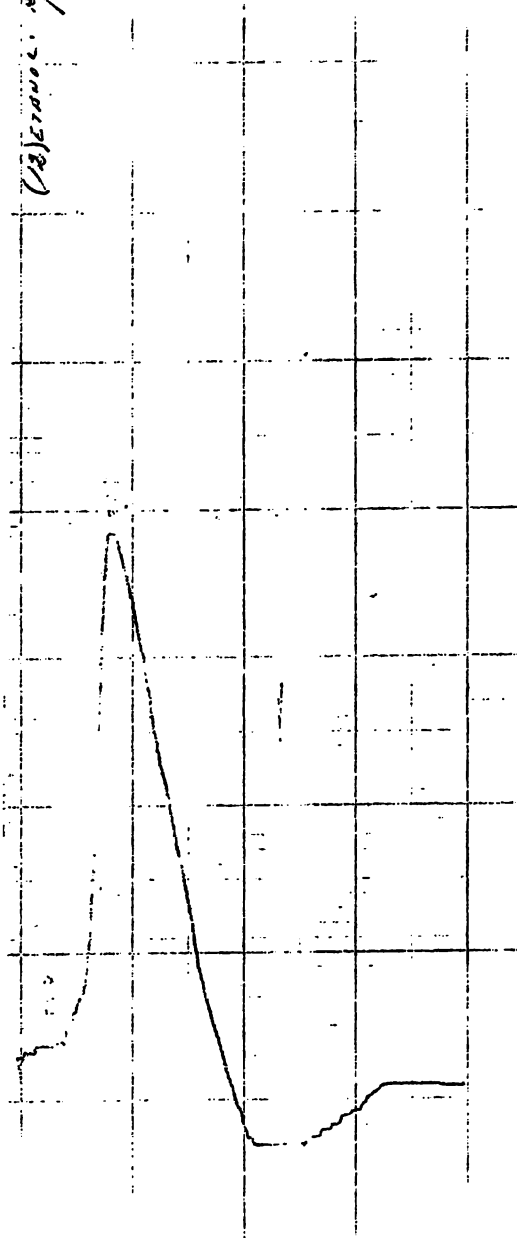


Long. de onda 50 nm/min.  
Vel del papel 1 pgd/min.  
h máxima 257 nm  
h mínima 247 nm



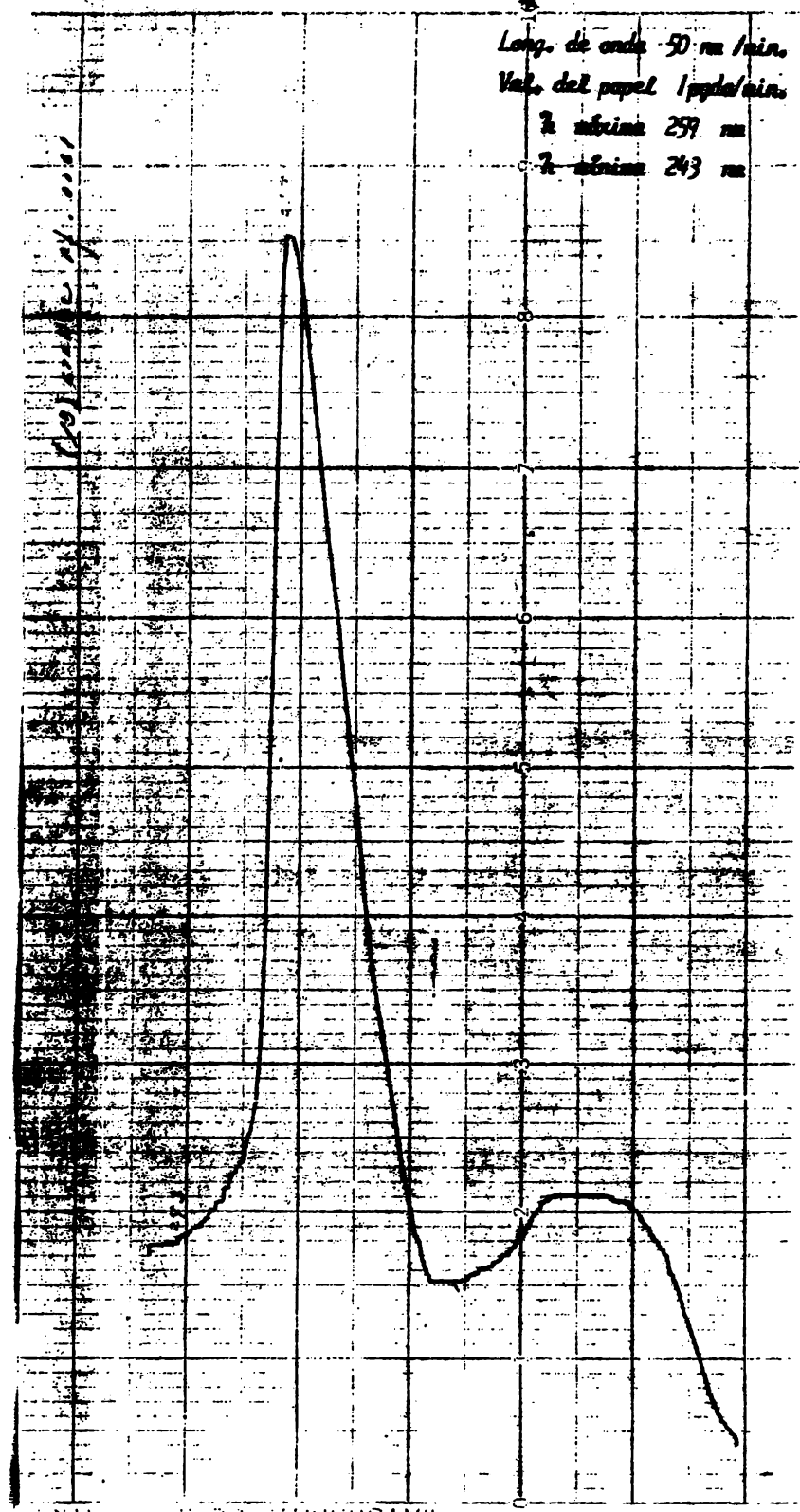


Läng. de onda 50 nm/min.  
Vel. del papel 1 pgd/min.  
 $h$  máxima 257 nm  
 $h$  mínima 247 nm



5

Long. de onda 50 nm/min.  
Vel. del papel 1 cm/min.  
h máxima 259 nm  
h mínima 243 nm



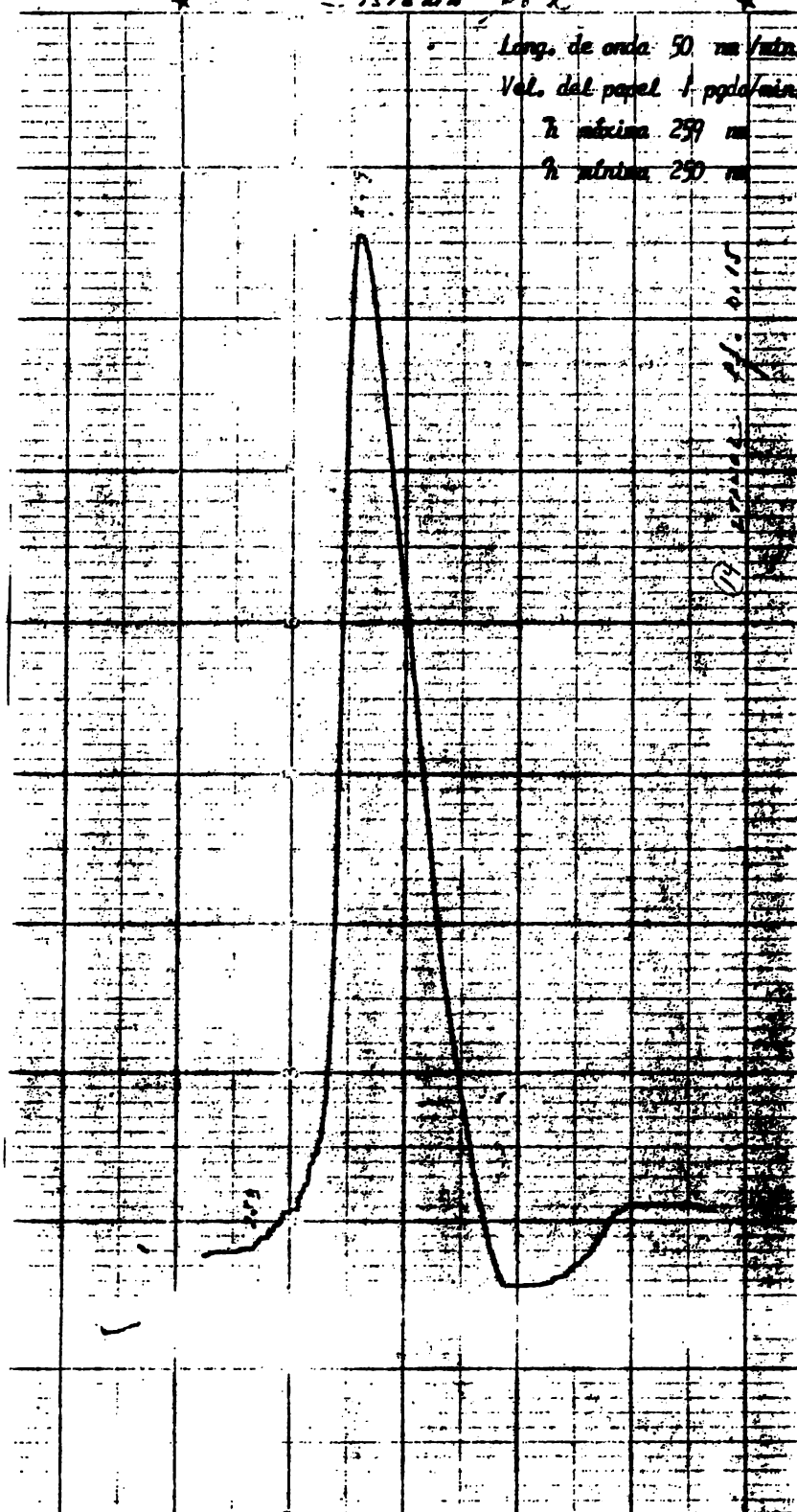
1570000 N. 2

Long. de onda 50 ms/latr.

Vel. del papel 1 ppm/min.

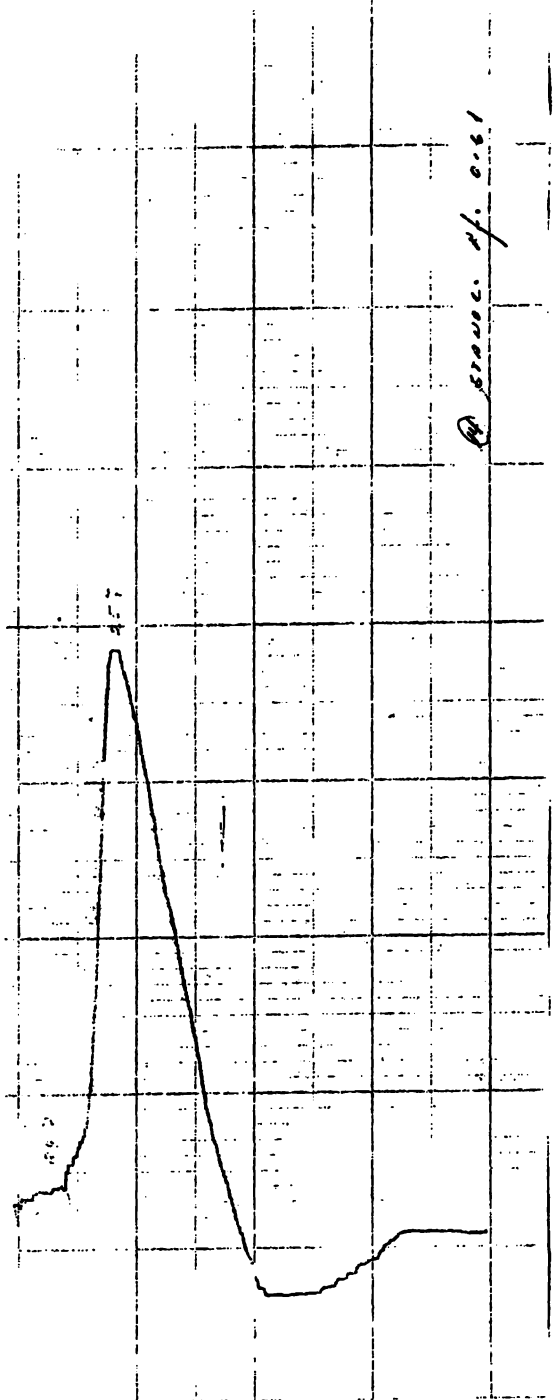
T. máxima 299 m

T. mínima 250 m



MUSEUMS OF THE C. L. T. V. Q. O. G. D. A.

Long. de onda 50 nm /min.  
Vel. del papel 1 pgda/min.  
λ máxima 257 nm  
λ mínima 247 nm

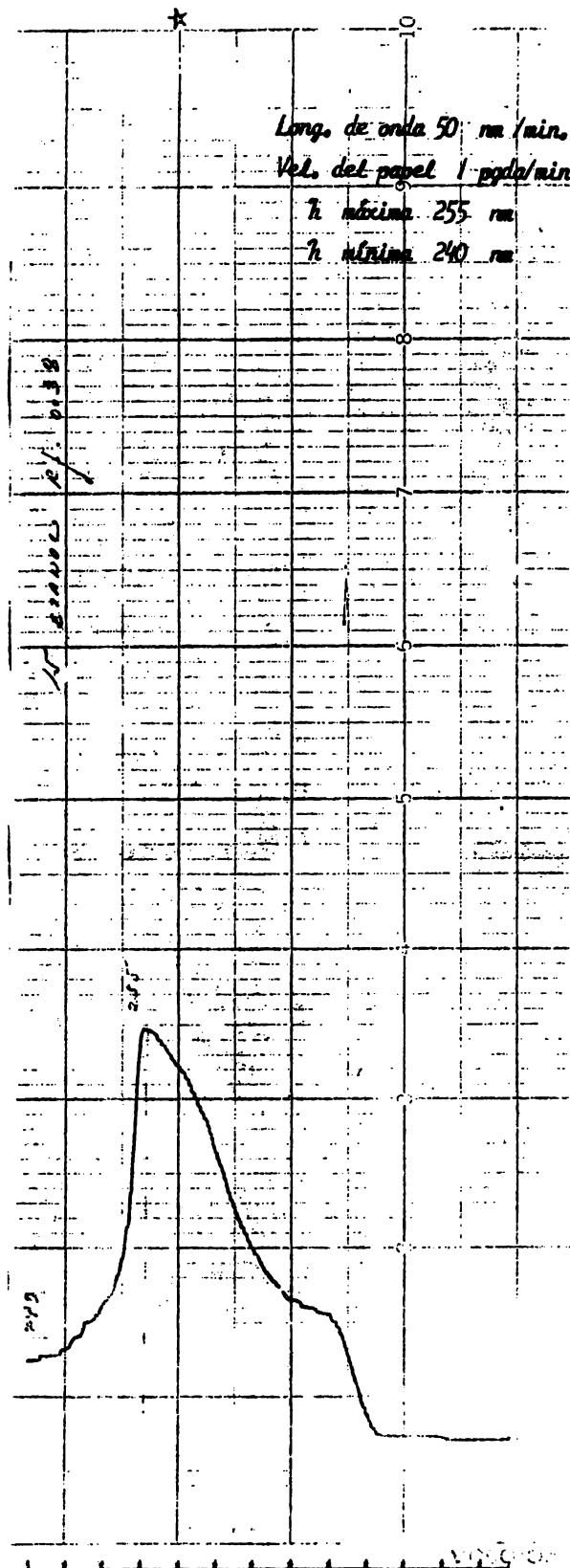


Long. de onda 50 mm/min.

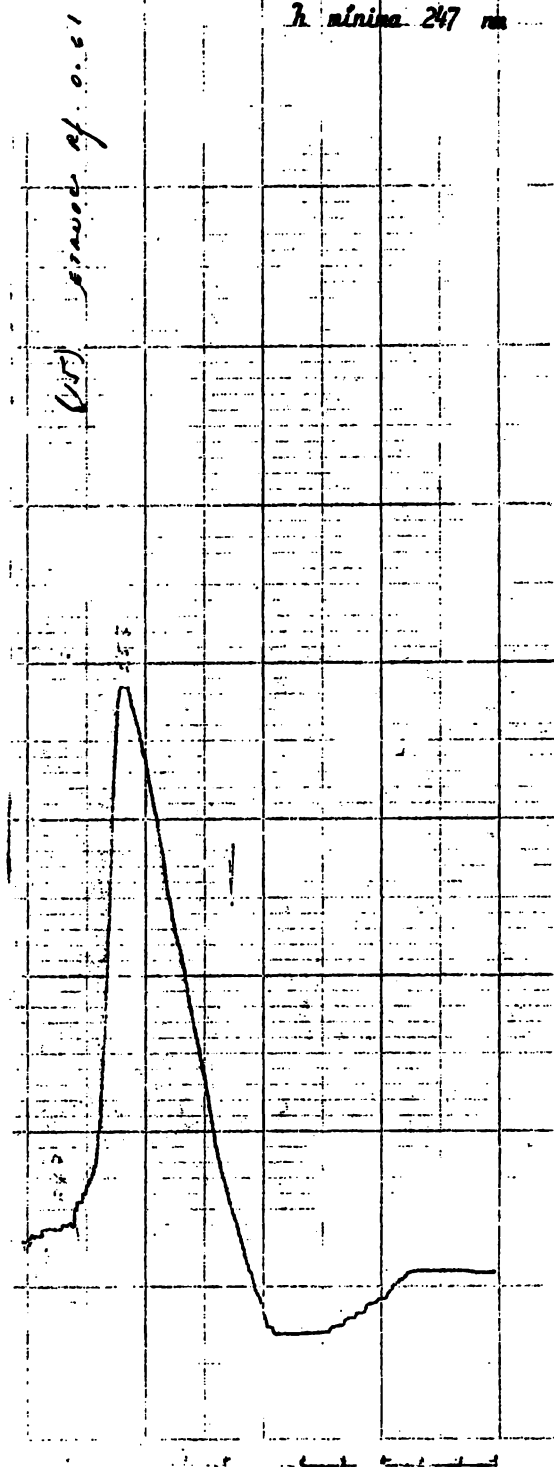
Velo del papel 1 pulg/min.

T<sub>1</sub> máxima 255 mm

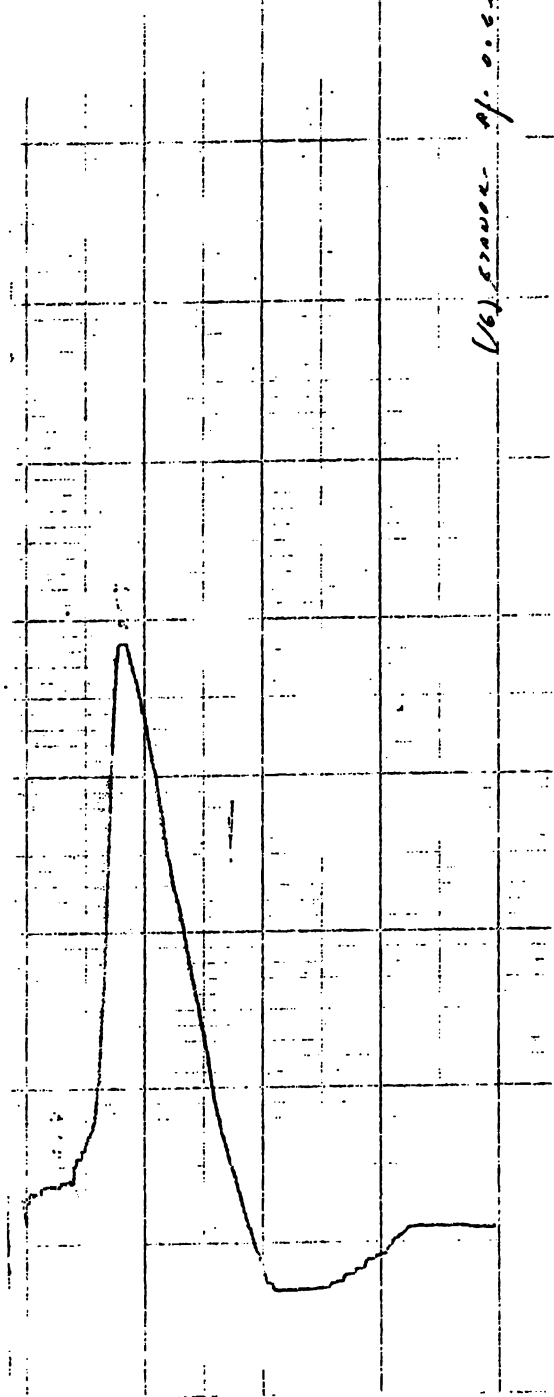
T<sub>2</sub> mínima 240 mm



Long. de onda 50 nm/min  
Vel. del papel 1 pgda/min.  
h máxima 257 nm  
h mínima 247 nm



Long. de onda 50 nm/min.  
Vel. del papel 1 pgda/min.  
h máxima 257 nm  
h mínima 247 nm



Long. de onda 50 nm/min.  
Vel. del papel 1 pgd/min.  
h máxima 257 nm  
h mínima 247 nm

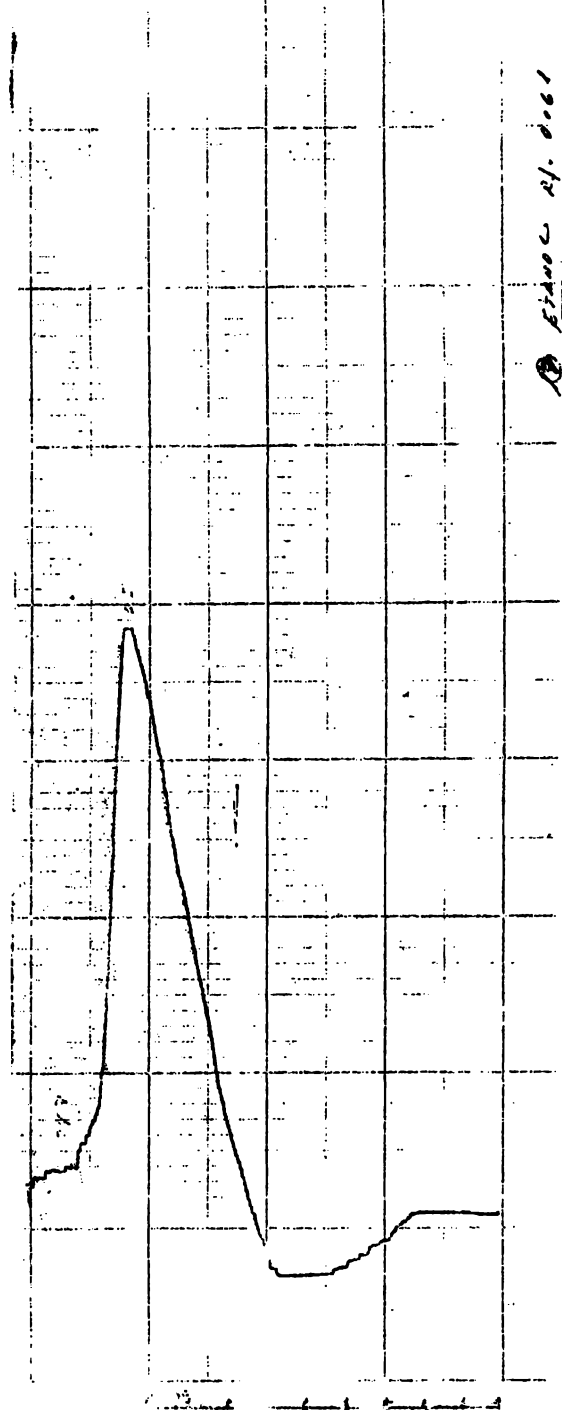
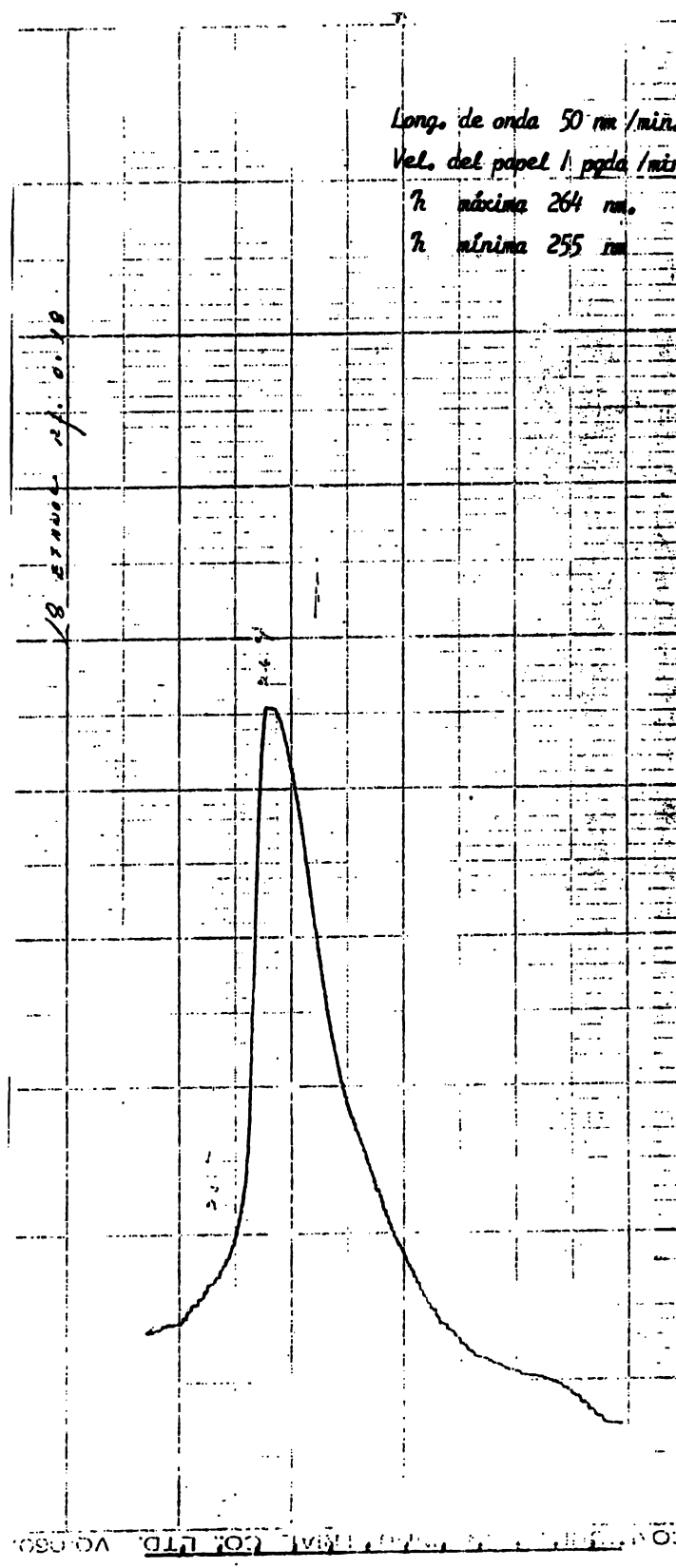
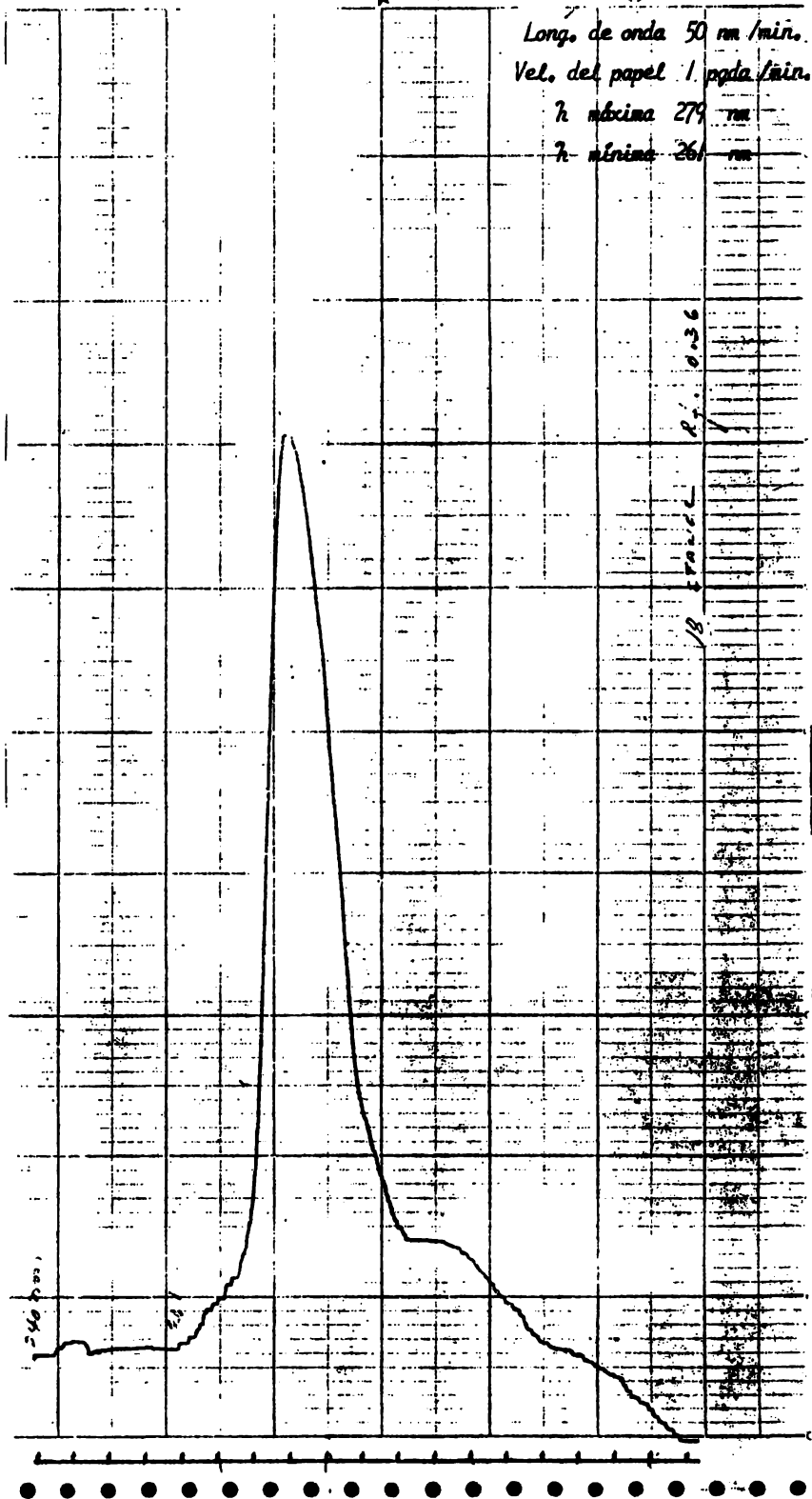
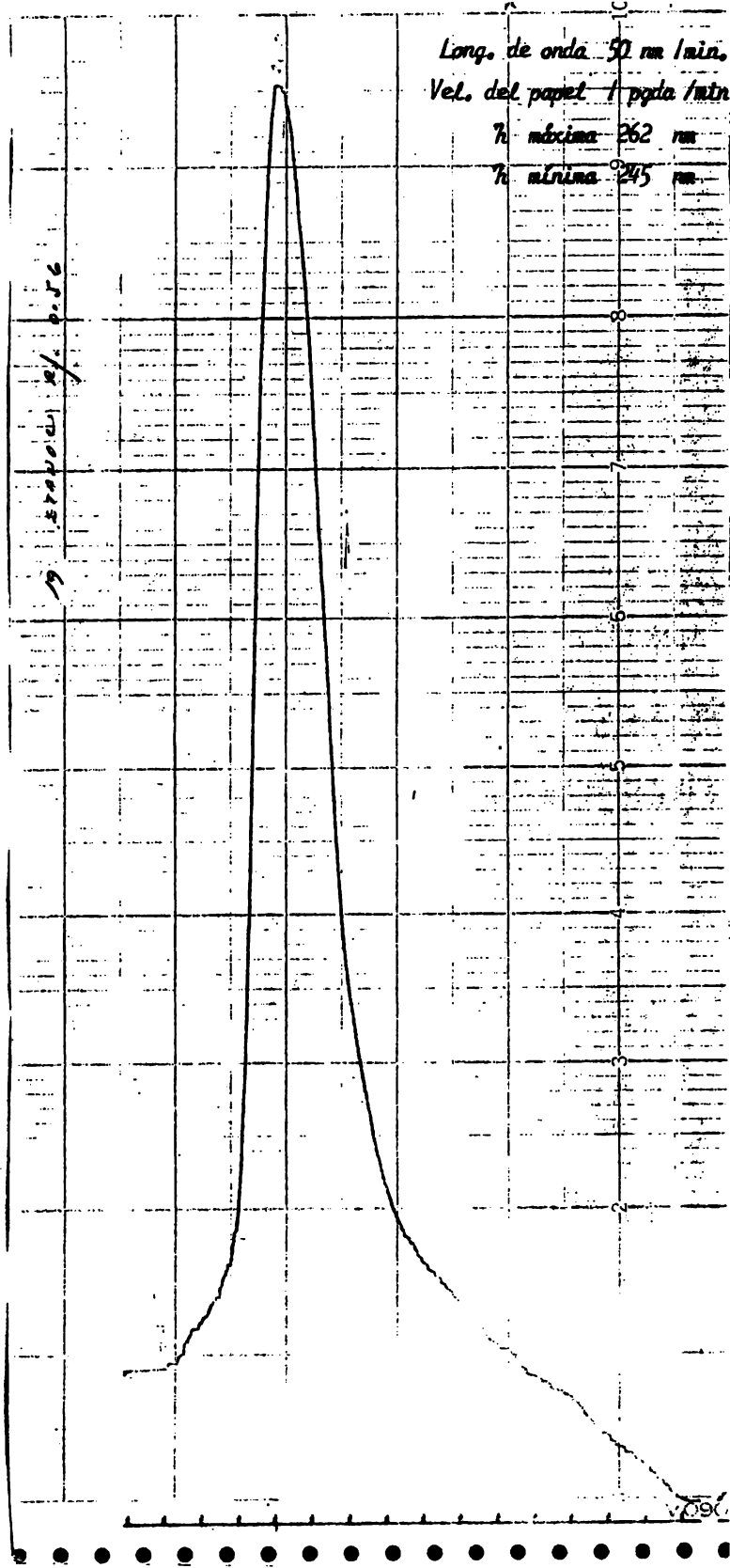


Figura 21. 0.01







### Sistema No 3

Placas Cromatofolios Kiesegel DC F<sub>254</sub> Merck con dimensiones de 20 x 20 cm. con un espesor de silice gel de 0.25 mm.

### Preparación de la muestra

Las mismas muestras usadas en el sistema anterior, se usaron en este, usando como disolventes etanol y agua en una proporción de 1 en 9 (1 mg en 9 ml)

### Cantidad Aplicada

10 mg de la solución en agua

5 mg de la solución en etanol

### Preparación de la Camara de Saturación

Se formó un sistema de 101.5 ml

100 ml de Acetato de etilo

1.5 ml de Hidróxido de amonio

101.5 ml.

Tiempo de Saturación : 60 minutos

Tiempo de separación de las muestras : 25 minutos

Las placas se secan a temperatura ambiente y se vieron las separaciones - de las muestras a través de luz ultravioleta (254 m $\mu$ )

Muestra No.	Solvente	D. recorrida por muestra	D. recorrida por solvente
1	etanol	5.0	7.0
	aqua	3.5	7.0
2	etanol	5.0	7.0
	aqua	No corrio	
3	etanol	2.0	7.0
		5.0	7.0
	aqua	5.0	7.0
		2.0	7.0
4	etanol	2.0	7.0
		5.0	7.0
	aqua	2.0	7.0
		5.0	7.0
5	etanol	2.0	7.0
		5.0	7.0
	aqua	2.0	7.0
		5.0	7.0
6	etanol	5.0	7.0
		3.5	7.0
	aqua	5.0	7.0
		2.5	7.0
7	etanol	4.0	7.0
		5.5	7.0
	aqua	5.0	7.0

9	<i>etanol</i>	5.0	7.0	0.71
		3.7	7.0	0.53
		2.0	7.0	0.28
10	<i>etanol</i>	2.0	7.0	0.28
		3.5	7.0	0.050
		5.0	7.0	0.71
	<i>aqua</i>	<i>No corrio</i>		
11	<i>etanol</i>	11.5	18.0	0.63
	<i>aqua</i>	11.5	18.0	0.63
12	<i>etanol</i>	11.5	18.0	0.63
	<i>aqua</i>	4.0	18.0	0.22
		11.5	18.0	0.63
13	<i>etanol</i>	11.5	18.0	0.63
	<i>aqua</i>	4.0	18.0	0.22
		11.0	18.0	0.61
15	<i>etanol</i>	1.0	8.5	0.11
		4.3	8.5	0.50
	<i>aqua</i>	0.8	8.5	0.09
		4.5	8.5	0.52
16	<i>etanol</i>	<i>No corrio</i>		
	<i>aqua</i>	0.6	8.5	0.07
17	<i>etanol</i>	0.9	8.5	0.10
		4.3	8.5	0.50
	<i>aqua</i>	1.0	8.5	0.11
		4.7	8.5	0.55

18	<i>etanol</i>	2.5	8.5	0.29
		5.3	8.5	0.62
19	<i>etanol</i>	8.0	10.0	0.80
	<i>aqua</i>	8.0	10.0	0.80
20	<i>etanol</i>	8.0	10.0	0.80
	<i>aqua</i>	8.0	10.0	0.80

No encontro de oficiais  
1ºº reunião, de Ancorazgo, 20 minutos

18/25

1.000 2.000 3.000 4.000

1.000 2.000 3.000 4.000

1.000 2.000 3.000 4.000

1.000 2.000 3.000 4.000

1.000 2.000 3.000 4.000

1.000 2.000 3.000 4.000

1.000 2.000 3.000 4.000

1.000 2.000 3.000 4.000

1.000 2.000 3.000 4.000

1.000 2.000 3.000 4.000

1.000 2.000 3.000 4.000

1.000 2.000 3.000 4.000

1.000 2.000 3.000 4.000

1.000 2.000 3.000 4.000

1.000 2.000 3.000 4.000

1.000 2.000 3.000 4.000

18/25

18/25

18/25

18/25

18/25

18/25

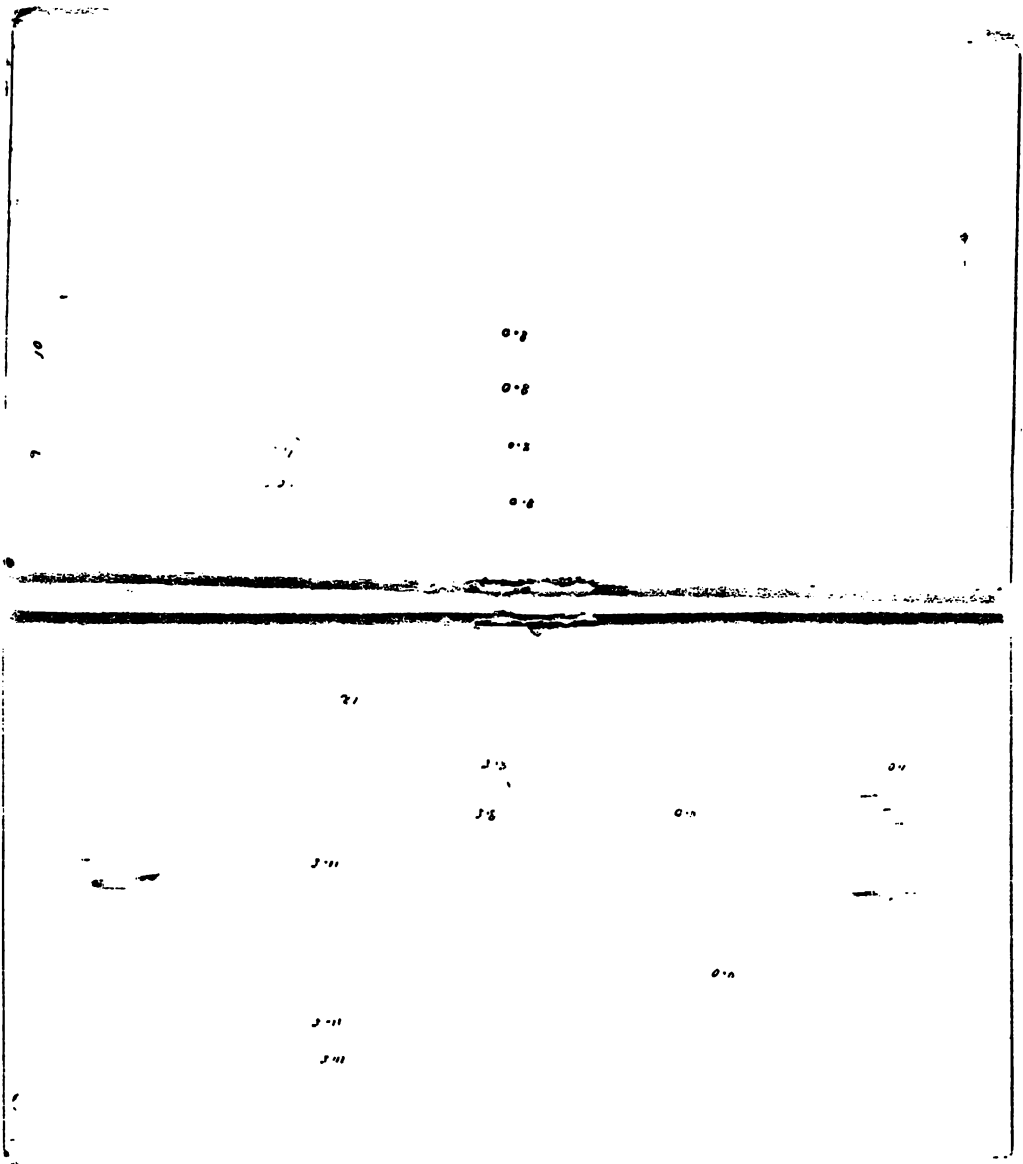
18/25

18/25

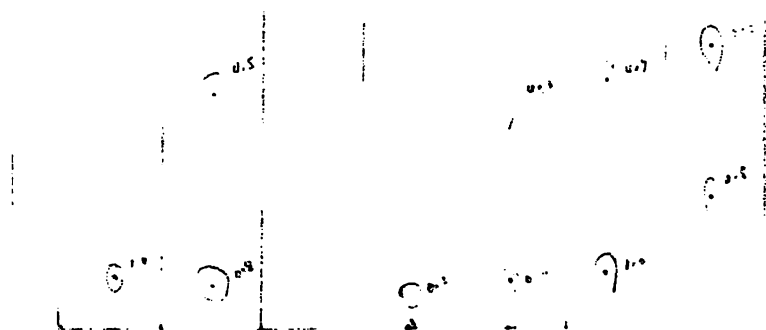
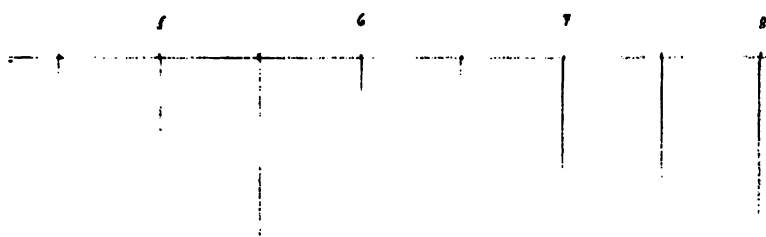
18/25

18/25

18/25



POBL. RECLAMADA  
SIST. RECOPILACIONES  
ESTIMACIÓN DE ESTIMACIONES



El espectrofotómetro usado fué un modelo BECKMAN ACTA C III  
 Absorción en el espectro ultravioleta ( $\lambda$  máxima y  $\lambda$  mínima) de las muestras  
 separadas por cromatografía en capa fina.

Muestra No.	$\lambda$ máxima ( nm )	$\lambda$ mínima ( nm )
1 en ~		
etanol	263	256
	263	252
agua	263	252
2 en:		
etanol	263	252
agua	258	240
3 en:		
etanol	263	252
agua	—	—
4 en:		
etanol	263	256
	263	252
agua	263	256
	263	252
5 en:		
etanol	263	256
	283	252
agua	262	250
	263	252

Muestra No.		$\lambda$ máxima ( nm )	$\lambda$ mínima ( nm )
6	en:		
etanol		263	252
aqua		258	240
		263	252
7	en:		
etanol		261	250
		259	243
		270	250
aqua		263	252
8	en:		
etanol		263	256
		264	240
		263	252
9	en:		
etanol		263	256
		258	240
		263	252
10	en:		
etanol		255	240
aqua		255	240

*/1 en:*

<i>etanol</i>	255	240
<i>aqua</i>	257	245
	255	240

*/2 en:*

<i>etanol</i>	255	240
<i>aqua</i>	257	245
	258	240
	259	243

*/3 en:*

<i>etanol</i>	262	257
	258	240
<i>aqua</i>	262	257
	258	240

*/4 en:*

<i>etanol</i>	255	240
	258	240
<i>aqua</i>	255	240
	258	240

*/5 en:*

<i>etanol</i>	262	250
	257	247

*/6 en:*

<i>ETAnol</i>	254	245
---------------	-----	-----

*/7 en:*

<i>etanol</i>	254	245
---------------	-----	-----

*/8 en:*

<i>etanol</i>	254 '	245
---------------	-------	-----

<i>aqua</i>	254 .	245
-------------	-------	-----

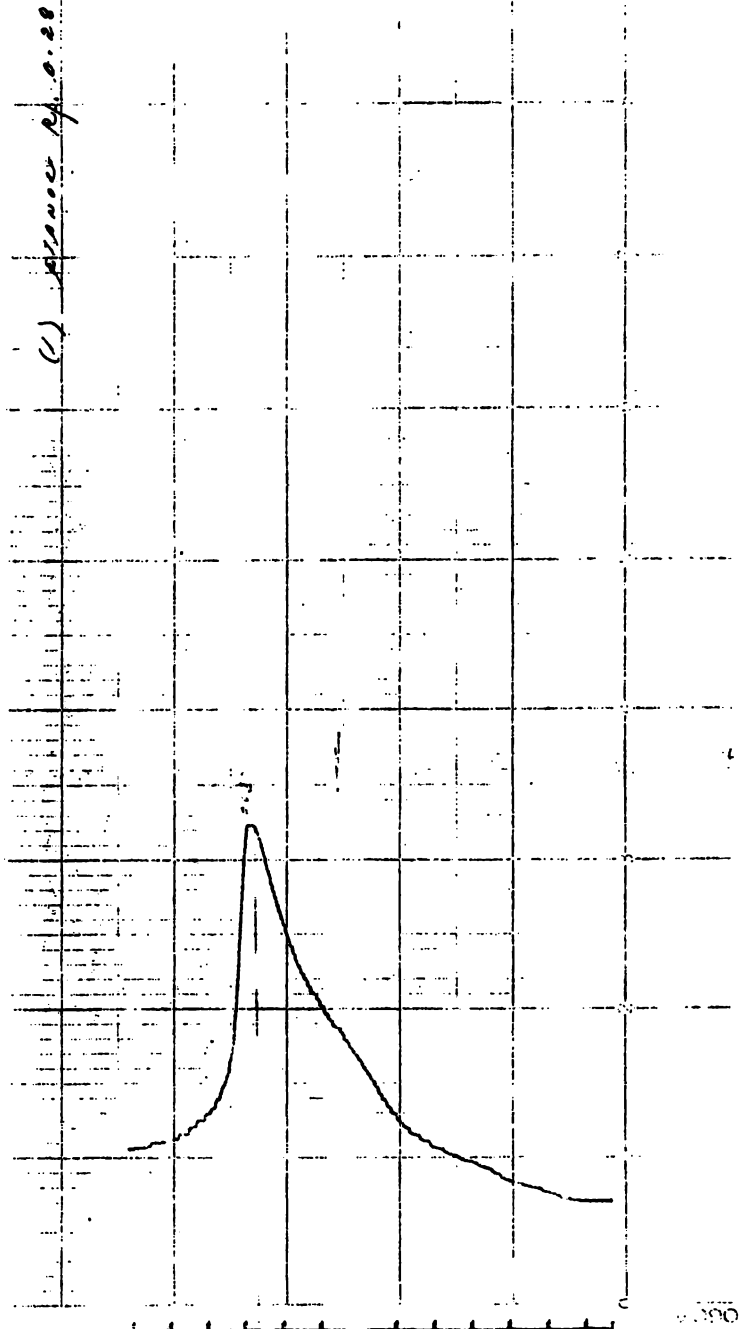
—

Vel. del papel 1 pgda/min.

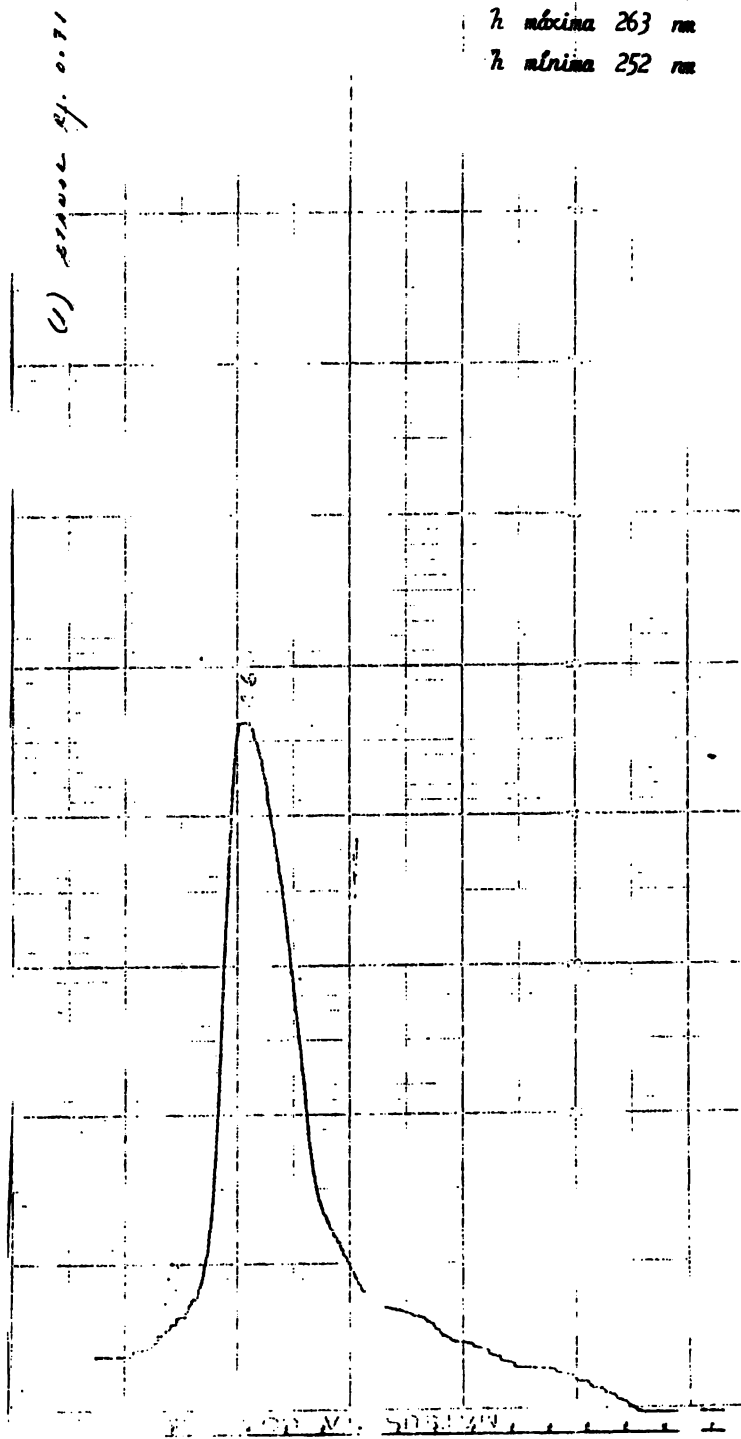
*h* máxima 263 nm

21 *binina* 288 77

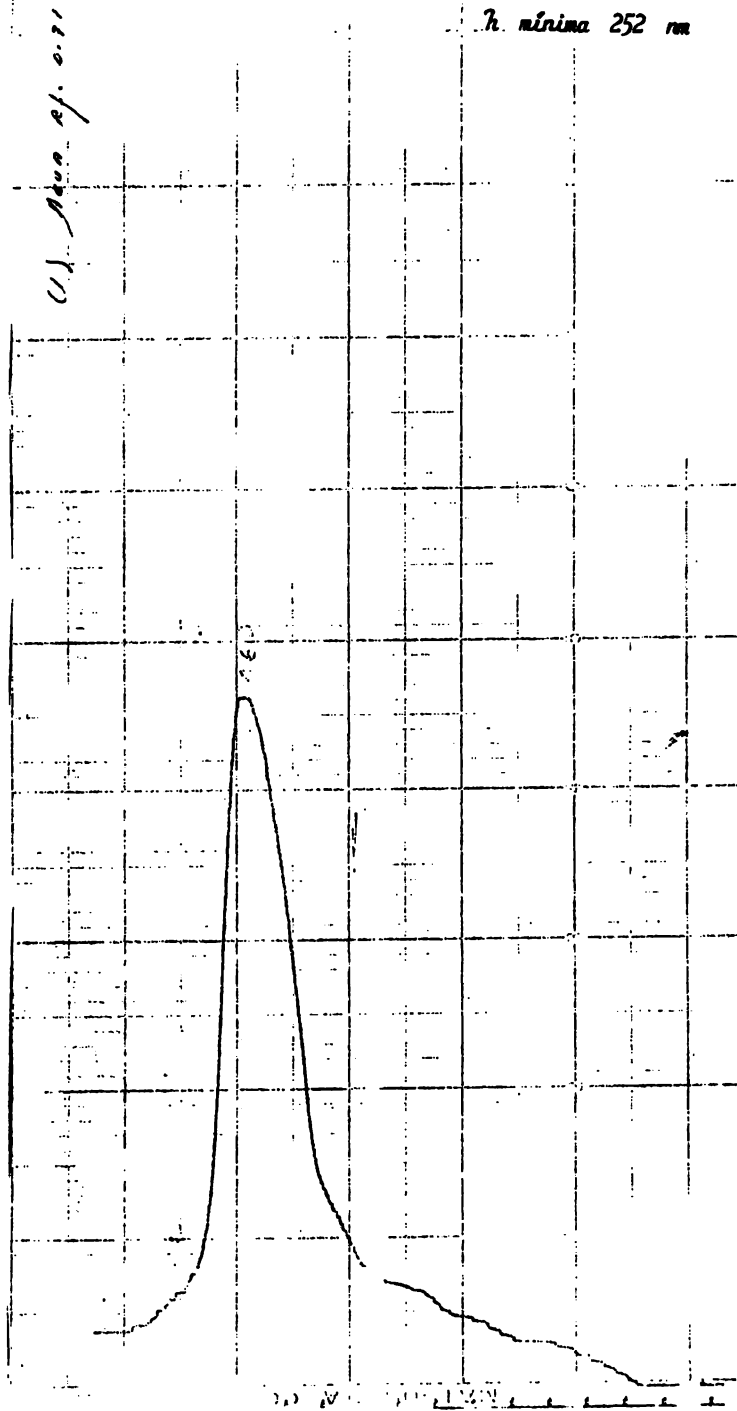
*n* | *mammal* *230* *nm*



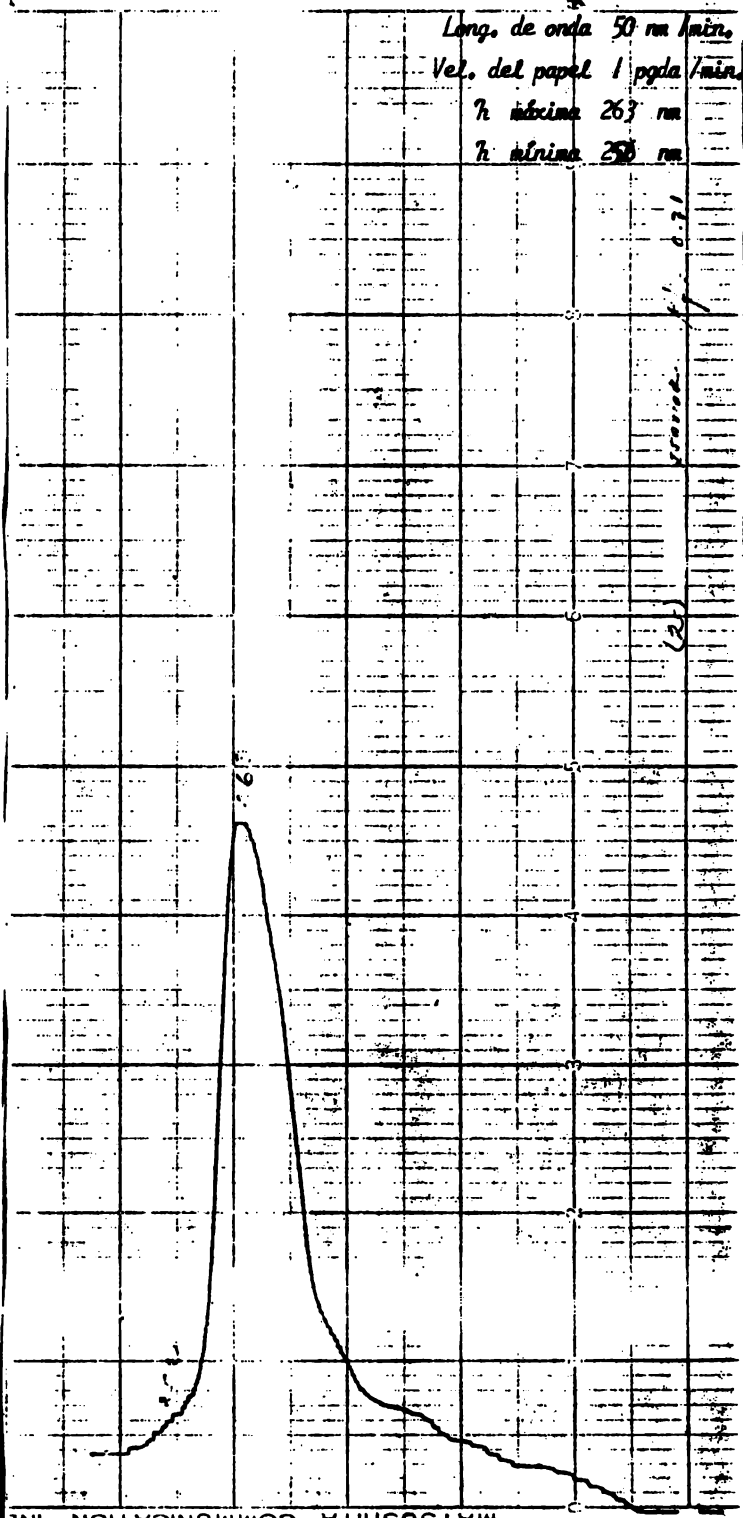
Long. de onda 50 nm/min.  
Vel. del papel 1 podo/min.  
h máxima 263 nm  
h mínima 252 nm



Long. de onda 50 nm /min.  
Vel. del papel 1 pgda/min.  
h máxima 263 nm  
h mínima 252 nm



Long. de onda 50 nm láser  
Vel. del papel 1 pgda/min.  
 $n_{\text{áxima}}$  263 nm  
 $n_{\text{mínima}}$  350 nm

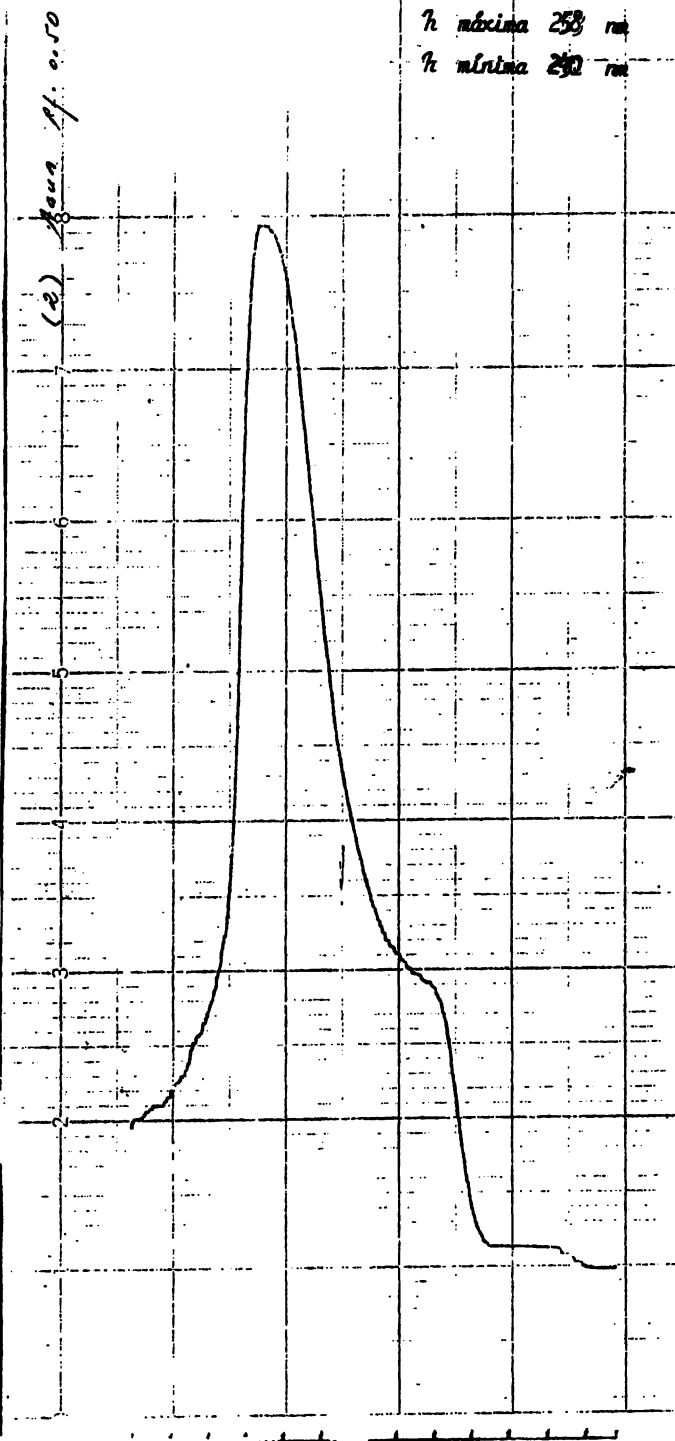


MATSUSHITA COMMUNICATION INC.

Largo de onda 50 nm/min.  
Vel. del papel 1 pgda/min.

$\lambda$  máxima 253 nm  
 $\lambda$  mínima 292 nm

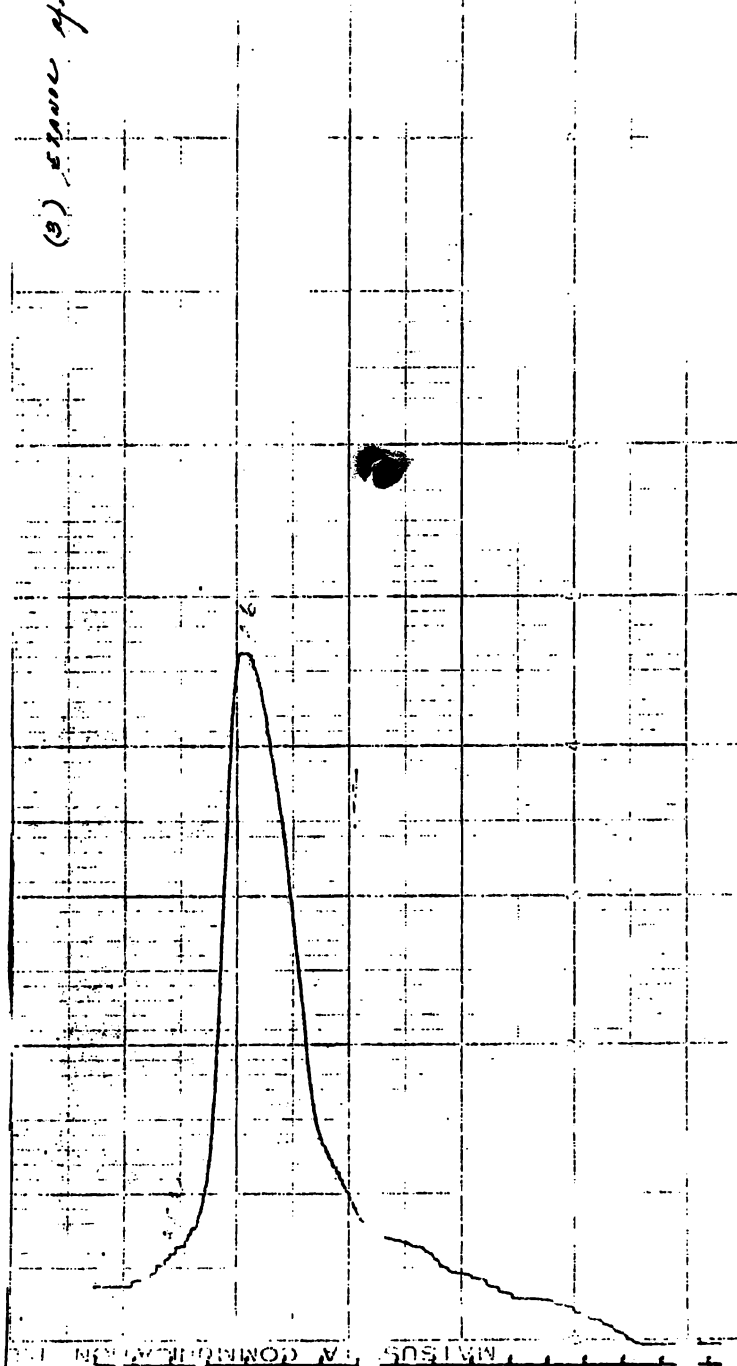
(2)  $\lambda_{max}$  pf: 0.50



Long. de onda 50 nm/min.  
Vel. del papel 1 paga/min.

T<sub>m</sub> máxima 263 nm  
T<sub>m</sub> mínima 252 nm

(3) *expon. g. 0.31*



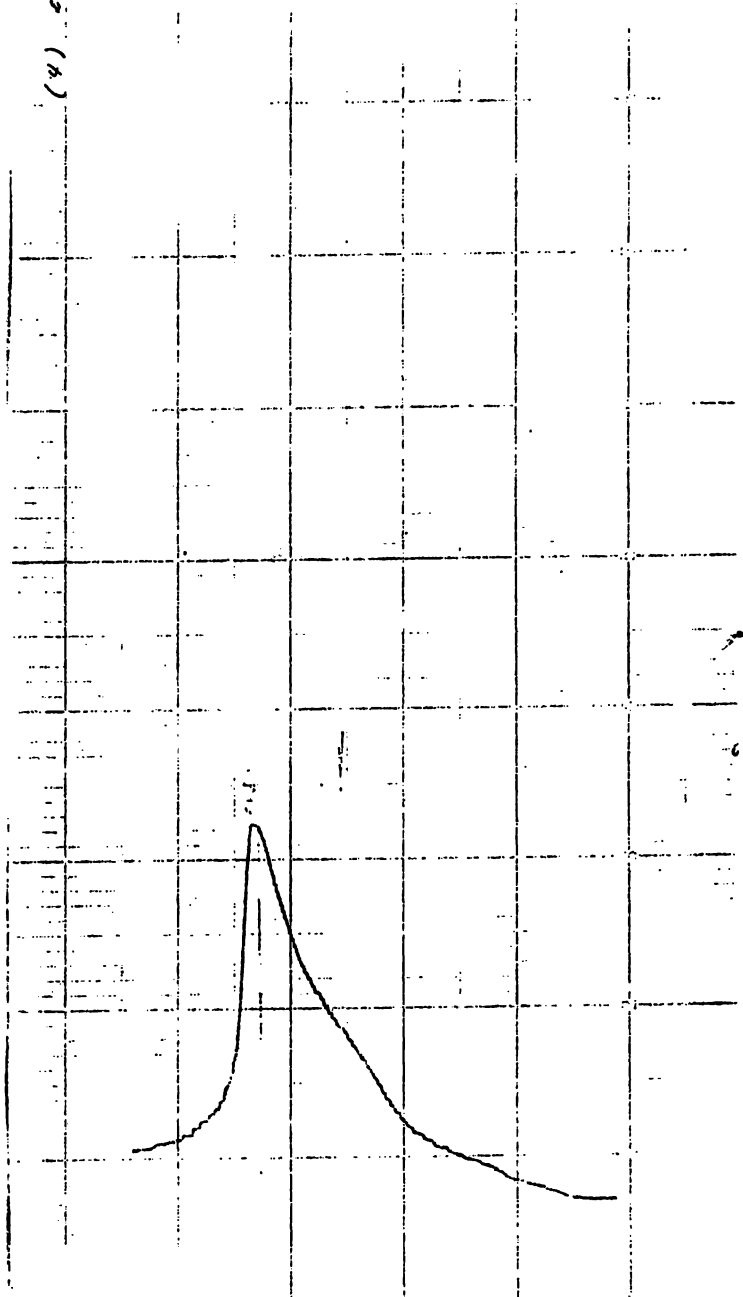
(4) corriente ej. 0.28

Long. de onda 50 nm/min.

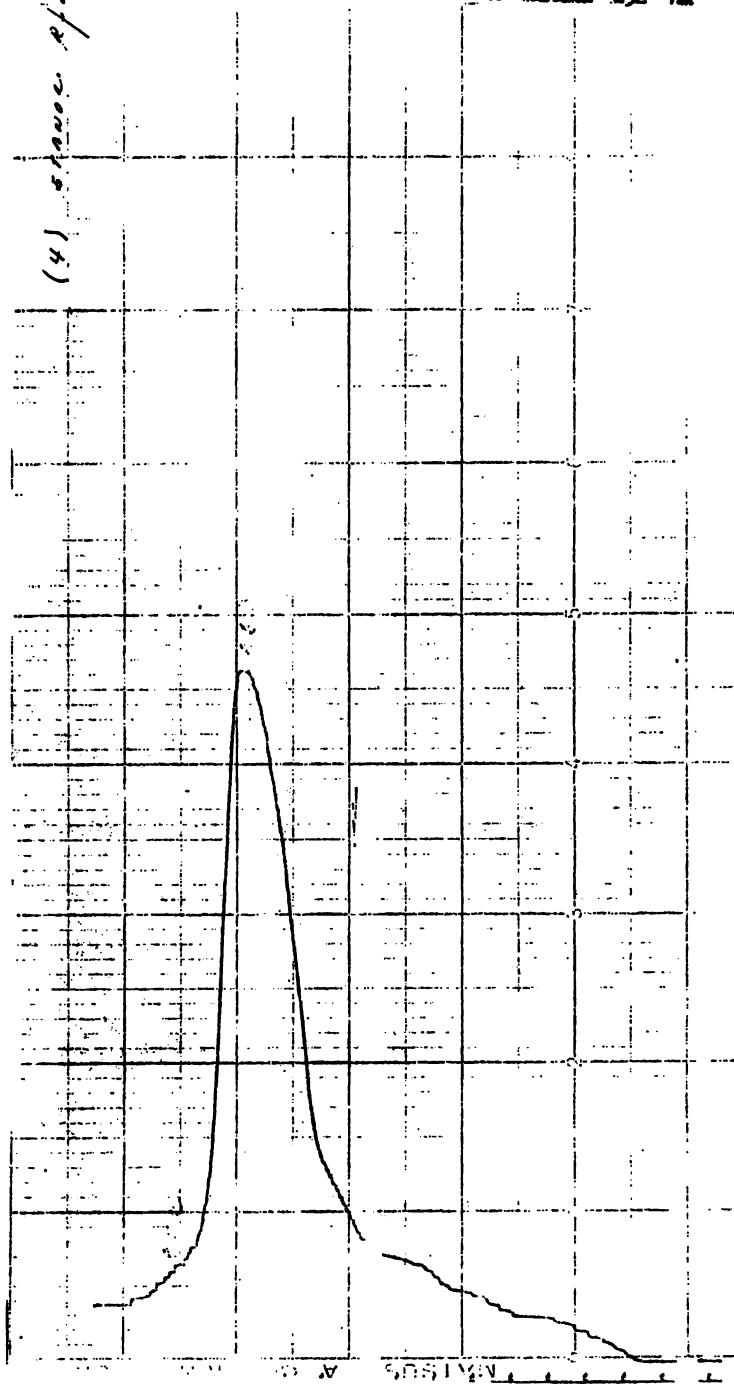
Vel. del papel 1 pgda/min

$\lambda_{\text{máxima}} = 263 \text{ nm}$

$\lambda_{\text{mínima}} = 256 \text{ nm}$

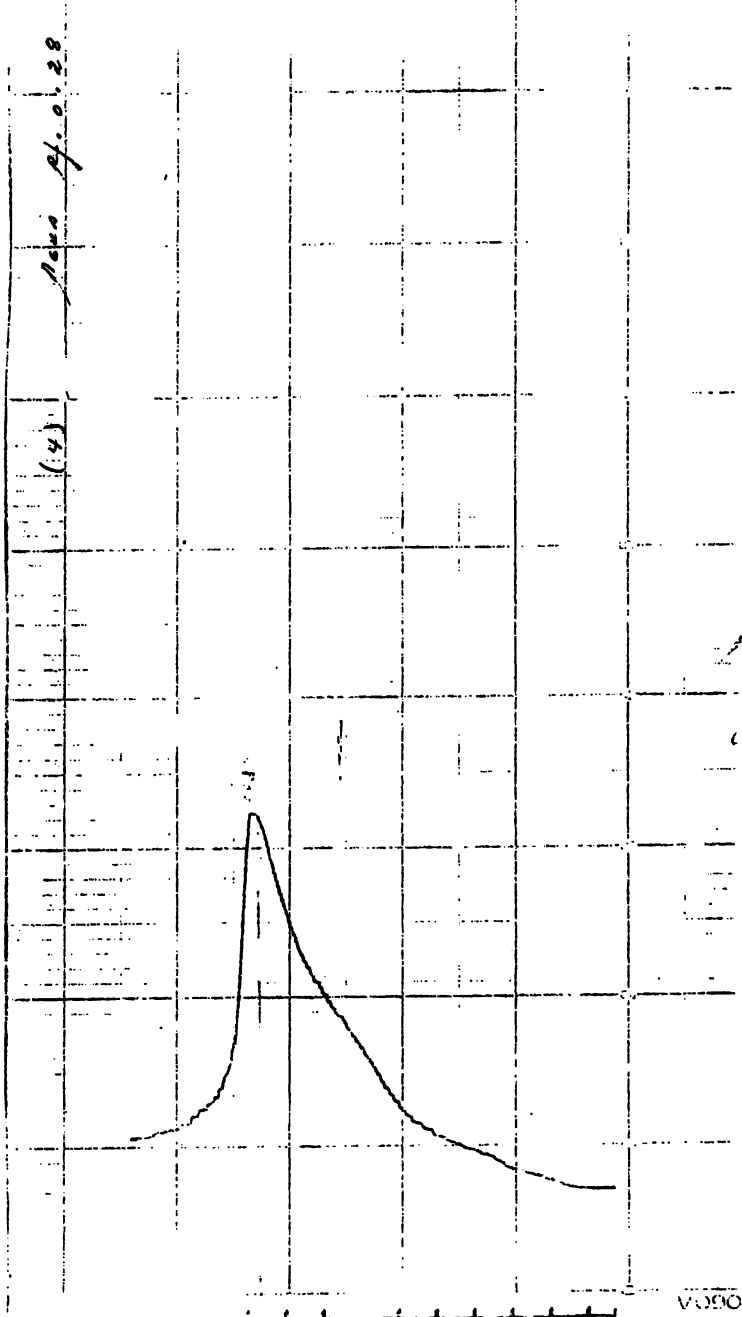


Long. de onda 50 nm /min.  
Vel. del papel 1 paga/min  
h máxima 263 nm  
h mínima 252 nm

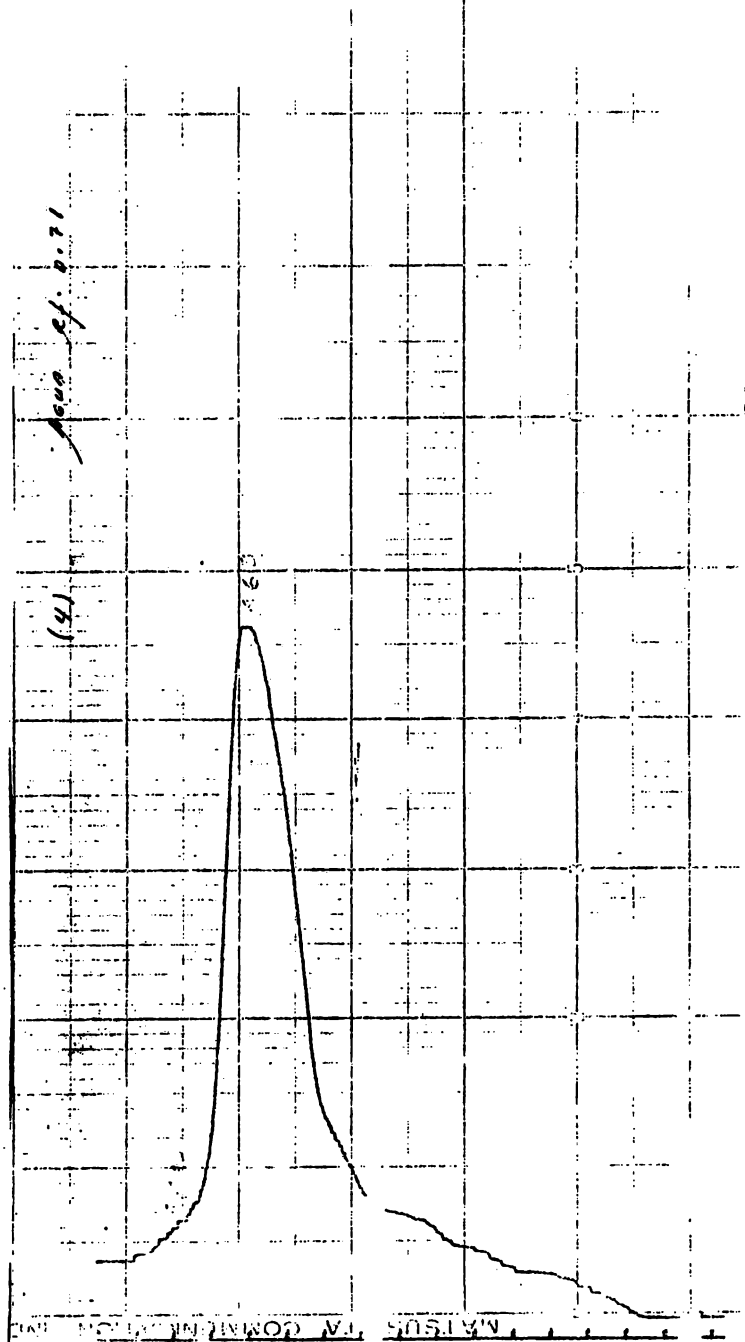


Long. de onda 50 nm/min.  
Vel. del papel 1 pgd/min.

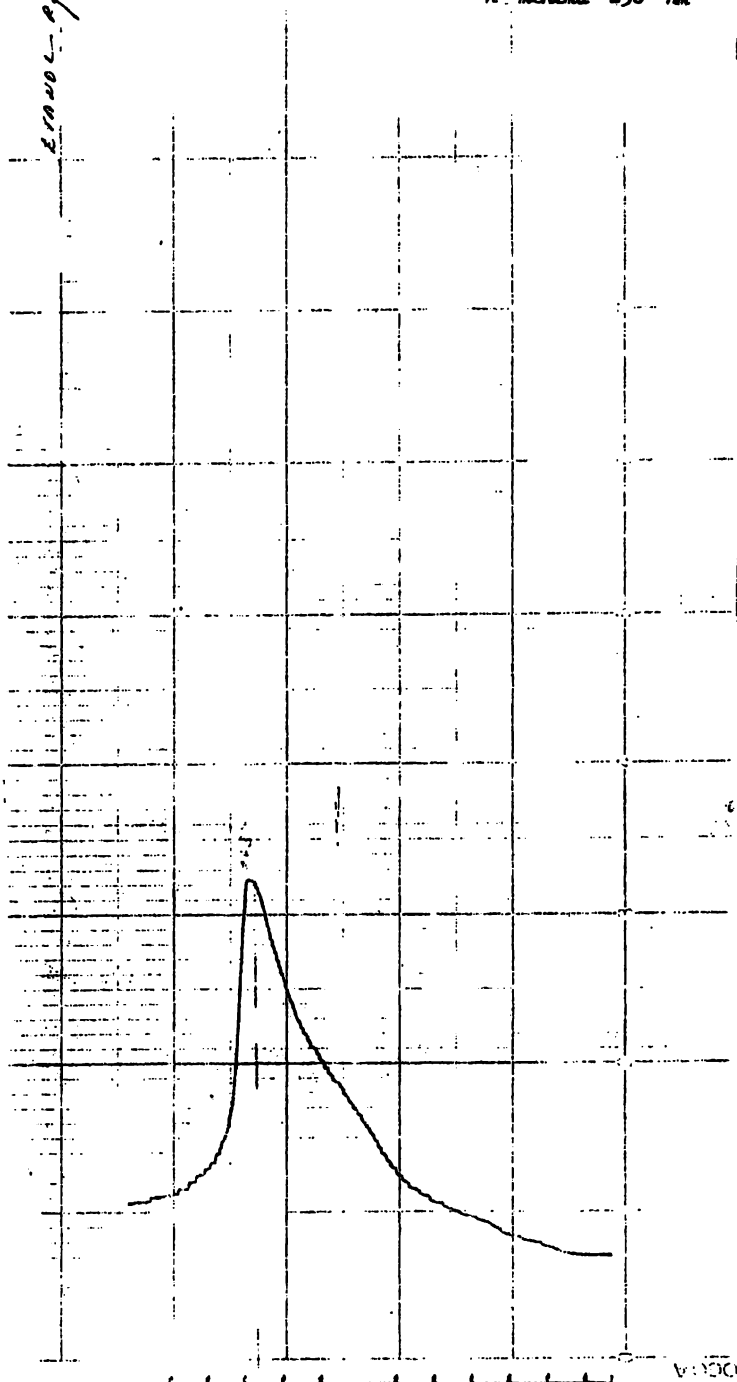
$\eta$  máxima 263 nm  
 $\eta$  mínima 256 nm

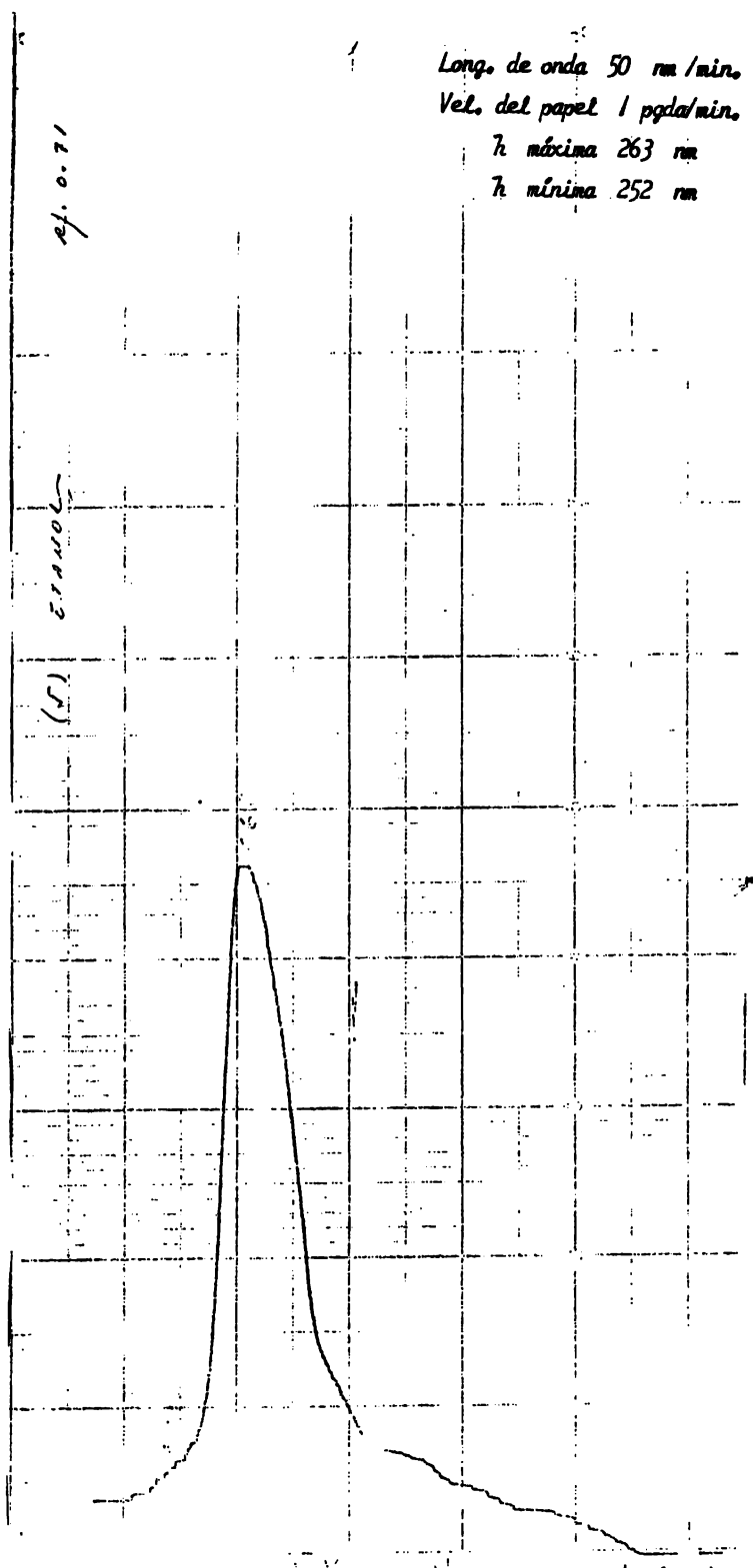


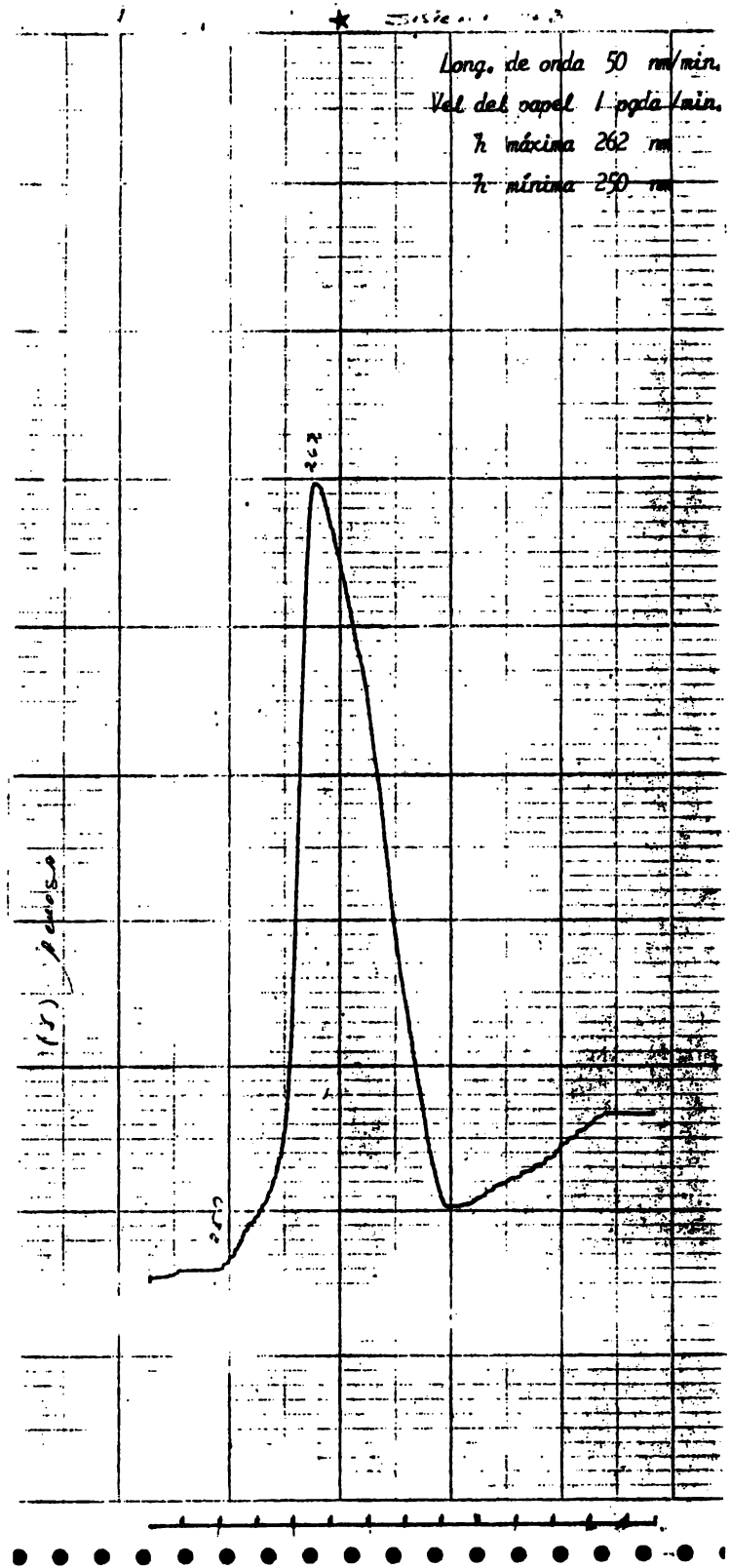
Long. de onda 50 nm/min.  
Vel. del papel 1 ppd/min.  
 $\lambda$  máxima 263 nm  
 $\lambda$  mínima 252 nm



Long. de onda 50 nm/min.  
Vel. del papel 1 pda/min.  
 $\lambda_{\text{máxima}} = 263 \text{ nm}$   
 $\lambda_{\text{mínima}} = 256 \text{ nm}$





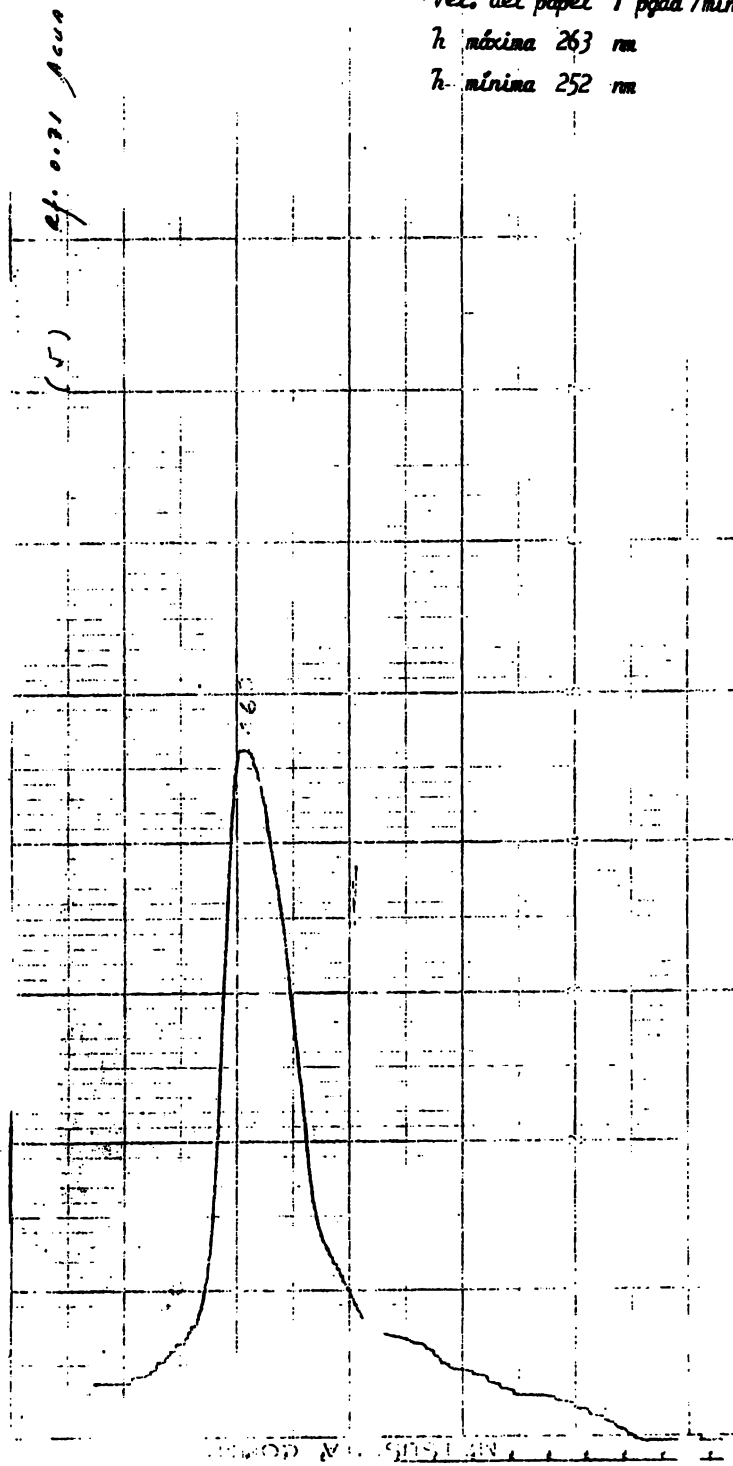


Long. de onda 50 nm /min.

Vel. del papel 1 pgsa/min.

h máxima 263 nm

h mínima 252 nm

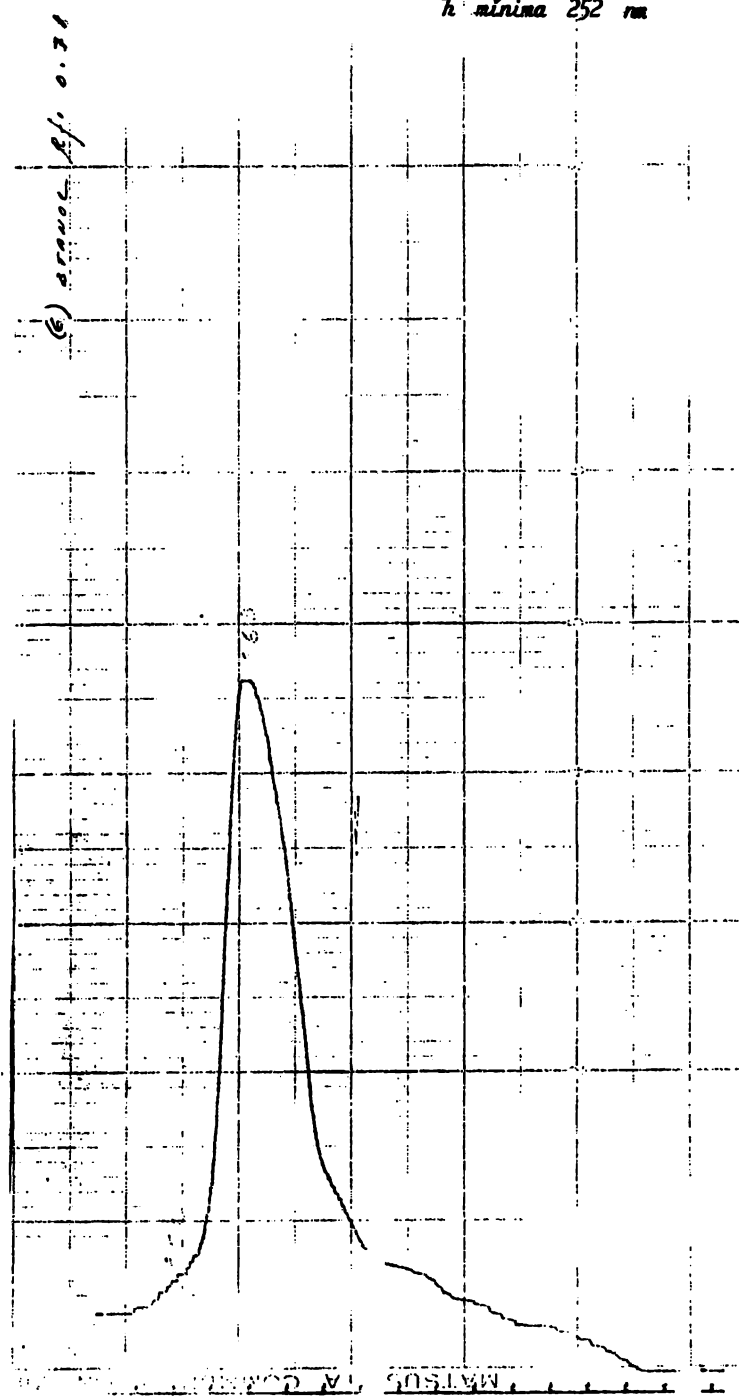


Long. de onda 50 nm/min.

Vel. del papel 1 pgd/min.

h máxima 263 nm

h mínima 252 nm



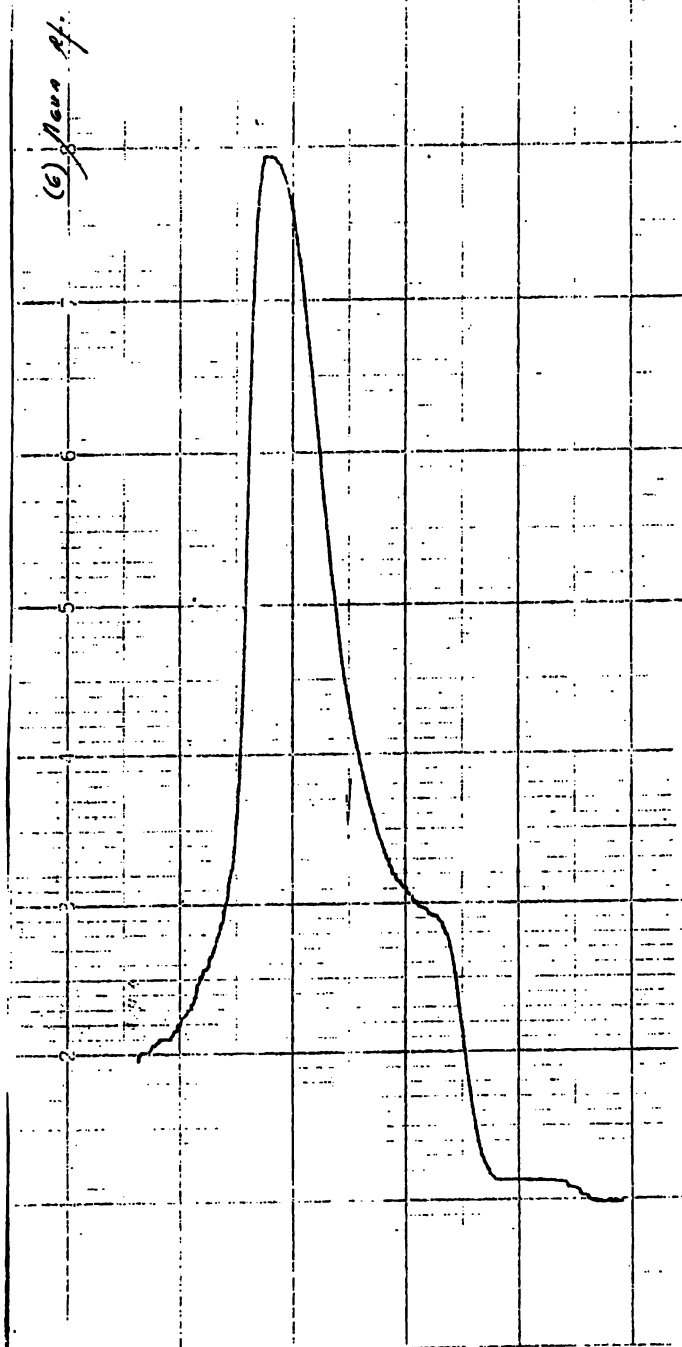
Long. de onda 50 nm/min

Vel. del papel 1 pgda/min

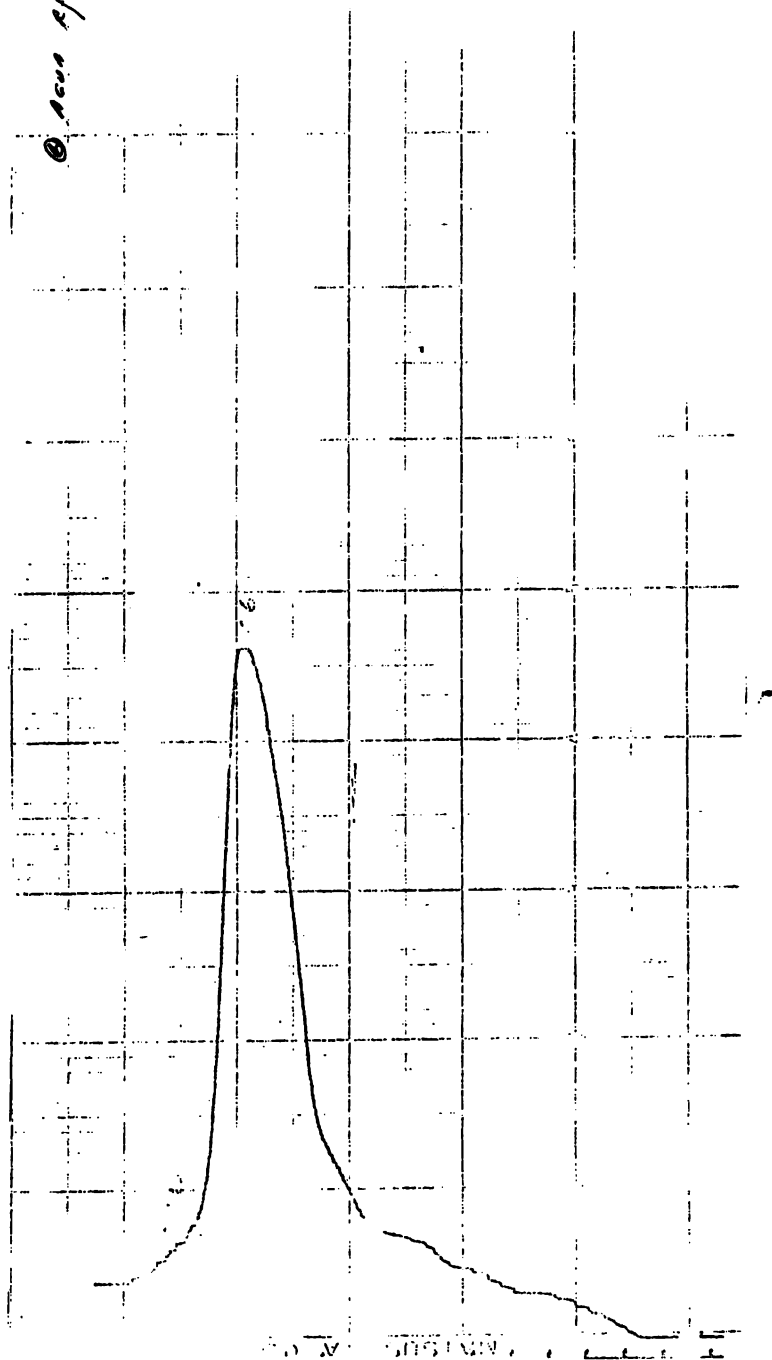
z máxima 258 nm

z mínima 240 nm

(c)  $\eta_{av} \text{ pf. } 0.50$



Long. de onda 50 nm/min.  
Vel. del papel 1 pgd/min.  
h máxima 263 nm  
h mínima 252 nm

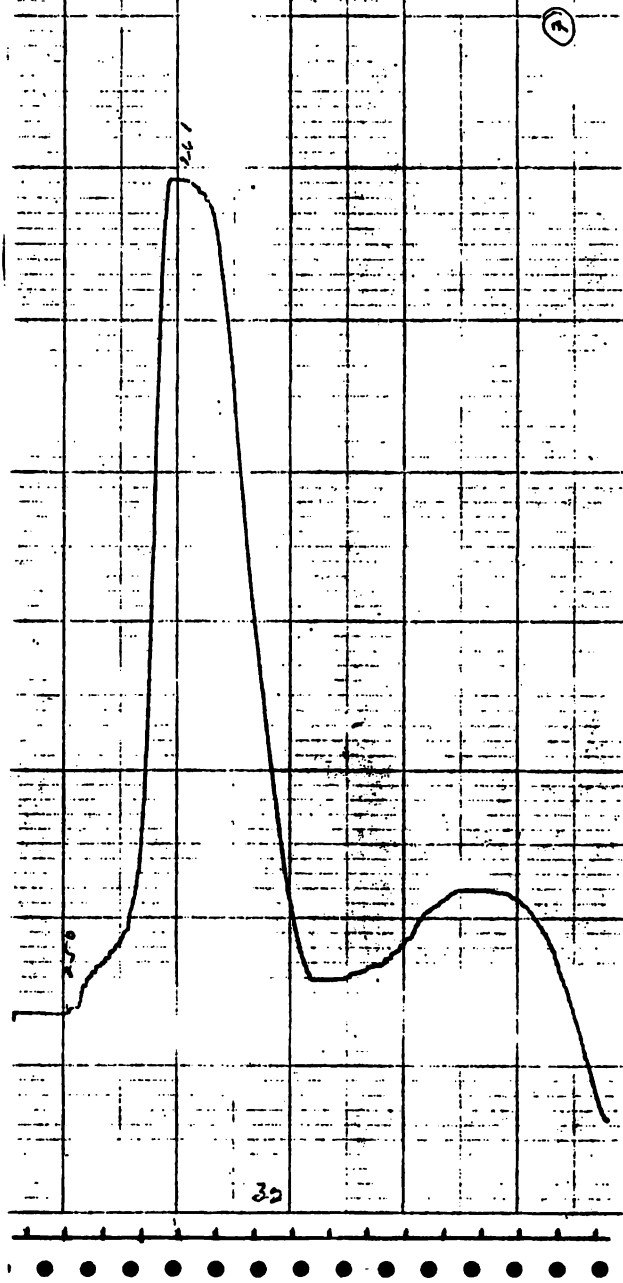


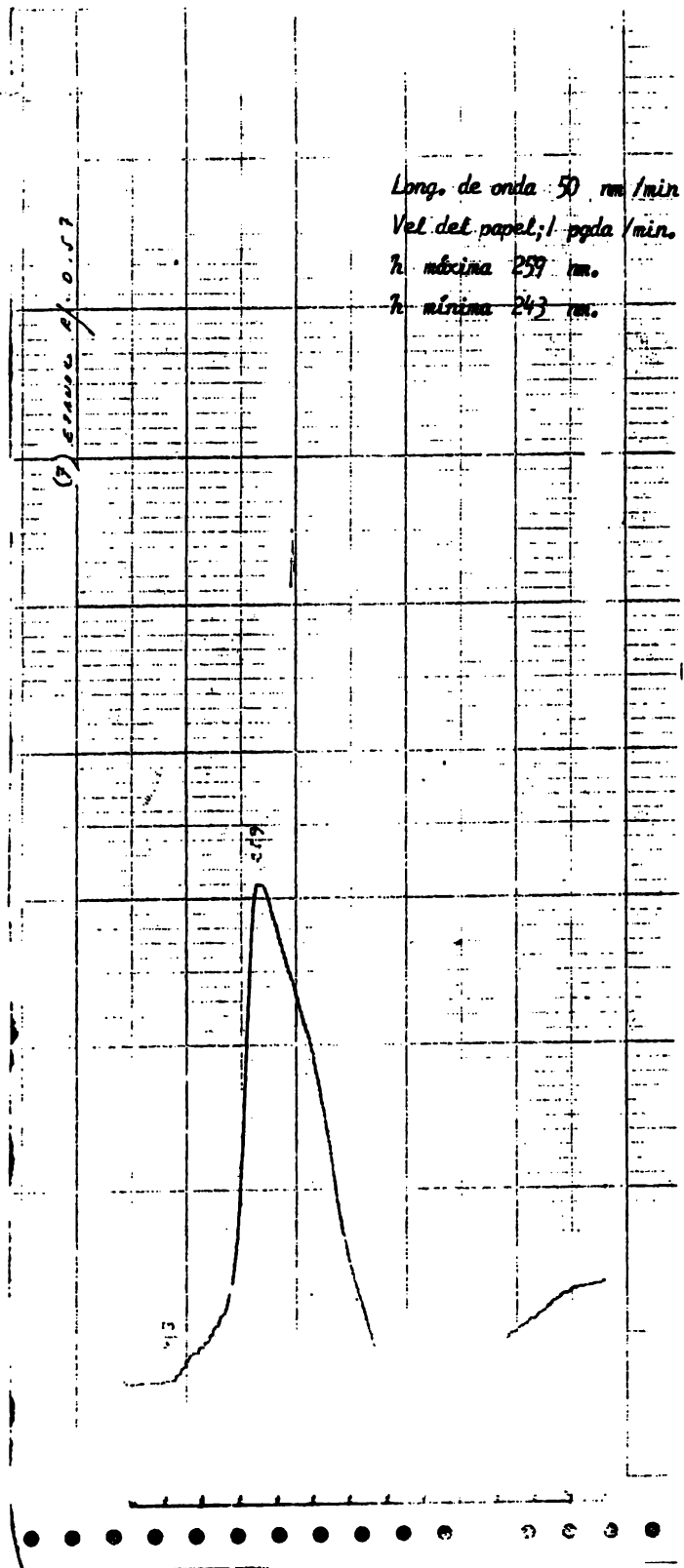
Long. de onda 50 nm/min.

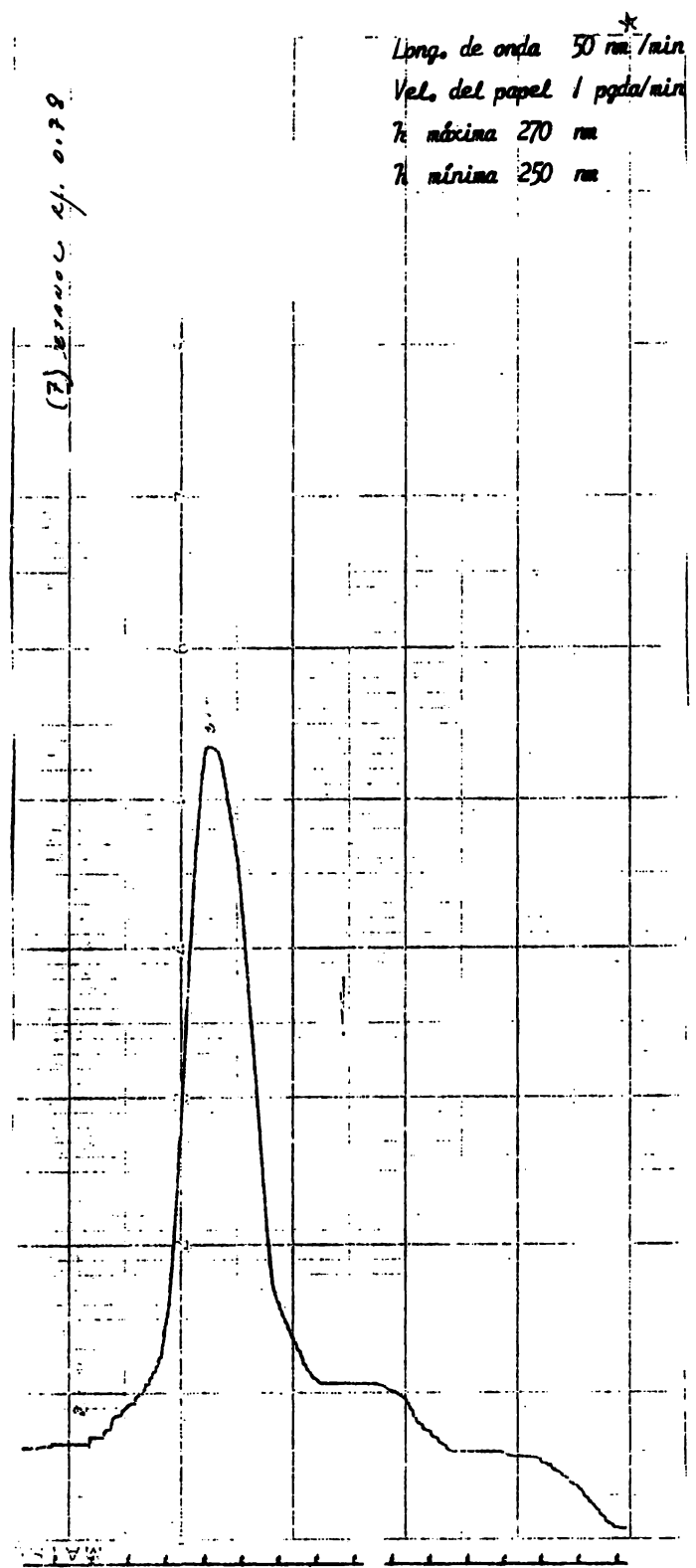
Vel. del papel 1 pgda/min.

h máxima 261 nm

h mínima 250 nm







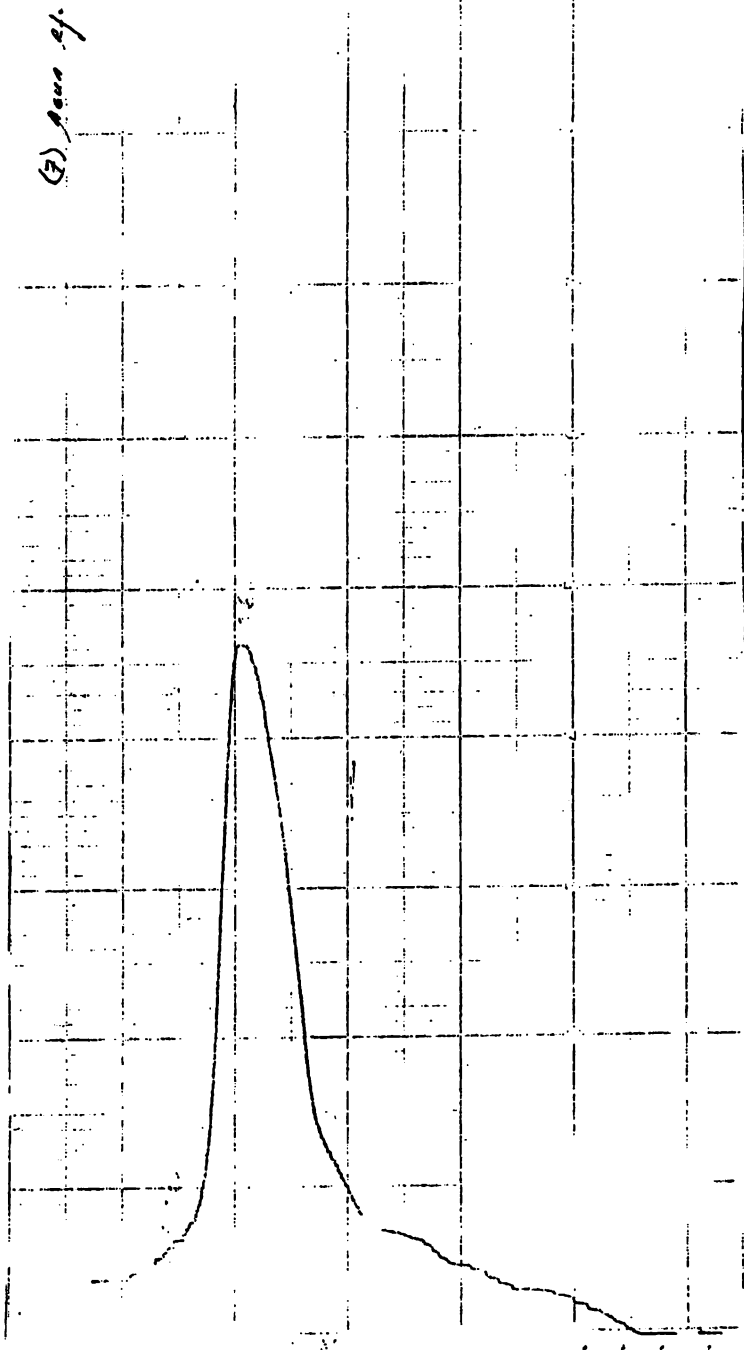
Long. de onda 50 nm/min.

Vel. del papel 1 pgds/min.

$\lambda$  máxima 263 nm

$\lambda$  mínima 252 nm

(3)  $\rho_{\text{dens}}$  sf. 0.20

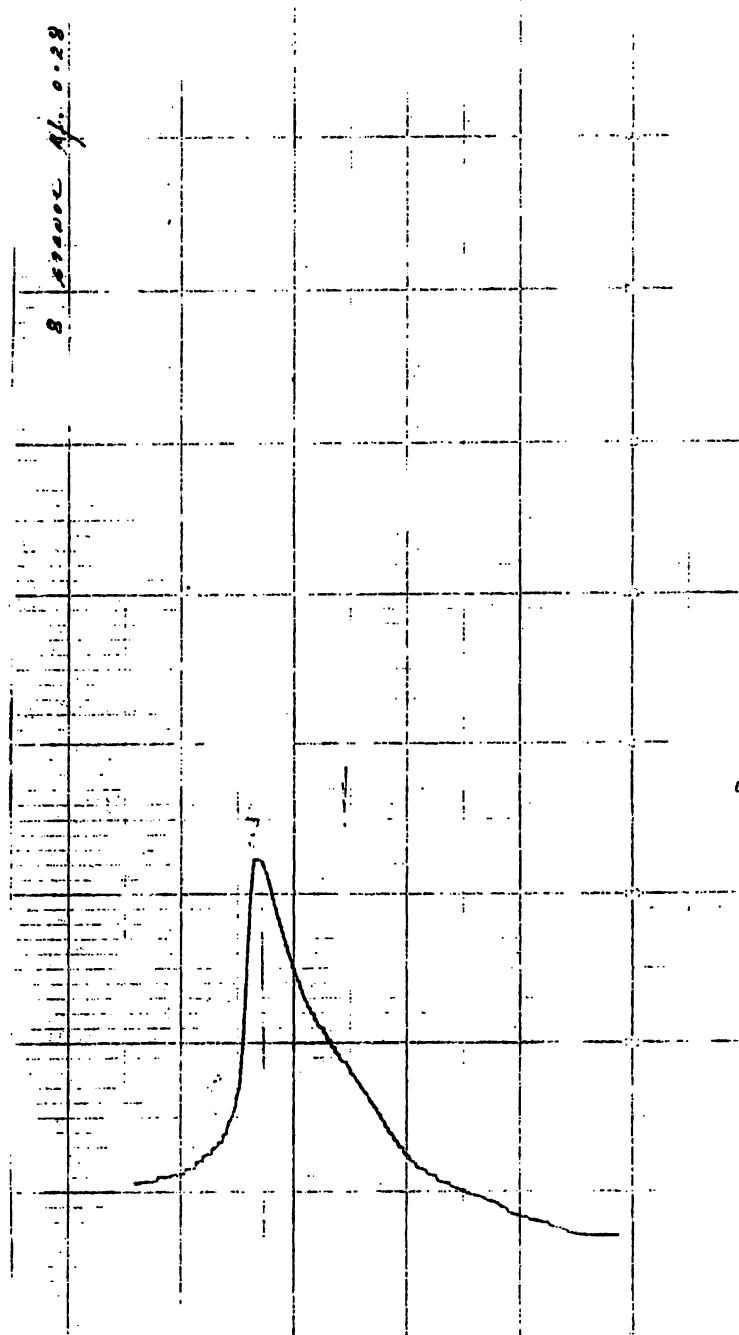


Long. de onda 50 nm/min.

Vel. del papel 1 pgd/min.

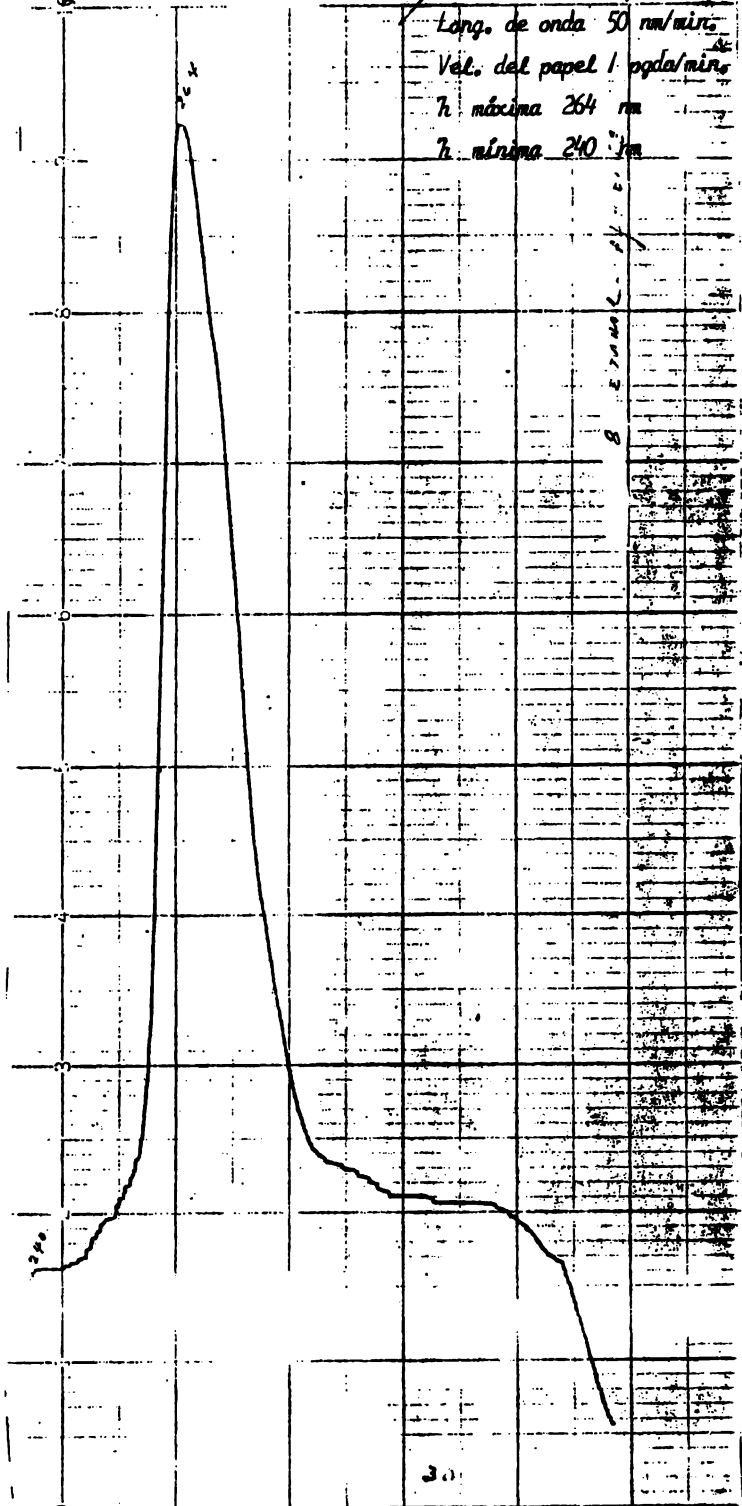
t. máxima 263 nm

t. mínima 256 nm



ESTEZA N° 3

Long. de onda 50 nm/mino  
Vel. del papel 1 pgda/mino  
T<sub>m</sub> máxima 264 °m  
T<sub>m</sub> mínima 240 °m



MUNICACION INDUSTRIAL CO. LTD. V.G.U.L.O.A.

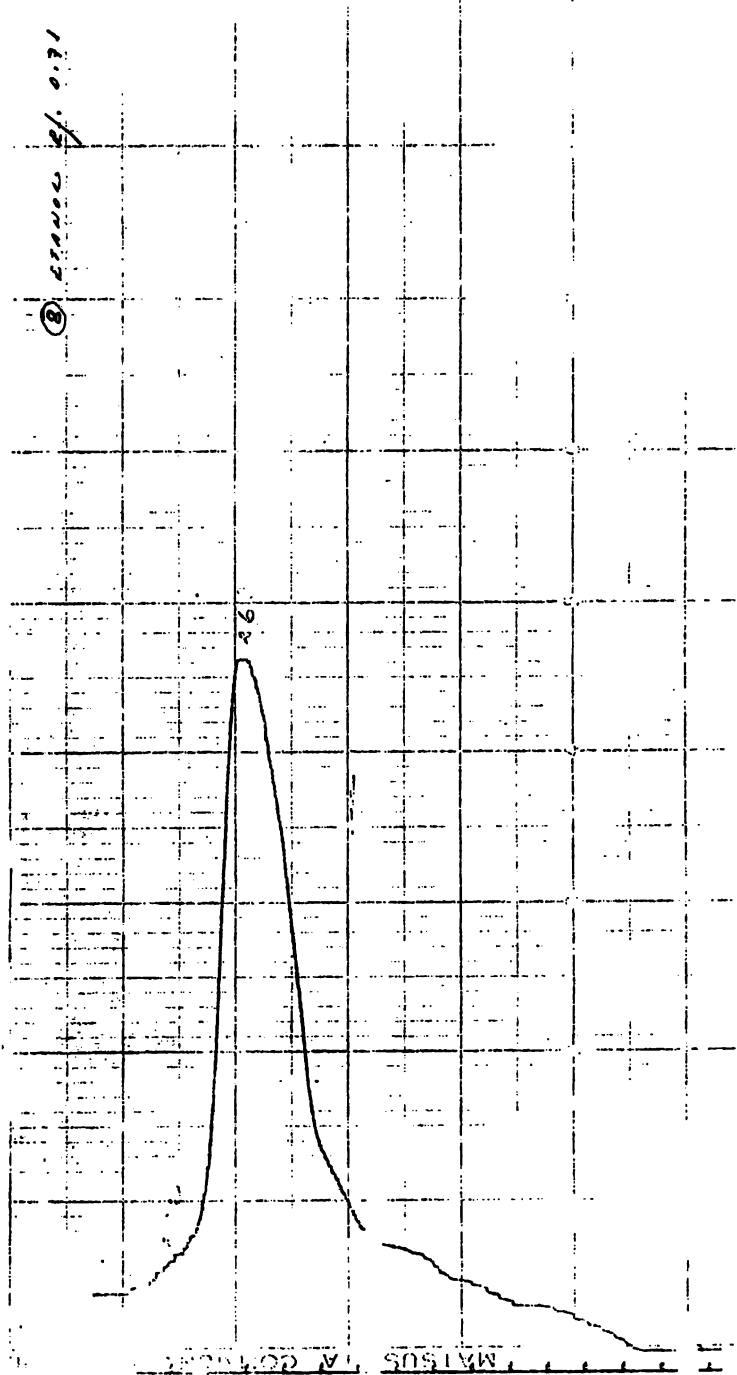
• • • • • • • • • • • • • • •

Long. de onda 50 nm/min.

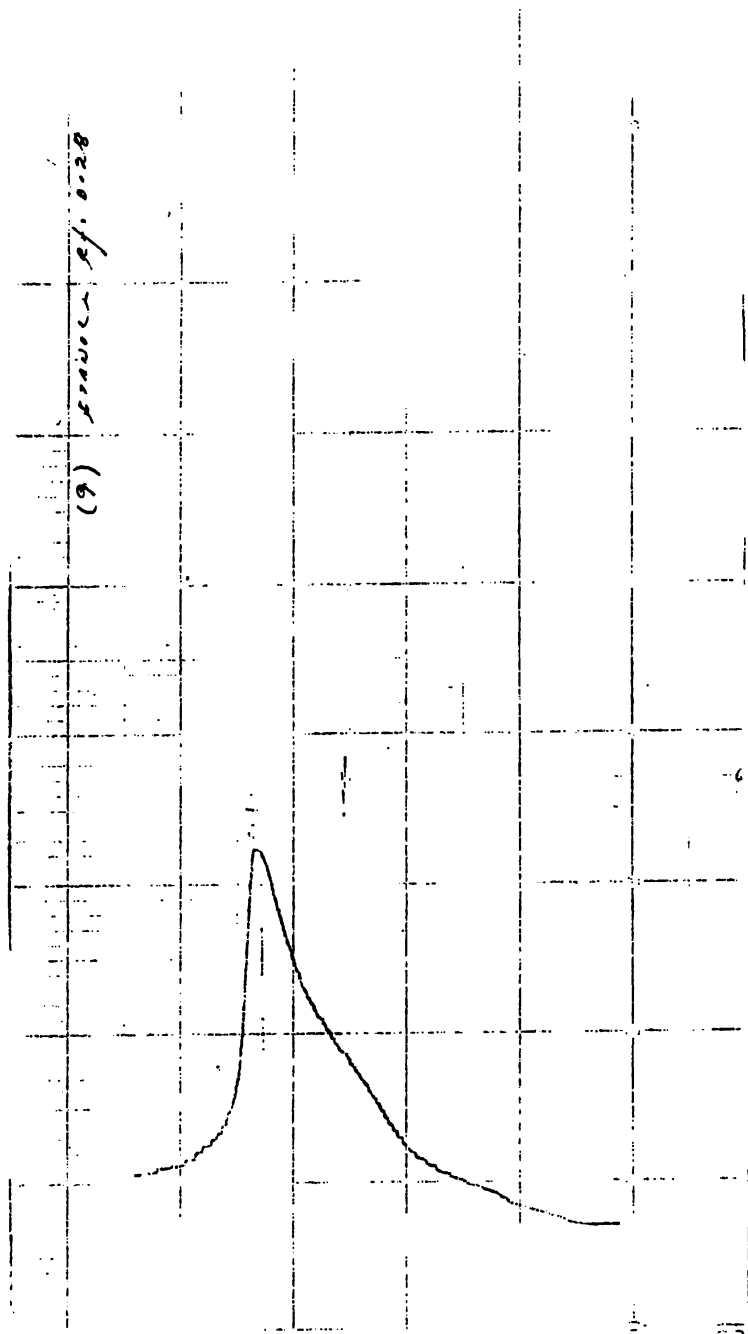
Vel. del papel / pgda/min.

*H* máxima 263 m.

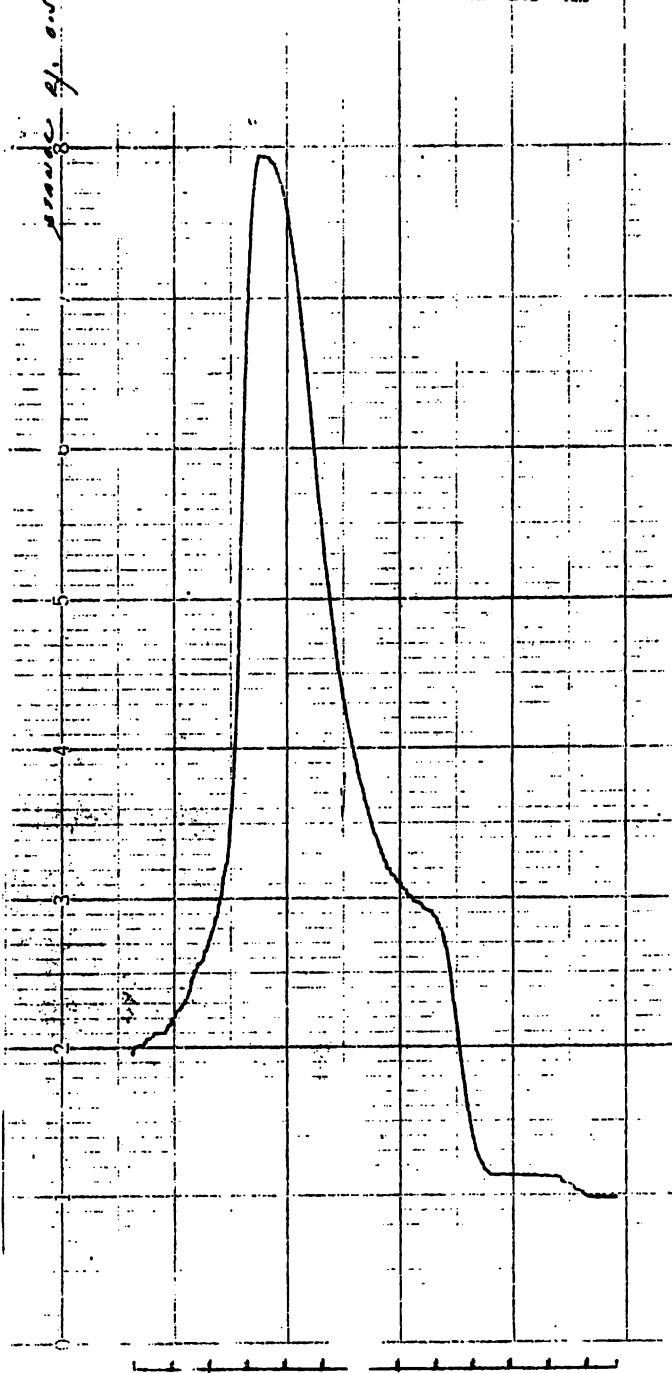
$\lambda_{minima}$  252 nm



Long. de onda 50 nm/min.  
Vel. del papel 1 pgda/min.  
 $\lambda$  máxima 263 nm  
 $\lambda$  mínima 256 nm

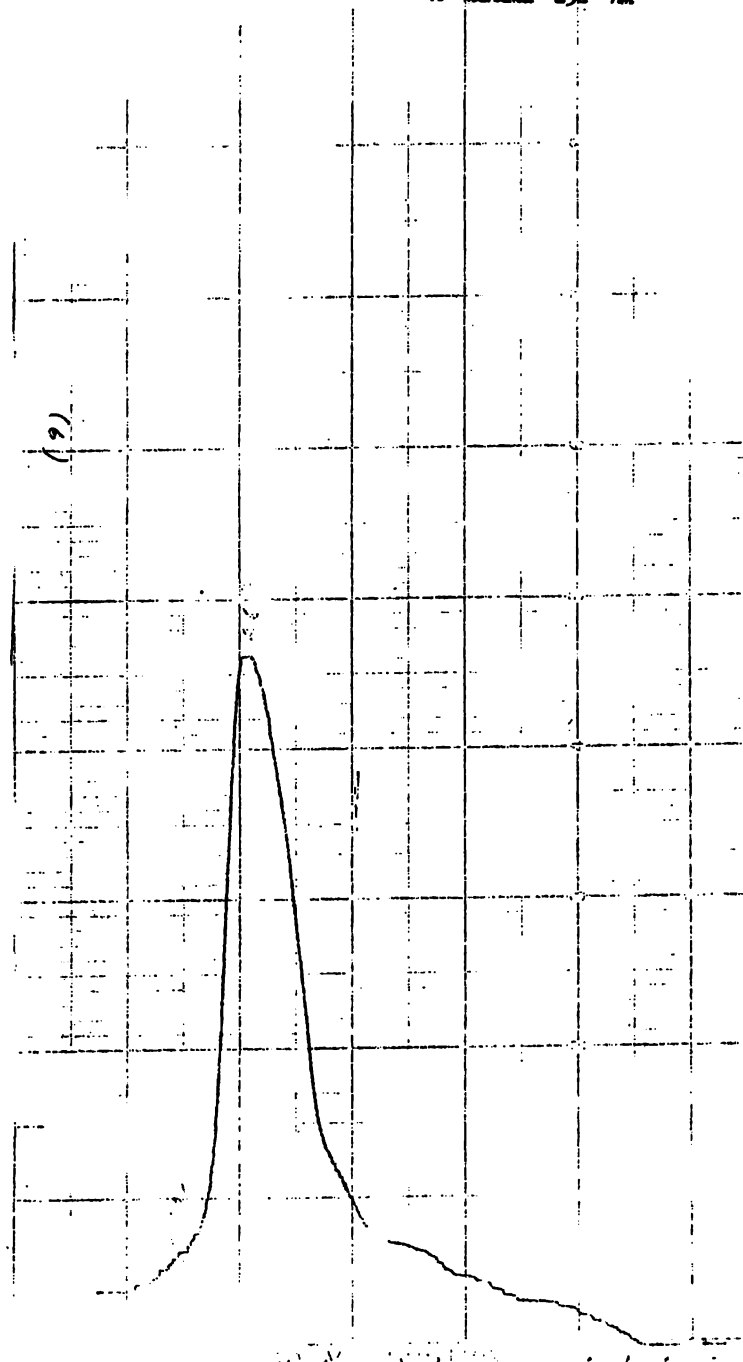


Long. de onda 50 nm/min.  
Vel. del papel 1 pgd/min.  
 $h_{\text{máxima}} 258 \text{ nm}$   
 $h_{\text{mínima}} 240 \text{ nm}$



ef. 071

7  
Long. de onda 50 nm/min.  
Vel. del papel 1 pgd/min.  
 $\lambda_{\text{máxima}} 263 \text{ nm}$   
 $\lambda_{\text{mínima}} 252 \text{ nm}$

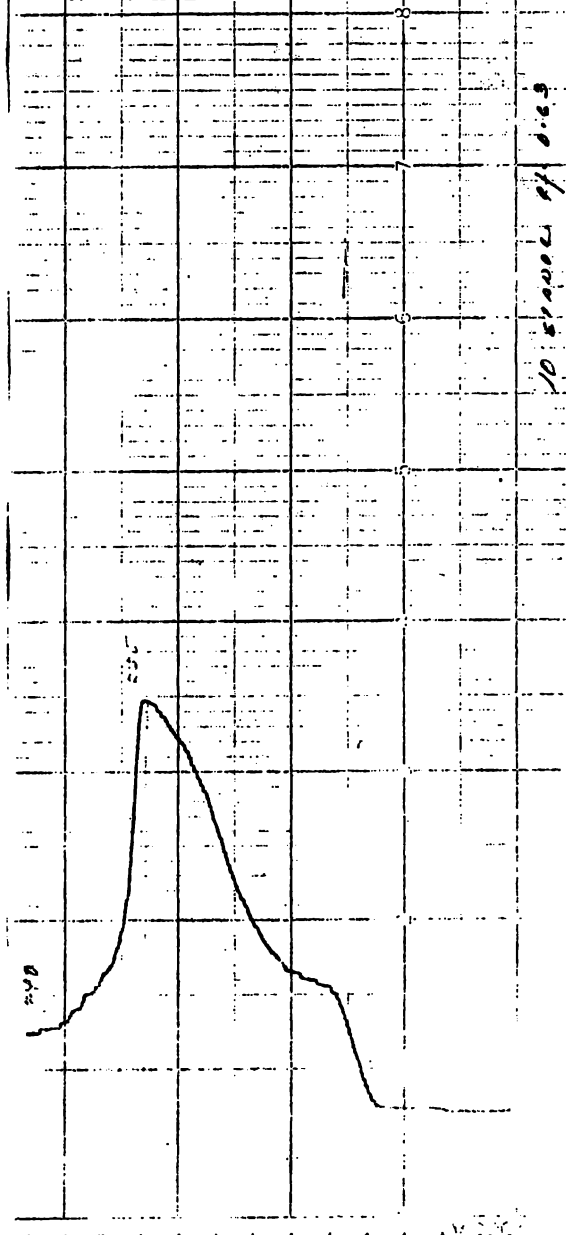


Long. de onda 50 nm/min.

Vela del papel 1 pgda/min

T máxima 255 nm

T mínima 240

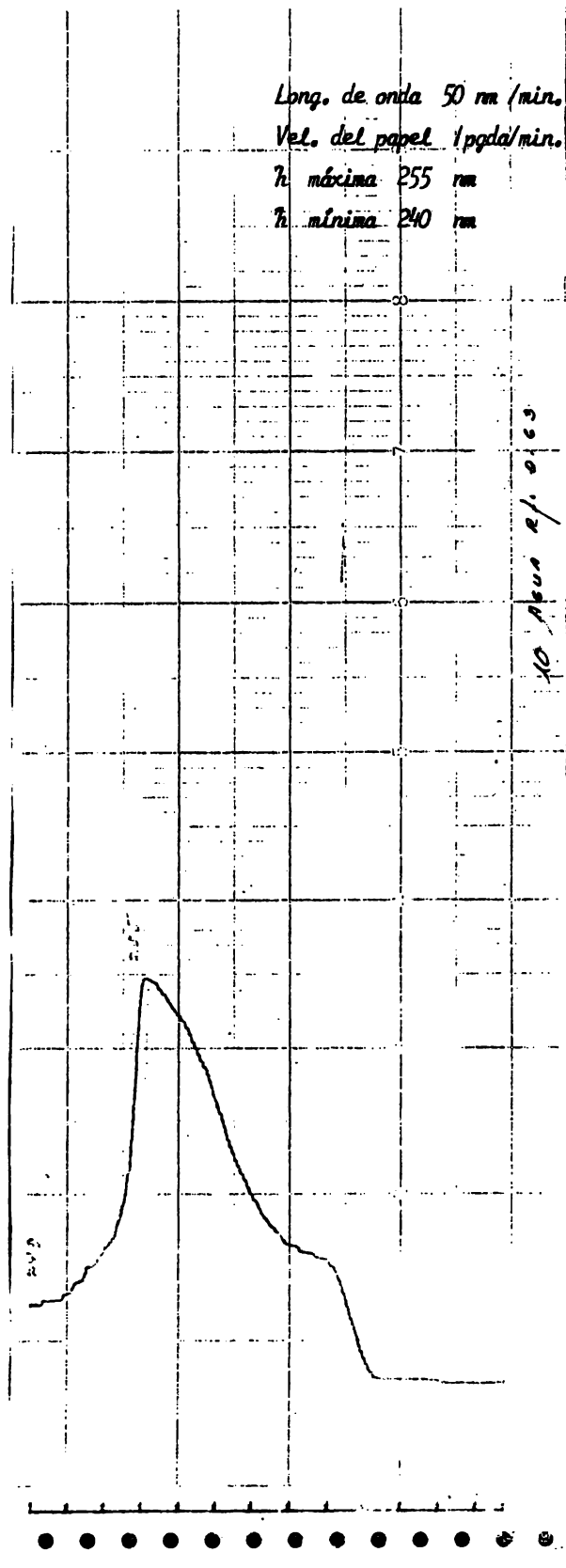


• • • • • • • • • •

Long. de onda 50 nm/min.  
Vel. del papel 1 pgda/min.

h máxima 255 nm  
h mínima 240 nm

100 picos ref. 0.000



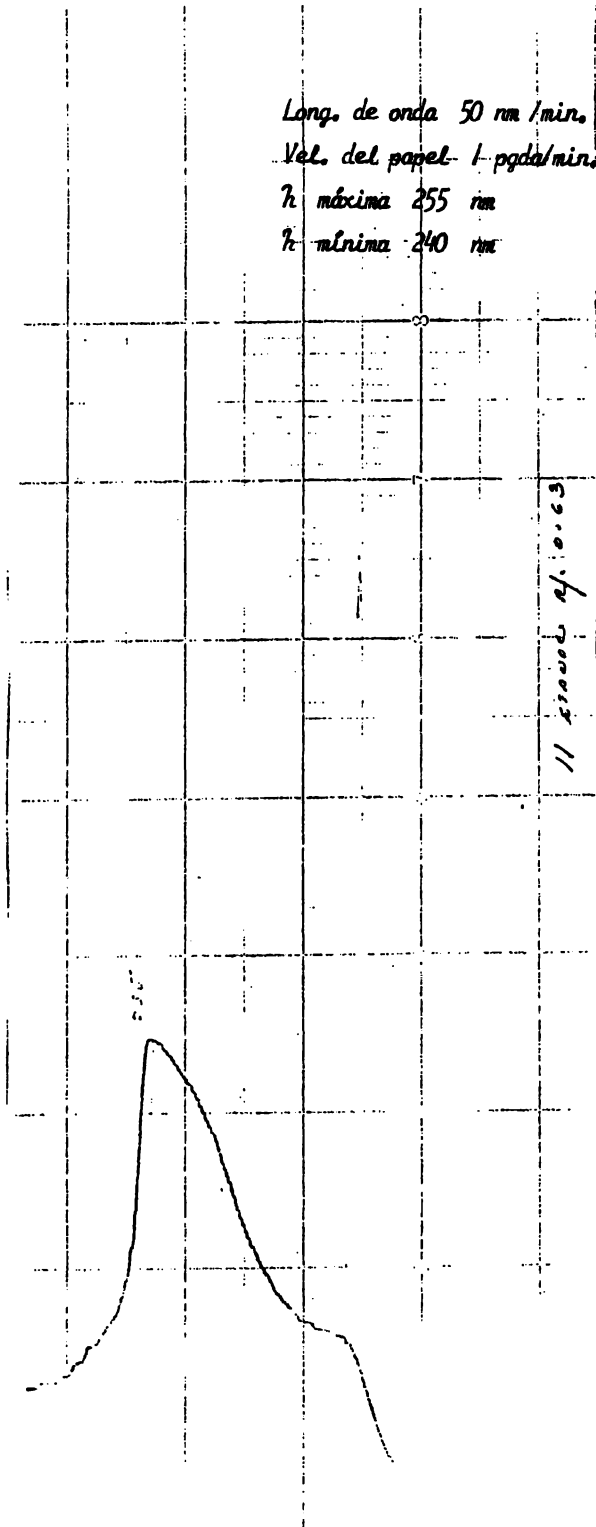
Long. de onda 50 nm /min.

Vel. del papel 1 pgd/min.

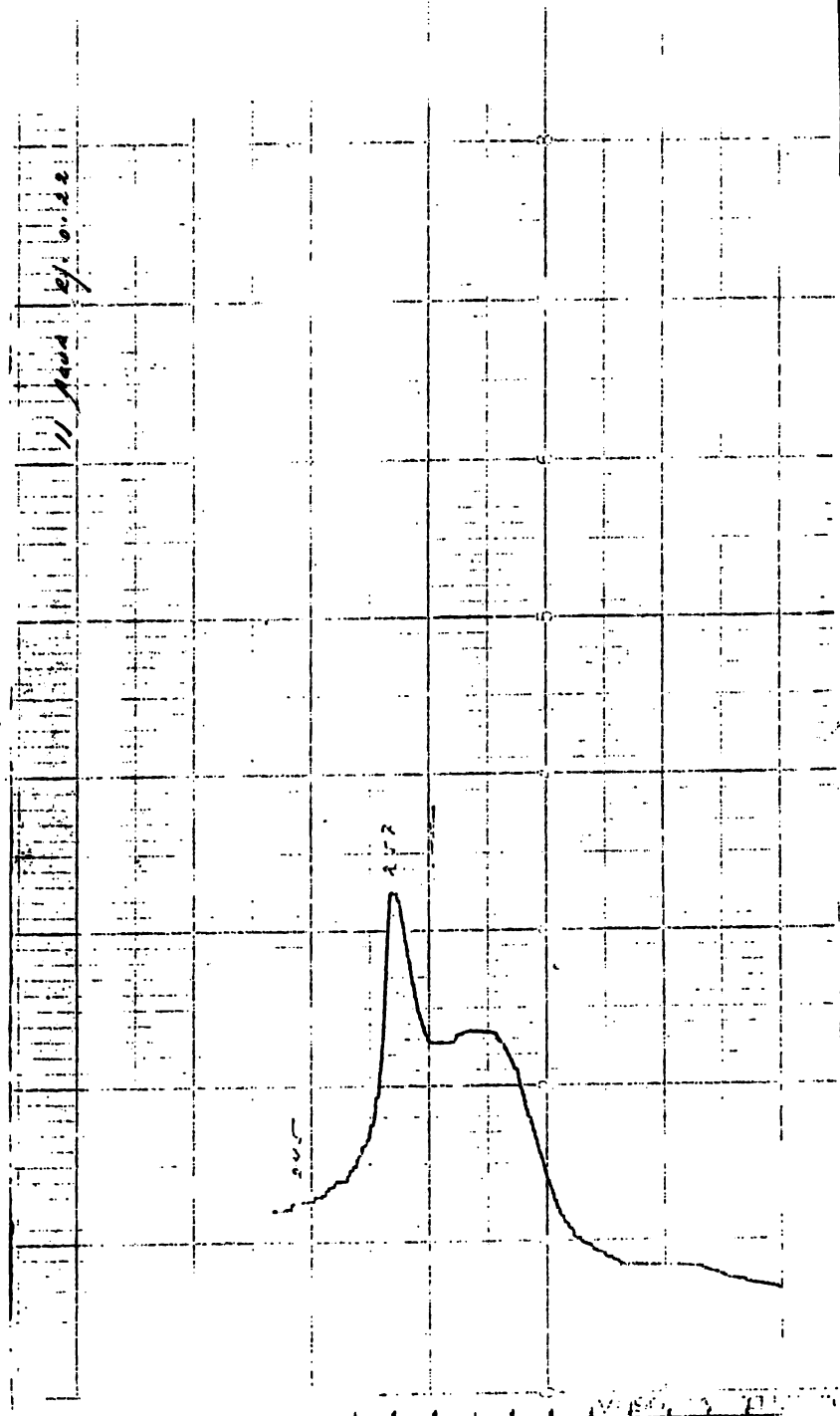
t<sub>máxima</sub> 255 nm

t<sub>mínima</sub> 240 nm

11-23000-91-0-63



Long. de onda 50 nm/min.  
Vel. del papel 1 pgda/min.  
h máxima 257 nm  
h mínima 245 nm



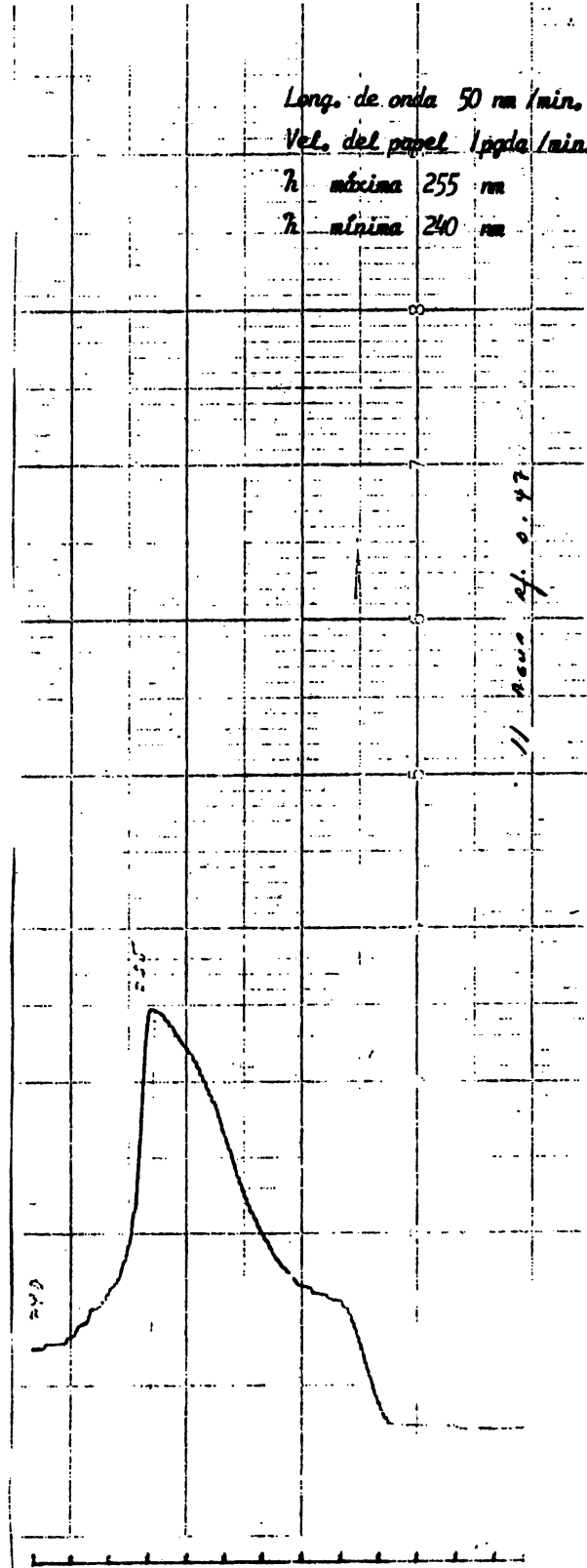
Long. de onda 50 nm/min.

Vel. del papel 1 ppda/min.

$\lambda_{\text{máxima}}$  255 nm

$\lambda_{\text{mínima}}$  240 nm

11 nov 81-47



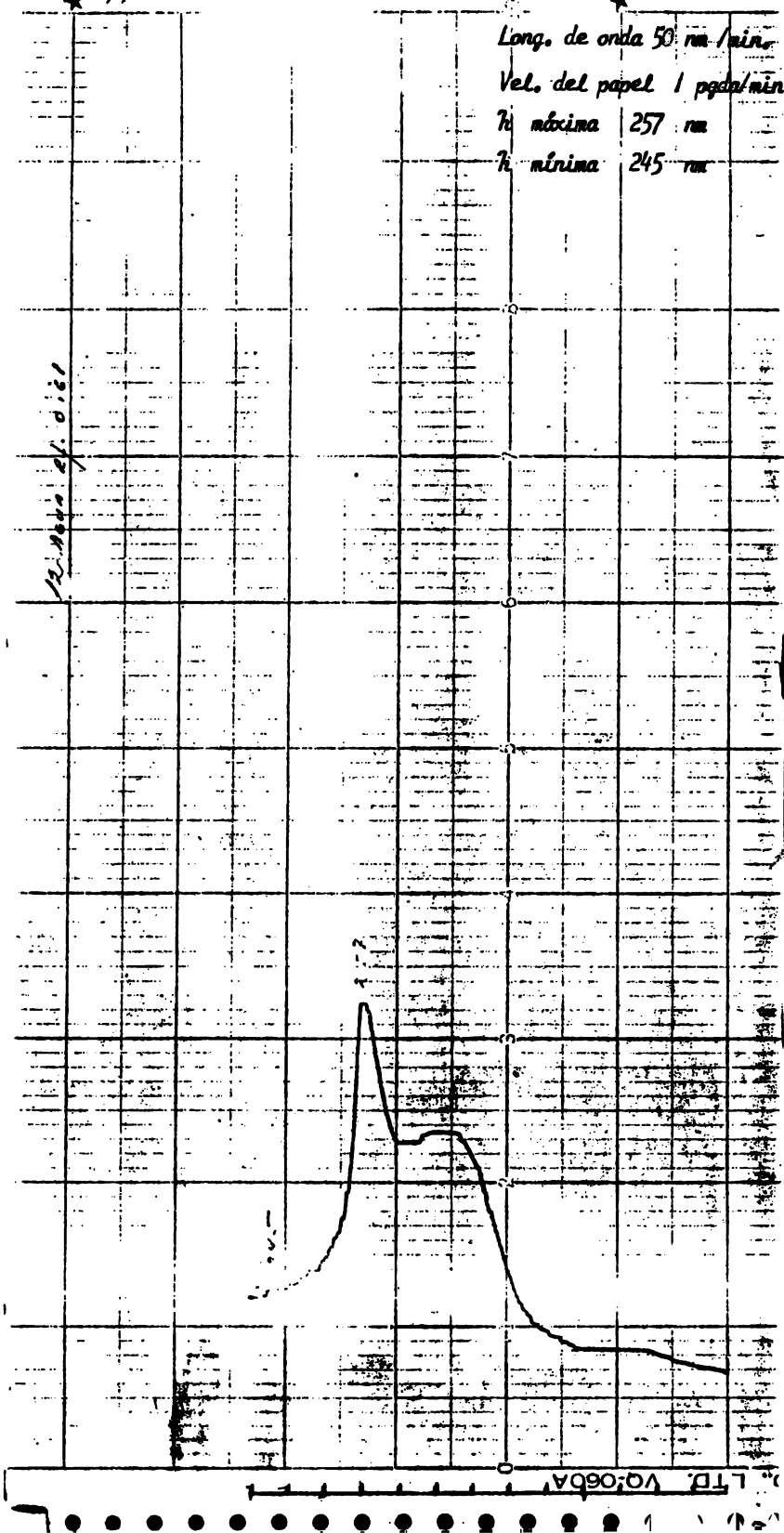
\* 11.

Long. de onda 50 nm/min

Vel. del papel 1 pgas/min

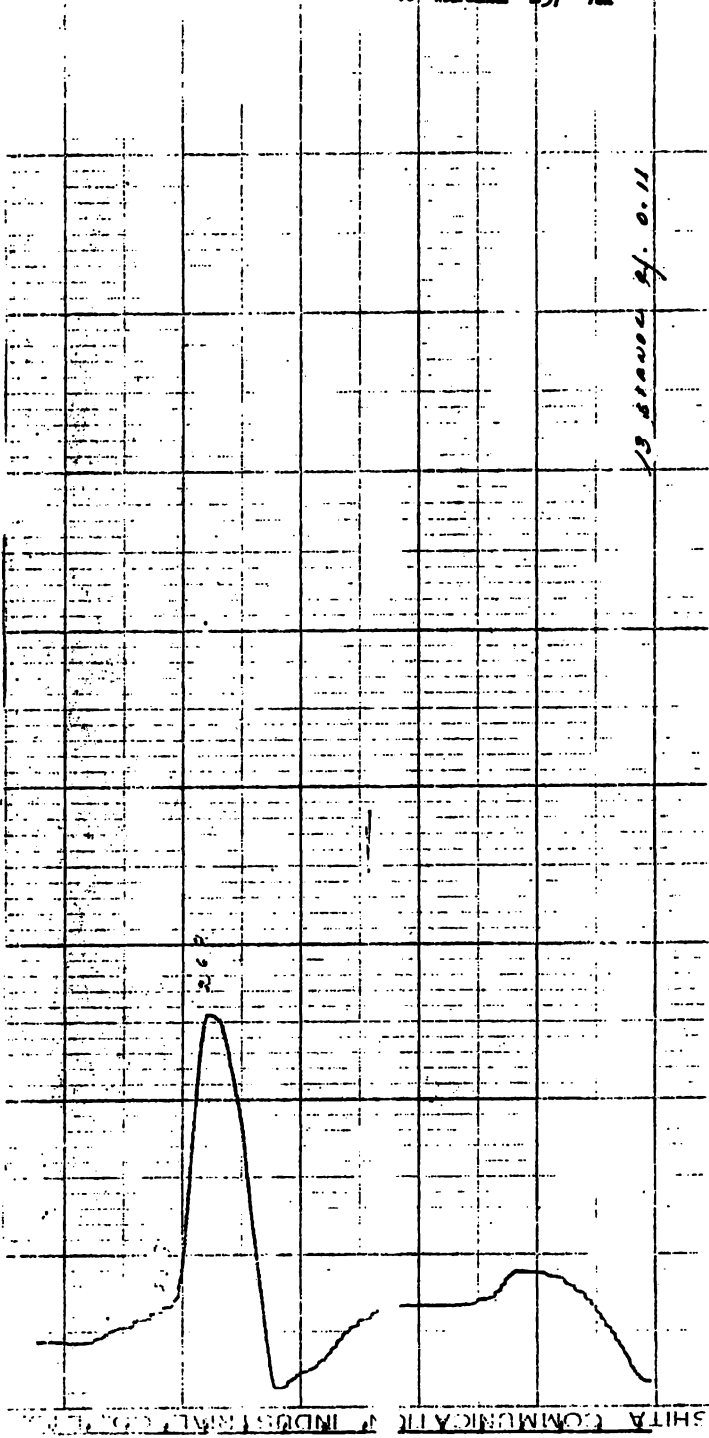
H máxima 257 nm

H mínima 245 nm



\*  
Long. de onda 50 nm/min.  
Vel. del papel 1 pgda./min.  
 $\lambda_{\text{máxima}} = 262 \text{ nm}$   
 $\lambda_{\text{mínima}} = 257 \text{ nm}$

20 de Mayo 0.11



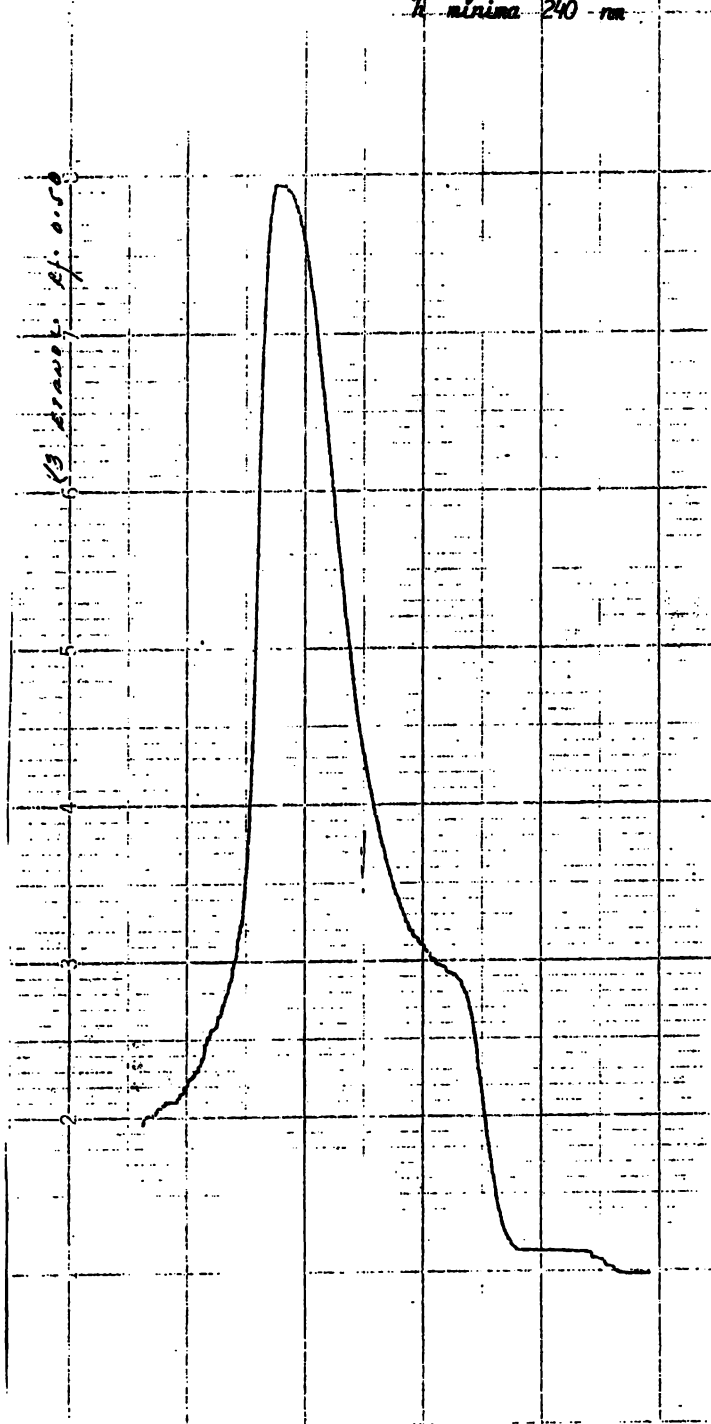
SHTA COMUNICATI INDUSTRIAL CO., LTD.

Long. de onda 50 nm/min.

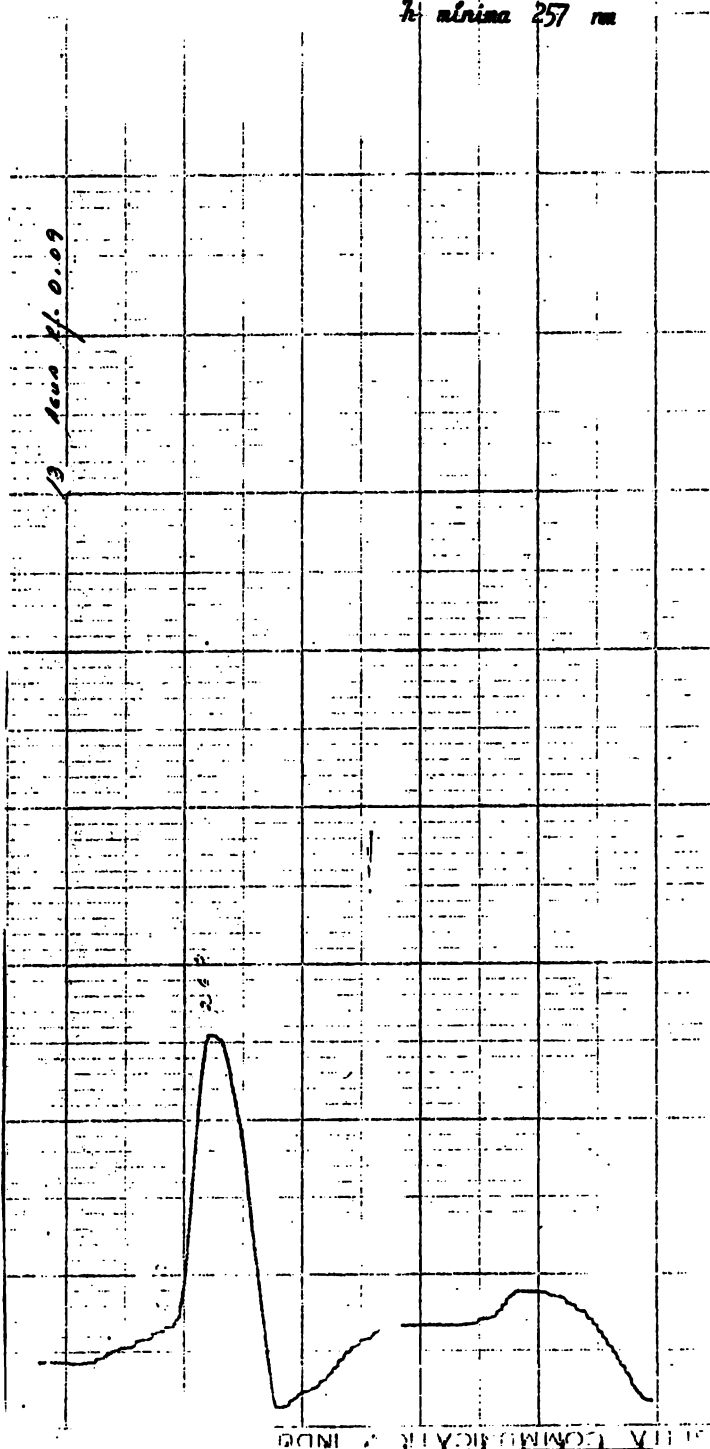
Vel. del papel 1 pppd/min.

$\lambda$  máxima 258 nm

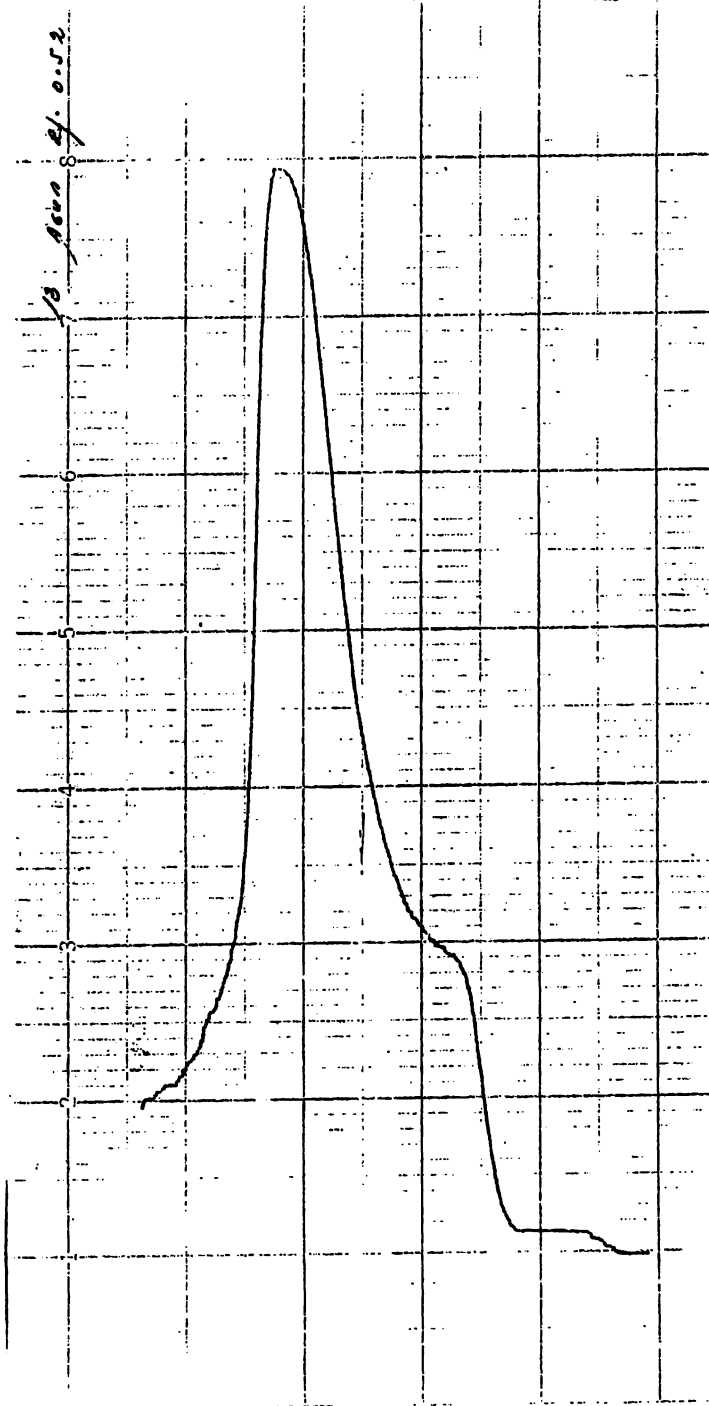
$\lambda$  mínima 240 nm



\*  
Long. de onda 50 nm/min.  
Vel. del papel 1 pgd/min.  
h máxima 262 nm  
h mínima 257 nm



Long. de onda 50 nm/min.  
Vel. del papel 1 pgda/min  
T<sub>m</sub> máxima 258 nm  
T<sub>m</sub> mínima 240 nm



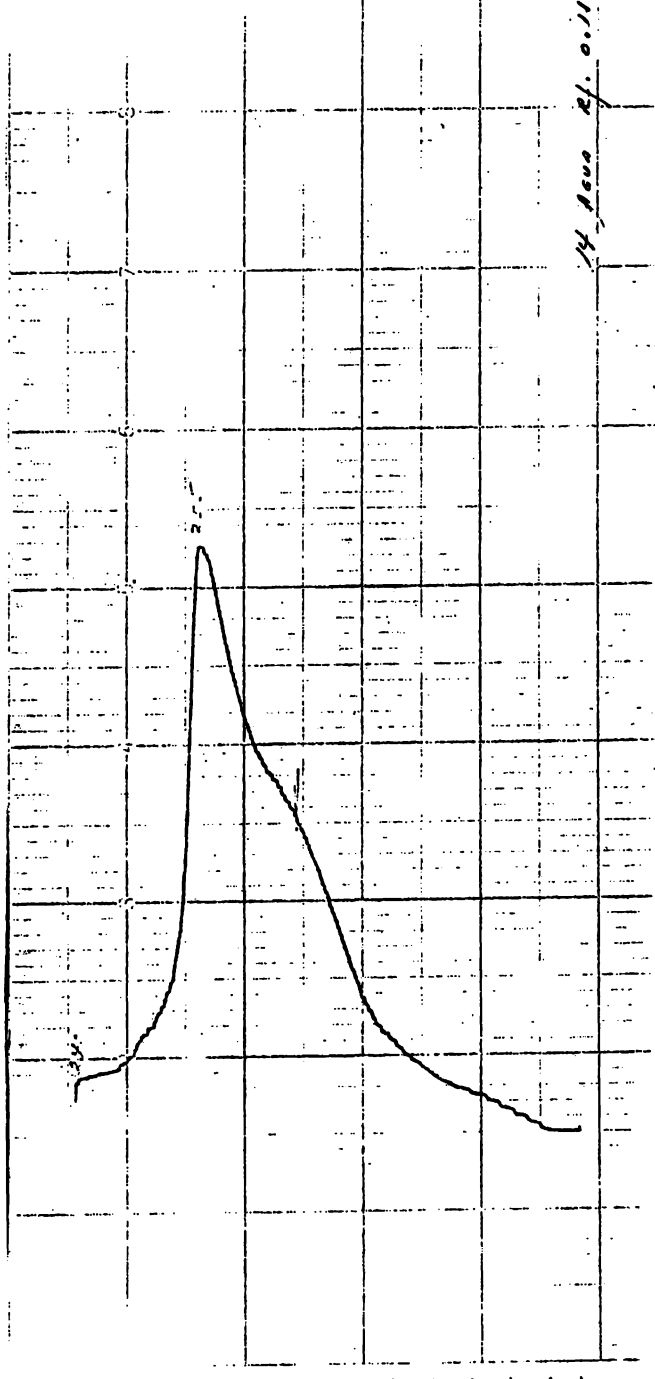
Long. de onda 50 nm/min.

Vel. del papel 1 pgda/min.

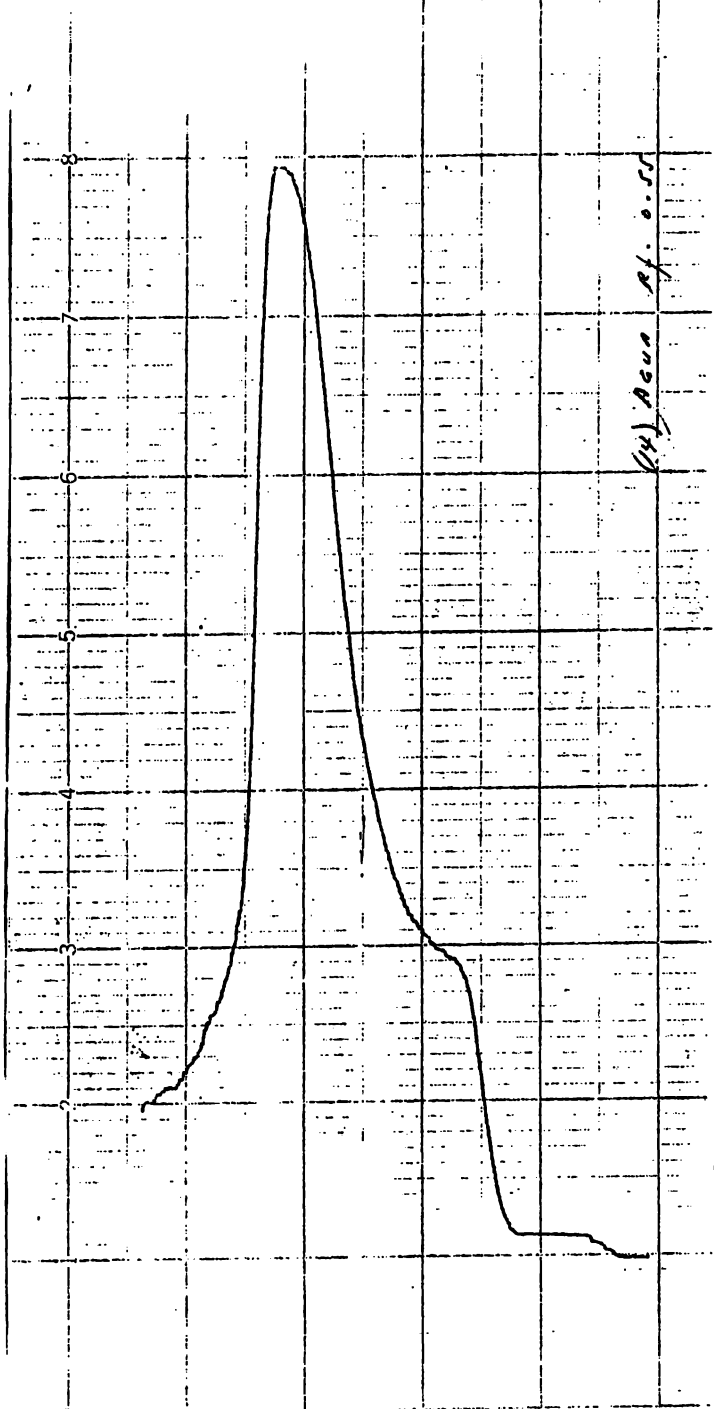
h máxima 255 nm

h mínima 240 nm

14 Mayo 2001

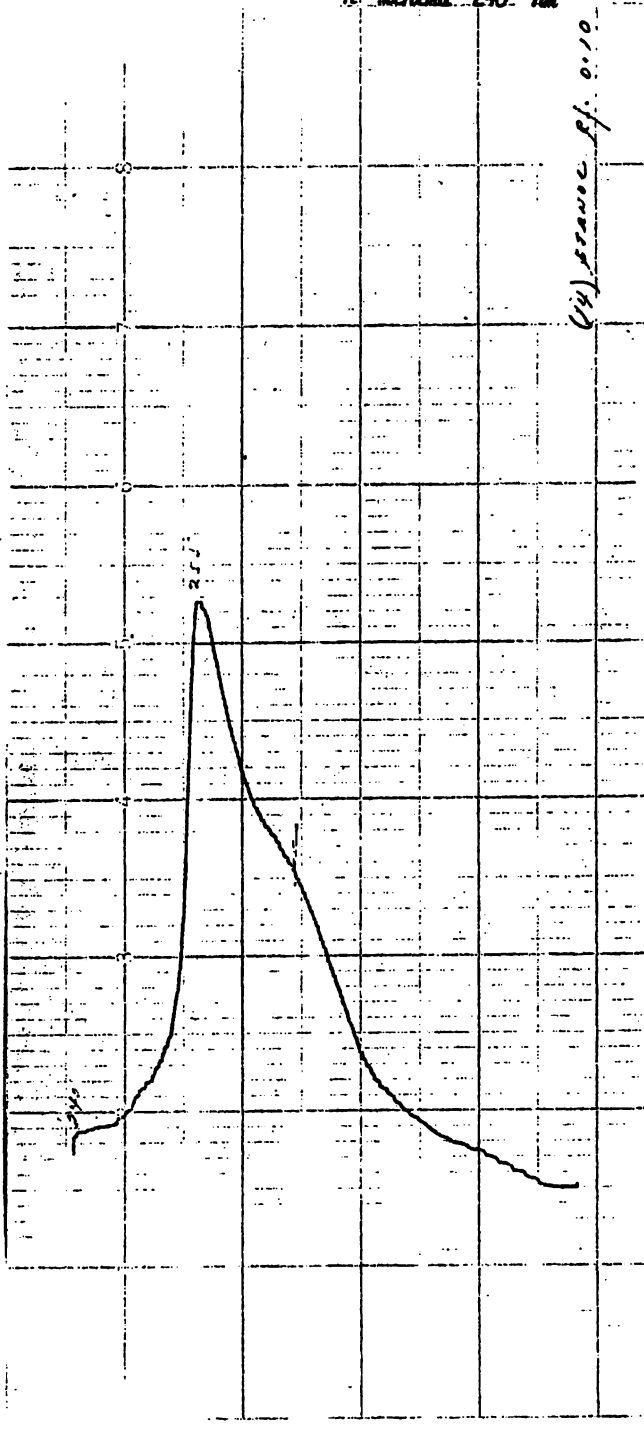


Long. de onda 50 nm /min.  
Vel. del papel 1 pgda/min  
 $\eta$  máxima 258 nm  
 $\eta$  mínima 240 nm



Long. de onda 50 nm/min.  
Vel. del papel 1 pgda/min.  
h máxima 255 nm  
h mínima 240 nm

(24) escala 0:10

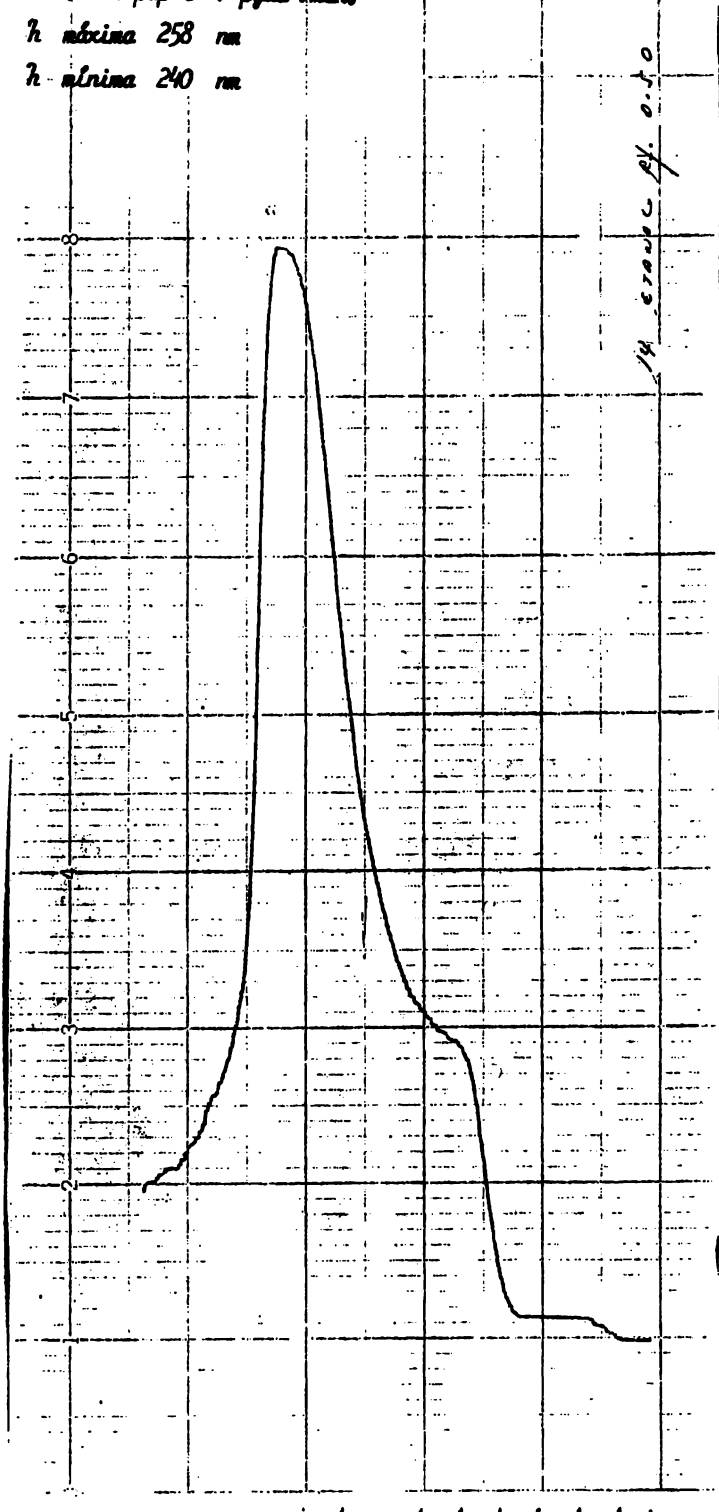


Long. de onda 50 nm/min

Veli del paper 1 pgda/min.

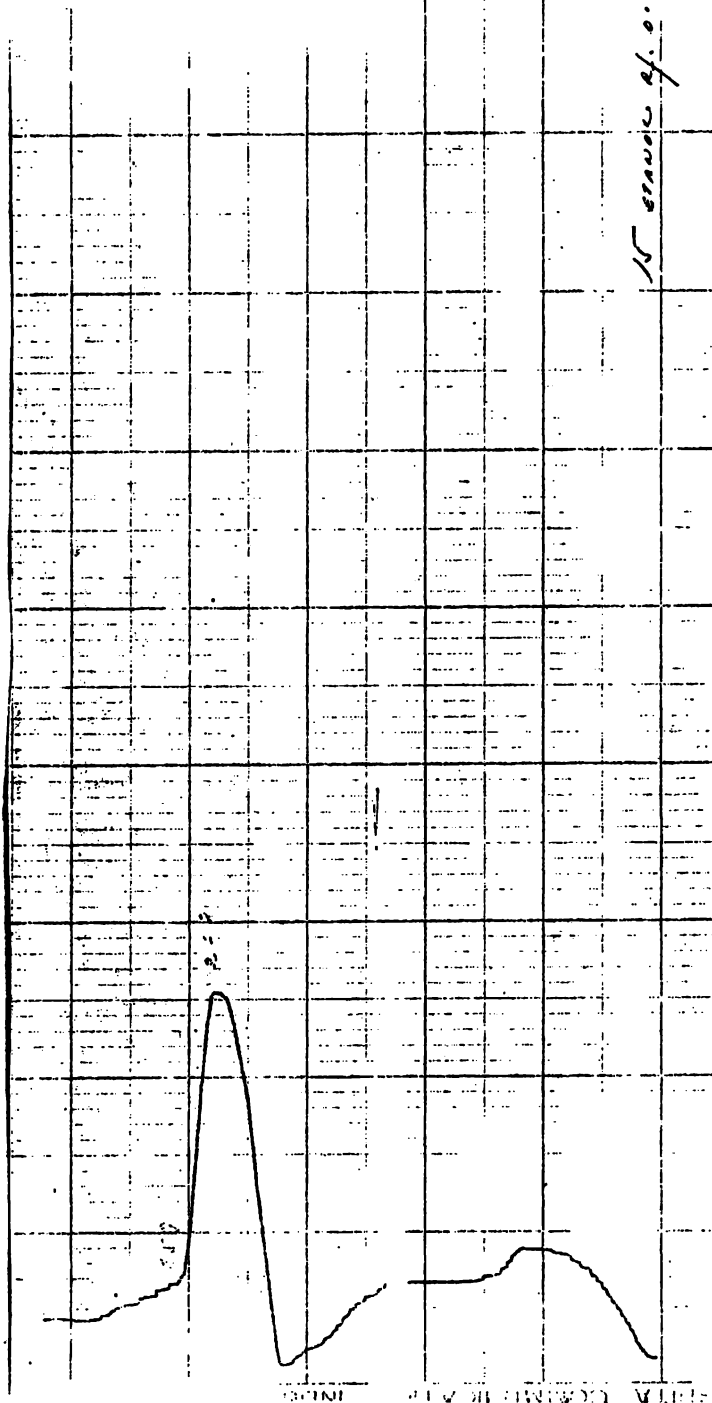
h <sub>máxima</sub> 258 nm

h <sub>mínima</sub> 240 nm

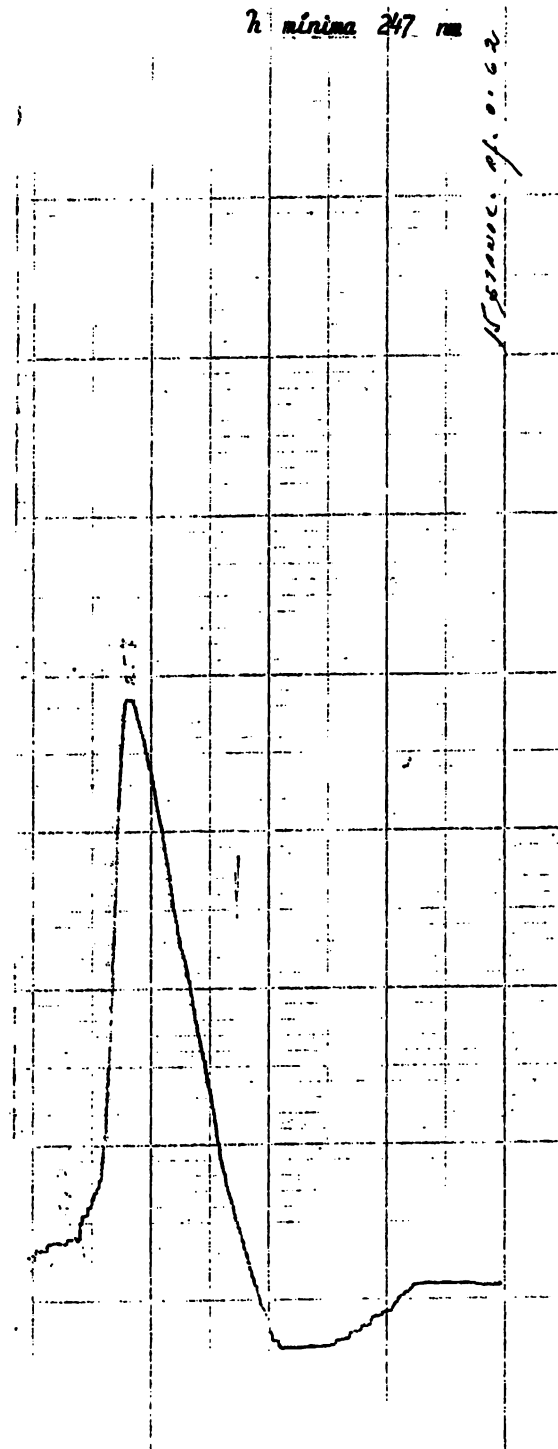


\*  
Long. de onda 50 nm/min.  
Vel. del papel 1. pgda/min.  
 $\lambda_{\text{máxima}} = 262 \text{ nm}$   
 $\lambda_{\text{mínima}} = 259 \text{ nm}$

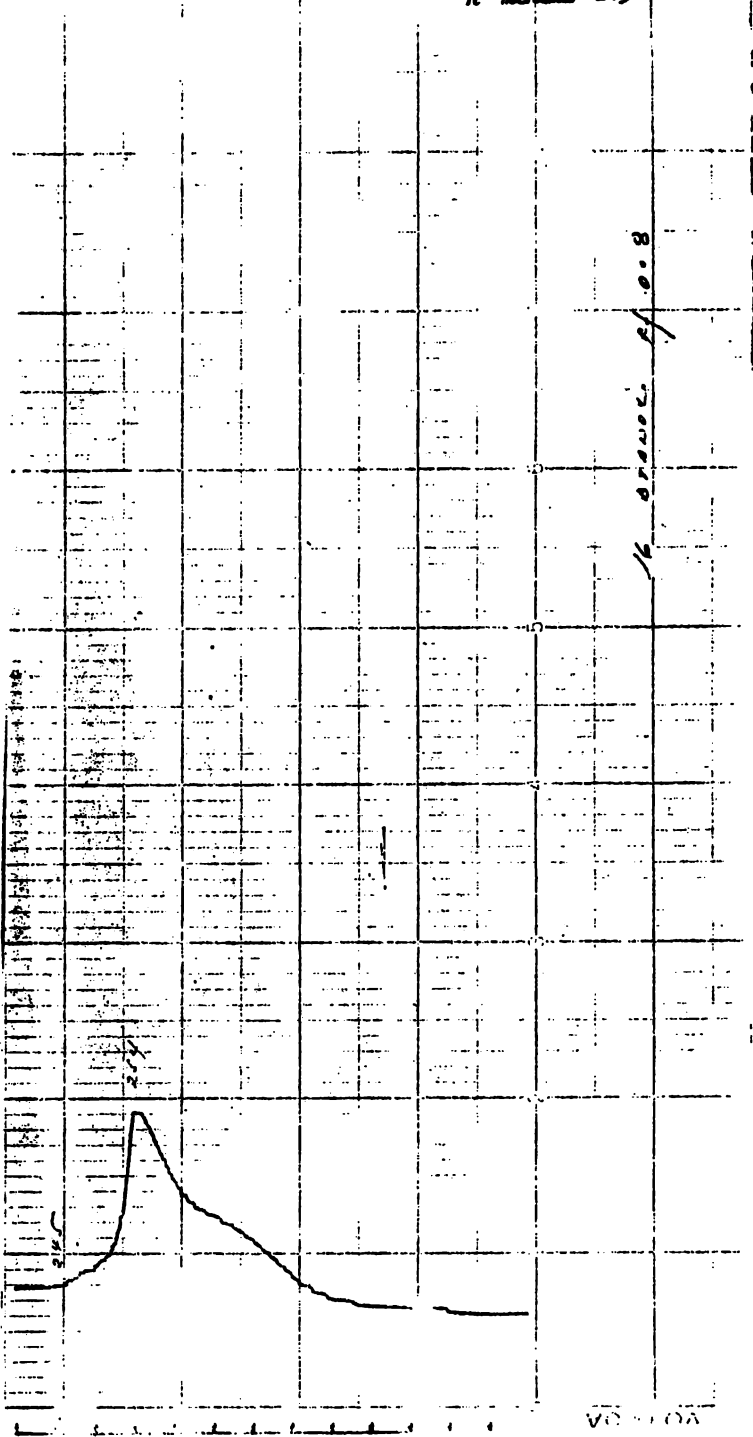
25 enero 97. 0.2



Long. de onda 50 nm/min.  
Vel. del papel 1 pgda./min  
h máxima 257 nm  
h mínima 247 nm



Long. de onda 50 nm/min  
Vel. del papel 1 pgda/min  
T<sub>c</sub> máxima 254 nm  
T<sub>c</sub> mínima 245 nm



### 3 U.- Sistema No. 4

#### Placas

Cromatofellos Kieselgel D-C F<sub>254</sub> Merck con dimensiones 20 x 20 cm.  
con un espesor de sílica gel de 0,25 mm.

#### Preparación de las muestras

Las muestras se usaron tal como se recibieron, disolviéndolas en - etanol y agua en una proporción de 1 en 9 (1mg en 9ml).

#### Cantidad Aplicada

10  $\mu$ g de la solución en agua

5  $\mu$ g de la solución en etanol

#### Preparación de la cámara de saturación

Se formó un sistema de 100 ml :

30 ml de ácido acético

60 ml de etanol

10 ml de agua

Tiempo de Saturación: 60 minutos

Tiempo de separación de las muestras: 25 minutos

Las placas se secaron a temperatura ambiente y se observaron las separaciones obtenidas a través de luz ultravioleta (254 m $\mu$ )

En este sistema no se obtuvo ninguna separación, aún cuando la literatura - reporta que debe de haber una separación de:

Componentes	Rf
6 monoacetil morfina	0.40
Morfina	0.27
Heroina	0.35
Nalorfina	0.55

3 E.- Sistema No. 5

Placas

Cromatofolios Kiesegel D-C  $F_{254}$  Merck con dimensiones 20 x con un espesor de silice de 0.25 mm.

Preparación de las muestras

Las muestras se usaron tal como se recibieron, disolviéndolas en etanol y agua en una proporción de 1 en 9 / 1 mg. en 9 ml /

Cantidad Aplicada

10  $\mu$ g de la solución en agua

5  $\mu$ g de la solución en etanol

Preparación de la Cámara de Saturación

Se formó un sistema de 100 ml

100 ml de Hidróxido de amonio

50 ml de Benceno

40 ml de Dioxano

5 ml de etanol

100 ml

Tiempo de Saturación

60 minutos

Tiempo de separación de las muestras: 25 minutos

Las placas se secaron a temperatura ambiente y se observaron las separaciones a traves de luz ultravioleta 254 m $\mu$

Por este sistema, no hubo separación de muestras, aún cuando la literatura - de referencia (1) nos dice que hay una separación de:

Estupefaciente	R <sub>f</sub> .
Heroína	0.76
6-monoacetil-morfina	0.64
Morfina	0.11
Nalorfina	0.35

Esto me llevó a pensar que, posiblemente hubiera necesidad de efectuar una separación previa a la cromatografía en capa fina, y fué entonces cuando se preparó el sistema No. 6.

## Sistema No. 6

### Método de análisis de la muestra

La muestra se disuelve en agua, se alcaliniza con amonio y se extrae con eter de petróleo: la monoacetyl morfina queda en la parte etérica, en la parte acuosa queda la morfina y la heroína, éstas se extraen con eter etílico; quedando en la parte etérica la heroína y en la parte acuosa la morfina.

Una vez separadas, se procede a identificar, por cromatografía en capa fina, cada uno de los componentes aislados.

La saturación de la cámara se compone de los siguientes solventes:

Acetato de etilo	85 ml
Metanol	10 ml
Hidroxido de amonio	<u>5</u> ml
	100 ml

Tiempo de saturación : 60 minutos

Las muestras de los componentes aislados se aplicaron en los cromatóforos - en una cantidad de 5  $\mu\text{g}$  y se corrieron durante un tiempo de 35 minutos - contra un estandar. Una vez identificados, sacamos sus  $R_f$  y los llevamos a comparación con los  $R_f$  de los estandares. Después de identificados, procedemos a extraer las muestras de la sílica gel con alcohol etílico, para identificarlas por espectroscopia ultravioleta.

Características de las muestras empleadas

Muestra No.

Aspecto de las muestras

1

Arenoso, color gris

2

Pasta color café rojiza

3

Pasta color café rojiza

4

Arenoso, color gris

5

Polvo terroso color café

6

Polvo color café pálido

7

Polvo color café pálido

8

Polvo terroso color café rojizo

9

Pasta color café oscuro

10

Pasta color café rojizo

11

Polvo color verde pálido

REACCIONES DE COLORACION

ESTUFE FABRICANTE	VARAQUIS	VERDE	ROJAS	OSCURO	GUATEMALA
MCCONINA	PURPURA	VERDE PALIDO	ROJO PURPURA	NO REACCIONA	
MORTINA	PURPURA	VERDE	PURPURA-ROJO	NO REACCIONA	
MONOCARINA	-	-	-	AZUL	VIOLETA
MULATERA NO.					
1	PURPURA	VERDE	ROJO-PURPURA-ANIL	AZUL	
2	PURPURA	VERDE	ROJO-PURPURA-ANIL	VERDE ENGRILLADO NO REACCIONA	VIOLETA
3	HAY ESTRUCTURA PURPURA	VERDE	ROJO-PURPURA-ANIL	ROJO ENGRILLADO	VIOLETA
4	PURPURA	VERDE	ROJO-PURPURA-ANIL	AZUL	VIOLETA
5	PURPURA	VERDE	ROJO-PURPURA-ANIL	AZUL	VIOLETA
6	PURPURA	VERDE	ROJO-PURPURA-ANIL	AZUL	VIOLETA
7	PURPURA	VERDE	ROJO-PURPURA-ANIL	AZUL	VIOLETA
8	PURPURA	VERDE	ROJO-PURPURA-ANIL	ROJO MORANJA	VIOLETA
9	PURPURA	VERDE	ROJO-PURPURA-ANIL	AZUL	VIOLETA
10	PURPURA	VERDE	ROJO-PURPURA-ANIL	AZUL	VIOLETA
11	PURPURA	VERDE	ROJO-PURPURA-ANIL	AZUL	VIOLETA

### Cromatografía en capa fina

Muestra N°.	D. recorrida por <u>la muestra</u>	D. recorrida por <u>el solvente</u>	Rf de la <u>muestra</u>
<u>1</u>			
Fase acuosa	3.7	8.7	0.42
Fase etérea	5.9	8.7	0.68
Fase bencenica	5.9	8.7	0.68
<u>2</u>			
Fase acuosa	3.8	8.7	0.43
Fase etérea	5.7	8.7	0.65
Fase bencenica	6.1	8.7	0.70
	3.0	8.7	0.34
<u>3</u>			
Fase acuosa	3.5	8.7	0.40
Fase etérea	7.6	8.7	0.87
	6.0	8.7	0.69
	5.1	8.7	0.59
Fase bencenica	7.6	8.7	0.87
	6.2	8.7	0.71
<u>4</u>			
Fase acuosa	3.3	8.7	0.38
Fase etérea	7.5	8.7	0.86
	6.0	8.7	0.69
	5.1		

<i>Fase etérea</i>	5.8	8.7	0.66
	3.0	8.7	0.34

<i>Fase bencenica</i>	7.3	8.7	0.84
	5.7	8.7	0.65

	<u>5</u>		
<i>Fase acuosa</i>	2.3	8.7	0.35
<i>Fase bencenica</i>	6.0	8.7	0.68
	6.4	8.7	0.73
<i>Fase etérea</i>	7.5	8.7	0.86

	<u>6</u>		
<i>Fase acuosa</i>	3.1	8.7	0.35
<i>Fase bencenica</i>	6.0	8.7	0.68
<i>Fase etérea</i>	6.4	8.7	0.73

	<u>7</u>		
<i>Fase acuosa</i>	3.3	8.7	0.38
	2.1	8.7	0.24
<i>Fase bencenica</i>	4.9	8.7	0.56
	6.0	8.7	0.68
<i>Fase etérea</i>	7.5	8.7	0.86

	<u>8</u>		
<i>Fase acuosa</i>	2.5	8.7	0.29
	2.8	8.7	0.32

<i>Fase bencenica</i>	5.5	8.7	0.63
<i>Fase etérea</i>	5.8	8.7	0.66
	2.2		

9

<i>Fase acuosa</i>	2.5	8.7	0.29
	3.3	8.7	0.38
<i>Fase bencenica</i>	4.9	8.7	0.56
<i>Fase etérea</i>	6.0	8.7	0.66

10

<i>Fase acuosa</i>	2.0	8.7	
<i>Fase bencenica</i>	0.0	8.7	0.00
<i>Fase etérea</i>	0.0	8.7	0.00

11

<i>Fase acuosa</i>	2.5	8.7	0.29
	3.3	8.7	0.38
<i>Fase bencenica</i>	4.9	8.7	0.56
<i>Fase etérea</i>	6.0	8.7	0.69

12

<i>Fase acuosa</i>	3.0	8.7	0.34
	3.3	8.7	0.38

12

Fase bencenica	7.5	8.7	0.86
Fase etérea	5.7	8.7	0.65

13

Fase acuosa	3.0	8.7	0.29
Fase etérea	5.7	8.7	0.65
Fase bencenica	5.5	8.7	0.63

14

Fase acuosa	2.5	8.7	0.29
Fase bencenica	5.8	8.7	0.66
Fase etérea	2.2	8.7	0.25
	5.8	8.7	0.66

15

Fase acuosa	3.4	8.7	0.39
Fase etérea	6.0	8.7	0.68
Fase bencenica	2.0	8.7	0.22
	5.0	8.7	0.57
	6.0	8.7	0.68

16

Fase acuosa	2.5	8.7	0.28
	2.4	8.7	0.27

<i>Fase bencenica</i>	6.5	8.7	0.74
<i>Fase etérea</i>	2.4	8.7	0.27
	6.5	8.7	0.74
17			
<i>Fase acuosa</i>	3.0	8.7	0.34
<i>Fase etérea</i>	6.2	8.7	0.71
<i>Fase bencenica</i>	6.3	8.7	0.72

absorción en el espectro ultravioleta ( λ máxima y λ mínima ) de las muestras separadas por cromatografía en capa fina.

	λ máxima (nm)	λ mínima (nm)
1		
Fase acuosa	230	205
Fase etérea	226	210
Fase bencenica	231	204
2		
Fase acuosa	230	205
Fase etérea	230	200
Fase bencenica	229	205
	231	204
- 3		
Fase acuosa	226	205
Fase etérea	227	210
Fase bencenica	231	204
	226	205
4		
Fase acuosa	230	205
Fase etérea	218	204
	219	204
	226	210
Fase bencenica	230	204
	226	205

5  
*Fase acuosa* 226 205

*Fase etérea* 225 210

*Fase bencenica* 231 204

6

*Fase acuosa* 225 205

226 205

*Fase bencenica* 231 204

*Fase etérea* 225 210

7

*Fase acuosa* 000 000

*Fase bencenica* 000 000

*Fase etérea* 000 000

8

*Fase acuosa* 228 200

228 208

*Fase bencenica* 231 204

*Fase etérea* 225 210

9

*Fase acuosa* 230 205

*Fase bencenica* 231 204

*Fase etérea* 225 210

10

<i>Fase acuosa</i>	226	205
<i>Fase bencenica</i>	230	204
<i>Fase etérea</i>	225	190

11

<i>Fase acuosa</i>	227	205
	224	205
<i>Fase bencenica</i>	231	206
	230	204
<i>Fase etérea</i>	225	210

12

<i>Fase acuosa</i>	225	205
	226	205
<i>Fase bencenica</i>	230	204
<i>Fase etérea</i>	225	210

13

<i>Fase acuosa</i>	226	205
<i>Fase etérea</i>	218	204

14

<i>Fase acuosa</i>	225	205
<i>Fase etérea</i>	226	205
	219	204
<i>Fase bencenica</i>	219	204

15

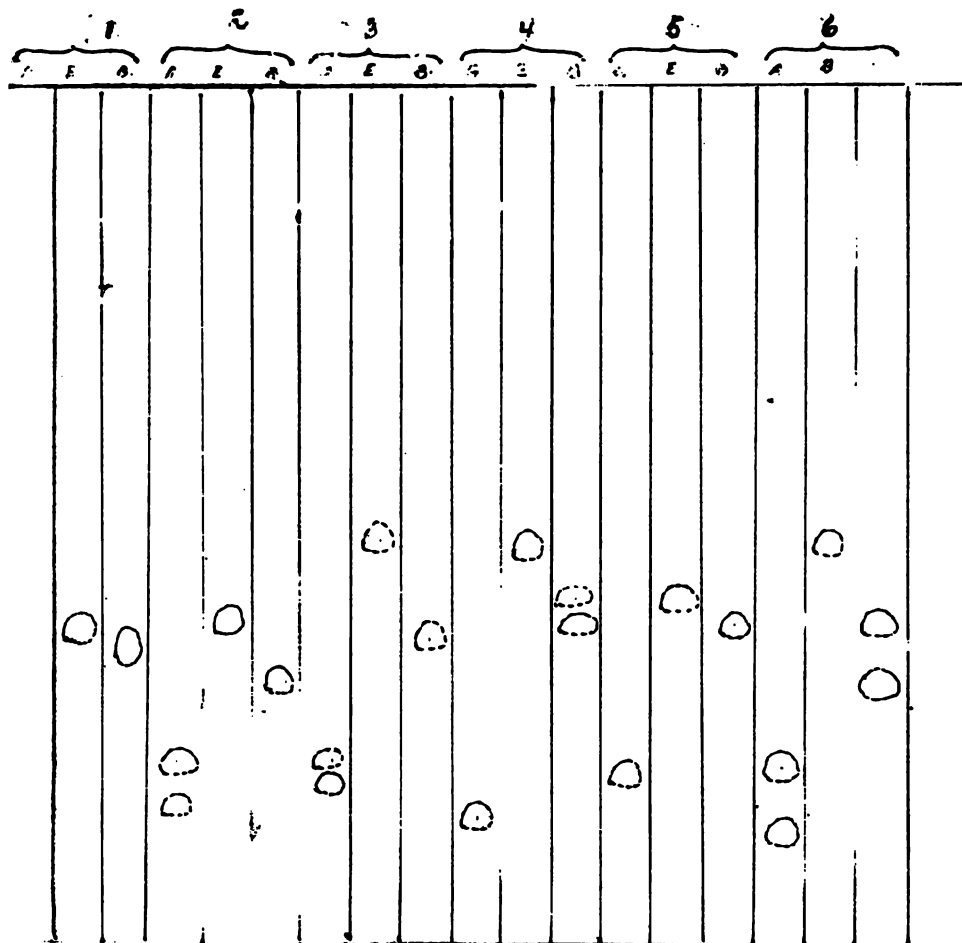
<i>Fase acuosa</i>	226	205
<i>Fase etérea</i>	226	205
	227	210
<i>Fase bencenica</i>	221	205

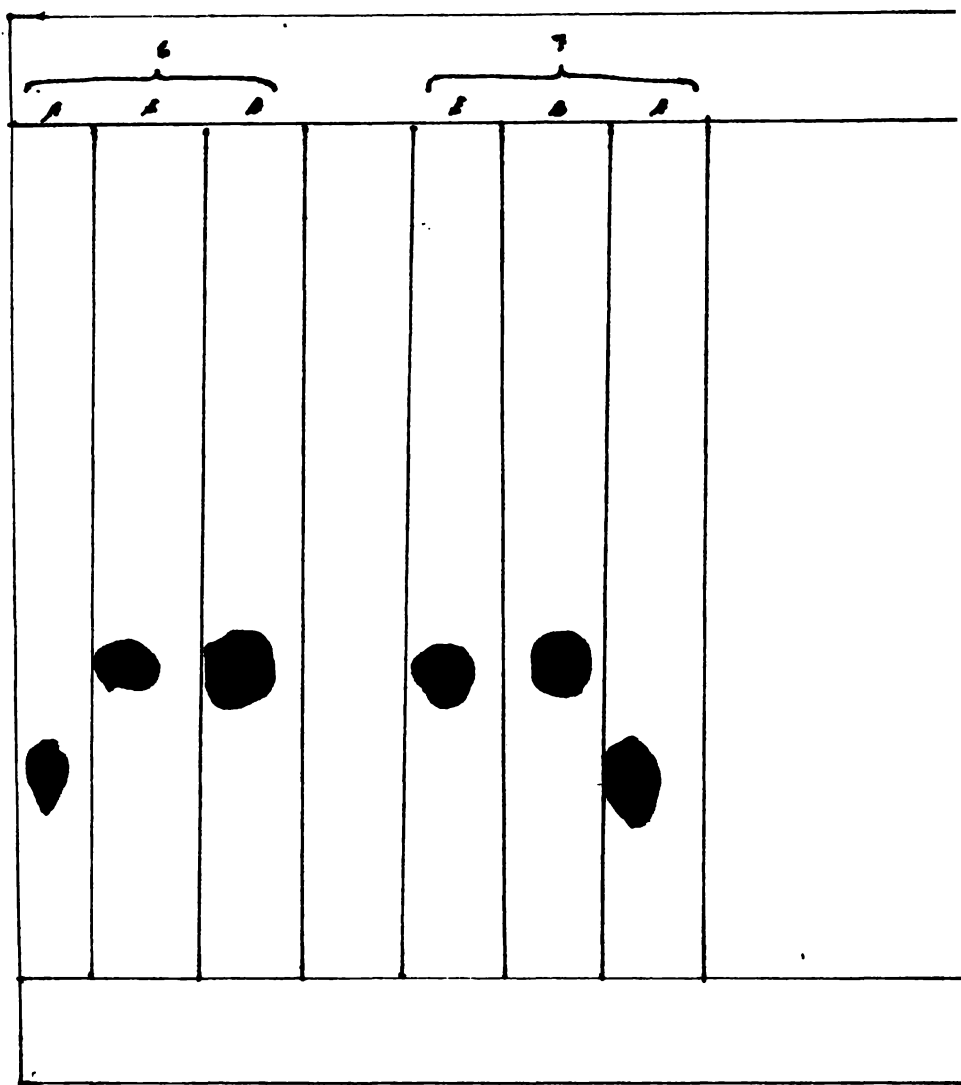
16

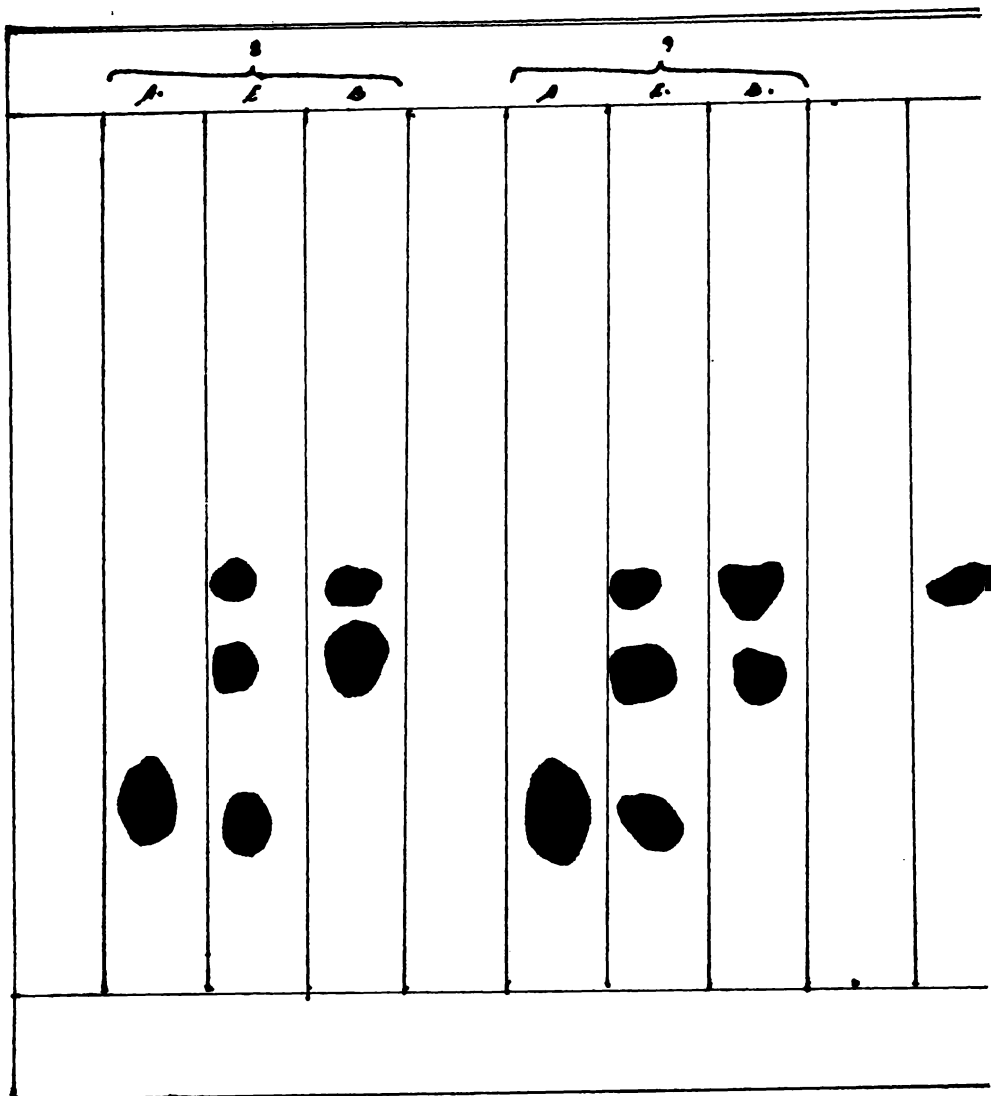
<i>Fase acuosa</i>	226	205
<i>Fase etérea</i>	226	205
	230	204
<i>Fase bencenica</i>	230	204

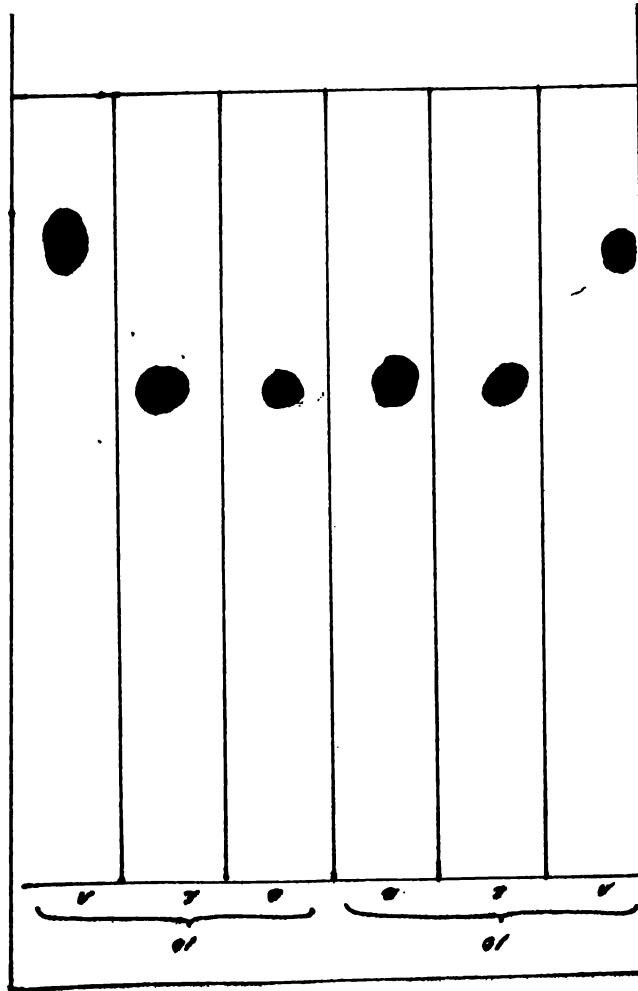
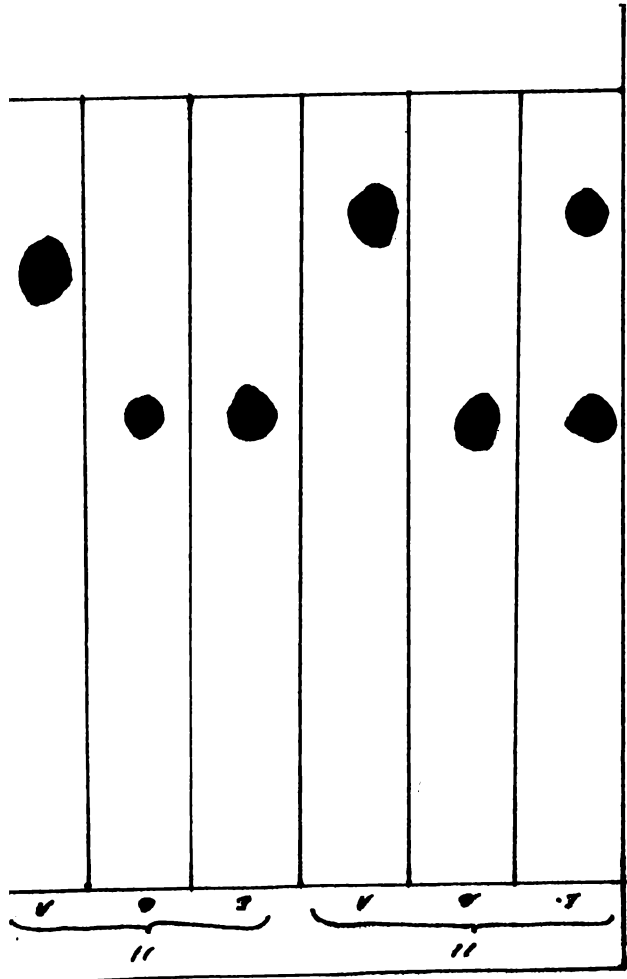
17

<i>Fase acuosa</i>	226	205
<i>Fase etérea</i>	216	190
<i>Fase bencenica</i>	216	190

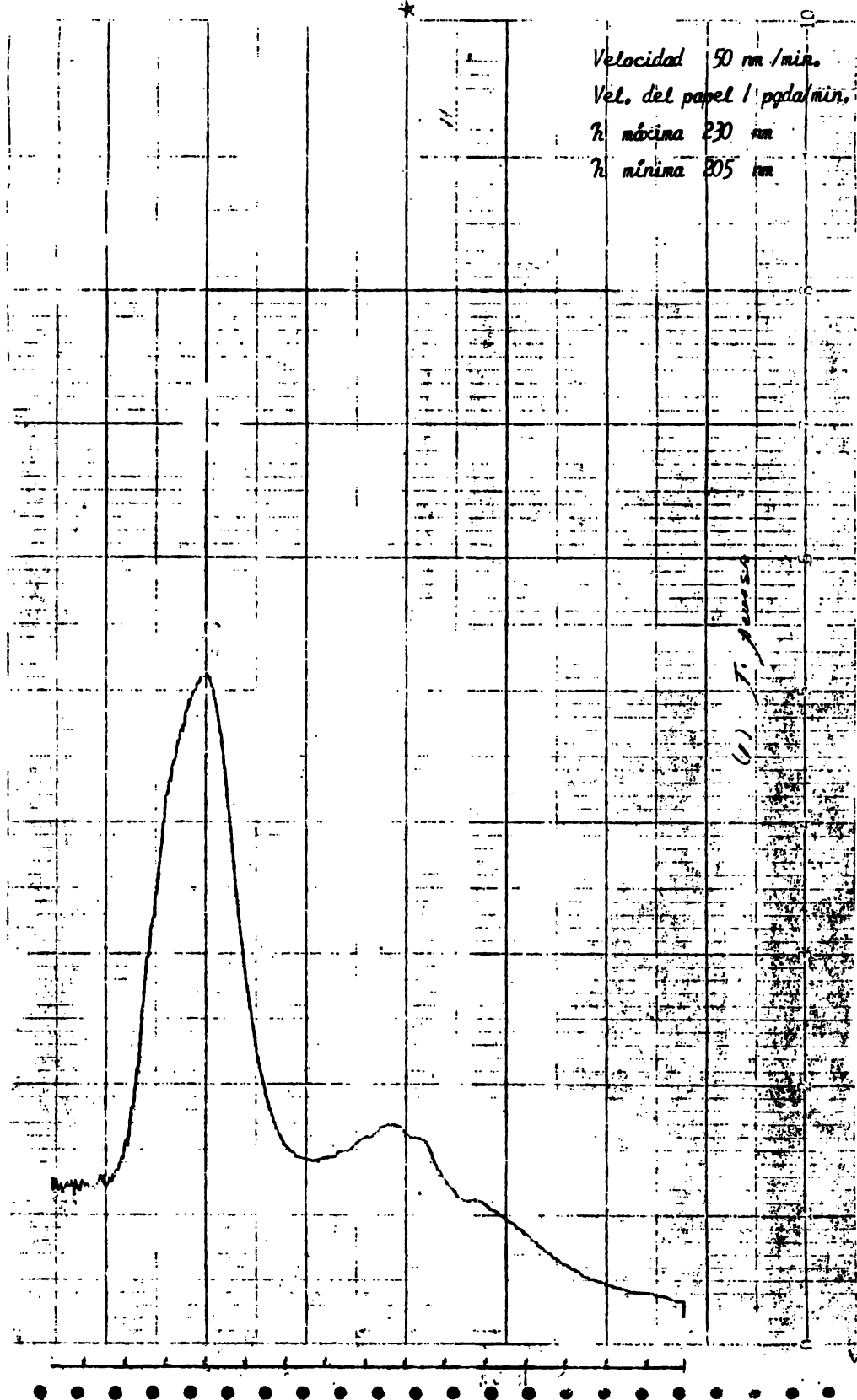








Velocidad 50 nm/min.  
Vel. del papel 1 pgda/min.  
h máxima 230 nm  
h mínima 205 nm

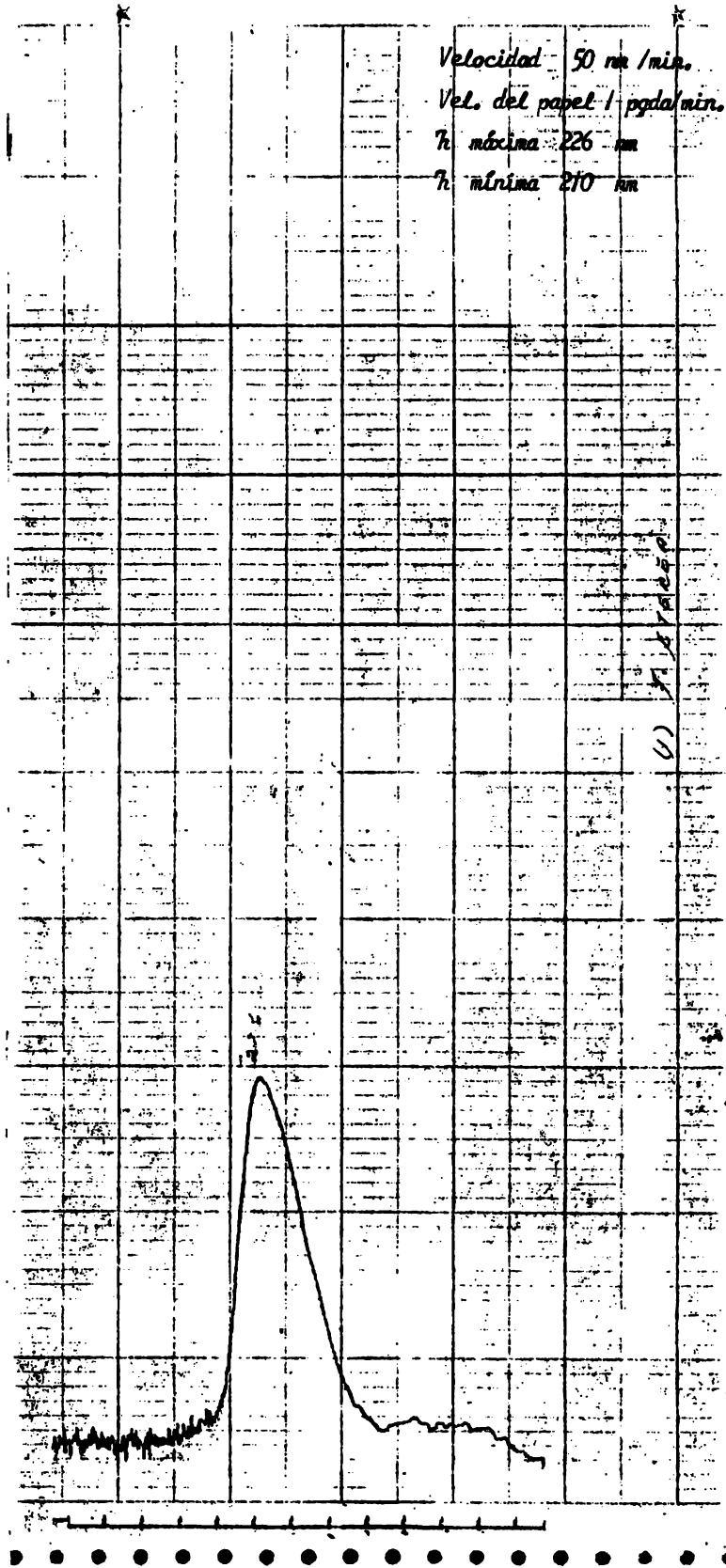


Velocidad = 50 mm/mic.

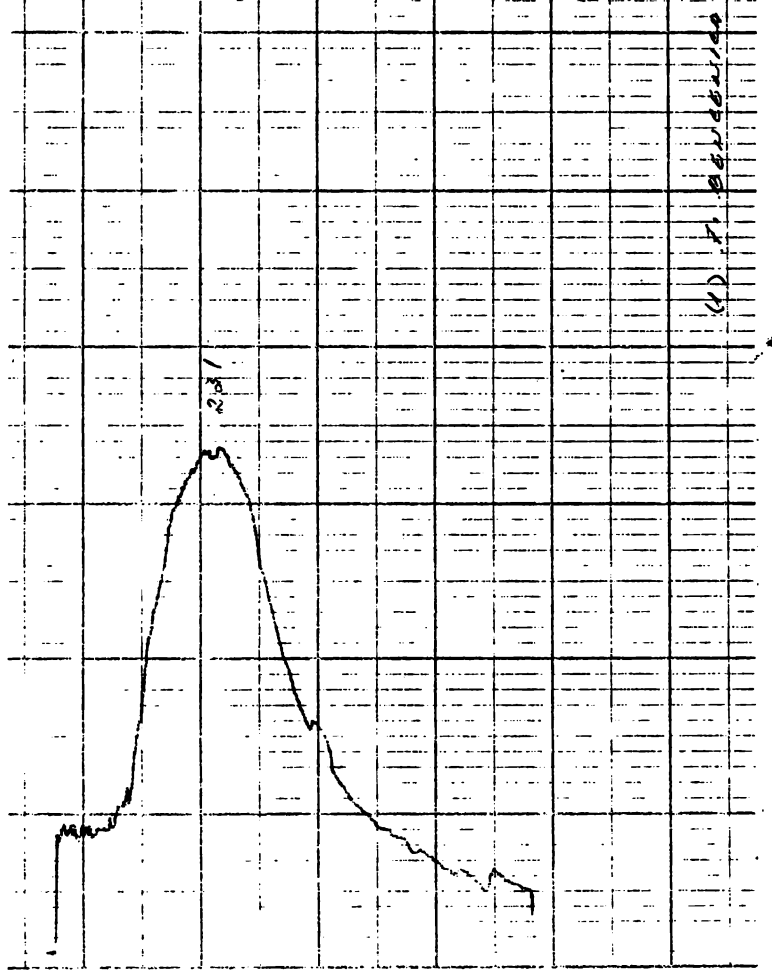
Vel. del papel / pgda/min.

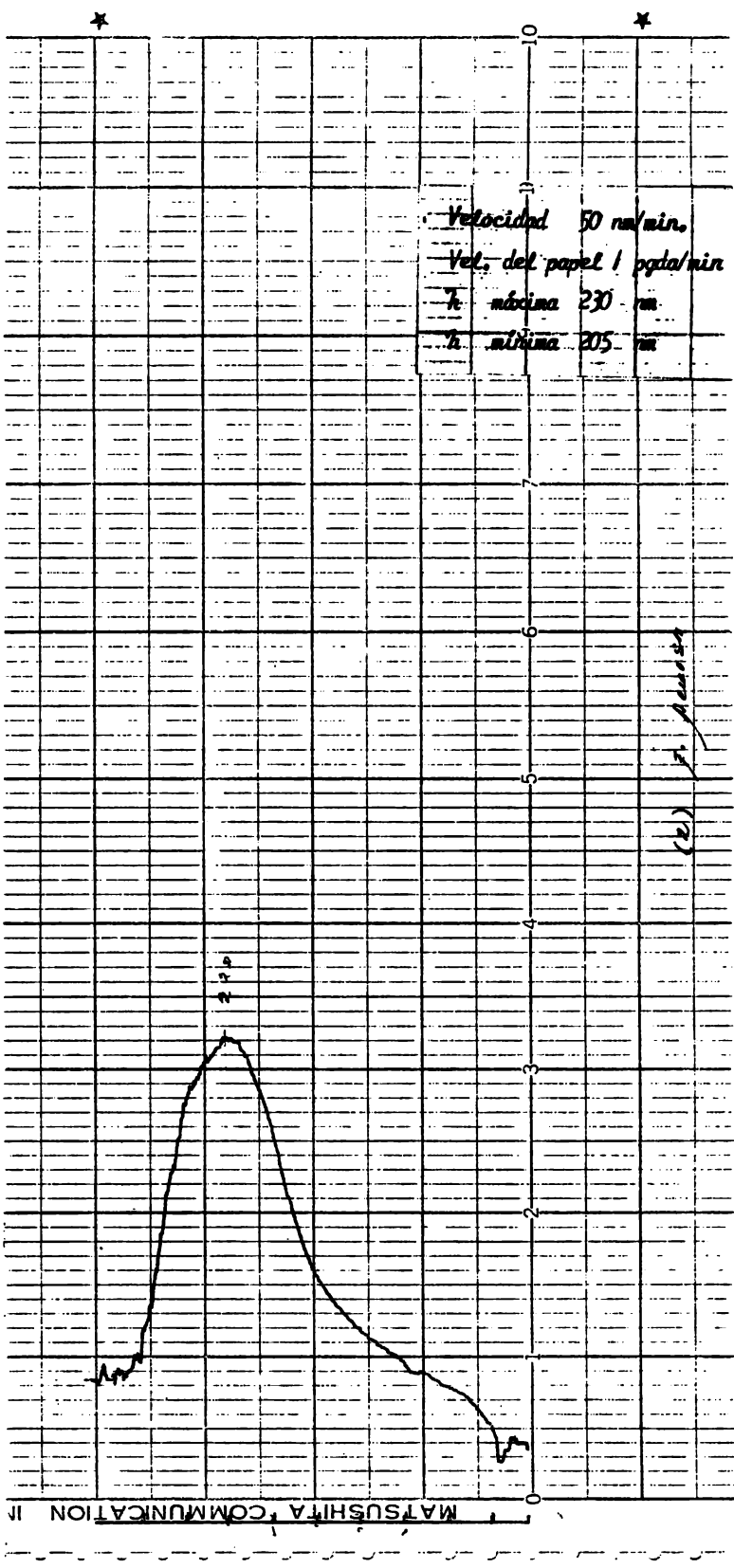
T<sub>h</sub> máxima = 226 mm

T<sub>h</sub> mínima = 210 mm

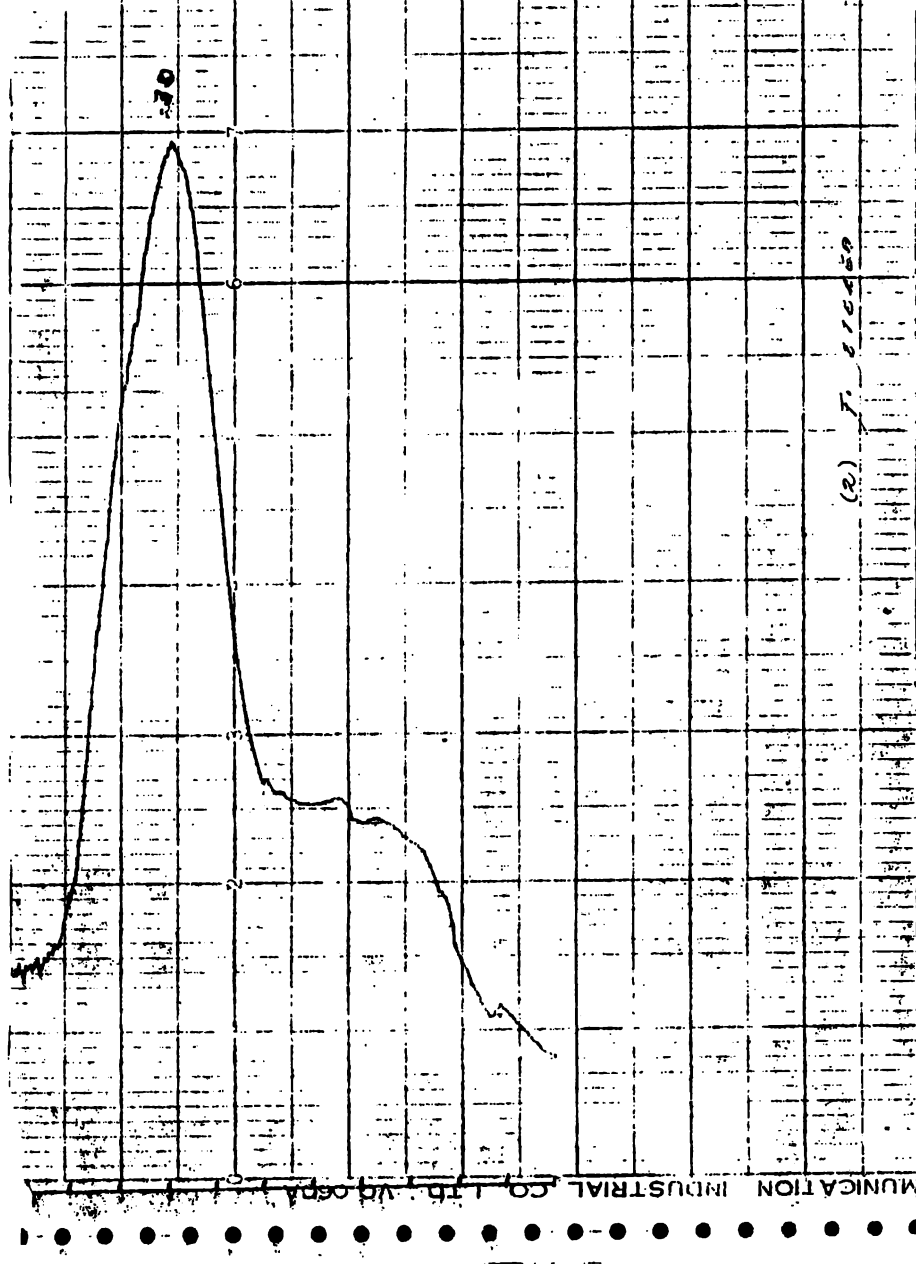


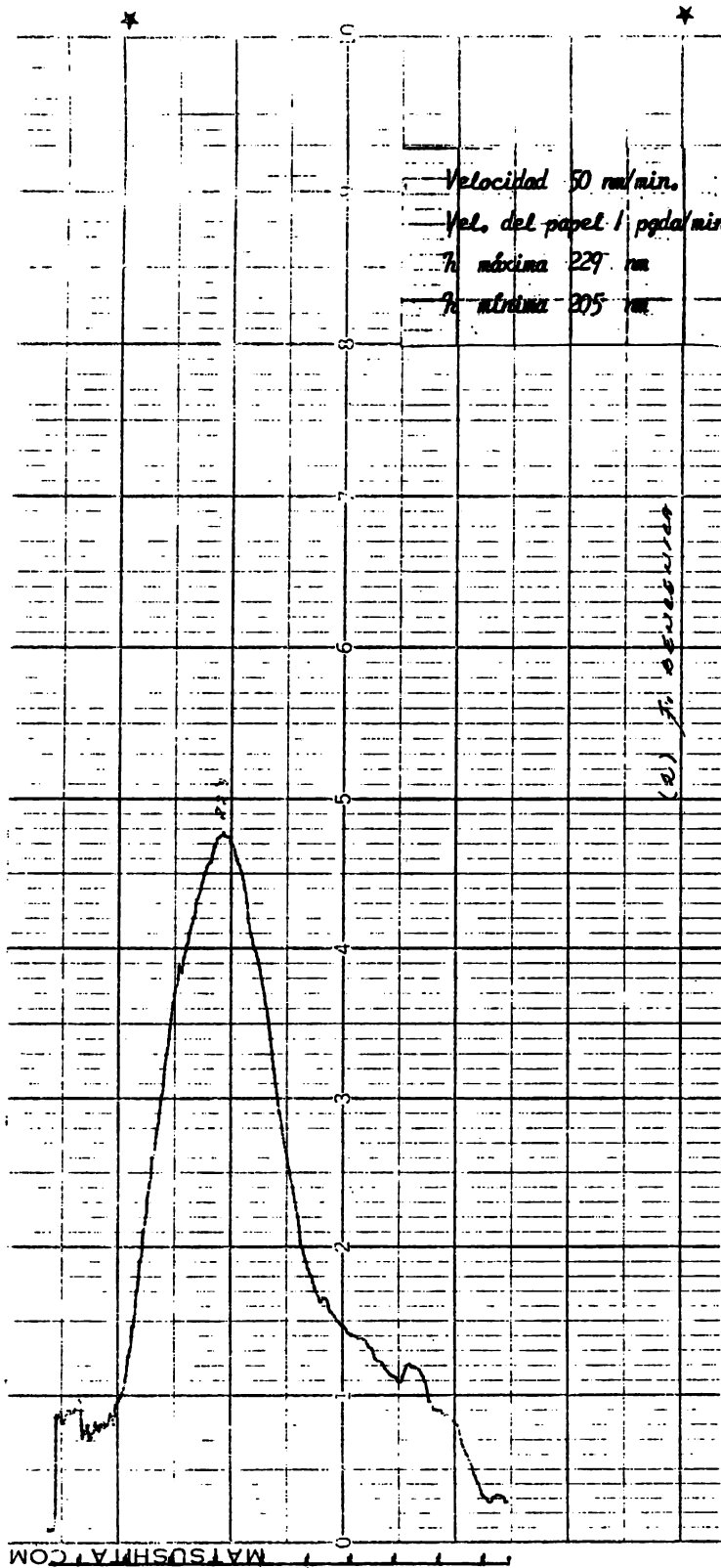
Velocidad 50 mm/min  
 Vel. del papel 1 pgda/min  
 H. máxima 231 mm  
 H. mínima 204 mm

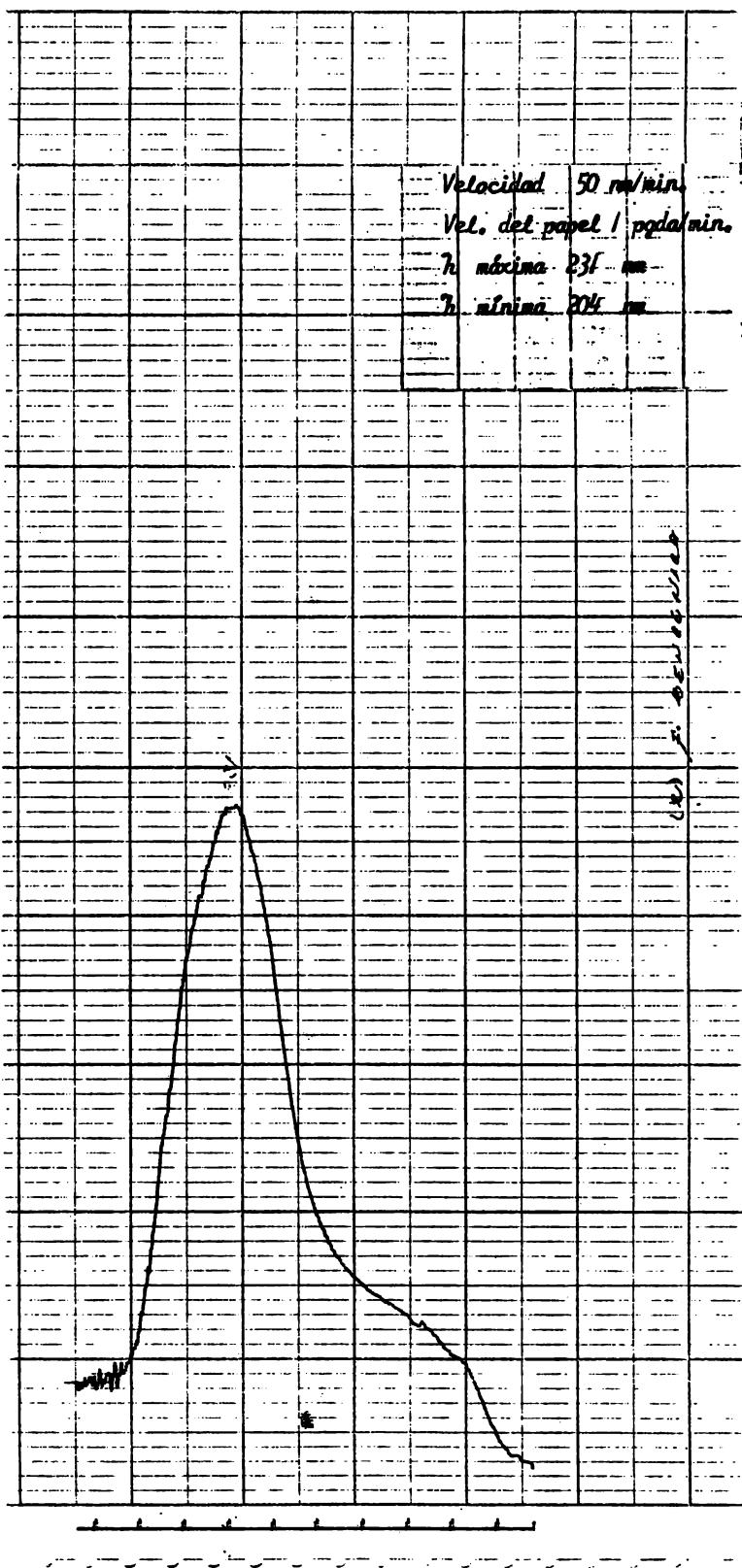




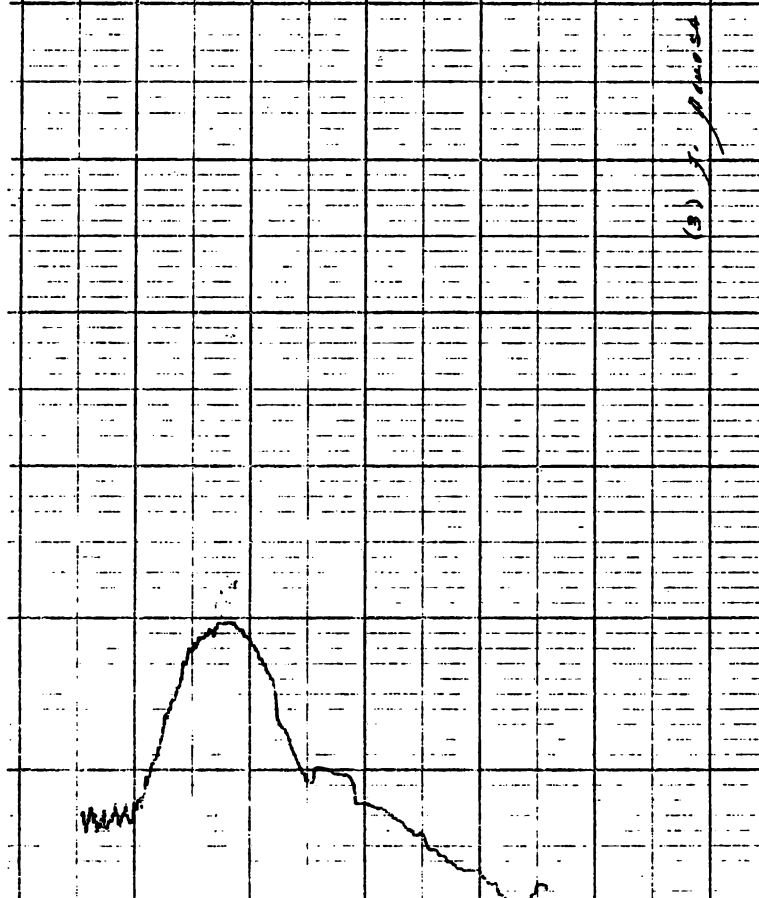
Velocidad 50 mm/min.  
Vel. del papel 1 pgda/min.  
h máxima 230 nm  
h mínima 200 nm

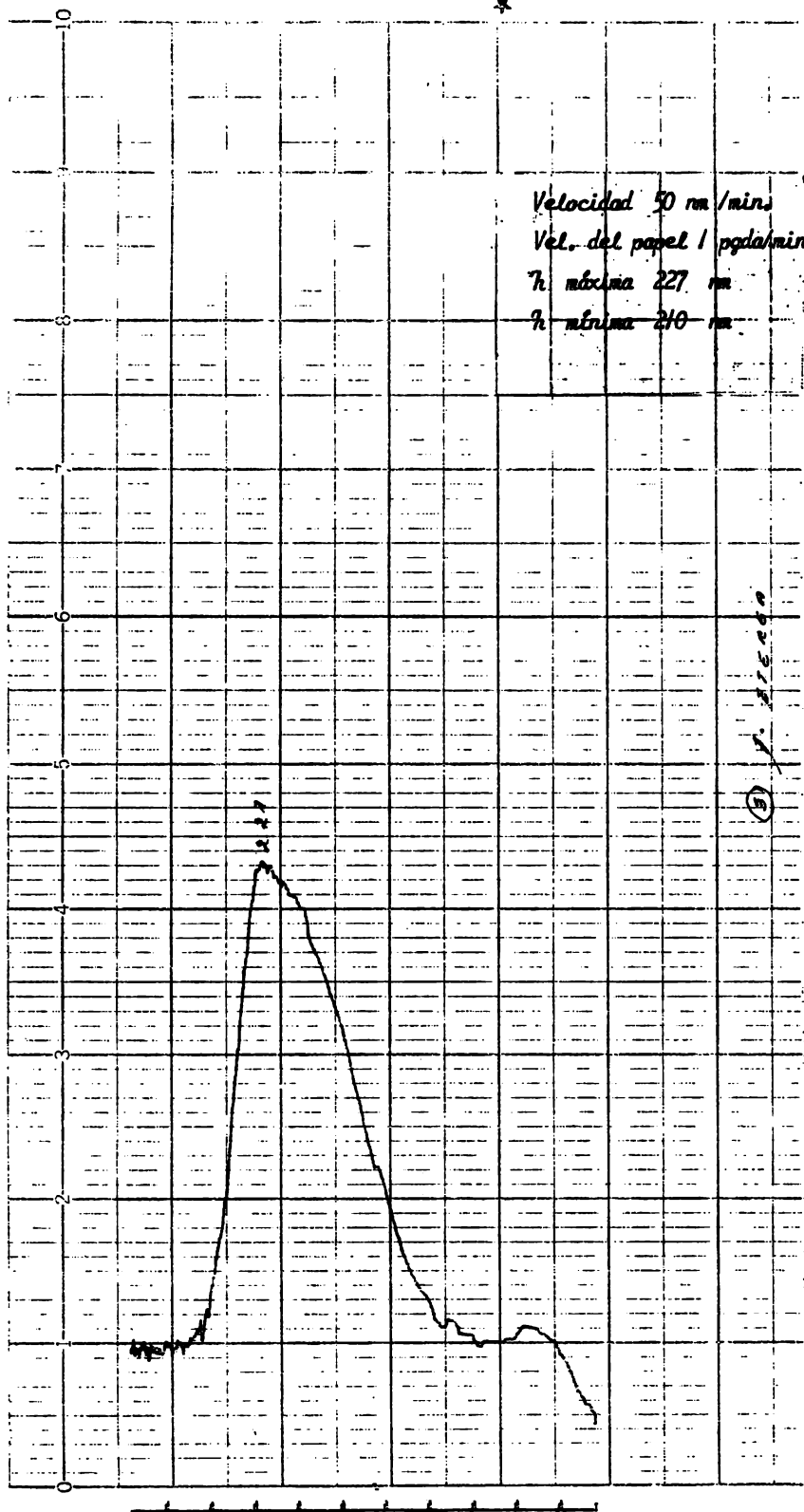


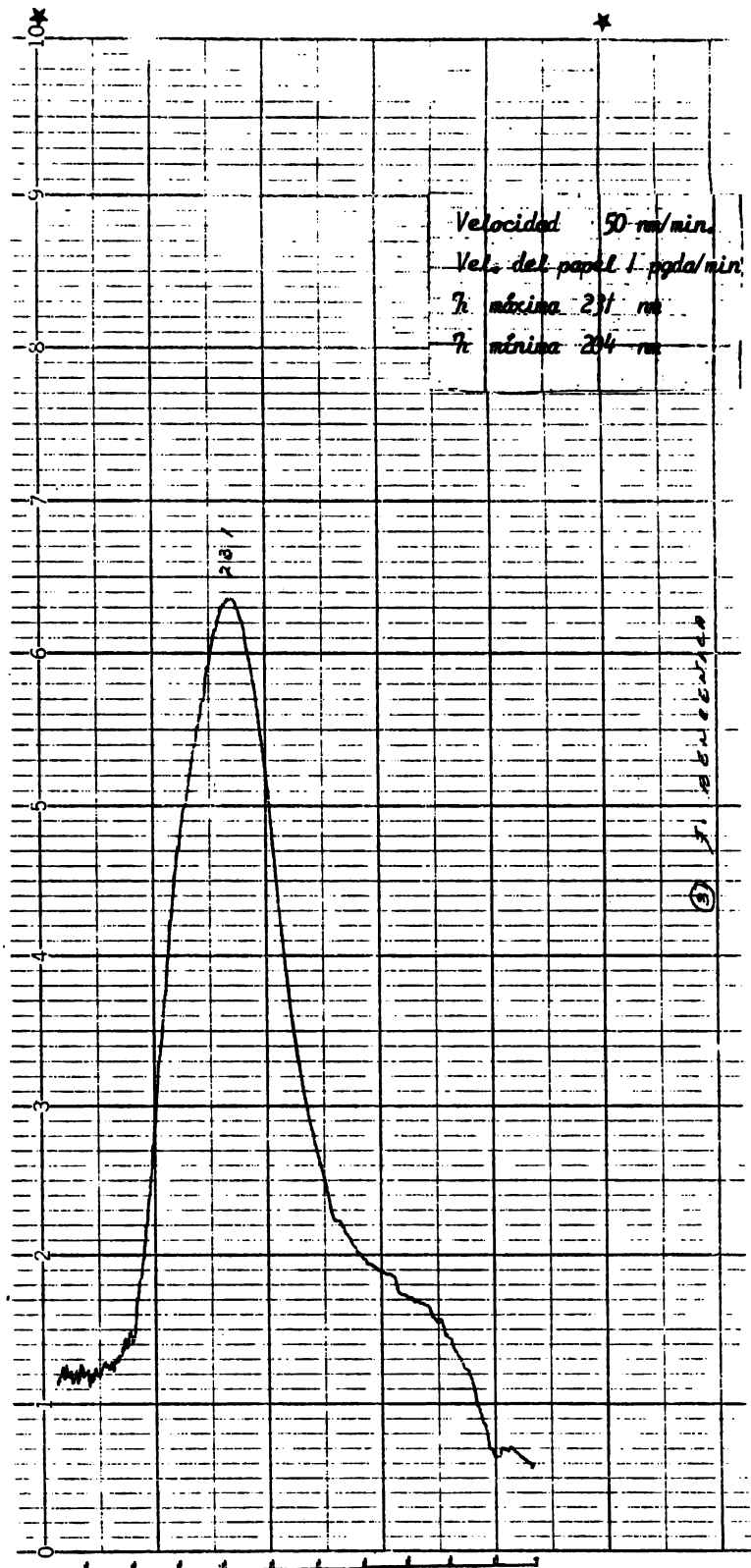


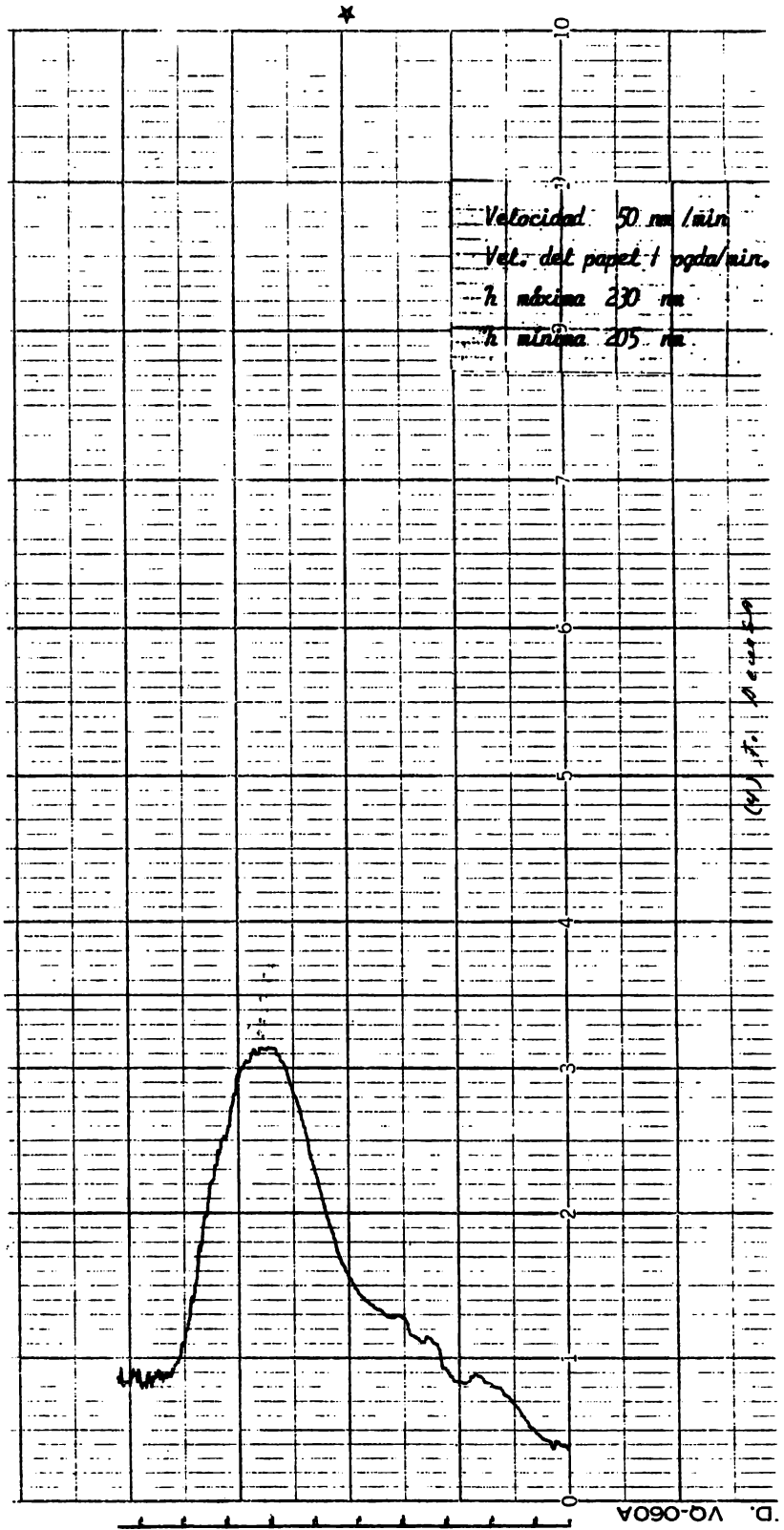


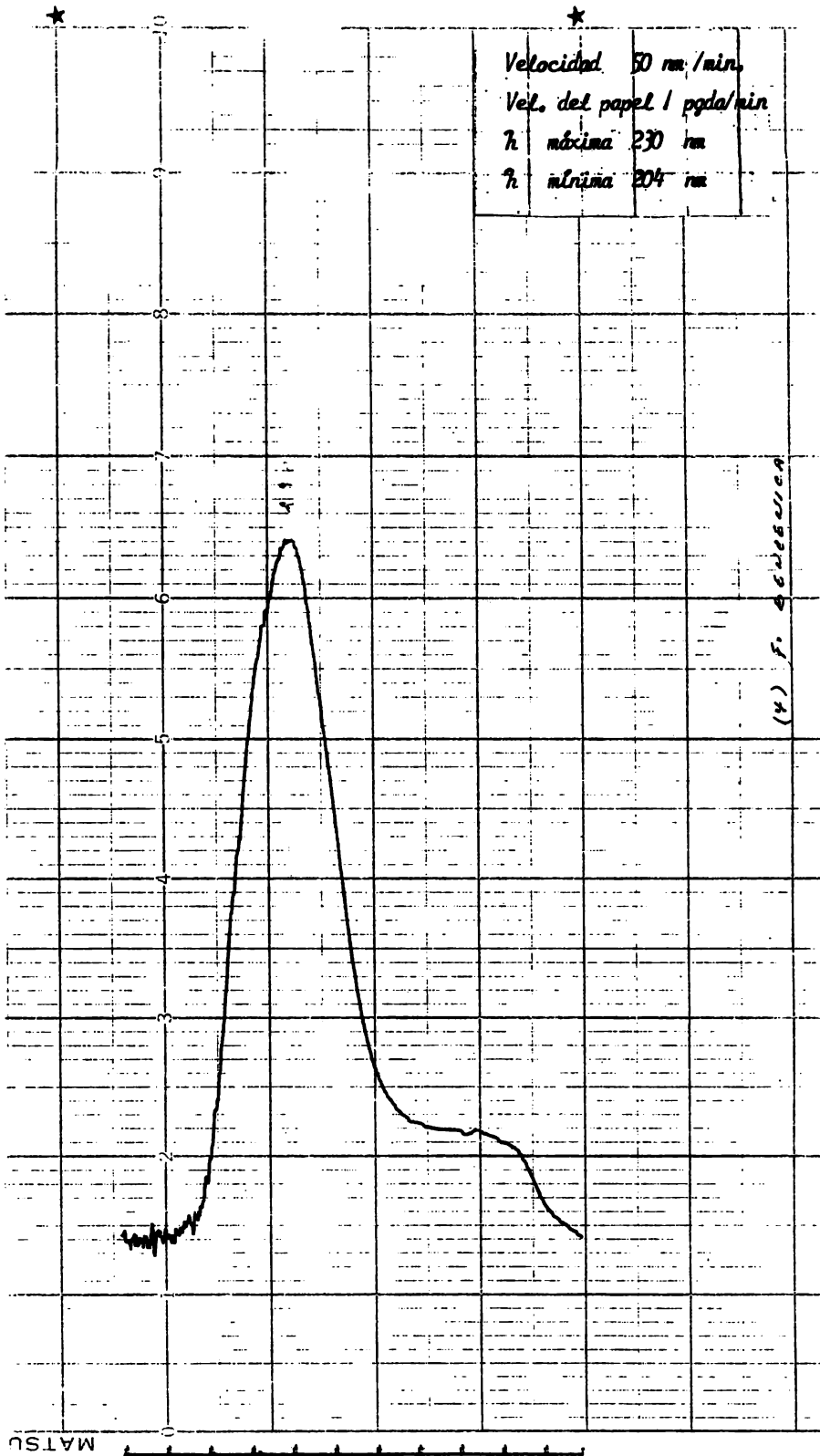
Velocidad 50 m/min.  
Vel. del papel 1 pgda/min.  
 $\tau_h$  máxima 226 m  
 $\tau_h$  mínima 210 m



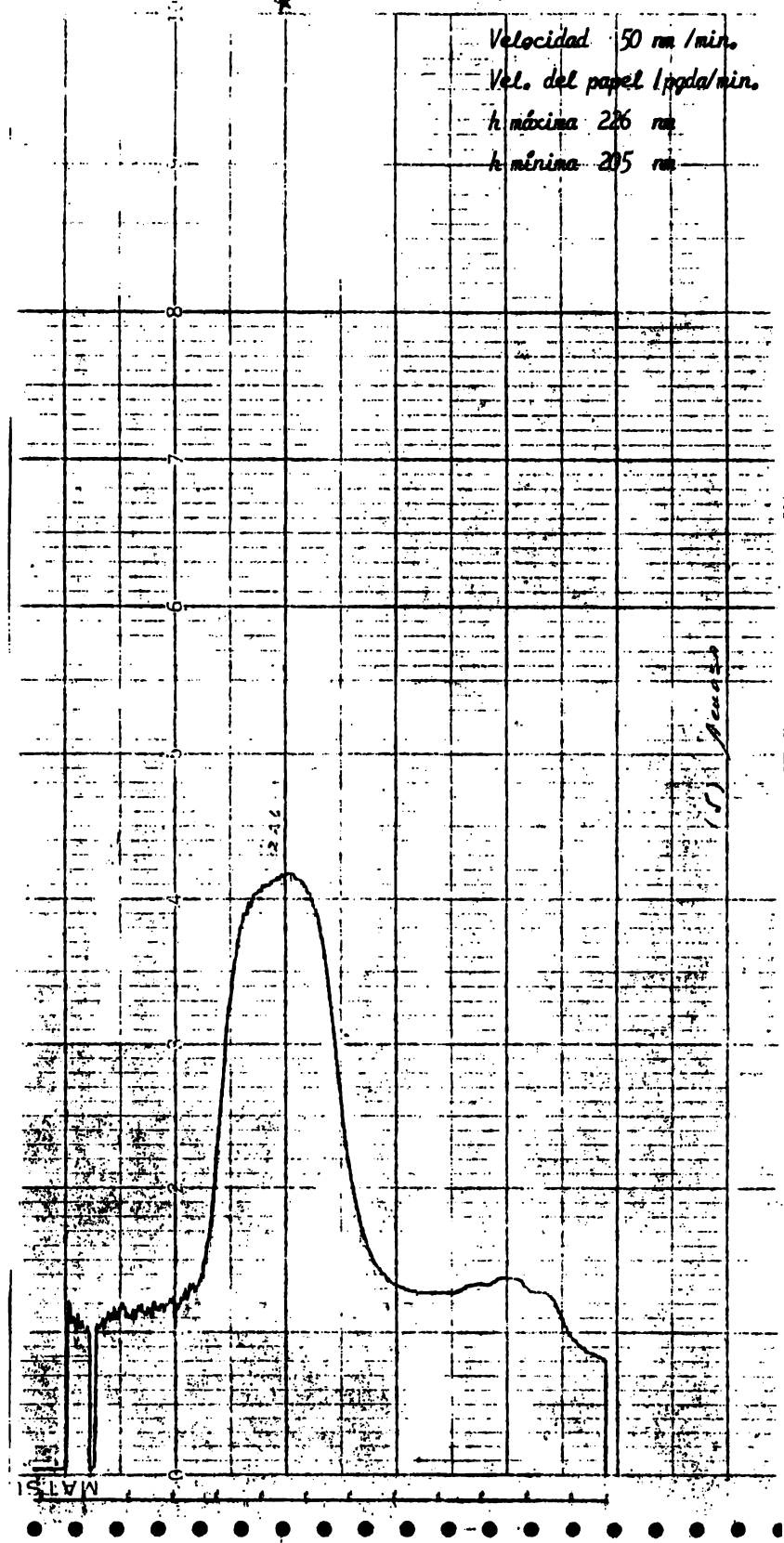




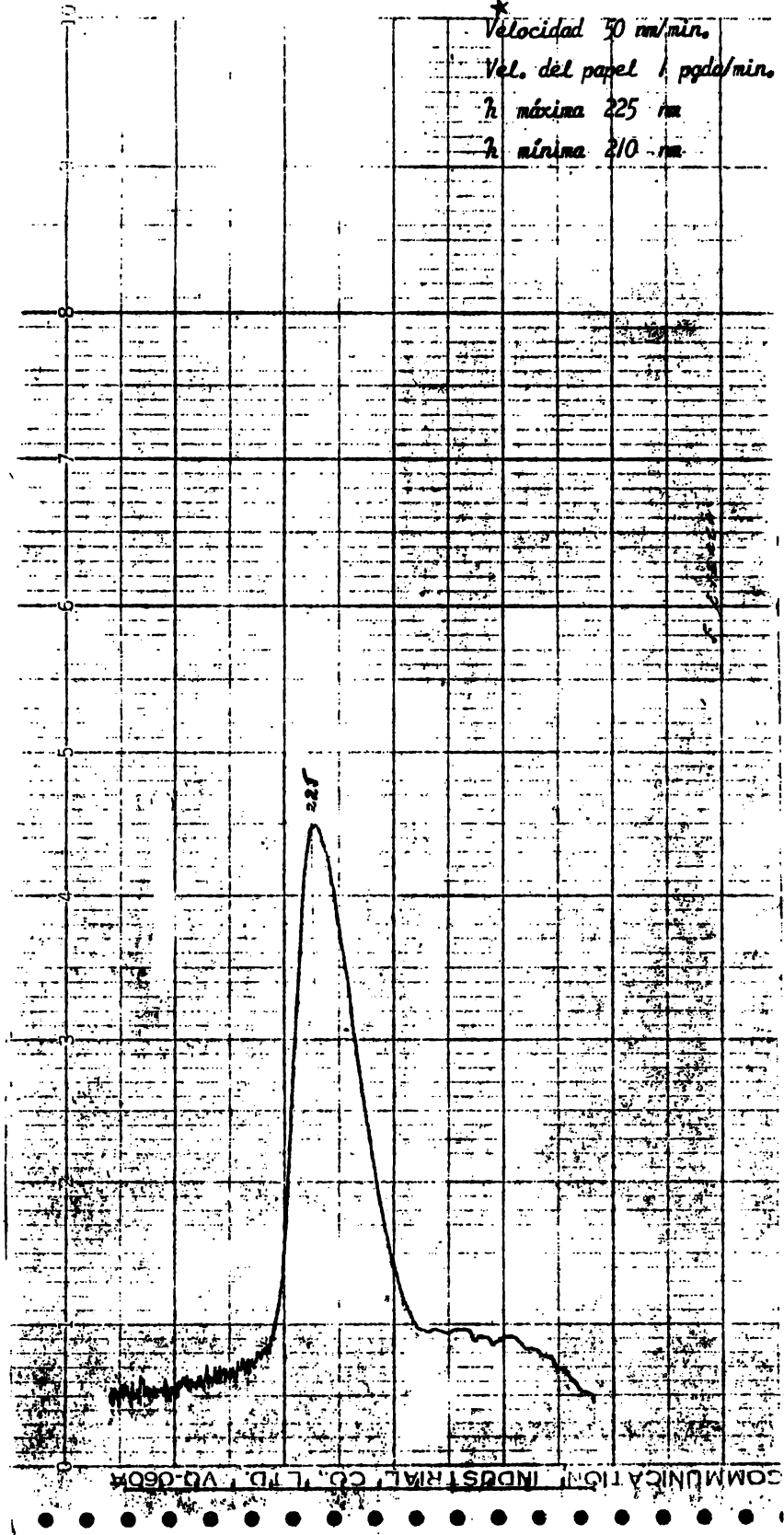




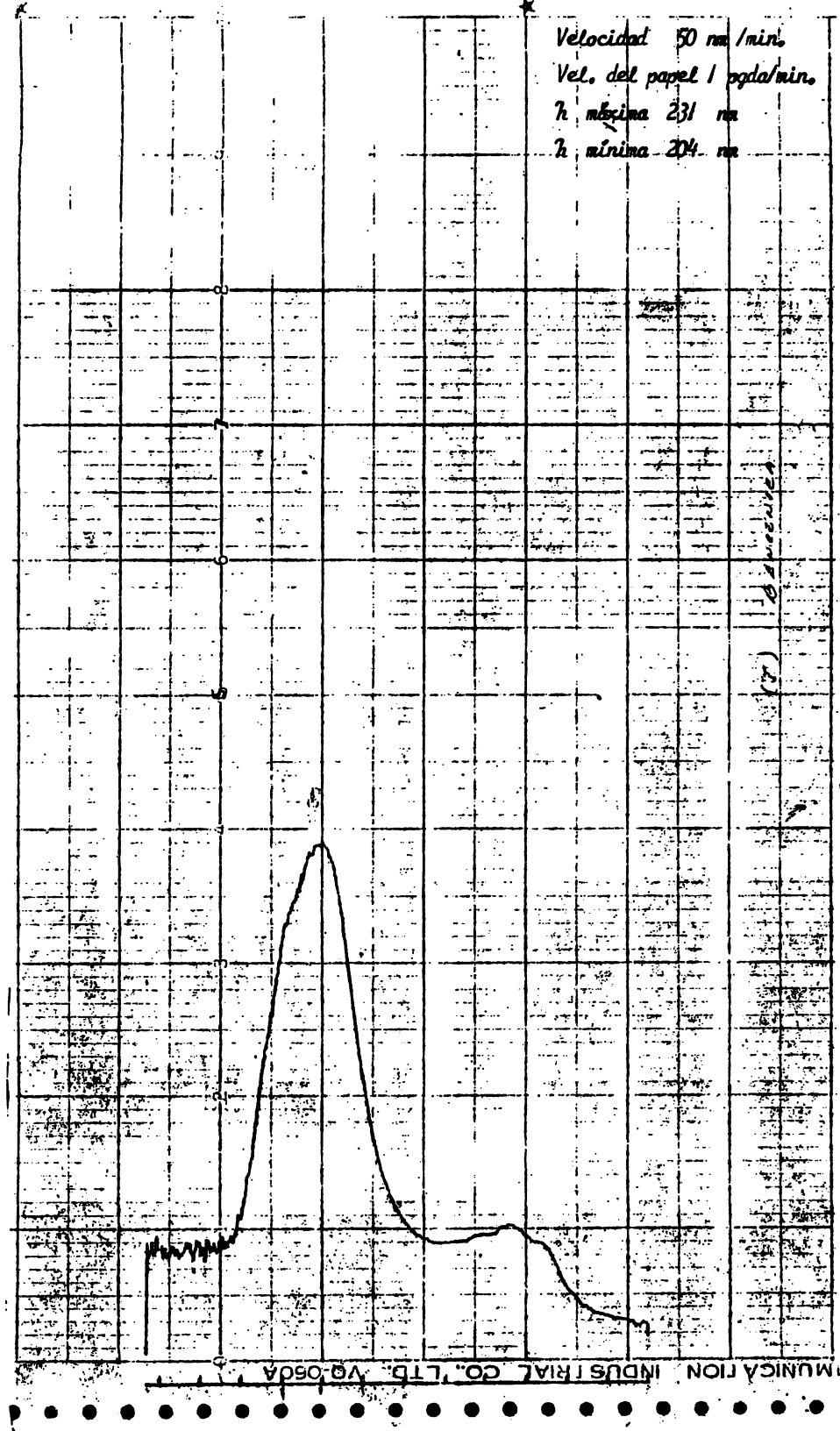
Velocidad 50 mm/min.  
Vel. del papel 1/pulg/min.  
h. máxima 226 mm  
h. mínima 205 mm



Velocidad 50 mm/min.  
Vel. del papel 1 pgd/min.  
h máxima 225 mm  
h mínima 210 mm

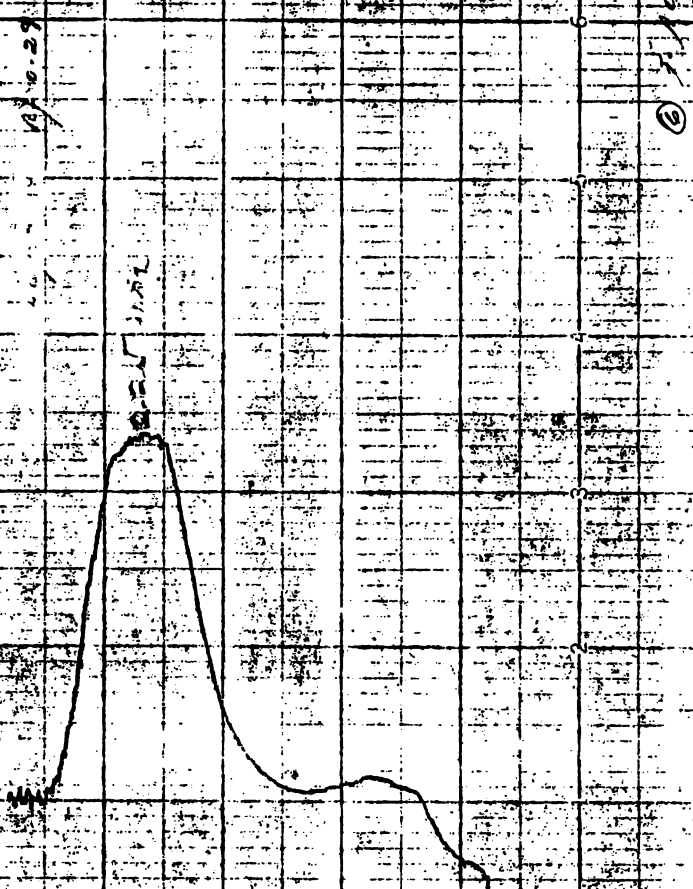


Velocidad 50 mm/min.  
Vel. del papel 1 pgda/min.  
h máxima 231 mm  
h mínima 204 mm

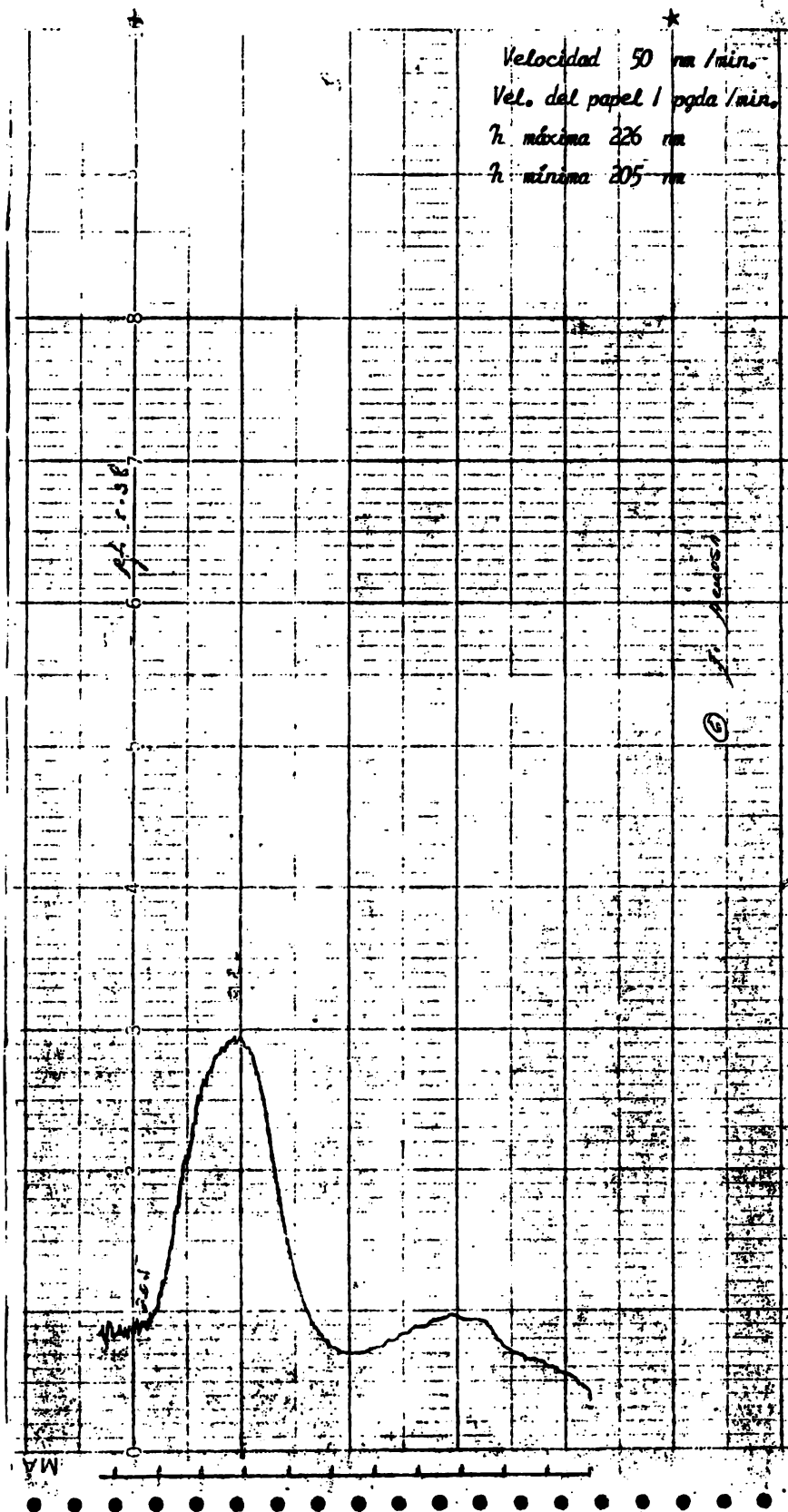


MUNICACION INDUSTRIAL CO., LTD. VQ-050A

Velocidad 50 mm/min.  
Vel. del papel 1 pgda/min.  
z máxima 225 mm  
z mínima 205 mm



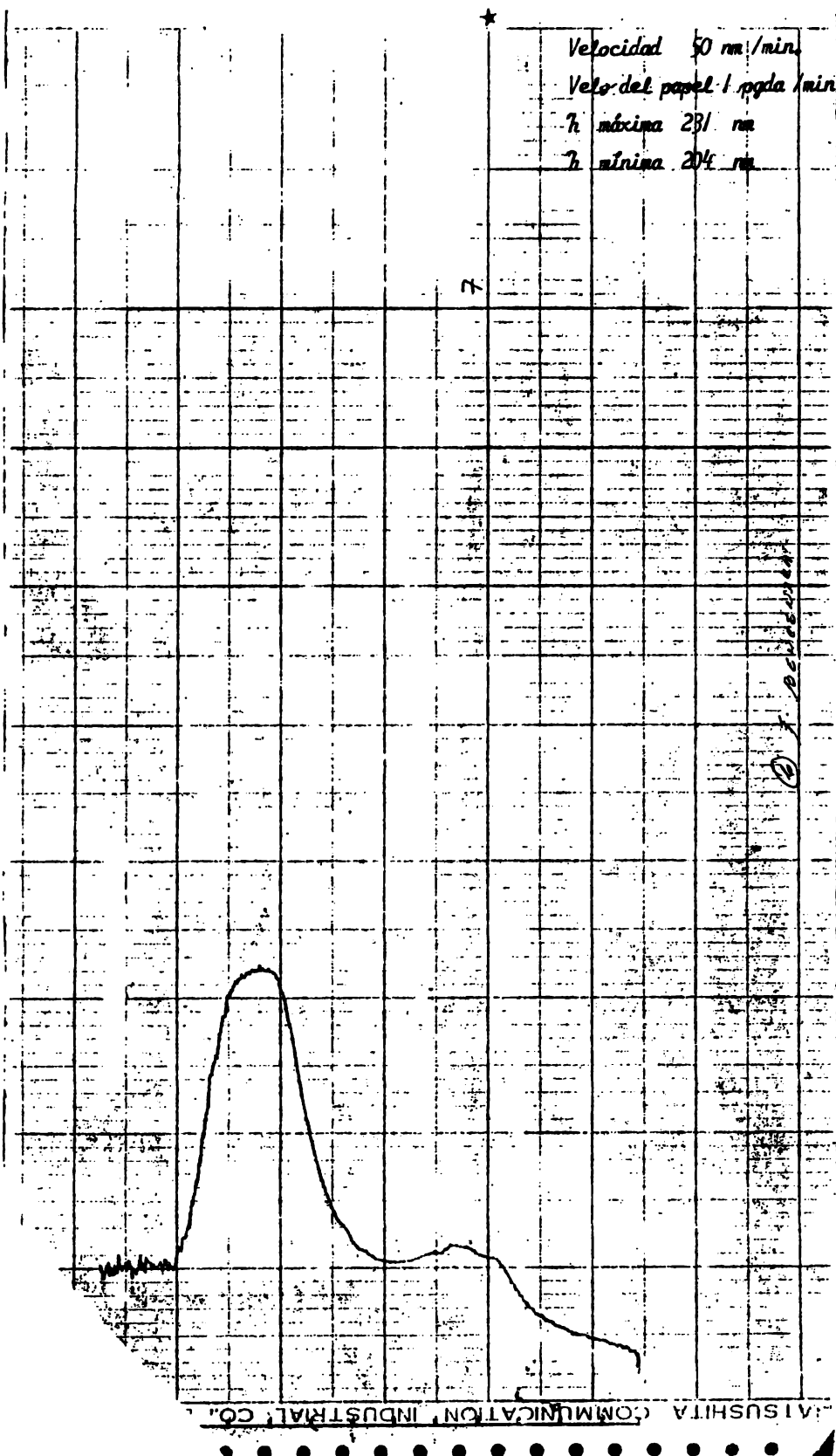
\*  
Velocidad 50 mm/min.  
Vel. del papel 1 pgda/min.  
h máxima 226 mm  
h mínima 205 mm



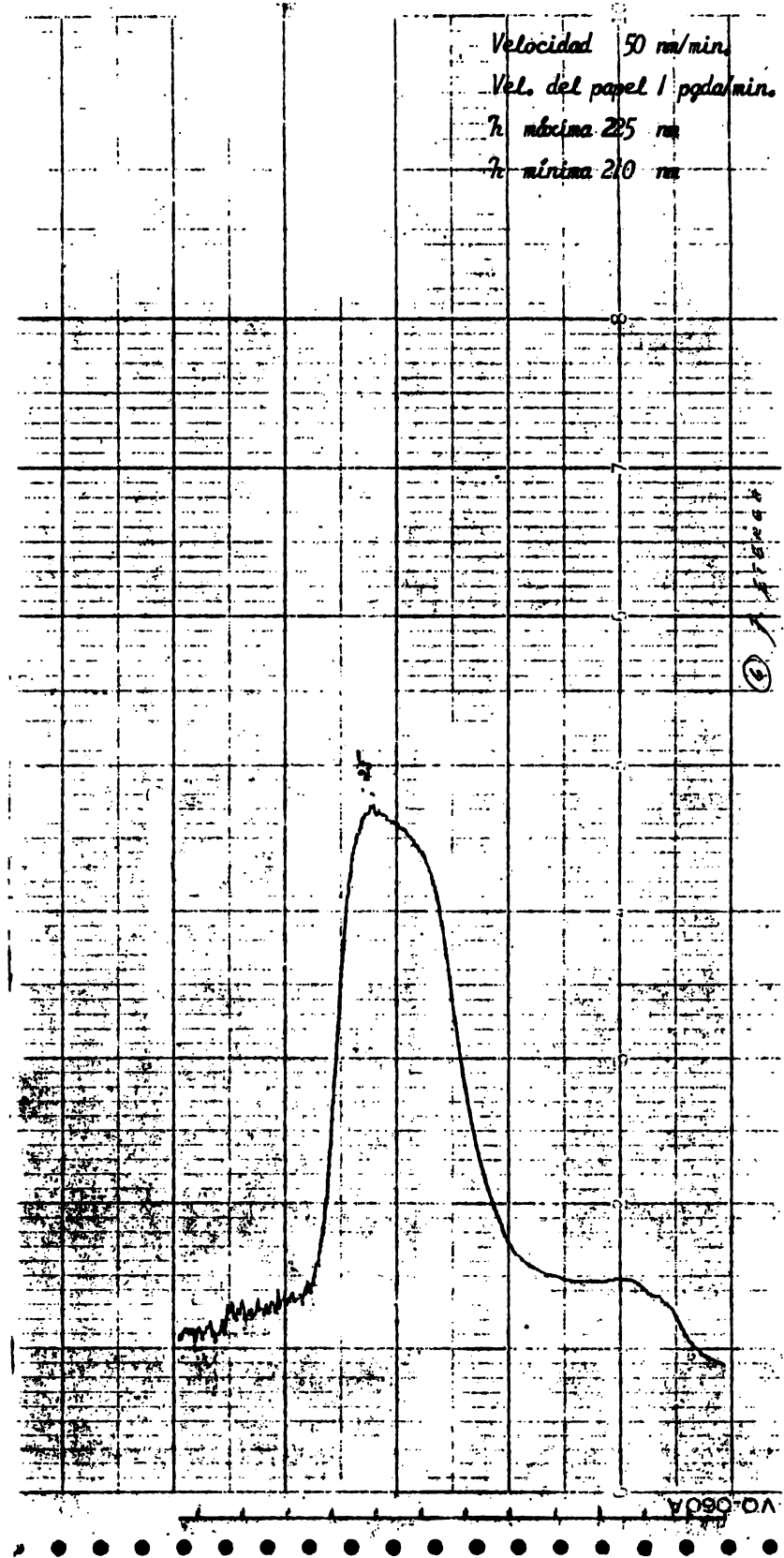
Velocidad 50 mm/min  
Velo del papel 1 pgda/min  
T<sub>m</sub> máxima 231 nm  
T<sub>m</sub> mínima 204 nm

74

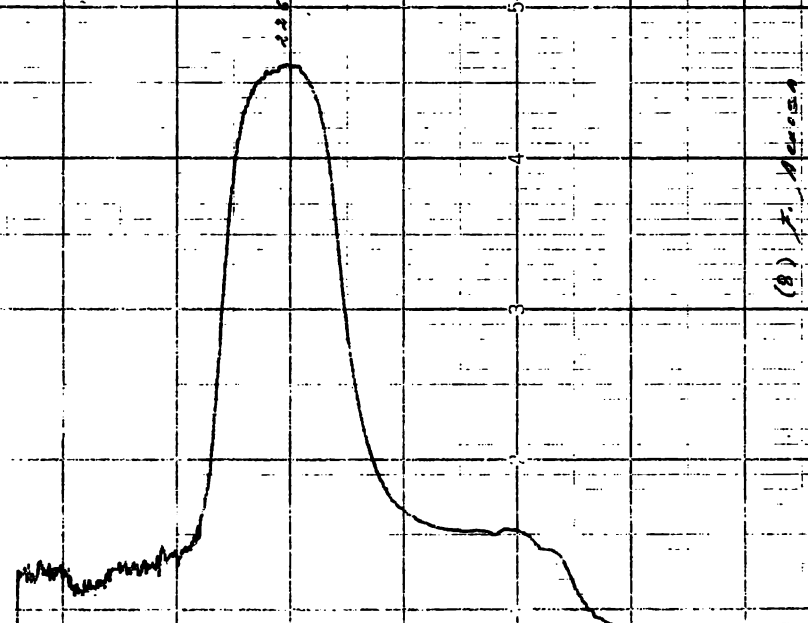
20000  
10000  
0



Velocidad 50 m/min  
Vel. del papel 1 pgd/min.  
T<sub>c</sub> máxima 225 mg  
T<sub>c</sub> mínima 210 mg

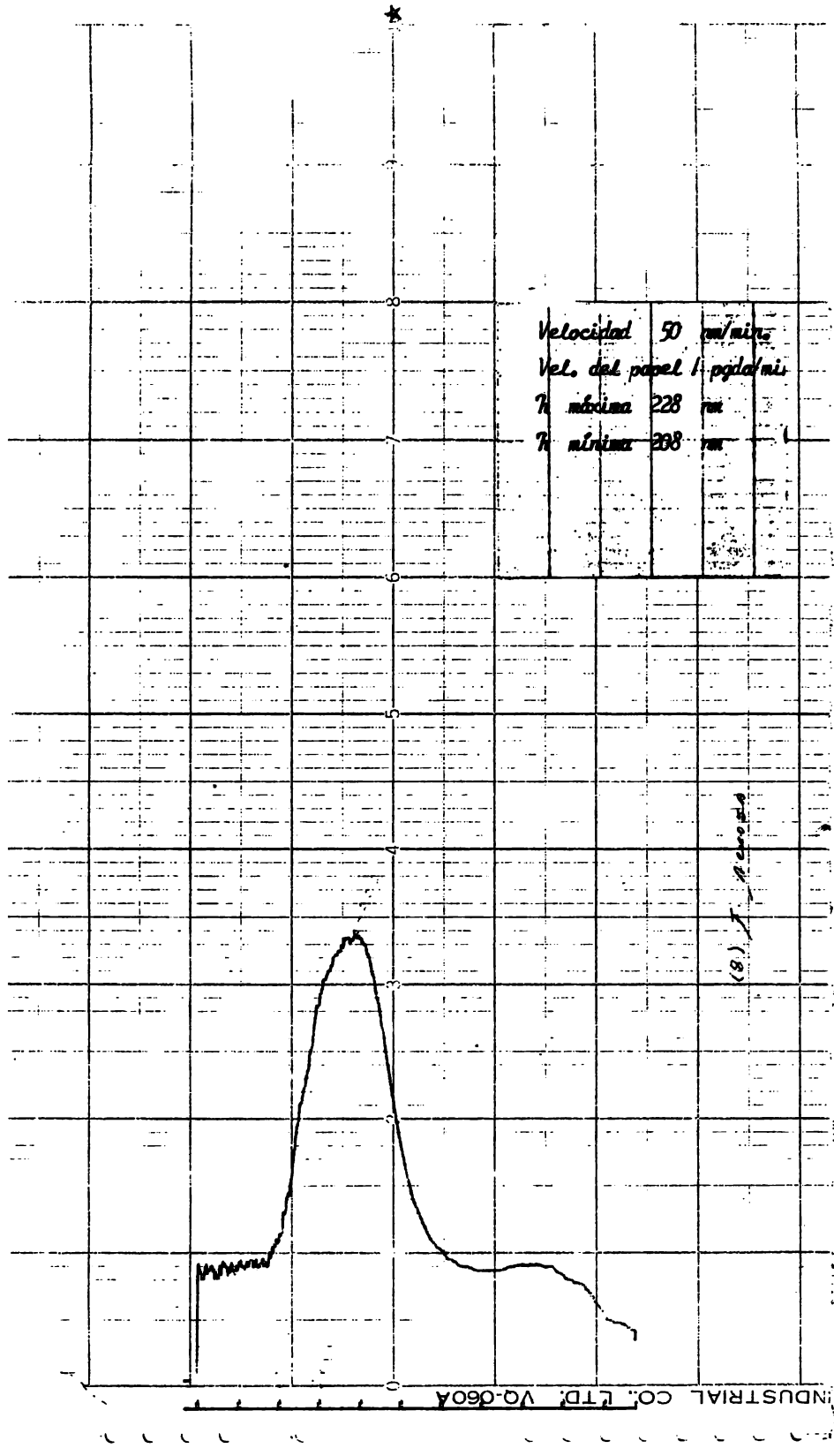


Velocidad 50 mm/min  
Vel. del papel 1 pgda/min  
R. máxima 228 mm  
R. mínima 200 mm



Velocidad 50 cm/min  
Vel. del papel 1 pgd/min  
T<sub>m</sub> máxima 228 nm  
T<sub>m</sub> mínima 208 nm

2000  
(18)

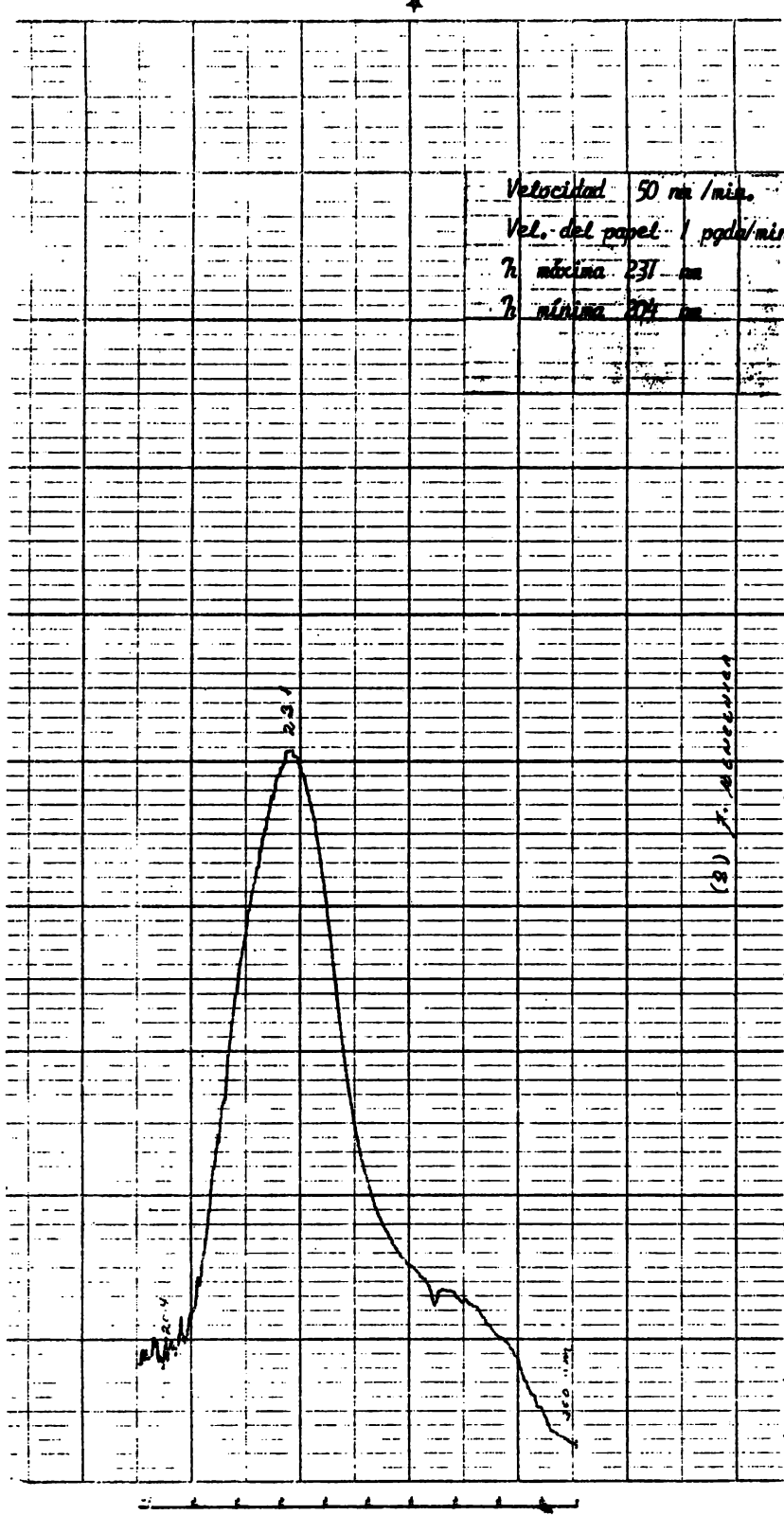


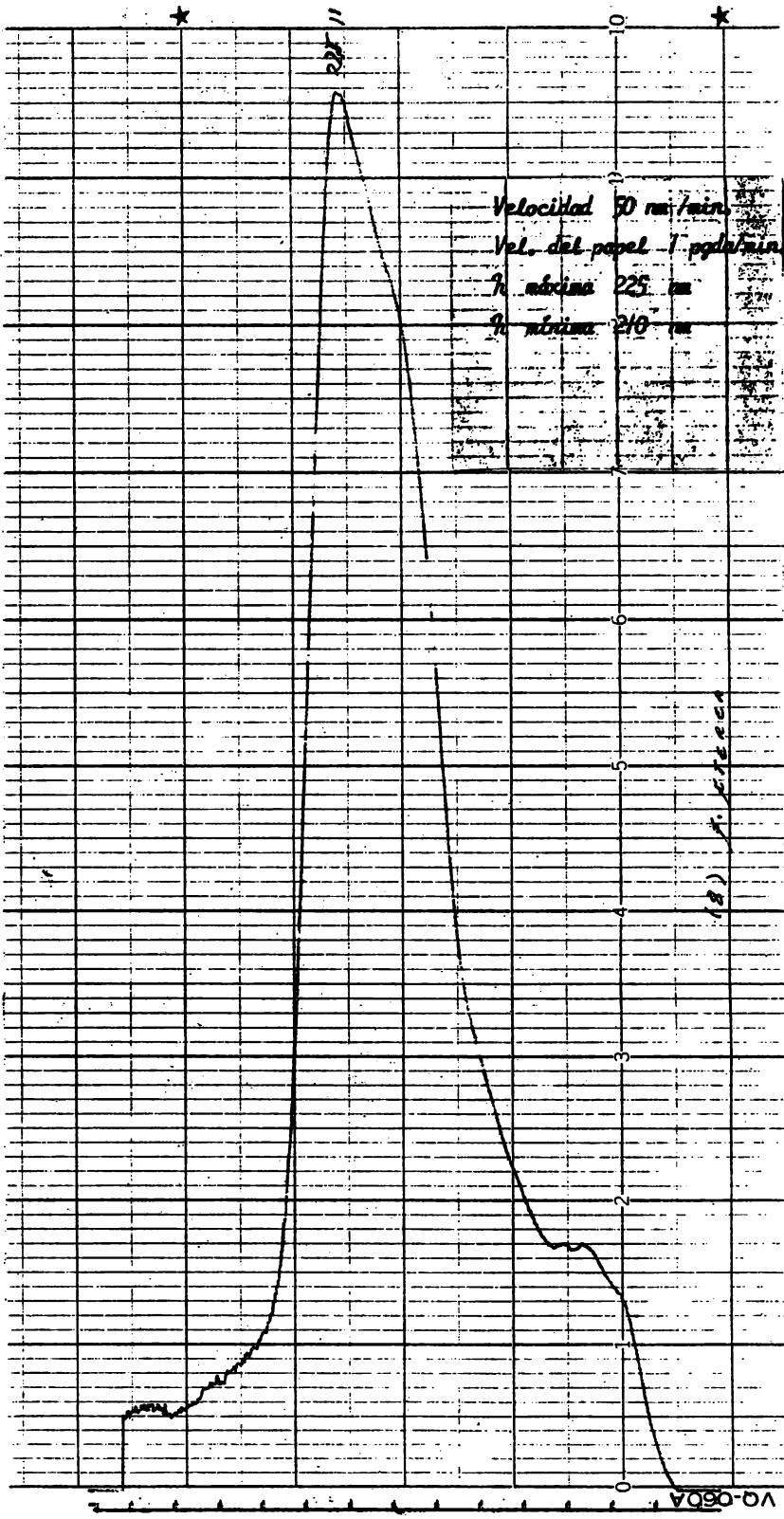
Velocidad 50 mm/min.

Vel. del papel 1 pgda/min

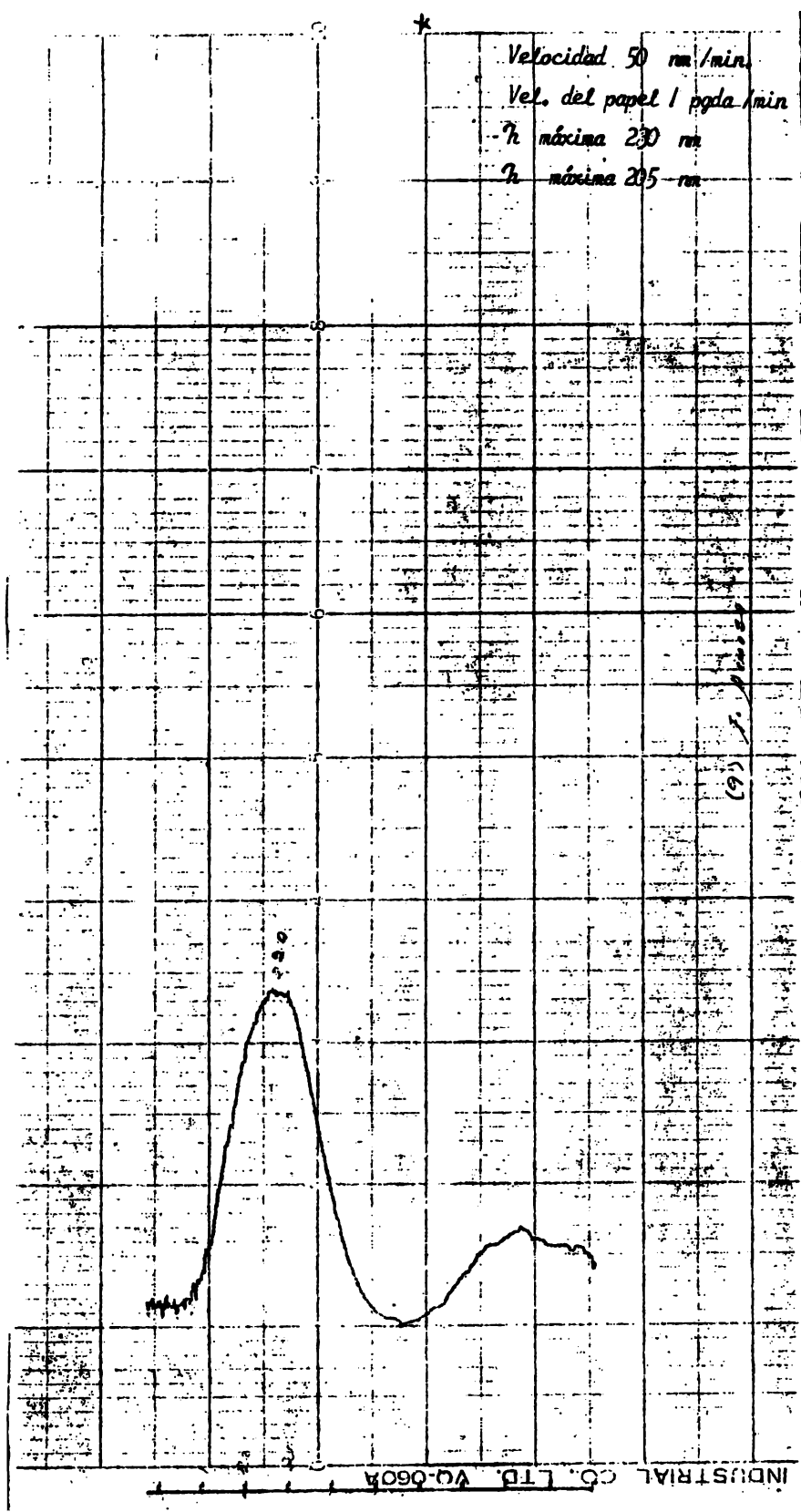
h máxima 231 mm

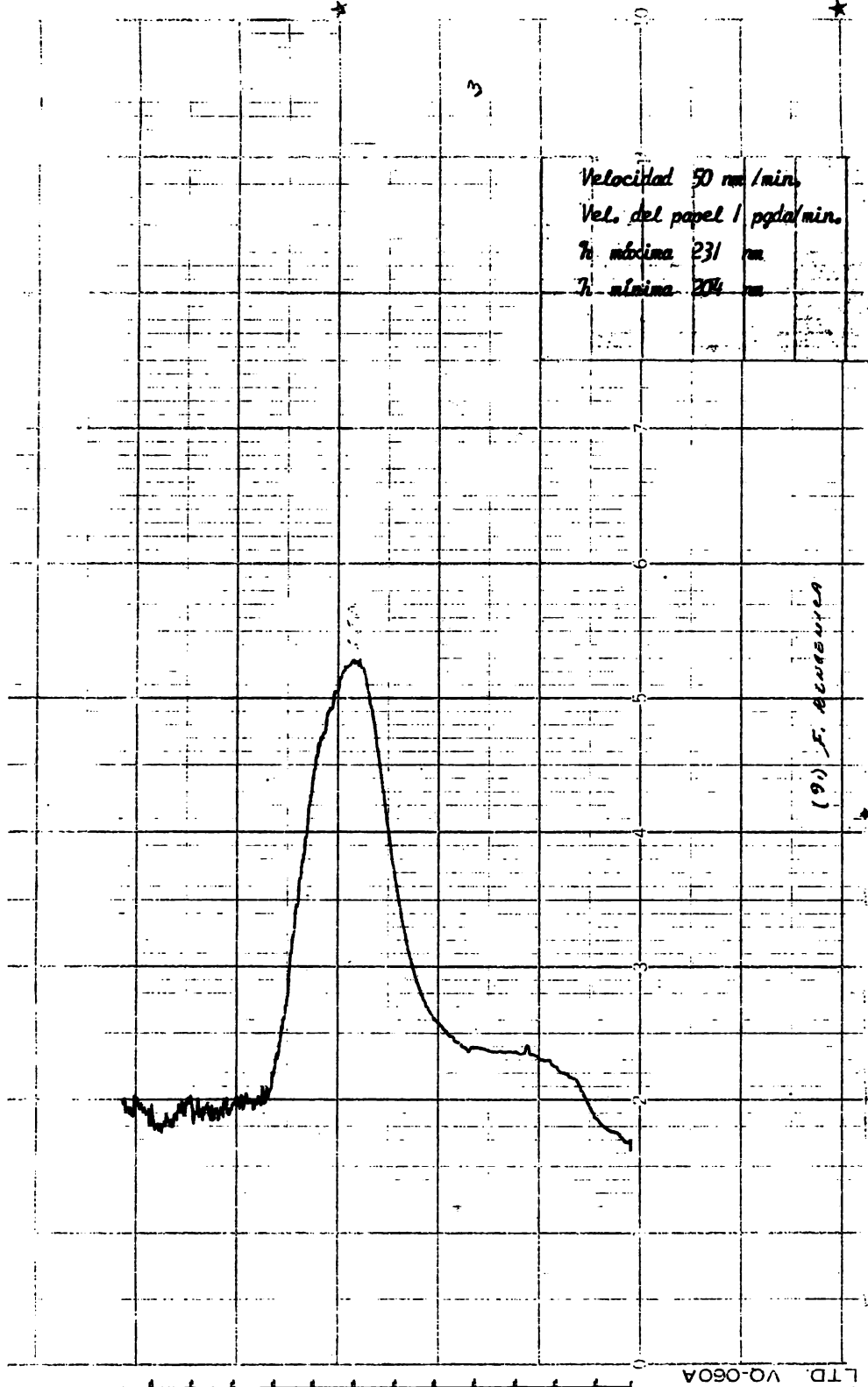
h mínima 201 mm



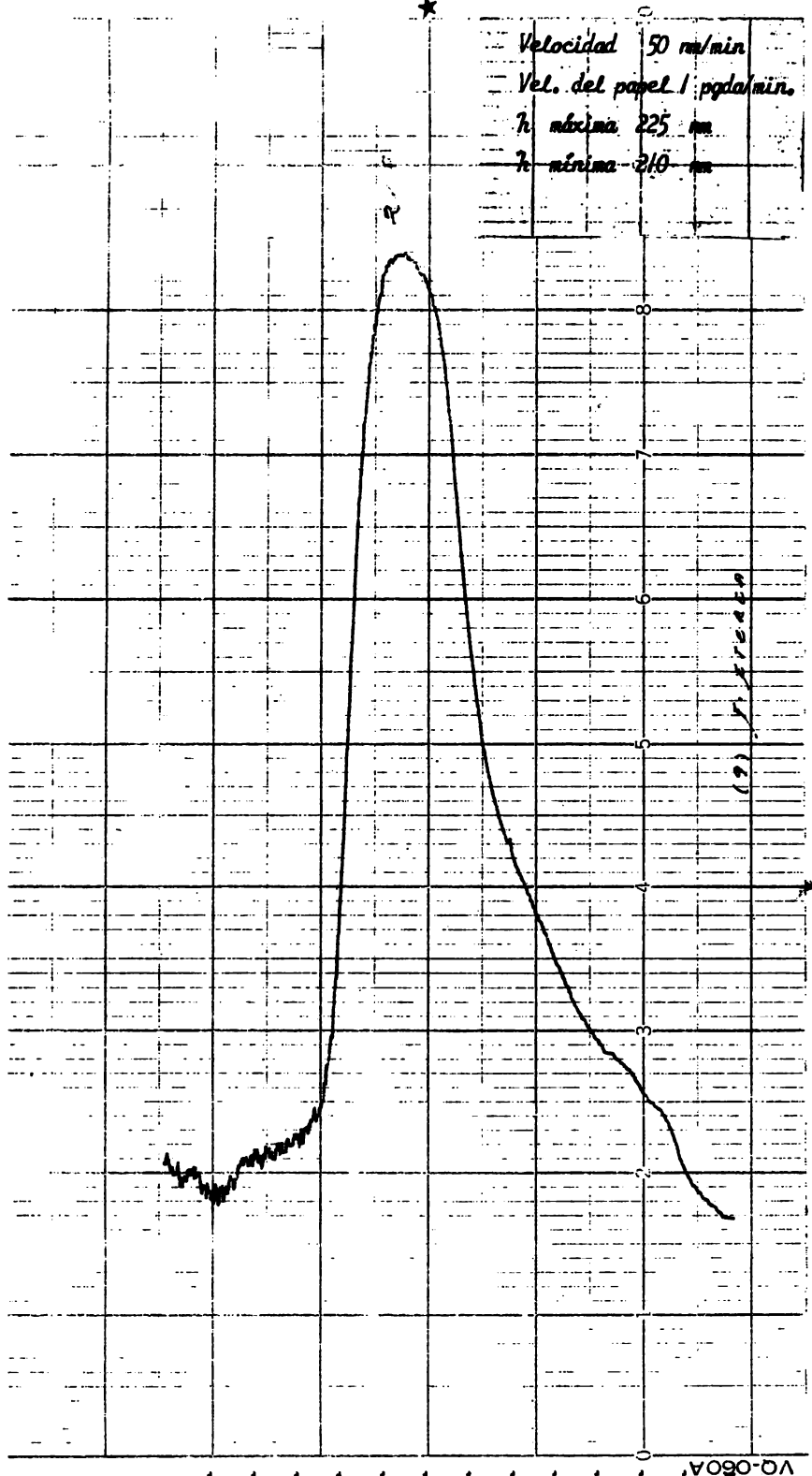


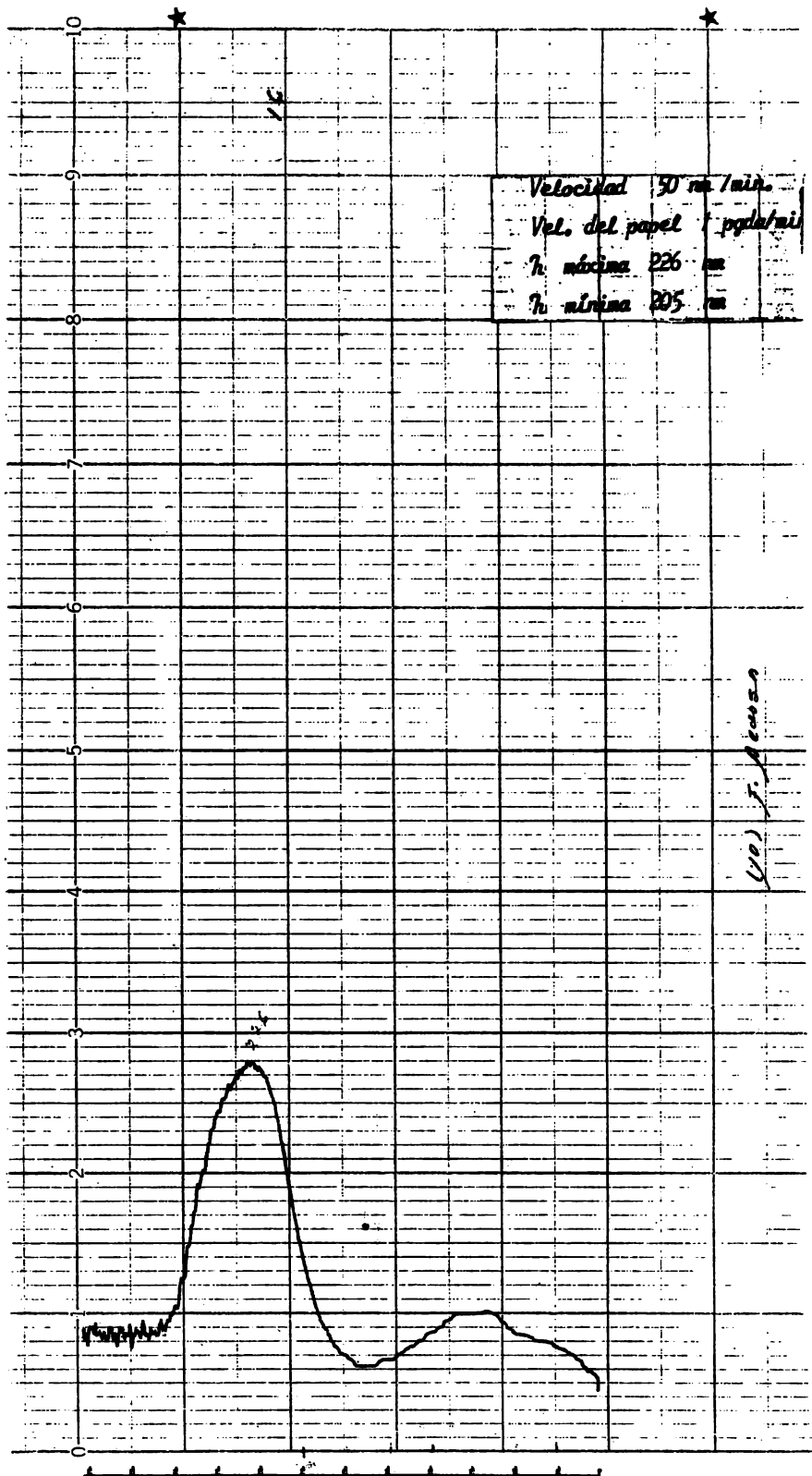
Velocidad 50 mm/min  
Vel. del papel 1 paga/min  
 $\eta$  máxima 230 m  
 $\eta$  mínima 205 m

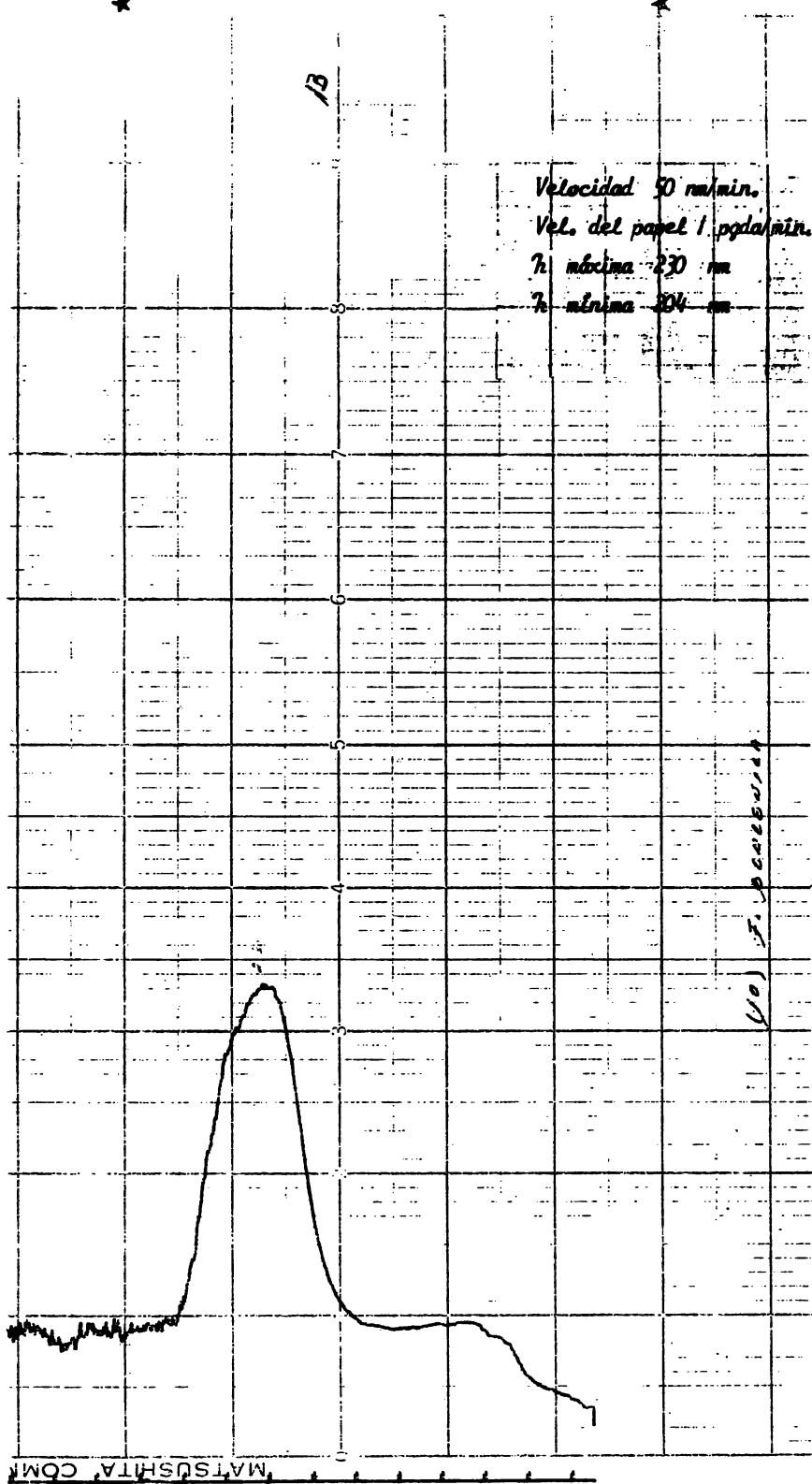


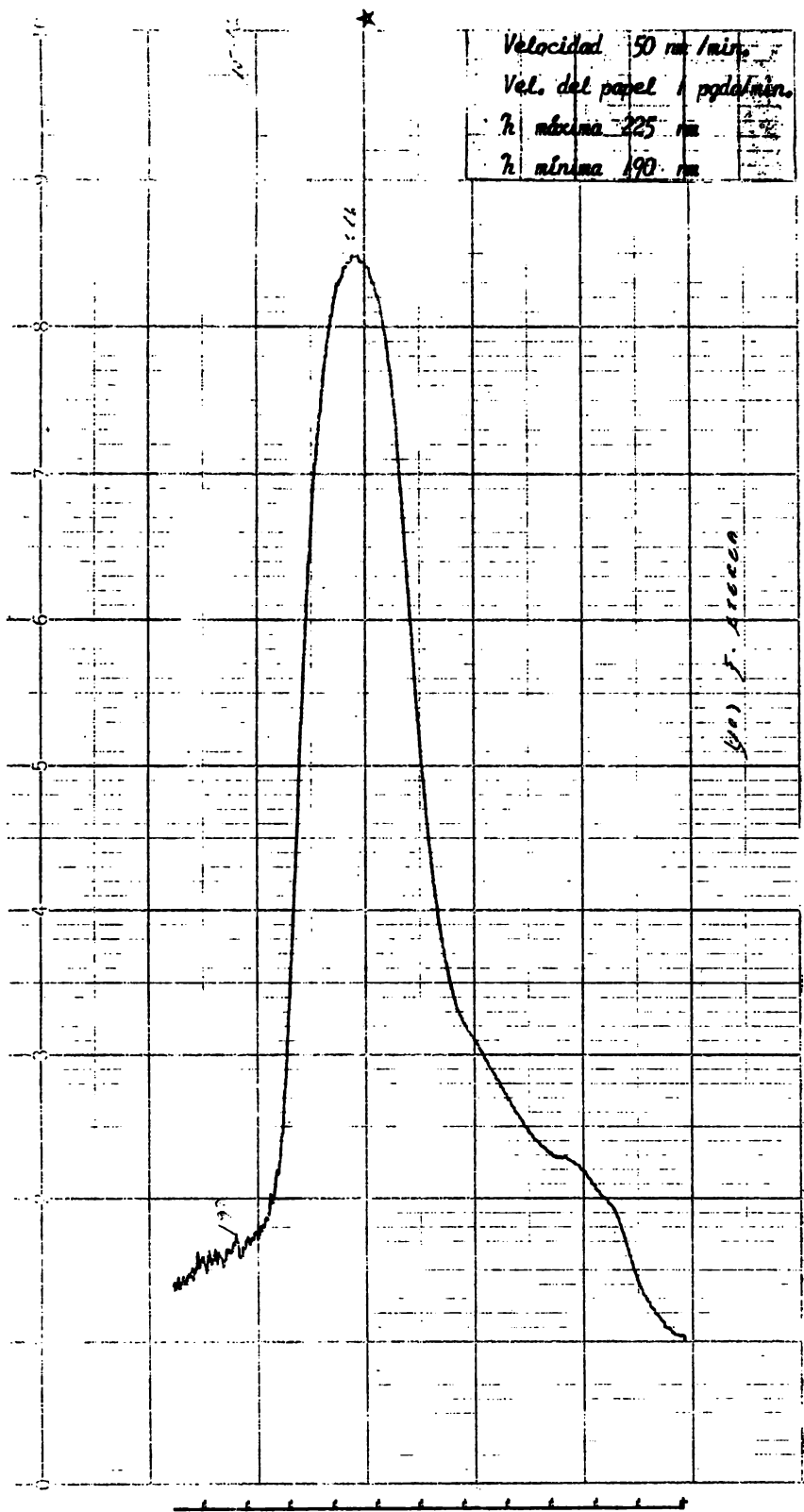


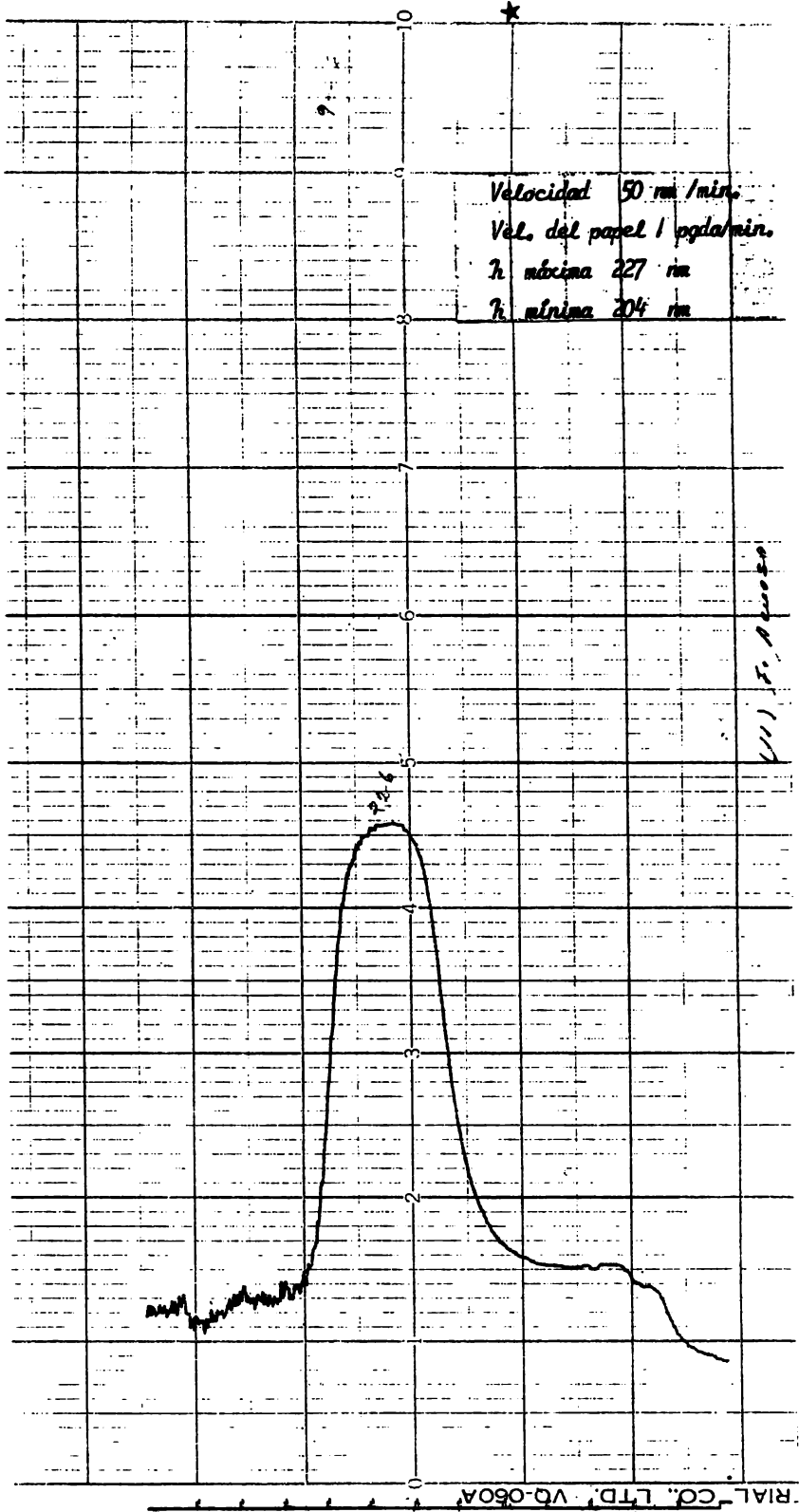
Velocidad 50 m/min  
Vel. del papel 1 pgda/min.  
h máxima 225 mm  
h mínima 210 mm



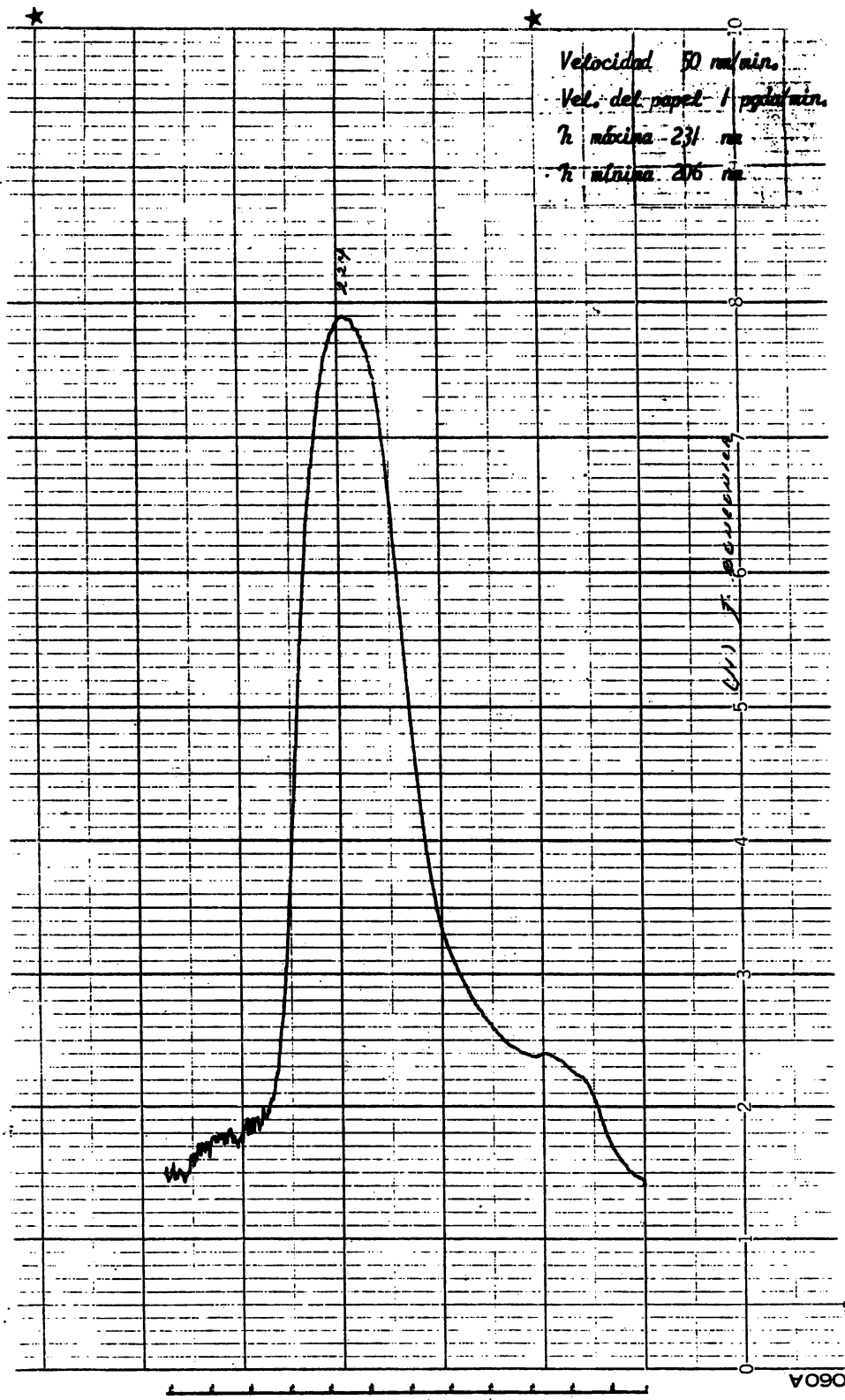






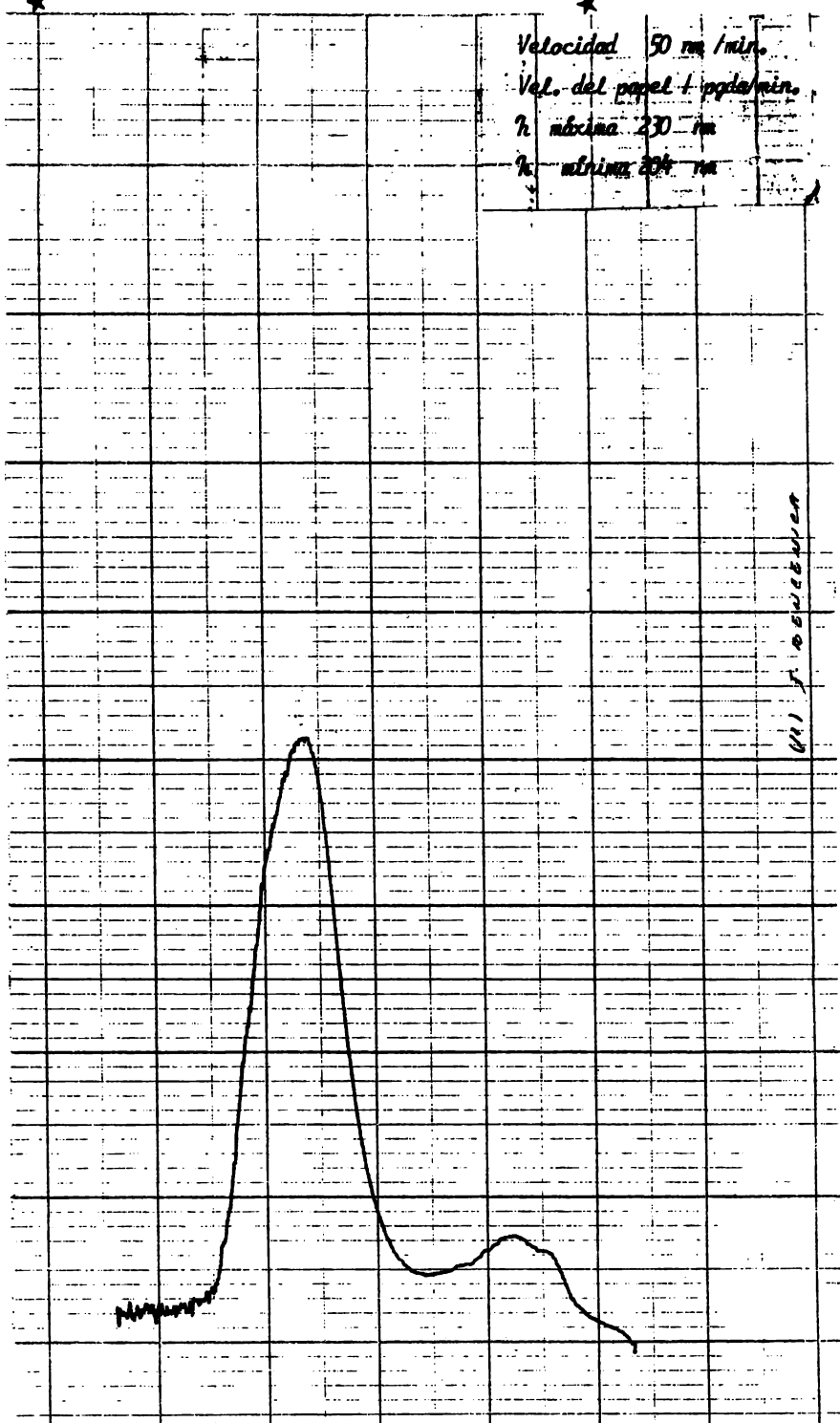


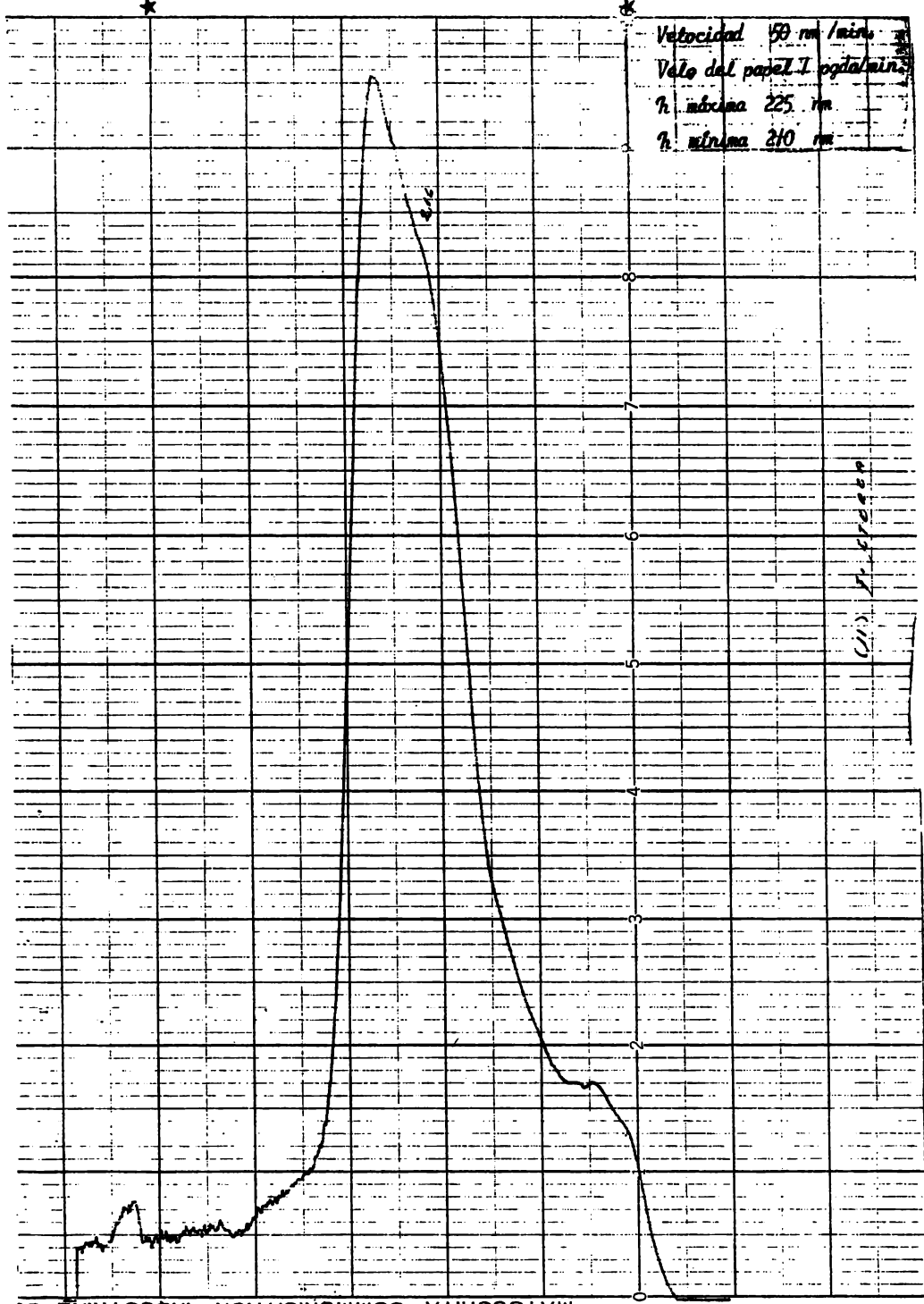
Velocidad 50 mm/min.  
Vel. del papel 1 pg/min.  
 $n$  máxima 231 mm  
 $n$  mínima 206 mm



060A

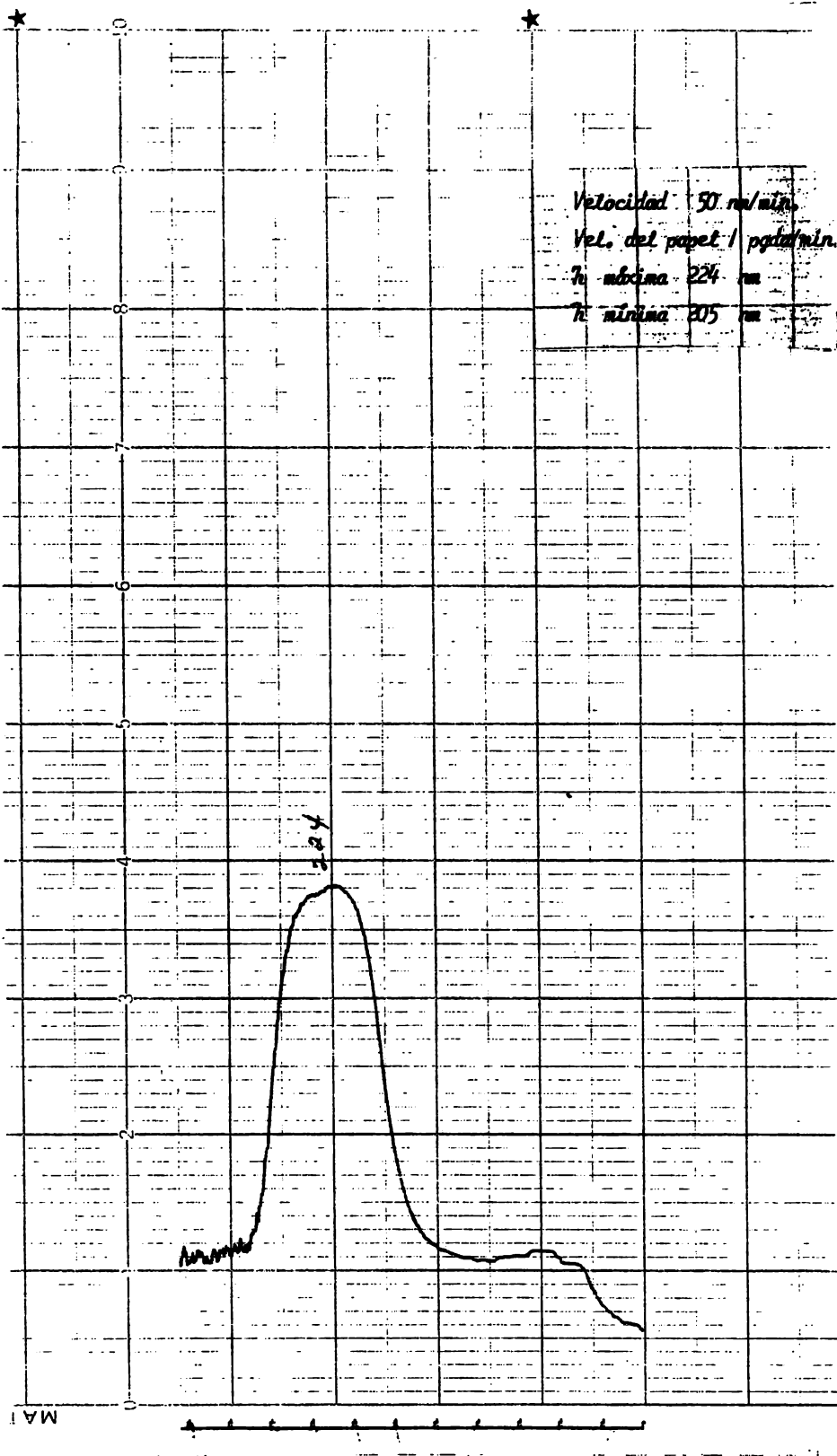
Velocidad 50 mm /min.  
Velo. del papel + polea  
n. máxima 230 mm  
n. mínima 204 mm



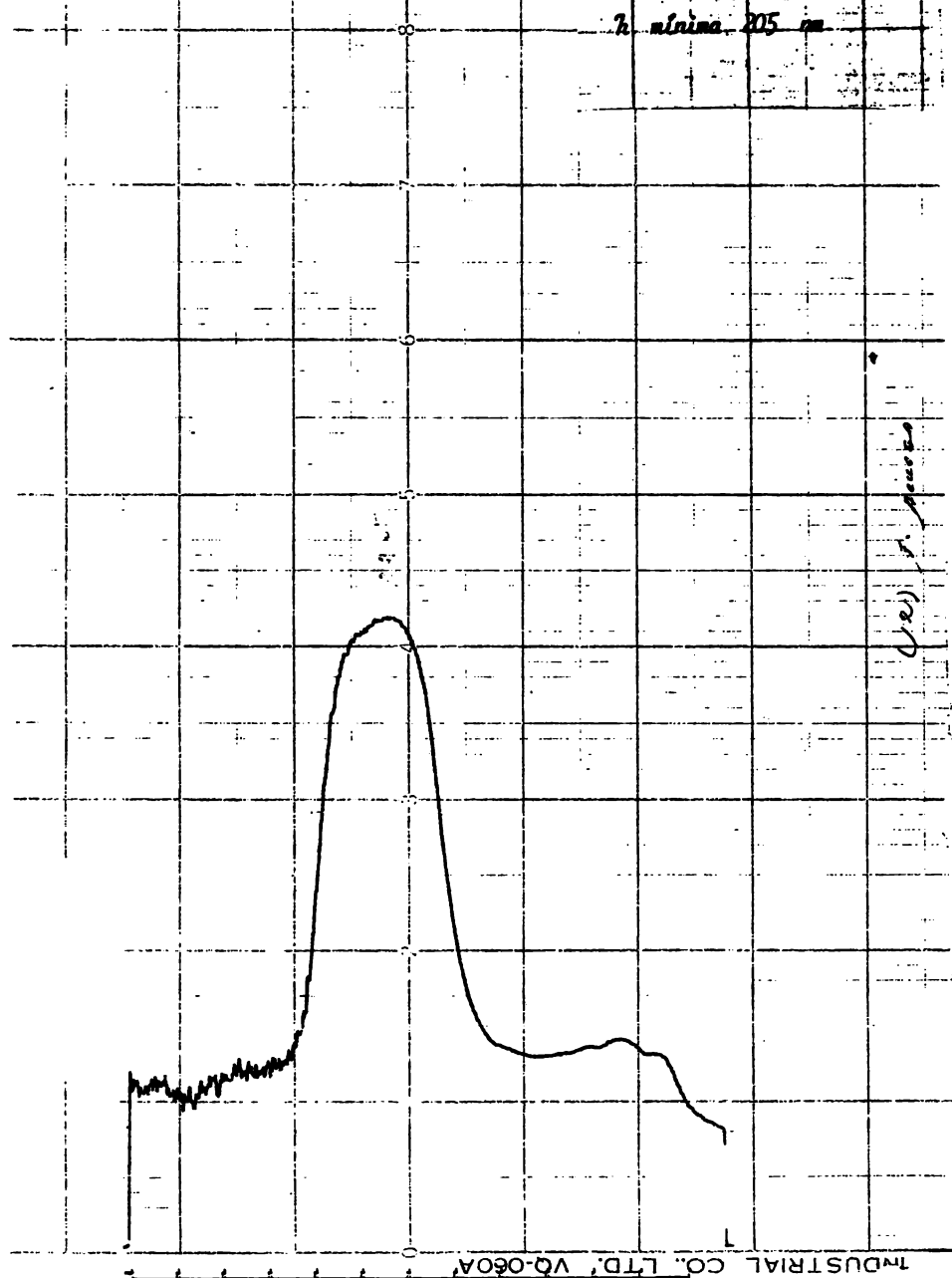


MATSUSHITA COMMUNICATION INDUSTRIAL CO.

Velocidad: 50 mm/min.  
Vel. del papel / pgto/min.  
 $h_{\text{máxima}} = 224 \text{ mm}$   
 $h_{\text{mínima}} = 205 \text{ mm}$

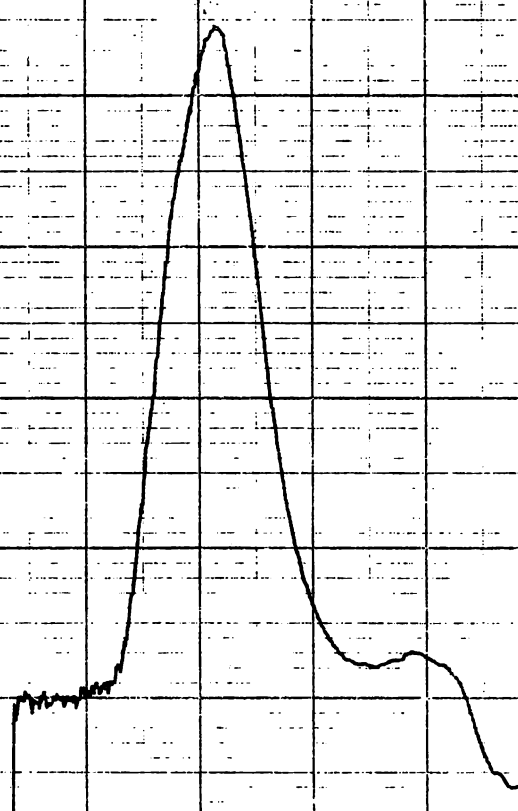


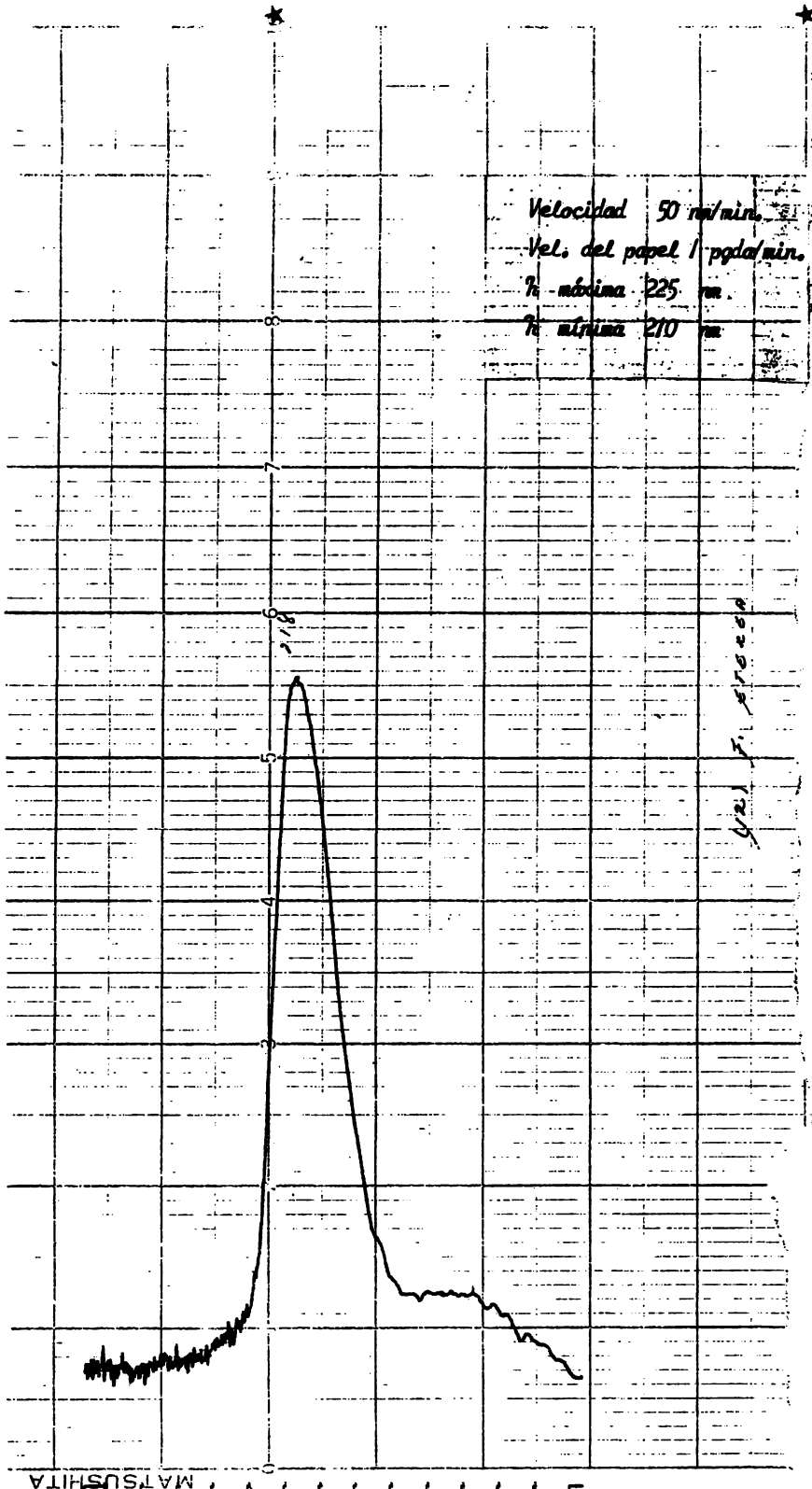
Velocidad 50 cm/min.  
Vel. del papel 1 pgda/min  
h. máxima 225 cm  
h. mínima 205 cm



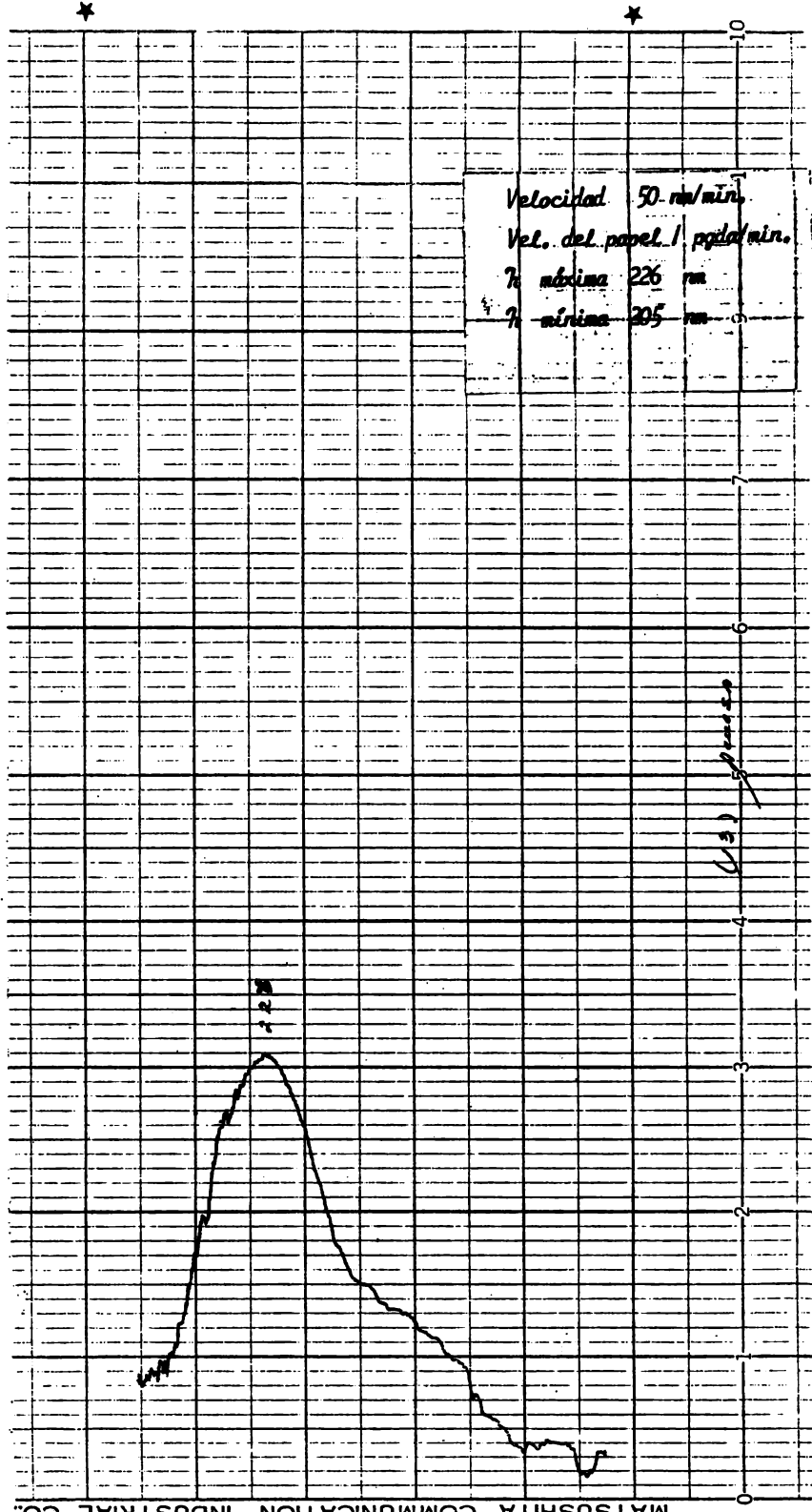
Velocidad 50 m/min  
Vel. del papel 1 pgda/min  
h máxima 210 cm  
h mínima 204 cm

520 f secuencia

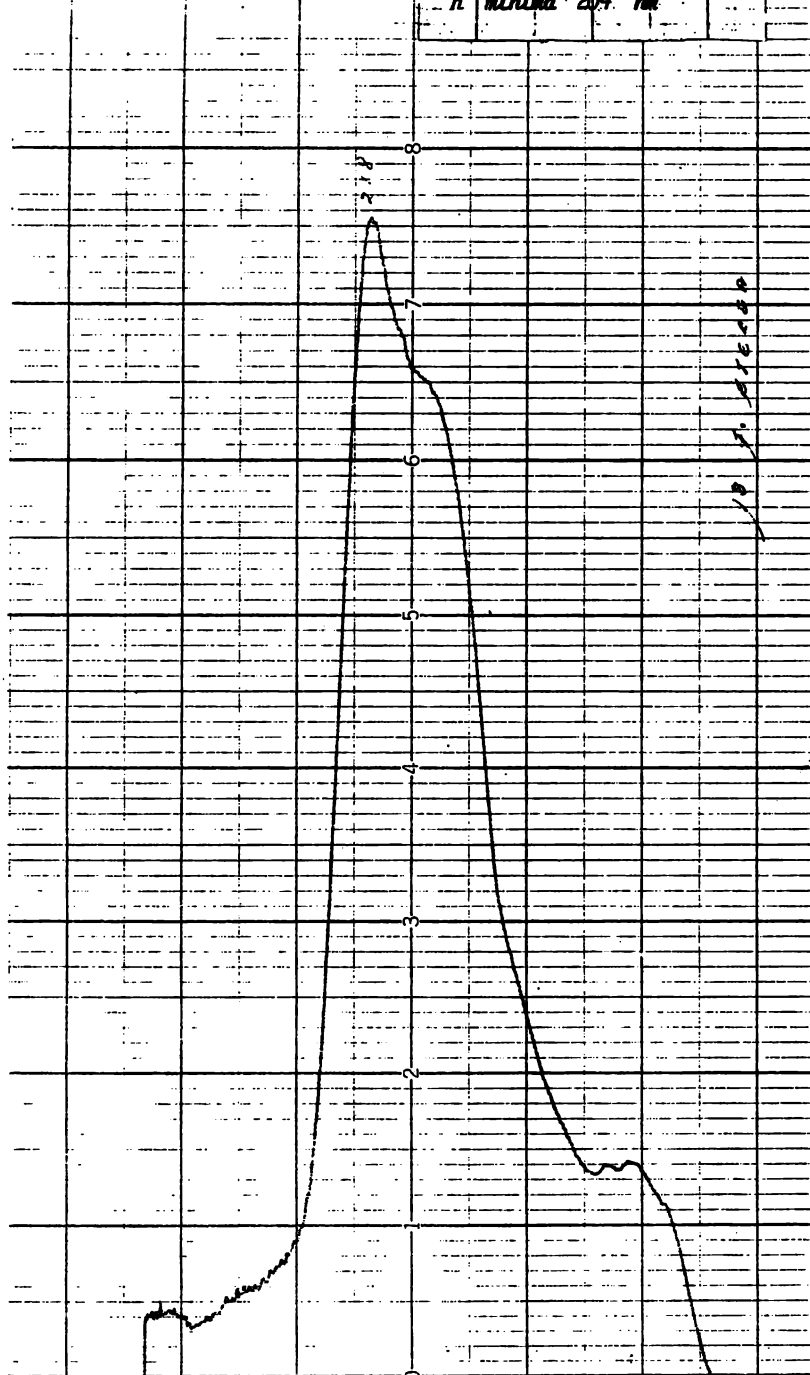


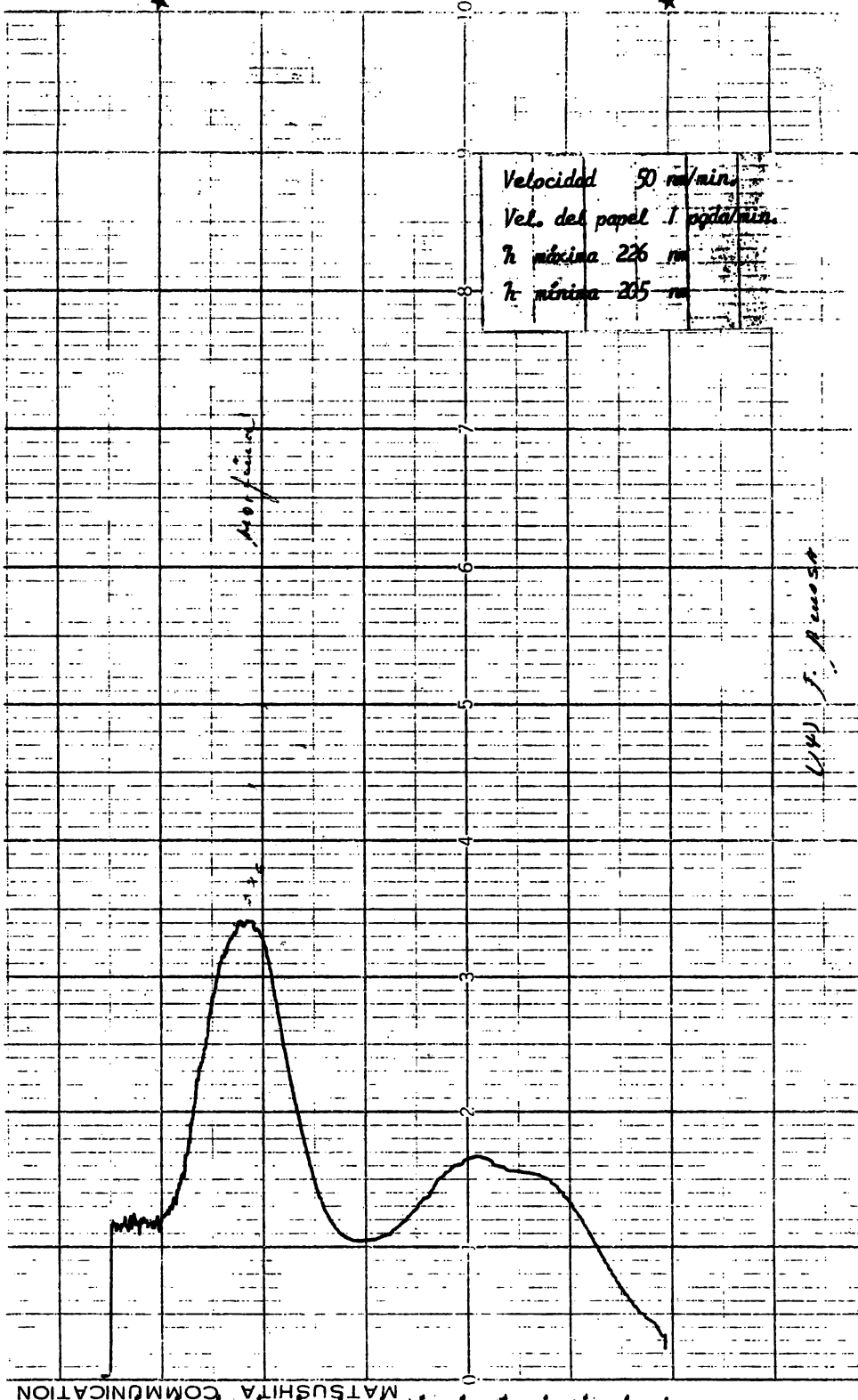


MATSUSHITA

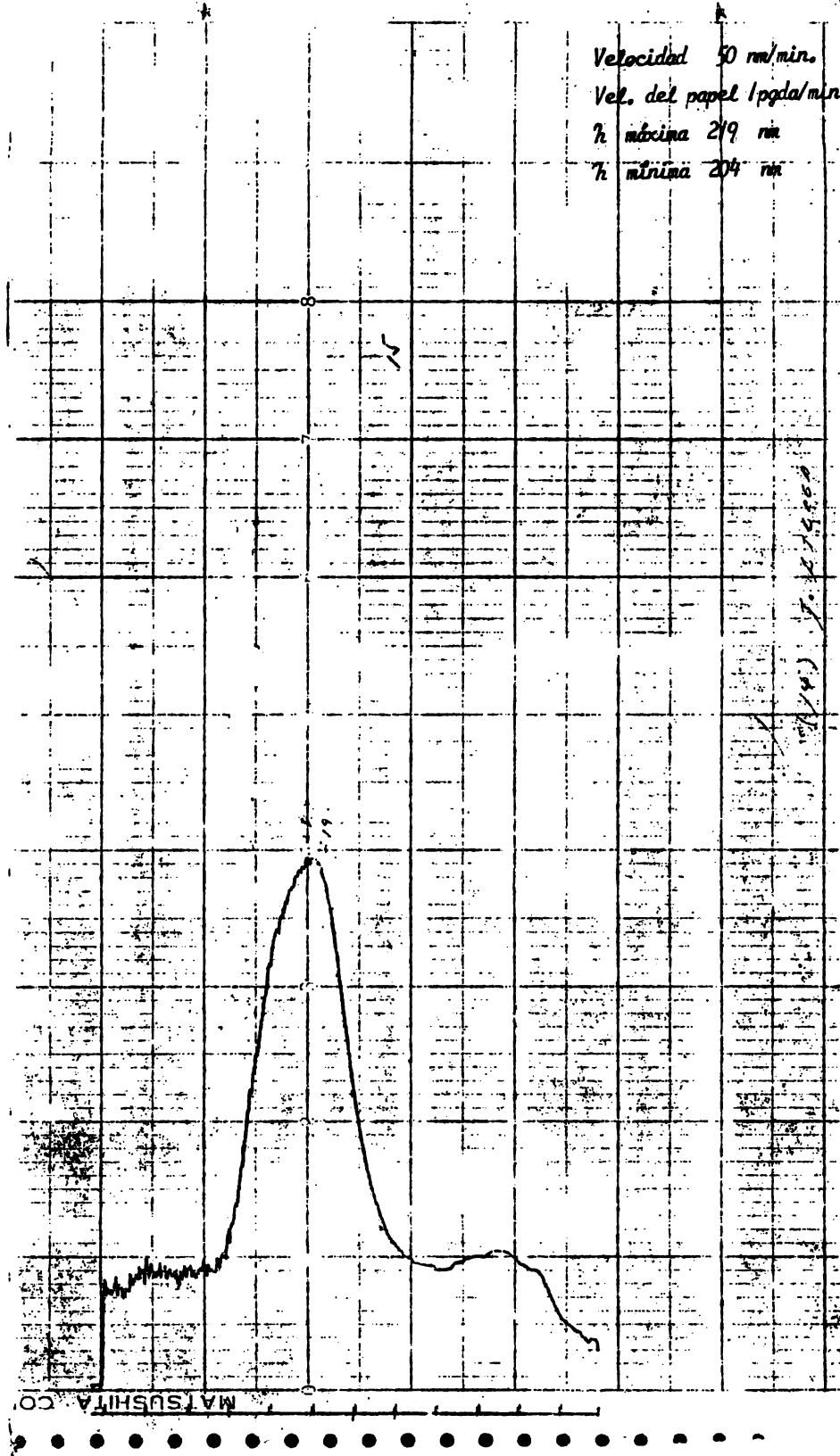


Velocidad 50 mm/min.  
Vel. del papel 1 ppda/min.  
 $h_{\text{máxima}} 218 \text{ mm}$   
 $h_{\text{mínima}} 201 \text{ mm}$

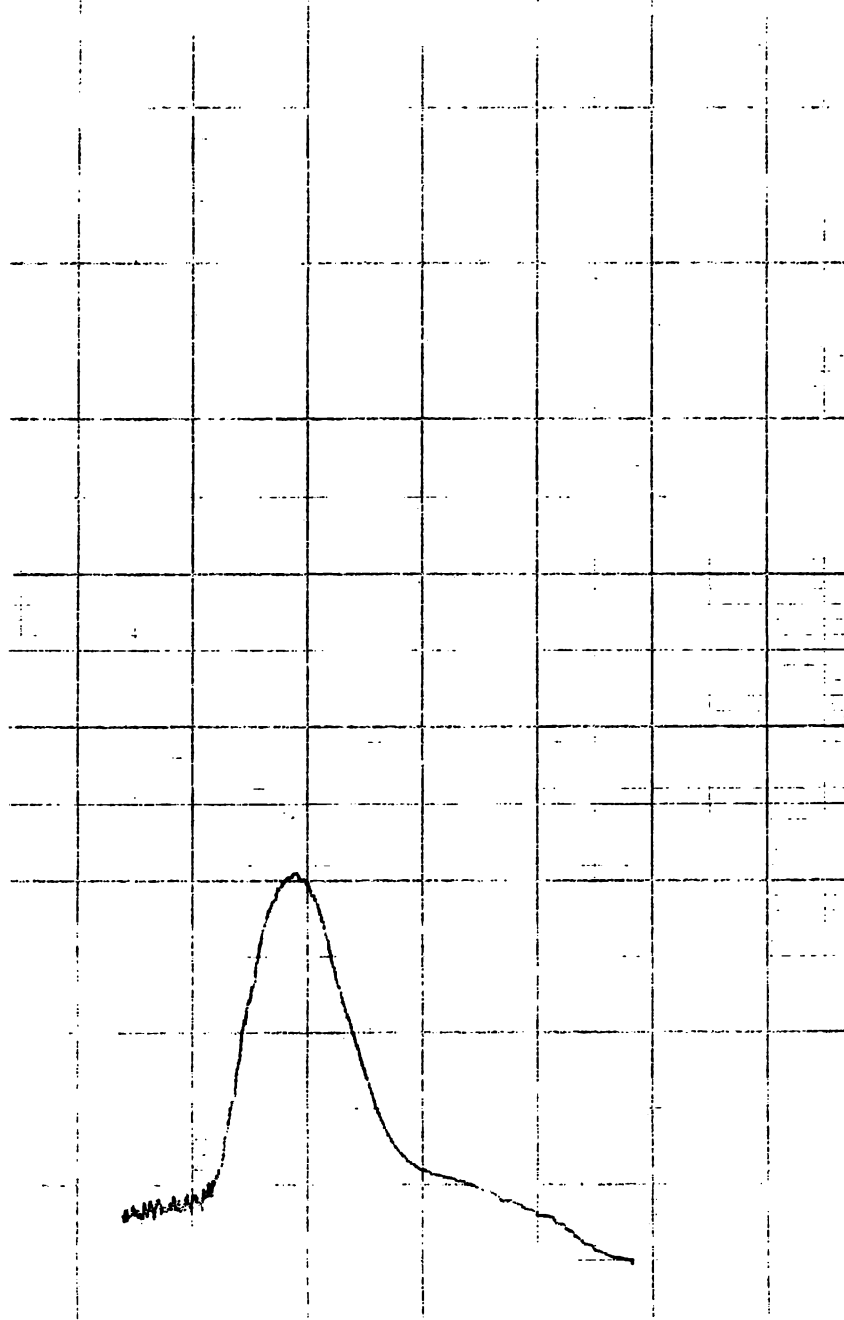


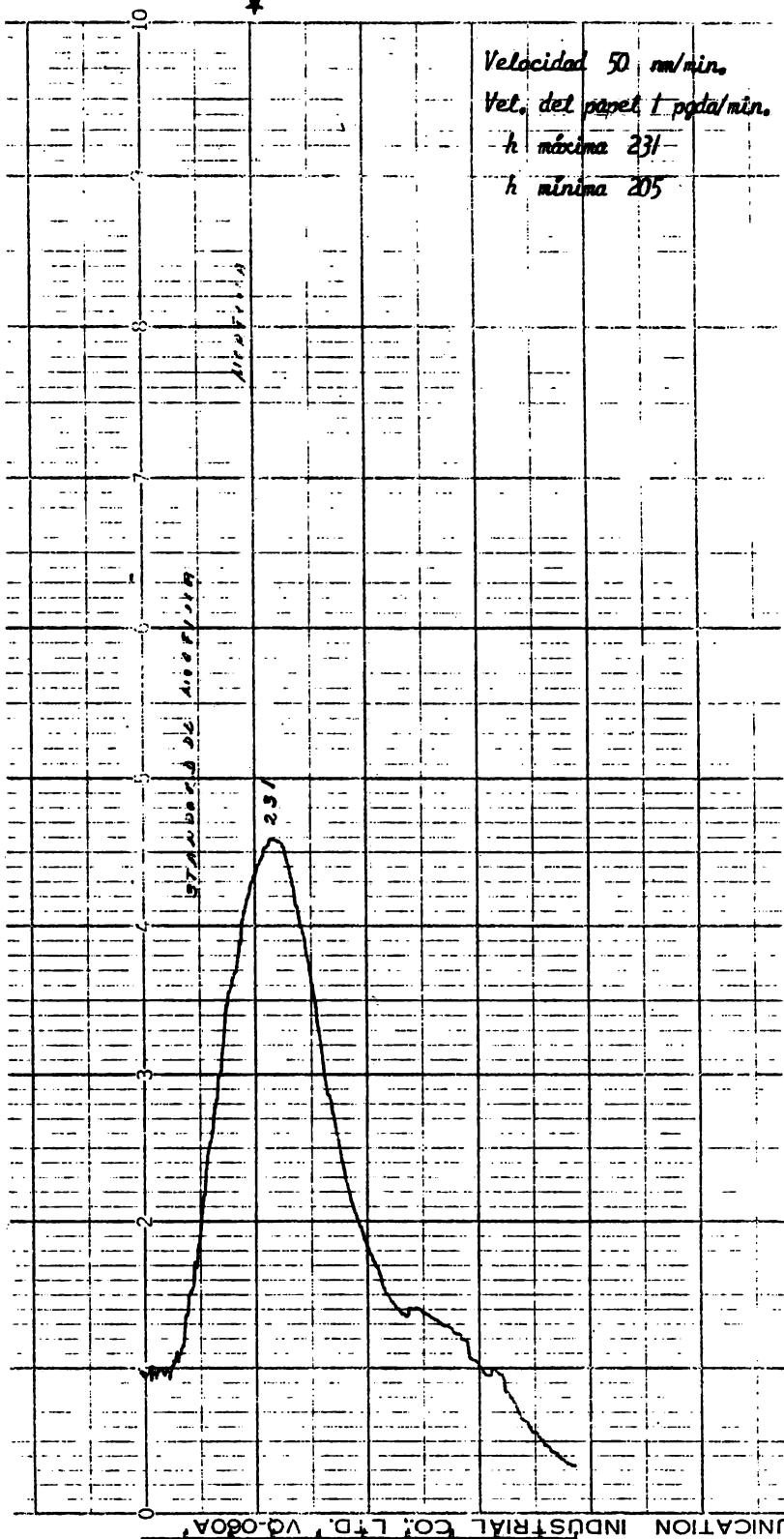


Velocidad 50 nm/min.  
 Vel. del papel 1 pgda/min.  
 h máxima 2/9 nm  
 h mínima 2/4 nm

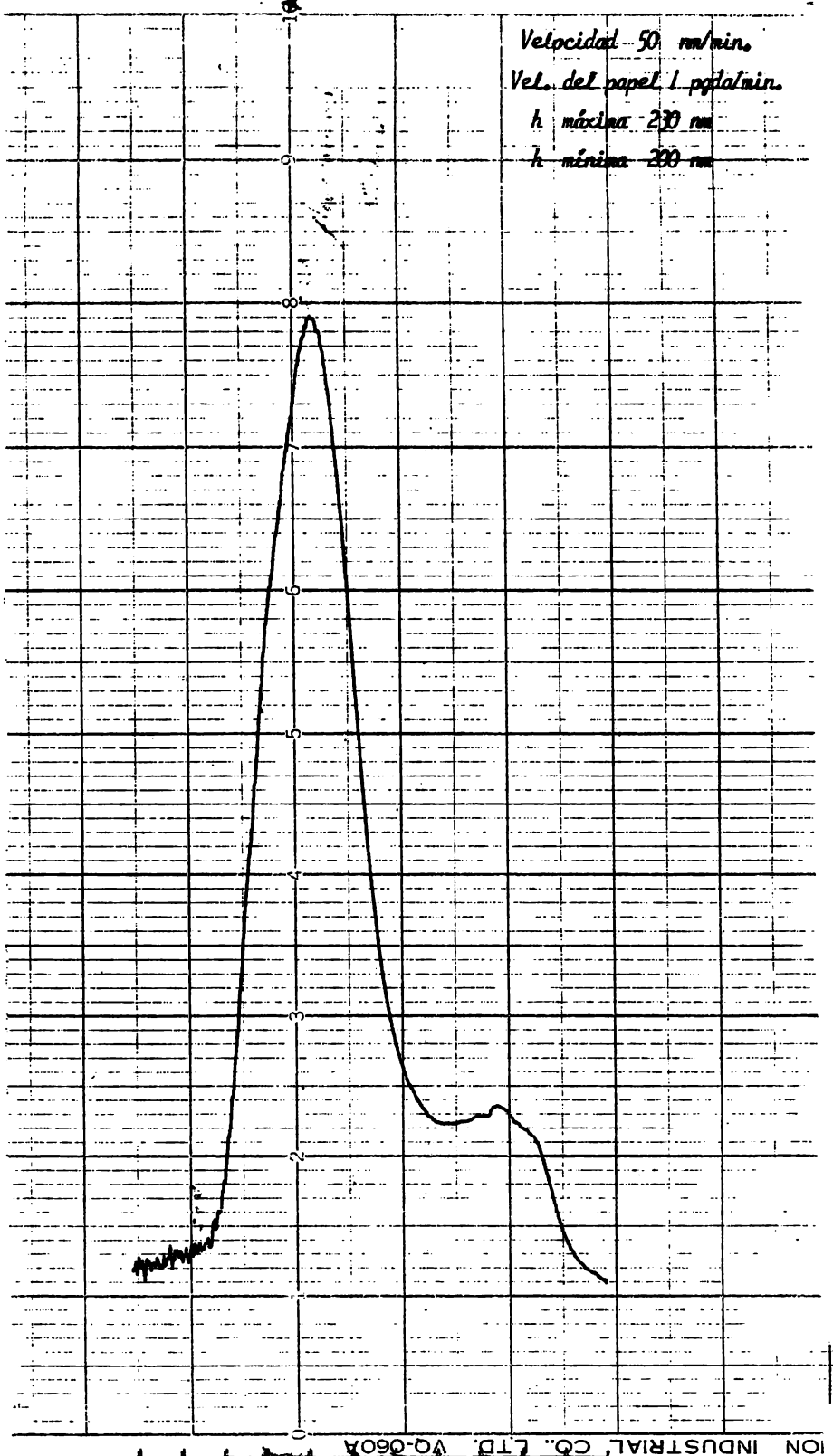


Velocidad 50 mm/min.  
Vel. del papel 1 pgda/min  
h máxima 225 nm  
h mínima 210 nm





JUNCAZION INDUSTRIAL CO. LTD., V.G.-O.G.A.



IV

Analisis de Resultados

#### IV.- ANÁLISIS DE RESULTADOS

La literatura nos reporta diferentes  $R_f$ . según el sistema usado, para la heroína, morfina, monoacetyl morfina y novocaina. Para la Heroína nos reporta los siguientes  $R_f$ . : 0.45, 0.76, 0.35

Absorción en el espectro ultravioleta: en etanol presenta un máximo de  $281\text{nm}$  y un mínimo de  $262\text{nm}$ .

Para la morfina nos reporta los siguientes  $R_f$ . 0.11, 0.27, 0.34

Absorción en el espectro ultravioleta: en etanol un máximo de  $287\text{nm}$  y un mínimo de  $263\text{nm}$ .

Para la monoacetyl morfina nos reporta (1) los siguientes  $R_f$ . : 0.44, 0.40 y  
Absorción en el espectro ultravioleta 0.64 .

Absorción en el espectro ultravioleta : en etanol un máximo de  $287\text{nm}$  y un mínimo de  $263\text{nm}$ .

Para la Novocaina, nos reporta (1) los siguientes  $R_f$ .: 0.61

Absorción en el espectro ultravioleta :  $228\text{nm}$  máximo y  $272\text{nm}$  mínimo en ácido sulfúrico 0.2 N.

Se corrió un estandar de Heroína, monoacetyl morfina, Morfina, y Novocaina y se obtuvieron los siguientes resultados de  $R_f$ ., usando el sistema No. 6

<u>Estupefaciente</u>	<u>Rf.</u>
Heroína	0.70
Morfina	0.33
mono acetil Morfina	0.88
Novocaina	0.80

La absorción ultravioleta en los estandares fué la siguiente:

<u>Estupefaciente</u>	<u>Máximo</u> (nm.)	<u>Mínimo</u> (nm.)
Heroína	225	210
Morfina	231	205
mono-acetil-morfina	231	204
Novocaina	230	200

v

Conclusiones

## Conclusiones

- 1.- Aunque todas las muestras presentaron diferentes aspectos físicos (arenoso, - grisáceo, polvo terroso color café, en sus diferentes tonalidades, polvo ver de pálido y pasta rojiza) su contenido químico era el mismo.
- 2.- De acuerdo a los datos obtenidos, de las 17 muestras analizadas de heroína, contienen básicamente morfina, monoacetilmorfina, novocaina y colorante.
- 3.- El haber encontrado la monoacetyl morfina que es un producto de degradación de la morfina, nos indica un mal proceso de diacetilación.
- 4.- El encontrar colorante en las muestras analizadas nos indica que la heroína que se comercia en el tráfico ilícito siempre contendrá otro tipo de sustancias.
- 5.- Tanto en cromatografía en capa fina como en cromatografía ultravioleta, comprobamos que las sustancias identificadas eran las mismas.

*VI*

*Bibliografía*

## BIBLIOGRAFIA

- 1.- Clarke E. G. C. (1974) *Isolation and Identificacion of drugs.*  
*The Pharmaceutical Press.* p. 50, 51. 292, 431, 513.
- 2.- Jean Louis Brau (1975) *Historia de las Drogas* p. 367-375
- 3.- Jerome J. Platt and Cristina Labate (1976) *Heroin Addiction* p. 3-43